



# VALVO-HANDBUCH

Einzelteile II

1964

Technische Daten für weitere Einzelteile und Bausteine aus dem VALVO-Programm enthalten die VALVO-Handbücher:

### **Einzelteile I**

Keramik-Kleinkondensatoren  
Wickelkondensatoren  
Elektrolytkondensatoren  
Keramik-Leistungskondensatoren  
Drehkondensatoren  
Trimmer  
RC-Kombinationen, Durchführungsfilter  
Schichtwiderstände  
Drahtwiderstände  
Potentiometer  
Temperaturabhängige Widerstände (NTC, PTC)  
Spannungsabhängige Widerstände (VDR)

### **Einzelteile III**

|                         |                 |
|-------------------------|-----------------|
| VHF-Kanalwähler         | UHF-Kanalwähler |
| Ablenkteile             | Lautsprecher    |
| Phonogeräte             | Quarze          |
| Mechanische Bauelemente |                 |

### **Bausteine**

|                           |                       |
|---------------------------|-----------------------|
| Digital-Bausteine         | Norbit-Bausteine      |
| Niederspannungs-Netzteile | Vorwahl-Zähleinheiten |
| Magnetkernspeicher        | Motoren               |



# REGISTER

**Inhaltsverzeichnis**

**Weichmagnetische Ferritkerne  
aus Ferroxcube 3 und 4**

**Speicherkerne, Speichermatrizen und  
Speicherblöcke aus Ferroxcube 6**

**Piezomagnetische Leistungswandler  
aus Ferroxcube 7**

**Ferroxdure-Permanentmagnete**

**Stahllegierungs-Permanentmagnete**





# **VALVO-HANDBUCH**

**Einzelteile II**

**1964**



Das VALVO-Handbuch ist vor allem für den Konstrukteur und Geräteentwickler bestimmt.

Das Handbuch gibt keine Auskunft über die Liefermöglichkeiten.

Zuschriften, die den Inhalt und den Versand dieses VALVO-Handbuches betreffen, sind zu richten an die

VALVO GMBH, Hamburg 1  
Burchardstraße 19, VALVO-Haus

März 1964





| Inhalt  | Seite |
|---|-------|
| <b>Weichmagnetische Ferritkerne<br/>aus Ferroxcube 3 und 4<br/>für niedrige Induktionen</b> |       |
| ALLGEMEINES Ferroxcube 3 und 4  | 13    |
| Symbole   | 15    |
| magn. und elektr. Eigenschaften   | 19    |
| Hilfsangaben  | 46    |
| ALLGEMEINES Schalenkerne  | 49    |
| P-Schalenkerne  | 59    |
| Schalen- und Topfkern, Programm-Übersicht   | 62    |
| P-Schalenkerne, Übersicht   | 64    |
| P-Schalenkern P 11/7  | 65    |
| P-Schalenkern P 14/8  | 70    |
| P-Schalenkern P 18/11   | 79    |
| P-Schalenkern P 22/13   | 88    |
| P-Schalenkern P 26/16   | 94    |
| P-Schalenkern P 30/19   | 103   |
| P-Schalenkern P 36/22   | 109   |
| P-Schalenkern P 42/29   | 115   |
| S-Schalenkerne, Übersicht   | 121   |
| S-Schalenkern S 14/8  | 122   |
| S-Schalenkern S 18/12   | 128   |
| S-Schalenkern S 23/17   | 134   |
| S-Schalenkern S 25/16   | 138   |
| S-Schalenkern S 35/23   | 144   |
| S-Schalenkern S 45/25   | 150   |
| S-Schalenkern S 66/56   | 154   |
| ALLGEMEINES Topfkern  | 157   |
| Topfkern, Übersicht   | 158   |
| Topfkern D 25/12  | 159   |
| Topfkern D 25/16  | 165   |



| Inhalt                                       | Seite |
|--|-------|
| Topfkern D 36/22 N                           | 172   |
| Topfkern D 45/39                             | 179   |
| Topfkern D 60/42                             | 185   |
| Abgleichstreifen für Topfkerne               | 191   |
| ALLGEMEINES Übertragerkerne                  | 193   |
| E-Kerne nach DIN 41 295                      | 196   |
| E-Kern E 20 (M 20)                           | 198   |
| E-Kern E 30 (M 30)                           | 201   |
| E-Kern E 42 (M 42)                           | 204   |
| E-Kern E 55 (M 55)                           | 207   |
| E-Kern E 65 (M 65)                           | 209   |
| EI-Kern EI 25                                | 211   |
| E-Kerne, Sonderausführung                    | 215   |
| ALLGEMEINES Kreuzkerne                       | 216   |
| Kreuzkern X 22                               | 219   |
| Kreuzkern X 30                               | 225   |
| Kreuzkern X 35                               | 231   |
| Ringkerne für Übertrager                     | 237   |
| Antennenstäbe                                | 241   |
| Rohr- und Stiftkerne                         | 245   |
| Schraubkerne aus FXC 3D3 mit Führungsgewinde | 247   |
| Einzelkreise und ZF-Bandfilter               | 248   |
| Einzelkreis-Bausätze                         | 251   |
| ZF-Bandfilter-Bausätze                       | 257   |
| Ratio-Filter-Bausatz                         | 262   |
| Dämpfungspierlen                             | 263   |
| Breitband-Drosselspeulen                     | 264   |





| Inhalt  | Seite |
|---|-------|
| <b>Weichmagnetische Ferritkerne<br/>aus Ferroxcube 3 und 4<br/>für höhere Induktionen</b> |       |
| Magnettonkerne  | 266   |
| U-Kerne für Zeilentransformatoren   | 267   |
| U-Kerne mit rundem Querschnitt  | 270   |
| UI-Kerne mit achteckigem Querschnitt  | 274   |
| U-Kerne mit rundem Querschnitt  | 275   |
| U-Kerne mit rechteckigem Querschnitt  | 279   |
| Jochringe   | 282   |
| Symmetrier-Übertrager   | 283   |
| <b>Speicherkerne, Speichermatrizen und<br/>Speicherblöcke aus Ferroxcube 6</b>            |       |
| ALLGEMEINES Übersicht   | 286   |
| Kernprüfung, Definitionen   | 288   |
| Speicherkerne aus FXC 6H1 KE 326 11   | 292   |
| Speicherkerne aus FXC 6F2 K5 282 35   | 294   |
| Speicherkerne aus FXC 6D5 K5 281 10   | 296   |
| Speicherkerne aus FXC 6C1 K5 281 45   | 298   |
| Speicherkerne aus FXC 6B2 K5 281 01   | 300   |
| Speicherkerne aus FXC 6E1 56 591 40/6E1   | 302   |
| Speicherkerne aus FXC 6C2 K5 281 46   | 304   |
| Speicherkerne aus FXC 6F3 K5 282 36   | 306   |
| ALLGEMEINES Schaltkerne   | 309   |
| Schaltkerne aus FXC 6E1   | 310   |
| Schaltkerne aus FXC 6D  | 312   |



| Inhalt  | Seite |
|---|-------|
| Speichermatrizen und -blöcke<br>mit Ringkernen aus FXC 6          | 314   |
| Speichermatrizen  | 317   |
| Speichermatrizen mit 2 mm-Kernen                                  | 318   |
| Rahmen für 1,3 mm-Kerne   | 320   |
| Speichermatrizen mit 1,3 mm-Kernen                                | 321   |
| Speicherblöcke  | 323   |
| <br><b>Piezomagnetische Leistungswandler<br/>aus Ferroxcube 7</b> |       |
| <br>ALLGEMEINES Ultraschallschwinger aus FXC 7                    | 327   |
| Ultraschallschwinger aus Ferroxcube 7                             | 333   |
| Ultraschallschwinger aus Ferroxcube 7A2                           | 334   |
| Ultraschallschwinger aus Ferroxcube 7                             | 335   |
| <br>Ultraschallschwinger aus FXC 7A2 K5 550 05                    | 337   |
| Ultraschallschwinger aus FXC 7A2 K5 550 11                        | 338   |
| Ultraschallschwinger aus FXC 7A2 K5 550 16                        | 339   |
| Ultraschallschwinger aus FXC 7A2 K5 550 21                        | 340   |
| Ultraschallschwinger aus FXC 7A2                                  |       |
| Doppelschwinger K3 040 00, K3 040 05                              | 341   |
| Ultraschallschwinger aus FXC 7A2                                  |       |
| Doppelschwinger K3 040 00   | 342   |
| Ultraschallschwinger aus FXC 7A2                                  |       |
| Doppelschwinger K3 040 05   | 343   |



| Inhalt  | Seite |
|---|-------|
| <b>Permanentmagnete</b>   |       |
| <b>Ferroxdure</b>   |       |
| ALLGEMEINES Permanentmagnete                                    | 347   |
| Permanentmagnete   Magnetisierungsarten                         | 355   |
| Formgebung und Toleranzen                                       | 359   |
| Ferroxdure-Permanentmagnete   Eigenschaften                     | 364   |
| Vorzugsbauformen für Magnete aus FXD 100                        | 370   |
| Vorzugsbauformen für Magnete aus FXD 250 K und<br>FXD 300 R     | 375   |
| Rotoren   | 377   |
| Synchronkupplungen  | 380   |
| Lautsprecherringe   | 383   |
| Magnete für Lautsprechersysteme<br>aus FXD 300 R unmagnetisiert | 385   |
| <br>  |       |
| <b>Stahllegierungs-Permanentmagnete</b>                         |       |
| Stahllegierungs-Permanentmagnete   Eigenschaften                | 389   |





## **Weichmagnetische Ferritkerne aus Ferroxcube 3 und 4**







Unter der Bezeichnung FERROXCUBE werden von uns weichmagnetische keramische Werkstoffe (Ferrite) hergestellt, die als ferromagnetische Kerne mannigfacher Bauformen in vielen Zweigen der Hochfrequenz- und Nachrichtentechnik weite Verbreitung gefunden haben. FERROXCUBE zeichnet sich durch seinen hohen spezifischen Widerstand aus und weist auch bei höheren Frequenzen nur geringe Verluste auf. Wegen dieser günstigen Eigenschaften haben sich die Ferritkerne bei Frequenzen von ca. 1 kHz bis zu einigen MHz und höher weitgehend durchgesetzt.

FERROXCUBE ist chemisch inaktiv, völlig unempfindlich gegen Wasser (sogar Seewasser) und alle atmosphärischen Einflüsse. Es ist nicht beständig gegen verschiedene Säuren hoher Konzentration (z.B. Salzsäure).

Bei der Herstellung der FERROXCUBE-Teile werden entweder pulverförmige Ausgangsprodukte durch Trockenpressen in Matrizen oder plastische Rohmassen durch Strangpressen geformt und anschließend in einer geeigneten Atmosphäre bei hohen Temperaturen gesintert.

FERROXCUBE läßt sich durch Naßschleifen mit geringem Vorschub mittels Diamant- oder Carborundscheiben bearbeiten. Geschliffene Flächen sind untereinander gut mit einem Klebemittel (z.B. „Araldit“) verkittbar. Für Verklebungen mit Metallarmaturen sind wegen der unterschiedlichen Ausdehnungskoeffizienten besondere Vorkehrungen zu treffen.

Der durch Kittfugen verursachte Luftspalt kann bei sorgfältiger Arbeit kleiner als 0.01 mm bleiben.

Die Abmessungstoleranzen für die ungeschliffenen FERROXCUBE-Teile betragen  $\pm 2$  bis 3 % (siehe DIN 40 680, Toleranzreihe „mittel“).

Die durch Schleifen erreichbaren Toleranzen betragen je nach Größe und Form des Teiles  $\pm 0,1$  bis 0,02 mm. Bei engeren Toleranzen steigen die Herstellungskosten erheblich an.

Außer den in diesem Handbuch aufgeführten Bauformen sind auch andere FERROXCUBE-Teile lieferbar. Wir erbitten dazu Ihre Anfrage.



Änderungen der in diesem Handbuch beschriebenen und abgebildeten Erzeugnisse behalten wir uns vor. Verbindlich sind die auf den Zeichnungen angegebenen Toleranzen und die angegebenen bzw. besonderen Grenzwerte der magnetischen Eigenschaften.

Das vorliegende Handbuch enthält unser FERROXCUBE-Programm sowie Angaben über die magnetischen und elektrischen Eigenschaften. Durch Wahl geeigneter FERROXCUBE-Sorten und -Bauformen ist es möglich, bei geringem Volumen und Gewicht für jeden gewünschten Frequenzbereich die günstigste Permeabilität bei optimaler Güte zu gewinnen.

FERROXCUBE wird in vier verschiedenen Klassen geliefert, die jeweils mehrere Sorten enthalten.

|              |  |
|--------------|--|
| Ferroxcube 3 | Mangan-Zink-Ferrite                            |
| Ferroxcube 4 | Nickel-Zink-Ferrite                            |
| Ferroxcube 6 | Ferrite mit rechteckförmiger Hystereseschleife |
| Ferroxcube 7 | Magnetostriktive Ferrite                       |

Außer dem kubisch kristallinen FERROXCUBE sind auch einfache Stab- und Rohrkerne aus einem hexagonalen, weichmagnetischen Material mit der Bezeichnung FERROXPLANA lieferbar. Diese FERROXPLANA-Kerne sind zur Verwendung bei den Frequenzen von 100 bis etwa 1000 MHz vorgesehen.

Allgemeine technische Daten

|                                 |   |
|---------------------------------|---|
| Spezifisches Gewicht            | Ferroxcube 3    4,7...4,9    g/cm <sup>3</sup><br>Ferroxcube 4    3,5...4,8    g/cm <sup>3</sup><br>Ferroxcube 7    5,1...5,35    g/cm <sup>3</sup> |
| Elastizitätsmodul               | etwa 15000 kg/mm <sup>2</sup>   |
| Linearer Ausdehnungskoeffizient | 6...10 · 10 <sup>-6</sup> /grd  |
| Zugfestigkeit                   | etwa 1,8 kg/mm <sup>2</sup>   |
| Druckfestigkeit                 | etwa 7,5 kg/mm <sup>2</sup>   |
| Spezifische Wärme               | etwa 0,17 cal/g·grd   |
| Wärmeleitfähigkeit              | 9...14 · 10 <sup>-3</sup> cal/cm·s·grd  |

Symbole

Nachfolgende Aufstellung gibt eine Übersicht über die in diesem Handbuch verwendeten Symbole.

Die Dimensionen aller Größen werden in den Einheiten des praktisch-technischen Maßsystems, also als Potenzprodukt der Einheiten V, A, s, cm angegeben. (Je nach Bedarf wurden auch mA, m usw. verwendet).

Das Induktionsgesetz für das Vakuum erhält dann die Form

$$\mathfrak{H} = \mu_0 \cdot \mathfrak{J} \quad \text{mit} \quad \mu_0 = \frac{4\pi}{10^9} \cdot \frac{\text{Vs}}{\text{A cm}}$$

Für den Übergang auf das Gaußsche Maßsystem gilt

$$1 \text{ Gauß} = 10^{-8} \frac{\text{Vs}}{\text{cm}^2}; \quad 1 \text{ Oersted} = \frac{10}{4\pi} \frac{\text{A}}{\text{cm}} = 0,8 \frac{\text{A}}{\text{cm}}$$



| Formelzeichen      | Bezeichnung  | Dimension                    |
|--------------------|--|------------------------------|
| $H$                | magnetische Feldstärke                                       | A/cm                         |
| $\hat{H}$          | Scheitelwert der magnetischen Feldstärke (= $1/2 \Delta H$ ) | A/cm                         |
| $\Delta H$         | Amplitudengröße der magnetischen Wechselfeldstärke           | A/cm                         |
| $H_{\text{—}}$     | Gleichfeldstärke   | A/cm                         |
| $M$                | Magnetisierung   | A/cm                         |
| $M_s$              | Sättigungsmagnetisierung                                     | A/cm                         |
| $B$                | Induktion  | Vs/cm <sup>2</sup>           |
| $\hat{B}$          | Scheitelwert der Induktion (= $1/2 \Delta B$ )               | Vs/cm <sup>2</sup>           |
| $\Delta B$         | Amplitudengröße der Wechselfeld-Induktion                    | Vs/cm <sup>2</sup>           |
| $L$                | Induktivität   | $\Omega s = 10^3 \text{ mH}$ |
| $L_0$              | Selbstinduktion bei Spulen ohne Kern                         | $\Omega s = 10^3 \text{ mH}$ |
| $\mu_0$            | Induktionskonstante  | Vs/A cm                      |
| $\mu_{\sim}$       | Wechselfeldpermeabilität                                     | 1                            |
| $\mu_{\Delta}$     | Überlagerungspermeabilität                                   | 1                            |
| $\mu_{\text{rev}}$ | reversible Permeabilität                                     | 1                            |
| $\mu_i$            | Anfangspermeabilität   | 1                            |
| $\mu_e$            | effektive Permeabilität (Äquivalentpermeabilität)            | 1                            |
| $\mu_w$            | wirksame Permeabilität                                       | 1                            |
| $\bar{\mu}$        | komplexe Permeabilität                                       | 1                            |
| $\mu'_s, \mu''_s$  | Komponenten der kompl. Permeabilität bei Serienschaltung     | Vs/A cm                      |
| $\mu'_p, \mu''_p$  | Komponenten der kompl. Permeabilität bei Parallelschaltung   | Vs/A cm                      |
| $TK\mu_i$          | Temperaturbeiwert der Anfangspermeabilität                   | 1/grad                       |
| $TK\mu_e$          | Temperaturbeiwert der effektiven Permeabilität               | 1/grad                       |
| $TK_L$             | Temperaturbeiwert der Induktivität                           | 1/grad                       |
| $TK_{\text{rel}}$  | relativer Temperaturbeiwert                                  | 1/grad                       |
| $Q$                | Güte ( $Q = \omega L/R_v$ )                                  | 1                            |



| Formelzeichen       | Bezeichnung   | Dimension                  |
|---------------------|---|----------------------------|
| $\tan \delta$       | Gesamtverlustfaktor einer Spule mit Kern ( $\tan \delta = R_V/\omega L$ ) | 1                          |
| $\tan \delta_k$     | Verlustfaktor des Kernmaterials   | 1                          |
| $\tan \delta_{kr}$  | Restverlustfaktor (bei Kernen mit Luftspalt)                              | 1                          |
| $\tan \delta_{kh}$  | Hystereseverlustfaktor  | 1                          |
| $\tan \delta_{kw}$  | Wirbelstromverlustfaktor im Kern  | 1                          |
| $\tan \delta_{Cu}$  | Kupferverlustfaktor der Spule   | 1                          |
| $\tan \delta_w$     | Wirbelstromverlustfaktor der Spule  | 1                          |
| $\tan \delta_{cap}$ | Dielektr. Verlustfaktor der Spule   | 1                          |
| $\tan \delta_J$     | Parallel-Verlustfaktor, der beim Einbau in die Halterung entsteht         | 1                          |
| $q_2$               | Hysteresefaktor   | $H^{-1/2} \text{sec}^{-1}$ |
| $h$                 | Hystereseeiwert   | $\text{cm}/10^3 \text{ A}$ |
| $r$                 | Restbeiwert   | $\text{‰}$                 |
| $f_{Cu}$            | Kupferfüllfaktor  | 1                          |
| $\lambda$           | Magnetostriktion  |                            |
| $\lambda_s$         | Magnetostriktion bei Sättigung $M_s$                                      | 1                          |
| $I$                 | Stromstärke (Effektivwert)  | A                          |
| $R$                 | reeller Widerstand  | $\Omega$                   |
| $R_V$               | Gesamtverlustwiderstand bei Serienschaltung                               | $\Omega$                   |
| $\frac{R_{Cu}}{L}$  | Gleichstrom-Verlustmaß  | $\frac{\Omega}{H}$         |
| $R_k$               | Verlustwiderstand des Kernmaterials bei Serienschaltung                   | $\Omega$                   |
| $R_{kr}$            | Restverlustwiderstand   | $\Omega$                   |
| $R_{kh}$            | Hystereseverlustwiderstand  | $\Omega$                   |
| $R_{kw}$            | Wirbelstromverlustwiderstand  | $\Omega$                   |
| $R_p$               | Gesamtverlustwiderstand bei Parallelschaltung                             | $\Omega$                   |
| $R_{pk}$            | Verlustwiderstand des Kernmaterials bei Parallelschaltung                 | $\Omega$                   |
| $\rho_-$            | spez. Gleichstromwiderstand   | $\Omega \text{ cm}$        |



| Formelzeichen      | Bezeichnung   | Dimension          |
|--------------------|---|--------------------|
| $Z$                | kompl. Scheinwiderstand<br>(Impedanz)                           | $\Omega$           |
| $Y$                | kompl. Scheinleitwert<br>(Admittanz)                            | $1/\Omega$         |
| $N_k$              | Kernverlustleistung   | W                  |
| $f$                | Frequenz  | Hz                 |
| $\omega$           | Kreisfrequenz ( $2\pi f$ )                                      | Hz                 |
| $E_1, E_3$         | induzierte Spannung der Grund-<br>und 3. Oberschwingung         | V                  |
| $\vartheta$        | Temperatur  | $^{\circ}\text{C}$ |
| $\epsilon$         | rel. Dielektrizitätskonstante                                   | 1                  |
| $V$                | Kernvolumen   | $\text{cm}^3$      |
| $V_e$              | eff. Kernvolumen (Hysteresevolumen)                             | $\text{cm}^3$      |
| $s$                | Luftspalt   | mm                 |
| $N$                | Windungszahl  | 1                  |
| $\alpha$           | Windungsfaktor<br>$\alpha = N/\sqrt{L}$ bei $L = 1 \text{ mH}$  | $\text{mH}^{-1/2}$ |
| $A_L$              | Induktivitätsfaktor<br>( $A_L = L/N^2$ )                        | $\Omega\text{s}$   |
| $u$                | Zahl der Umdrehungen<br>(z.B. bei Abgleichstiften)              | 1                  |
| $A_e$              | mittlerer magnetischer Kern-<br>querschnitt                     | $\text{cm}^2$      |
| $l_e$              | mittlere magnetische Weglänge<br>im Kern                        | cm                 |
| $\sum \frac{1}{A}$ | Magnetische Formkonstante, die<br>nur von den Kernmaßen abhängt | $\text{cm}^{-1}$   |
| $DA_{\text{rel}}$  | relative Desakkommodation                                       | 1                  |





Eine Übersicht über die verschiedenen FERROXCUBE-Sorten gibt die nachstehende Tabelle. Die früheren Sorten 3A, 3B1, 3B4, 3C3, 3C5 und 3D2 werden nicht mehr hergestellt. Sie sind durch später entwickelte, bessere FERROXCUBE-Sorten überholt.

Die Sorten 4A1, 4D1 und 4F1 werden nicht mehr serienmäßig hergestellt. Liefermöglichkeit besteht bei diesen Typen nur bei größeren Stückzahlen auf Anfrage.

Die Sorten 3C6, 3E2 und 4C4 sind neu in das Programm aufgenommen worden.

Alle technischen Daten in der nachstehenden Tabelle gelten für vollständig entmagnetisierte Ringkerne von

- ca. 36 mm Außendurchmesser
- ca. 28 mm Innendurchmesser
- ca. 10 mm Höhe.

Technische Daten dieser Ringkerne lassen sich nicht generell in normaler Produktion an beliebig geformten Produkten realisieren. Insbesondere nimmt die Permeabilität bei kleineren Artikeln ab, während die Verluste ansteigen. Die magnetischen und elektrischen Eigenschaften von FERROXCUBE sind auf den folgenden Seiten näher beschrieben.

Aus den einzelnen FERROXCUBE-Sorten werden serienmäßig nur die in der Tabelle angegebenen Bauformen hergestellt. Spezielle Bauformen aus beliebigen FERROXCUBE-Sorten sind auf Anfrage lieferbar.



# **FERROXCUBE 3 und 4** magnetische und elektrische Eigenschaften

## — ALLGEMEINES —

Werkstofftabelle für FERROXCUBE 3 und 4

| Ferroxcube-Sorte  |   | 3B                | 3B2                   | 3B3               | 3B5                | 3B7                                 | 3H1 |
|---|---|-------------------|-----------------------|-------------------|--------------------|-------------------------------------|-----|
| Anfangspermeabilität $\mu_i$ bei 20 °C  |   | 900<br>$\pm 20$ % | 900<br>$\pm 20$ %     | 900<br>$\pm 20$ % | 1400<br>$\pm 25$ % | 2300<br>$\pm 20$ %                  |     |
| $\tan \delta_k / \mu_i$ bei<br>B ca. $10^{-8} \frac{\text{Vs}}{\text{cm}^2}$        | $10^{-6}$                               |                   | <7/<18                | <27/<50           | <2,5/<10           | <1/<5                               |     |
| Frequenz f  | kHz                                     |                   | 4/100                 | 250/450           | 4/100              | 4/100                               |     |
| Curietemperatur   | °C                                      | >150              | >150                  | >150              | >150               | >150                                |     |
| Induktion $\hat{B}$<br>bei Feldstärke $\hat{H}$                                     | A/cm                                    | 8                 | 8                     | 8                 | 8                  | 8                                   |     |
| für 23 °C ca.   |   | 3400              | 3650                  | 3650              | 3950               | 4350                                |     |
| für 70 °C ca.   | $10^{-8} \frac{\text{Vs}}{\text{cm}^2}$ | 2300              | 2800                  | 2800              | 3150               | 3500                                |     |
| Hysteresefaktor $\eta_2$ (24-100)   | $\text{H}^{-1/2} \text{sec}^{-1}$       |                   | <12                   | <12               | <2,5               | <1,8                                |     |
| entspricht $\frac{h}{\mu_i^2}$  | $10^{-6} \frac{\text{cm}}{\text{A}}$    |                   | <8,2                  | <8,2              | <1,7               | <1,25                               |     |
| Meßfrequenz   | kHz                                     |                   | 4                     | 4                 | 4                  | 4                                   |     |
| Meßfeldstärke   | mA/cm                                   |                   | 4 u. 8                | 4 u. 8            | 7 u. 14            |                                     |     |
| relativer Temperaturbeiwert $\text{TK}_{\text{rel}}$                                | $10^{-6}/\text{grd}$                    |                   |                       |                   |                    |                                     |     |
| für 23-55 °C  |   | <3                | <2                    | <2                | 0,5 bis 2,3        | -0,6 bis +0,6                       |     |
| für 23-70 °C  |   |                   |                       |                   |                    | +0,6 bis +1,8                       |     |
| für 5-55 °C   |   |                   |                       |                   |                    |                                     |     |
| Mittelwert $\text{TK}_{\text{rel}}$   | $10^{-6}/\text{grd}$                    |                   | 0,8                   | 0,8               | 1,3                | 0                                   | 1,2 |
| spez. Gleichstromwiderstand $\rho$ bei 20 °C und $\frac{2 \text{ mA}}{\text{cm}^2}$ | $\Omega \cdot \text{cm}$                | >20               | >80                   | >120              | >20                | >100                                |     |
| Desakkommodation $\text{DA}_{\text{rel}}^+)$  | $10^{-6}$                               |                   | <8                    | <8                | <6                 | <4                                  |     |
| Arbeitsfrequenz   |   |                   |                       |                   |                    |                                     |     |
| a. Kreise hoher Güte  | MHz                                     | bis 0,6           | bis 0,2               | 0,15-0,6          | bis 0,2            | bis 0,2                             |     |
| b. Transformatoren  | MHz                                     | bis 10            | bis 10                | bis 10            | bis 8              | bis 5                               |     |
| Bauform   |   | Stift-, Rohrkr.   | Schalen- und Topfkern |                   |                    | Ringkerne, Schalenkerne, Kreuzkerne |     |

$$^+) \text{ DA}_{\text{rel}} = \frac{\mu_1 - \mu_2}{\mu_1^2 \cdot l_g \frac{t_2}{t_1}}$$

Die Kennzeichnung der Ferroxcube-Sorten erfolgt durch Stempelung



| 3C2               | 3C4   | 3C6                 | 3D3  | 3E1                         | 3E2                   | 4B1                                 | 4C1                    | 4C3                | 4C4                               | 4E1                |
|-------------------|---|---------------------|--|-----------------------------|-----------------------|-------------------------------------|------------------------|--------------------|-----------------------------------|--------------------|
| 900<br>±20 %      | <p>Nur für Leistungs-Übertragung<br/>(Zeilentransformator in Fernseh-Geräten)</p> <p>Magnetische Daten siehe unter U-Kernen</p> |                     | 750<br>±20 %                                   | 2700<br>±20 %               | >5000                 | 250<br>±20 %                        | 125<br>±20 %           | 80<br>±20 %        | 120<br>±20 %                      | 15<br>±20 %        |
|                   |   |                     | <8/<30<br>100/1000                             | <2,5/<15<br>4/100           |                       | <90<br>1 MHz                        | <160<br>3 MHz          | <100<br>10 MHz     | <60<br>5 MHz                      | <300<br>20 MHz     |
| >150              |   |                     | >150   | >125                        |                       | >250                                | >350                   | >350               | >350                              | >500               |
| 8<br>3650<br>2800 |   |                     | 8<br>4200<br>3350                              | 8<br>3550<br>2450           |                       | 16<br>3250<br>2800                  | 24<br>3400<br>3100     | 24<br>3900<br>3600 | 24<br>3300<br>3100                | 80<br>1750<br>1650 |
|                   |   |                     | <3<br>2,1<br>100<br>4 u. 8                     | <4<br>2,75<br>4<br>4 u. 8   |                       |                                     |                        |                    |                                   |                    |
|                   |   |                     | <2   | <4                          |                       | <8                                  | <12                    | <10                | <10                               | <15<br>(5bis55)    |
|                   |   |                     | ≈1,3   | ≈2,5                        |                       |                                     |                        |                    |                                   |                    |
| >10               |   |                     |  |                             |                       | >10 <sup>5</sup>                    | >10 <sup>5</sup>       | >10 <sup>5</sup>   | >10 <sup>5</sup>                  | >10 <sup>5</sup>   |
|                   |   |                     | <15  | <6                          |                       |                                     |                        |                    | <10                               |                    |
| bis 0,15          |   |                     | 0,1-2  | bis 0,1                     | bis 0,1               | 0,5-2                               | 2-10                   | 2-30               | 2-15                              | 10-100             |
| bis 10            |   |                     | bis 10   | bis 3                       | bis 0,5               | bis 40                              | bis 70                 | bis 80             | bis 60                            | bis 200            |
| Joch-<br>ringe    | nur<br>U-Kerne  | U-Kerne<br>EI-Kerne | Schalen-,<br>Stift-,<br>Gewinde-,<br>Stabkerne | E- und<br>Schalen-<br>kerne | Ring-,<br>H-<br>kerne | Stift-,<br>Rohr-,<br>Stab-<br>kerne | Scha-<br>len-<br>kerne | Stab-<br>kerne     | Scha-<br>len-,<br>Kreuz-<br>kerne | Schalen-<br>kerne  |

Alle magnetischen Daten sind gemessen an Ringkernen von 36 mm Außendurchmesser, 28 mm Innendurchmesser und 10 mm Höhe.

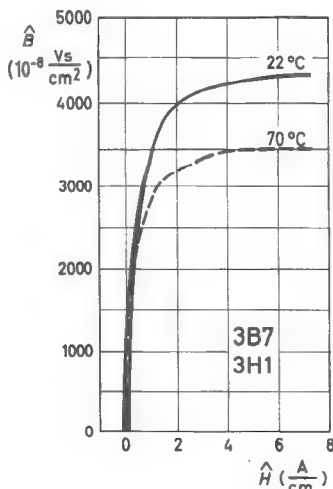
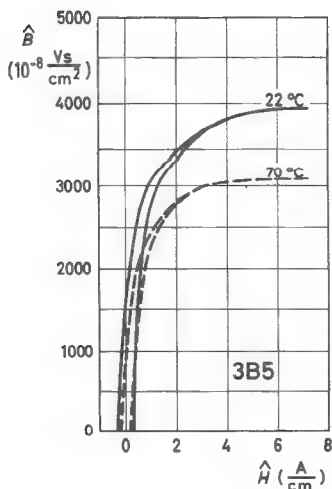
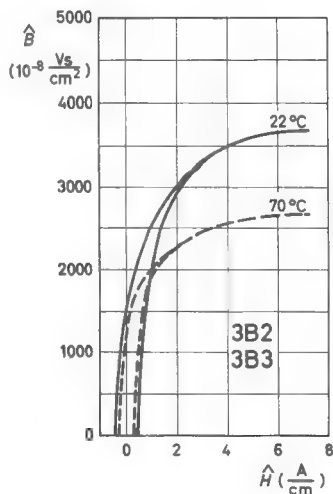


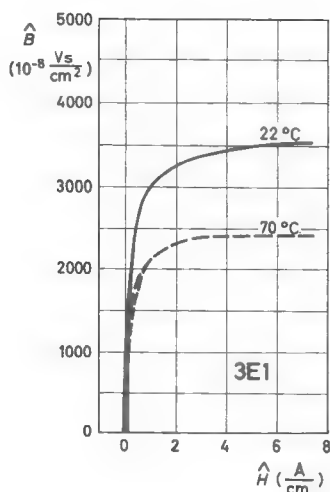
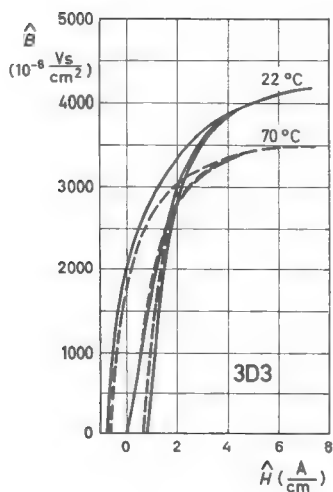
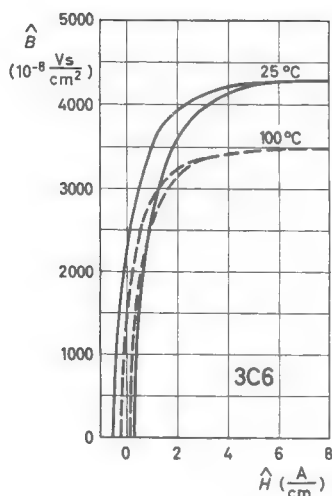
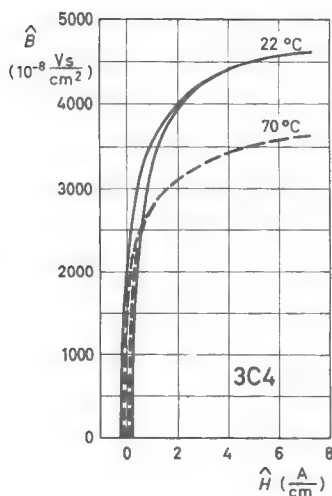


Die folgenden Angaben wurden im allgemeinen durch Messungen an entmagnetisierten Prüfringen gewonnen, die durch Trockenpressen in Matrizen und anschließendes Sintern hergestellt sind.

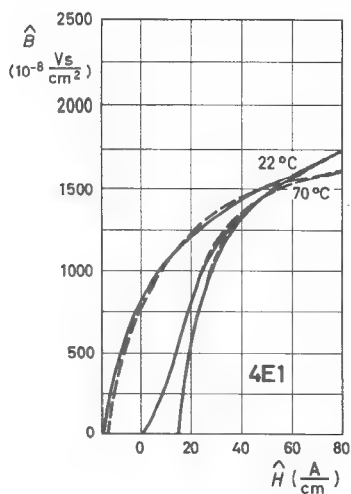
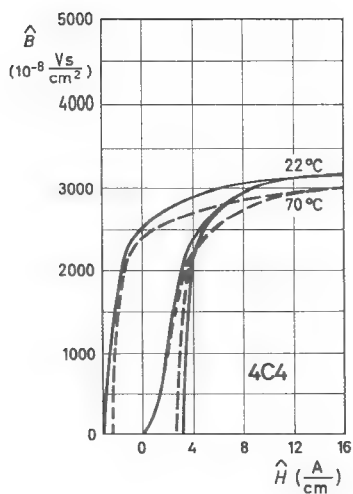
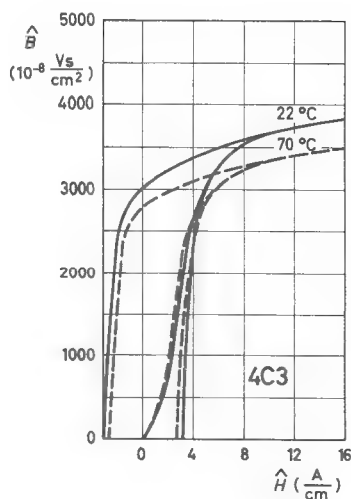
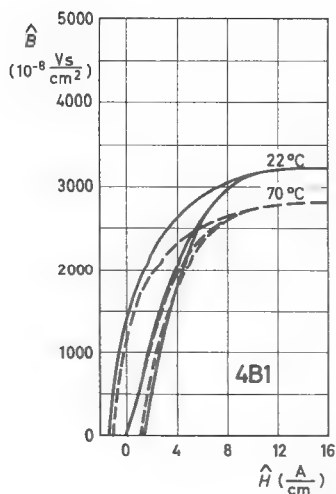
### Statische Hystereseschleifen und Neukurven

Im folgenden sind die Hälften der statischen Hystereseschleifen und die Neukurven für die einzelnen Materialien bei verschiedenen Temperaturen dargestellt. Die Sättigung von FERROXCUBE wird erst bei hohen Werten der magnetischen Feldstärke  $H$  erreicht.









### Anfangspermeabilität $\mu_i$

Die Anfangspermeabilität  $\mu_i$  ist das mit  $\frac{1}{\mu_0}$  multiplizierte Verhältnis zwischen Induktions- und Feldstärkenänderung bei Magnetisierung durch ein sehr schwaches Wechselfeld, gemessen an einem entmagnetisierten geschlossenen Ringkern

$$\mu_i = \frac{\Delta B}{\Delta H} \cdot \frac{1}{\mu_0} \quad (\Delta H \rightarrow 0) .$$

$\mu_i$  ist für die Temperatur von 23 °C in der Werkstofftabelle angegeben. Die Anfangspermeabilität wird auch als Ringkernpermeabilität bezeichnet.

### Wechselfeldpermeabilität $\mu_{\sim}$

Die Wechselfeldpermeabilität ist die Größe

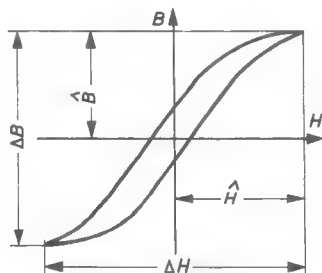
$$\mu_{\sim} = \frac{\hat{B}}{\hat{H}} \cdot \frac{1}{\mu_0}$$

wobei  $\hat{H}$  der Scheitelwert der magnetischen Feldstärke

$$(\hat{H} = \frac{\Delta H}{2}) ,$$

$\hat{B}$  der Scheitelwert der Induktion ist

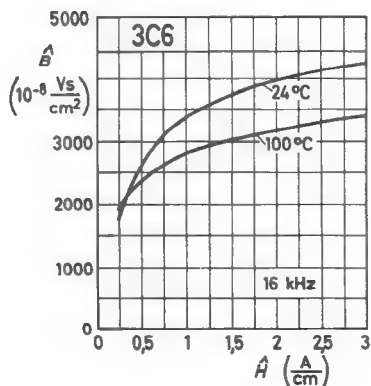
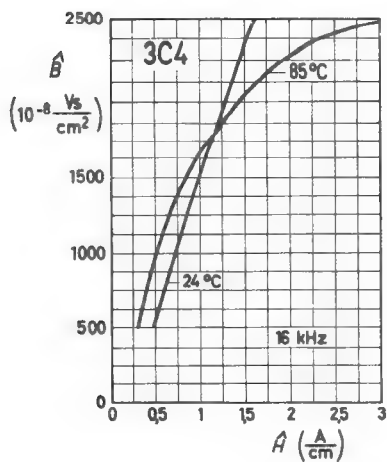
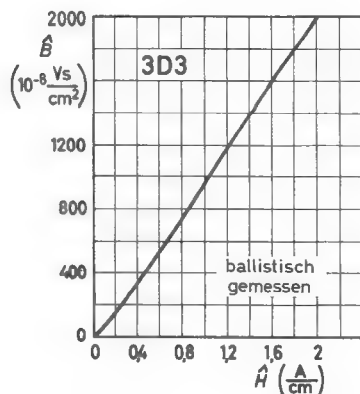
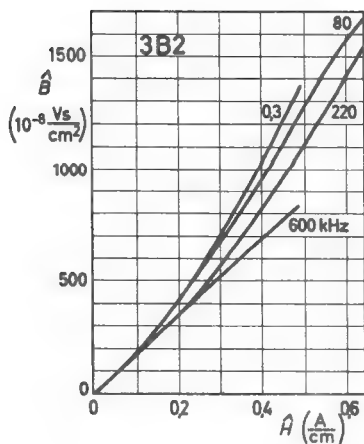
$$(\hat{B} = \frac{\Delta B}{2}) .$$

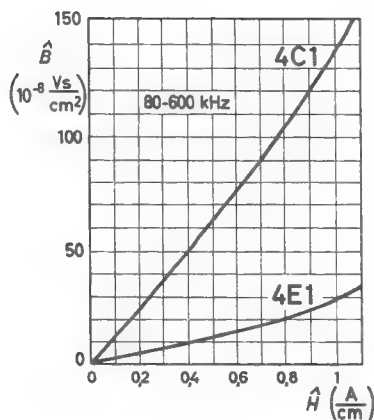
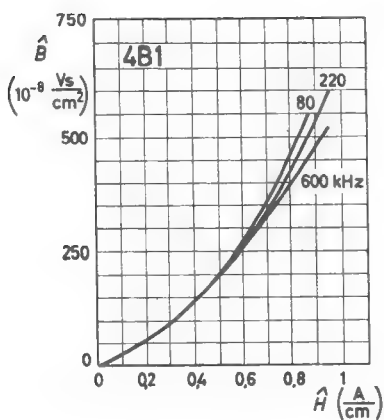
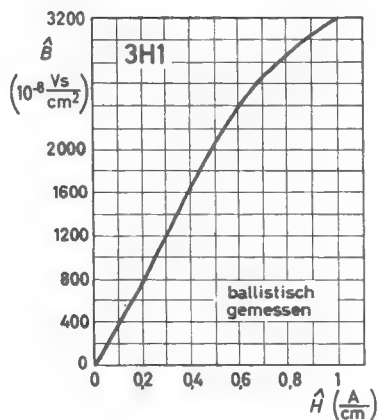
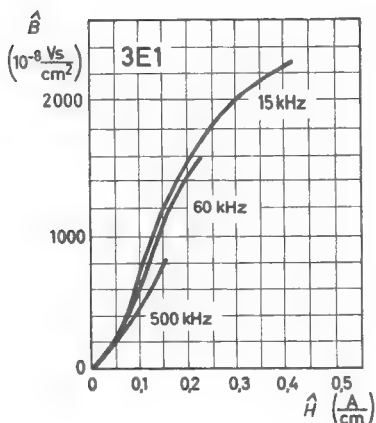


$\mu_{\sim}$  ist eine Funktion der Temperatur, der Vormagnetisierungs-Gleichfeldstärke  $H_{\sim}$  und bei den meisten FERROXCUBE-Sorten in weitem Bereich auch eine Funktion der Frequenz.



$\hat{B}$  als Funktion von  $\hat{H}$  gemessen an Ringkernen

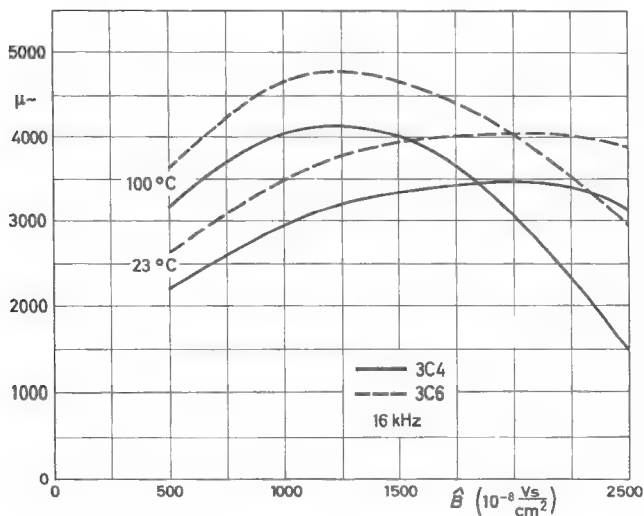




### $\mu_{\sim}$ bei Betrieb ohne Vormagnetisierung (Scheinpermeabilität)

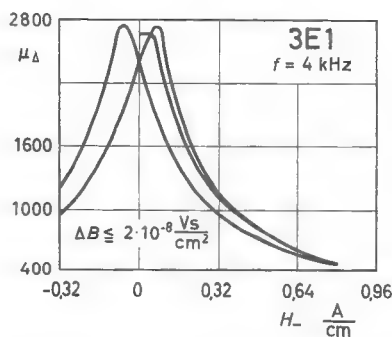
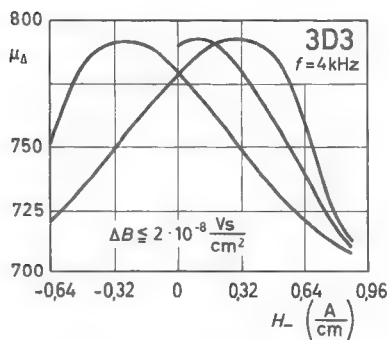
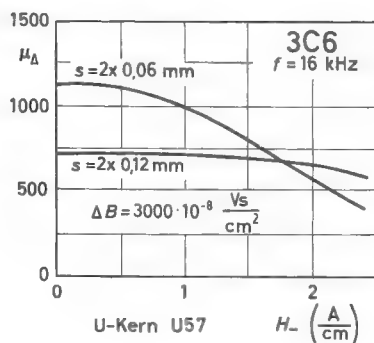
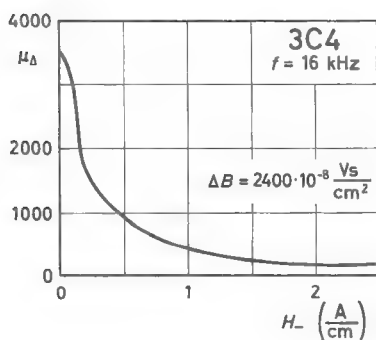
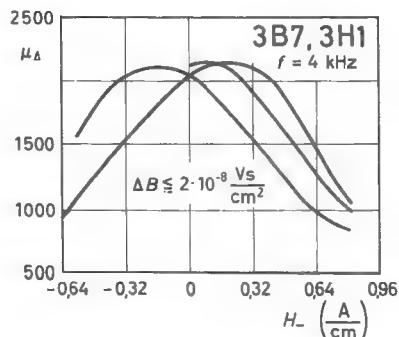
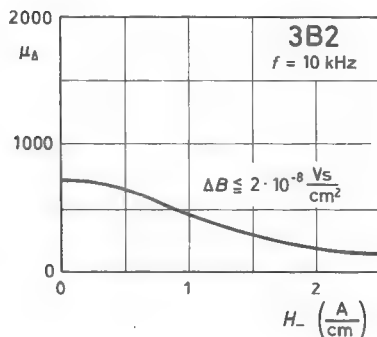
Die Kurven auf den vorigen Seiten zeigen für eine Temperatur von 23 °C die Abhängigkeit des Induktionsscheitelwertes  $\hat{B}$  von der Feldstärkenamplitude  $\hat{H}$  bei verschiedenen Frequenzen. Daraus kann die Wechselfeldpermeabilität  $\mu_{\sim}$  errechnet werden.

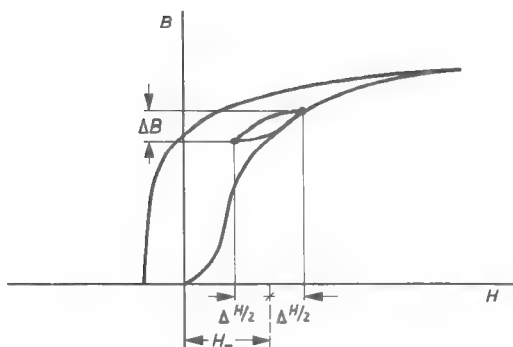
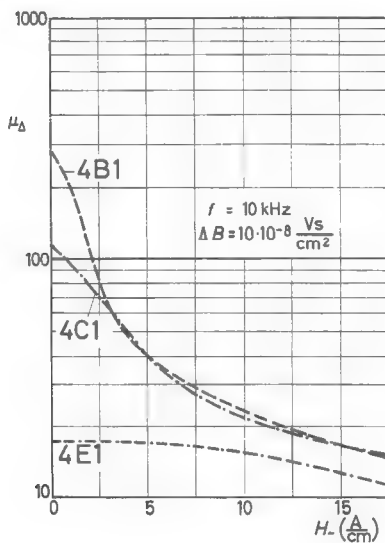
Für die Werkstoffe 3C4 und 3C6 ist die Wechselfeldpermeabilität auf untenstehendem Bild bei der Frequenz von 16 kHz und der Temperatur von 23 °C als Funktion des Induktionsscheitelwertes  $\hat{B}$  dargestellt, gemessen am U-Kern-Paar U 57.



### Überlagerungspermeabilität $\mu_{\Delta}$

Die folgenden Bilder zeigen die Überlagerungspermeabilität  $\mu_{\Delta}$  (Wechselfeldpermeabilität bei Vormagnetisierung) als Funktion eines vormagnetisierenden Gleichfeldes  $H_{\sim}$ . Die Amplitude  $\Delta H$  der sinusförmigen Wechselfeldstärke ist so bemessen, daß sich bei jeder Vormagnetisierung stets ein konstanter Wert für die Wechselinduktion  $\Delta B$  ergibt.





$$\mu_{rev} = \frac{1}{\mu_0} \cdot \frac{\Delta B}{\Delta H} \quad \left| \Delta H \rightarrow 0 \right.$$



### Reversible Permeabilität $\mu_{\text{rev}}$

Wird das vormagnetisierende Gleichfeld  $H_m$  von einem sehr schwachen Wechselfeld überlagert, so äußert sich die Hysterese nur durch das Erscheinen einer sehr flachen kleinen Schleife. Hin- und Rückgang werden reversibel. Man nennt deshalb

$$\mu_{\text{rev}} = \frac{1}{\mu_0} \cdot \frac{\Delta B}{\Delta H} \quad (\Delta H \rightarrow 0)$$

die reversible Permeabilität. Wird dieser reversible Prozeß an vollkommen entmagnetisierten Proben, also im Nullpunkt gemessen, so erhält man die Anfangspermeabilität  $\mu_i$  (soweit vorstehende Kurven mit  $\Delta B < 10 \cdot 10^{-8} \frac{\text{Vs}}{\text{cm}^2}$  gemessen wurden, zeigen sie praktisch den Verlauf von  $\mu_{\text{rev}}$ ).

### Effektive Permeabilität $\mu_e$ bei Kernen mit Luftspalt

Bei Kernen mit Luftspalt wird die Hystereseschleife durch Entmagnetisierung verformt (geschert) und die Anfangspermeabilität  $\mu_i$  auf die effektive Permeabilität  $\mu_e$  (Aequivalentpermeabilität) reduziert.

$\mu_e$  ist stark von der Form und den Abmessungen des FERROXCUBE-Kernes abhängig und für viele Bauteile auf den Datenblättern angegeben.  
(s.a. Schalenkerne der P-Reihe, Allgemeines)

### Komplexe Permeabilität $\bar{\mu}$

Die komplexe Permeabilität  $\bar{\mu}$  kann oft mit Vorteil bei der Beschreibung der Kernverluste von Spulen und Transformatoren verwendet werden. Die Kernverluste lassen sich im Ersatzschaltbild der Spule durch einen Kernverlustwiderstand berücksichtigen.

Bei der Serienerersatzschaltung faßt man die Verluste des Kernmaterials in einem mit der verlustfreien Selbstinduktion  $L$  in Serie liegenden Kernverlustwiderstand  $R_k$  zusammen und erhält für den komplexen Gesamtwider-





stand  $Z$  (Impedanz)

$$Z = j\omega L + R_k .$$

Mit Hilfe der Definition für die komplexe Permeabilität bei Serienschaltung

$$\bar{\mu} = \mu'_s - j\mu''_s$$

ergibt sich

$$Z = j\omega L_0 \bar{\mu} = j\omega L_0 (\mu'_s - j\mu''_s) ,$$

wobei  $L_0$  die Selbstinduktion der Spule ohne Kern <sup>x)</sup> ist. Es ist also

$$L = L_0 \cdot \mu'_s \quad \text{und} \quad R_k = \omega L_0 \mu''_s .$$

Diese Seriendarstellung wird gewöhnlich bei der Berechnung der Kernverluste von Spulen benutzt.

Bei Transformatoren ist die Parallelschaltung eines Verlustwiderstandes  $R_p$  zur Selbstinduktion  $L$  im Ersatzschaltbild vorteilhafter. Bei dieser Darstellung ergibt sich der Gesamtleitwert  $Y$  (Admittanz)

$$Y = \frac{1}{j\omega L} + \frac{1}{R_p}$$

Mit Hilfe der Definition für die komplexe Permeabilität bei Parallelschaltung

$$\frac{1}{\bar{\mu}} = \frac{1}{\mu'_p} - \frac{1}{j\mu''_p}$$

erhält man

$$Y = \frac{1}{j\omega L_0 \bar{\mu}} = \frac{1}{j\omega L_0} \left( \frac{1}{\mu'_p} - \frac{1}{j\mu''_p} \right) .$$

Es ist also

$$L = L_0 \mu'_p ; \quad R_p = \omega L_0 \cdot \mu''_p .$$

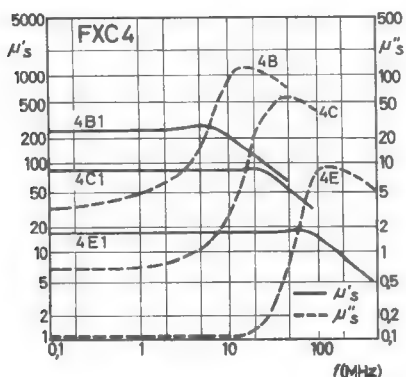
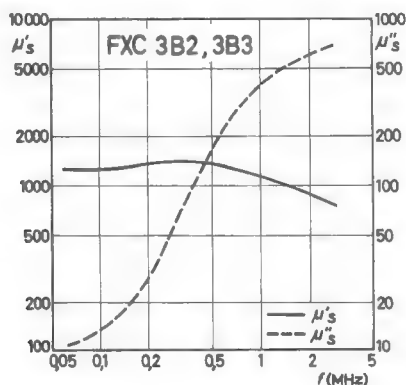
<sup>x)</sup>  $L_0$  läßt sich exakt nur bei Ringkernwicklungen ermitteln.

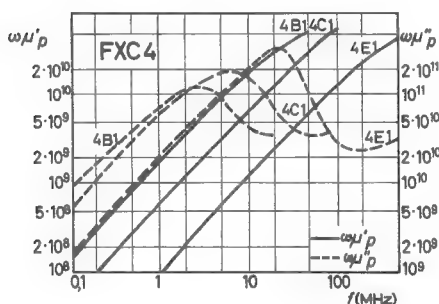
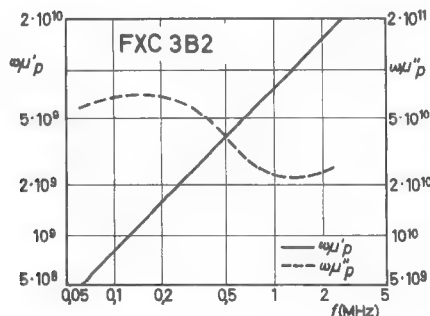


Der Verlustfaktor des Kernmaterials  $\tan \delta_k$  ist

$$\tan \delta_k = \frac{R_k}{\omega L} = \frac{\mu_s''}{\mu_s'} = \frac{\mu_p'}{\mu_p''}.$$

Nachstehend sind die Anteile  $\mu_s'$  und  $\mu_s''$  der komplexen Permeabilität sowie - für Transformatorberechnungen - die Produkte  $\omega \mu_p'$  und  $\omega \mu_p''$  als Funktion der Frequenz für die üblichen FERROXCUBE-Sorten, gemessen bei Induktionen von ca.  $10^{-8} \frac{\text{Vs}}{\text{cm}^2}$ , dargestellt.





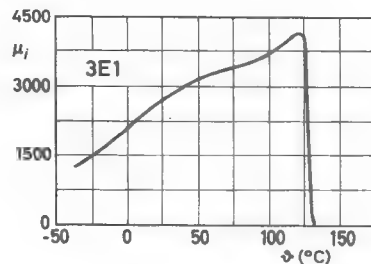
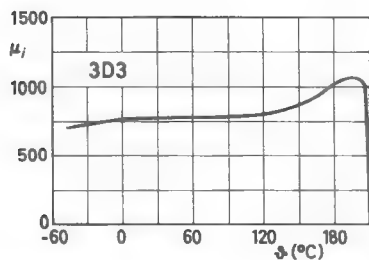
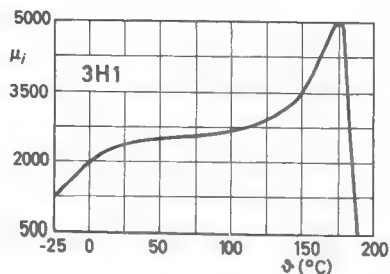
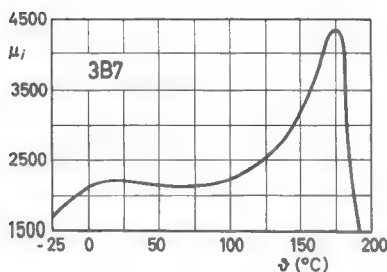
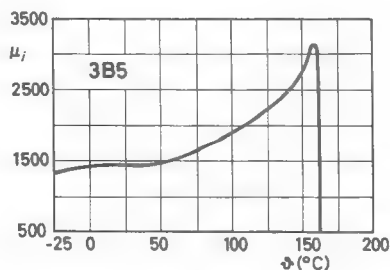
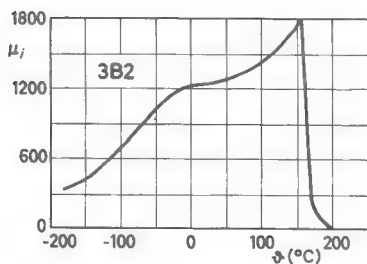
### Temperaturabhängigkeit der Anfangspermeabilität, Curie-Temperatur

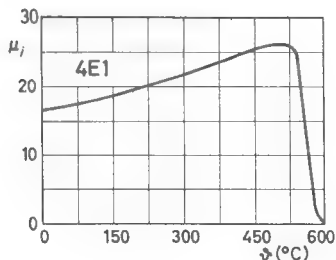
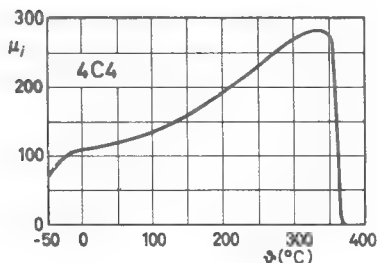
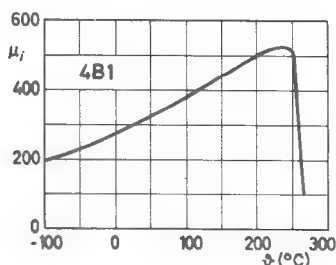
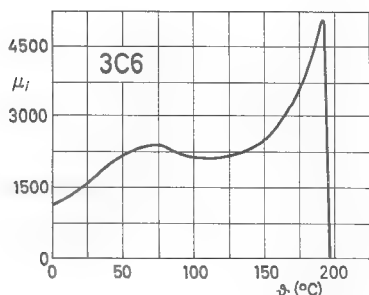
Nachstehend ist der Temperaturverlauf der Anfangspermeabilität bei den einzelnen FERROXCUBE-Sorten dargestellt. Man sieht, daß  $\mu_i$  mit wachsender Temperatur mehr oder weniger stetig ansteigt und nach Überschreiten eines Maximums bis auf den Wert  $\mu_i = 1$  (Curie-Punkt) steil abfällt.

Da der Curie-Punkt ( $\mu_i = 1$ ) für praktische Anwendungen nur selten interessiert, geben wir diejenige Temperatur an, bei der  $\mu_i$  nach Überschreiten des Maximums wieder auf den Wert bei 20 °C abgesunken ist. Diese Tempera-



tur bezeichnen wir hier als Curie-Temperatur. In der Werkstofftabelle sind die von uns garantierten unteren Grenzen der Curie-Temperatur für die einzelnen FERROXCUBE-Sorten zusammengestellt.





FERROXCUBE kann bei gleichmäßiger Erwärmung über die Curie-Temperatur hinaus bis auf etwa 400 °C erwärmt werden. Nach Abkühlung zeigt die Anfangspermeabilität im allgemeinen wieder den üblichen Temperaturverlauf.

#### Temperaturkoeffizient (Temperaturbeiwert)

Der Temperaturkoeffizient der Anfangspermeabilität eines geschlossenen Kernes ist definiert durch

$$TK\mu_i = \frac{1}{\mu_{i1}} \cdot \frac{\mu_{i2} - \mu_{i1}}{\Theta_2 - \Theta_1}$$

wobei  $\mu_{i1}$  bzw.  $\mu_{i2}$  die Anfangspermeabilitäten bei den Temperaturen  $\Theta_1$  bzw.  $\Theta_2$  sind. Wie aus den Kurven auf der vorigen Seite hervorgeht, steigt die Permeabilität in einem bestimmten Bereich nicht immer linear mit



der Temperatur an.

Bei Kernen mit Luftspalt reduziert sich der Temperaturbeiwert  $TK_{\mu_i}$  auf

$$TK_{\mu_e} = \frac{\mu_e}{\mu_{i1}} \cdot TK_{\mu_i}$$

Man nennt den auf eine Anfangspermeabilität von  $\mu_i = 1$  bezogenen Temperaturkoeffizienten den „relativen Temperaturbeiwert“.

$$\frac{TK_{\mu_i}}{\mu_{i1}} = TK_{rel}$$

Man findet also den Temperaturbeiwert  $TK_{\mu_e}$  eines Kernes mit Luftspalt durch Multiplikation des relativen Temperaturbeiwertes  $TK_{rel}$  mit  $\mu_e$ . Der relative Temperaturbeiwert

$$TK_{rel} = \frac{1}{\mu_{i1}^2} \cdot \frac{\mu_{i2} - \mu_{i1}}{\vartheta_2 - \vartheta_1}$$

ist eine Materialkonstante und in der Werkstofftabelle für  $\vartheta_1 = 23^\circ\text{C}$  und  $\vartheta_2 = 55^\circ\text{C}$  bzw.  $70^\circ\text{C}$  angegeben.

Für den Temperaturbereich von  $0^\circ\text{C}$  bis  $100^\circ\text{C}$  weicht  $TK_{rel}$  nicht stark von den für  $23$  bis  $70^\circ\text{C}$  angegebenen Werten ab. Ebenso wie durch einen Luftspalt kann der Temperaturbeiwert auch durch Vormagnetisierung verändert werden.

#### Dielektrizitätskonstante

FERROXCUBE besitzt eine außerordentlich hohe und stark von der Frequenz abhängige Dielektrizitätskonstante, verbunden mit einem hohen dielektrischen Verlustwinkel. Im Mittel beträgt

für FERROXCUBE 3  
bei 1 kHz:  $\epsilon \approx 150000$   
bei 10 MHz:  $\epsilon \approx 50000$

für FERROXCUBE 4  
bei 1 kHz:  $\epsilon \approx 400$   
bei 10 MHz:  $\epsilon \approx 15$

In Verbindung mit der hohen Permeabilität hat die große Dielektrizitäts-



konstante besonders bei FERROXCUBE 3 eine sehr niedrige elektromagnetische Fortpflanzungsgeschwindigkeit zur Folge. Hierdurch können in Einzelteilen größerer Abmessungen Raumresonanzen entstehen, die hohe Dämpfungen verursachen. Für größere Teile wird man daher bei Frequenzen oberhalb ca. 300 kHz besser FERROXCUBE 4 verwenden.

### Spezifischer Widerstand

Der spezifische Gleichstromwiderstand  $\rho_{\sim}$  der verschiedenen FERROXCUBE-Sorten ist für 23 °C und eine Stromdichte von  $\frac{2 \text{ mA}}{\text{cm}^2}$  in der Werkstofftablette angegeben.

Der spezifische Widerstand bei Wechselstrom beträgt im Mittel

für FERROXCUBE 3

bei 1 kHz:  $\rho_{\sim} \sim 100 \Omega \text{cm}$

bei 10 MHz:  $\rho_{\sim} \sim 10 \Omega \text{cm}$

für FERROXCUBE 4

bei 1 kHz:  $\rho_{\sim} \sim 5 \cdot 10^6 \Omega \text{cm}$

bei 10 MHz:  $\rho_{\sim} \sim 0,2 \cdot 10^6 \Omega \text{cm}$

### Magnetostriktion $\lambda$

FERROXCUBE 3 zeigt fast keine lineare Magnetostriktion, d.h. fast keine Längenveränderungen bei Magnetisierung. Die lineare Magnetostriktion von FERROXCUBE 4 ist negativ. Die Verkürzung  $\Delta l/l = \lambda$  ist eine Funktion der Magnetisierung M. Wenn das Material die Sättigungsmagnetisierung  $M_s$  erreicht hat, nimmt die Verkürzung den Wert  $\lambda_s$  an.

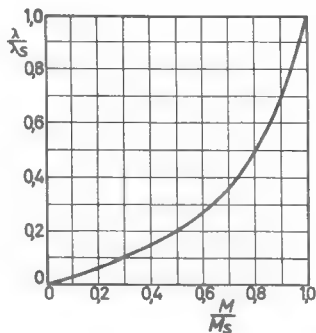
Nachstehend sind für FERROXCUBE 4  $\lambda/\lambda_s$  als Funktion von  $M/M_s$  und die maximalen Verkürzungen  $\lambda_s$  angegeben. Sie können der Berechnung der linearen Magnetostriktion für jeden Magnetisierungswert dienen.

Diese für FERROXCUBE 7 besonders wichtigen Angaben sind im allgemeinen Teil zu FXC 7 aufgeführt.

Für magnetostriktive Anwendungen eignen sich die FERROXCUBE 7-Sorten am besten.



|                |                                 |
|----------------|---------------------------------|
| FERROXCUBE 4B1 | $\lambda_s = -7 \cdot 10^{-6}$  |
| 4C1            | $\lambda_s = -15 \cdot 10^{-6}$ |
| 4E1            | $\lambda_s = -27 \cdot 10^{-6}$ |



#### Desakkommodation

Als Desakkommodation wird die zeitliche Änderung der Permeabilität bezeichnet. Sie wird durch Permeabilitätsmessung im Zeitpunkt  $t_1$  und  $t_2$  nach vollständiger Entmagnetisierung des Prüfringes ermittelt. Nach der Entmagnetisierung verläuft die zeitliche Abnahme der Permeabilität nach einer logarithmischen Funktion. Für diejenigen FXC-Sorten, die sich besonders für hochkonstante Spulen und Filter eignen, werden Maximalwerte der auf  $\mu_i = 1$  bezogenen relativen Desakkommodation  $DA_{rel}$  garantiert.

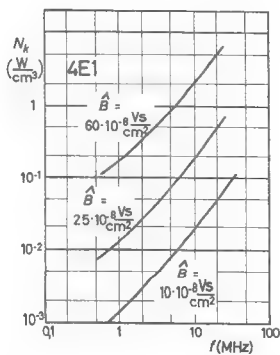
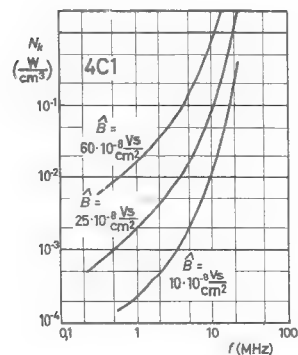
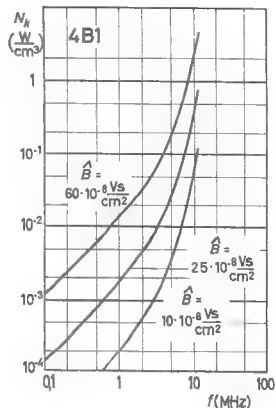
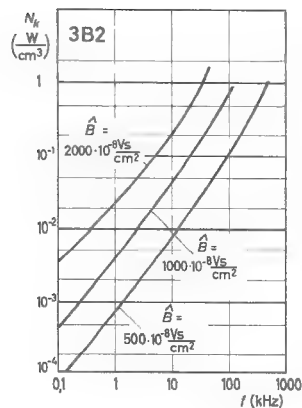
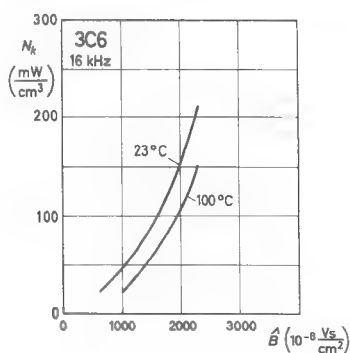
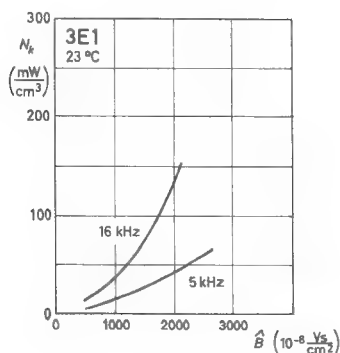
$$DA_{rel} = \frac{\mu_1 - \mu_2}{\mu_i^2 \cdot \lg \frac{t_2}{t_1}}$$

Bei magnetischer Belastung durch Gleichstromstöße unterliegt die Permeabilität ebenfalls nur geringfügigen Veränderungen.

#### Kernverlustleistung $N_k$

Für Anwendungen bei höheren Aussteuerungen sind in den folgenden Kurven die gemessenen totalen Kernverluste dargestellt. Sie zeigen für verschiedene Induktionen bei Betrieb ohne Vormagnetisierung die auftretende Verlustleistung  $N_k$  in Abhängigkeit der Frequenz. Bei dem für höhere Induktion geeigneten FXC 3C6 sind die Kernverluste für zwei Temperaturen angegeben.







Kernverlustwiderstand  $R_k$  und Kernverlustfaktor  $\tan \delta_k$

Die Kernverluste einer Spule mit FERROXCUBE-Kern können im Ersatzschaltbild der Spule durch einen mit der Selbstinduktion  $L$  in Serie liegenden Verlustwiderstand  $R_k$  berücksichtigt werden.  $R_k$  setzt sich aus dem Restverlustwiderstand  $R_{kr}$ , dem Hystereseverlustwiderstand  $R_{kh}$  und dem Wirbelstromverlustwiderstand  $R_{kw}$  zusammen

$$R_k = R_{kr} + R_{kh} + R_{kw}$$

Der Kernverlustfaktor  $\tan \delta_k$  ist definiert durch das Verhältnis

$$\tan \delta_k = \frac{R_k}{\omega L} .$$

Für die Berechnung von FERROXCUBE-Kernen mit Luftspalt interessiert der relative Kernverlustfaktor, der an FERROXCUBE-Ringkernen ohne Luftspalt mit einer Spule der Selbstinduktion  $L$  bei einer Kreisfrequenz  $\omega = 2\pi f$  bestimmt wird.

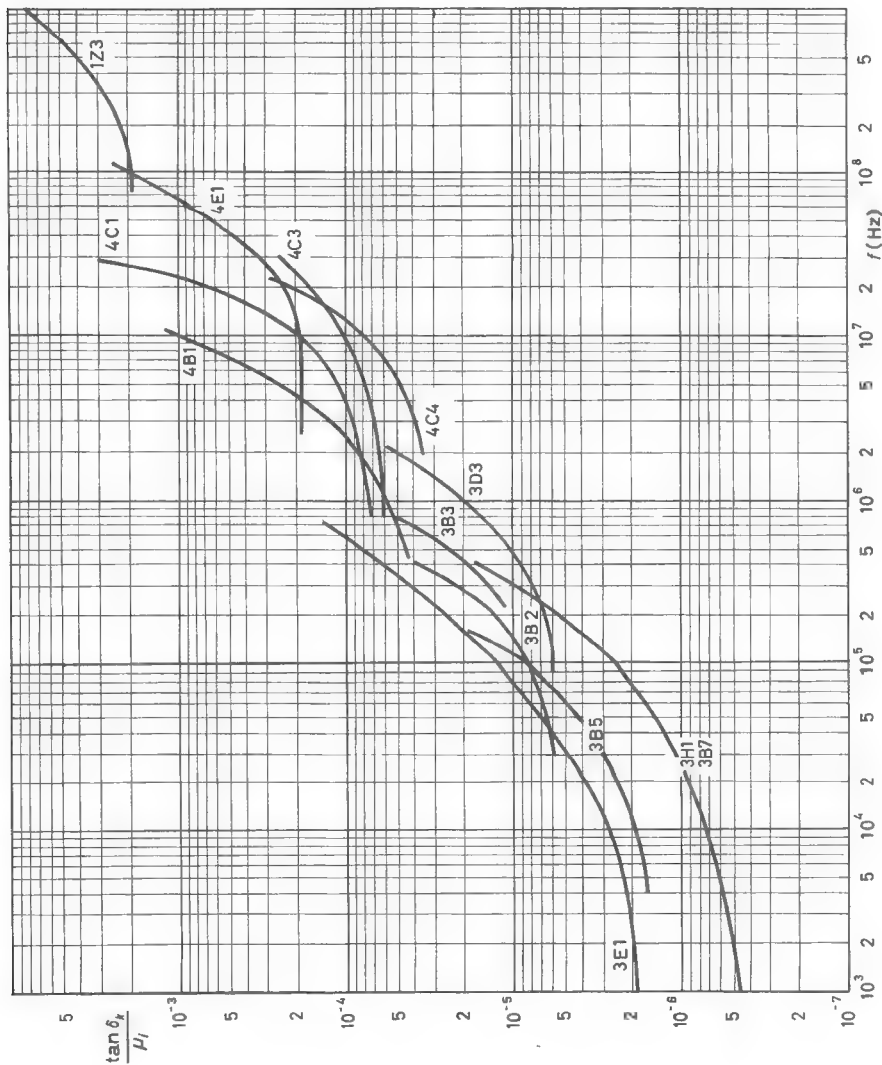
$$\frac{\tan \delta_k}{\mu_i} = \frac{1}{\mu_i} \cdot \frac{R_k}{\omega L} .$$

Der auf  $\mu_i = 1$  bezogene relative Kernverlustfaktor ist weitgehend unabhängig vom Luftspalt.

In der Werkstofftabelle sind die von uns garantierten oberen Grenzwerte von  $\frac{\tan \delta_k}{\mu_i}$  für bestimmte Frequenzen angegeben.

Auf der folgenden Seite ist der relative Verlustfaktor von Ringkernen ohne Luftspalt als Funktion der Frequenz dargestellt. Mit Hilfe dieses Kurvenblattes kann man zur Erzielung einer hohen Güte die FERROXCUBE-Sorten mit dem niedrigsten relativen Verlustfaktor  $\tan \delta_k / \mu_i$  für die geforderte Arbeitsfrequenz auswählen.

Das Diagramm enthält auch den relativen Verlustfaktor der isotropen FERROXPLANA-Sorte 1Z3.





## magnetische und elektrische Eigenschaften

Für einen FERROXCUBEkern mit Luftspalt erhält man den Kernverlustfaktor durch Multiplikation des relativen Kernverlustfaktors mit  $\mu_e$ .

Dimensionierungshinweise sind für Schalenkerne im allgemeinen Teil Schalenkerne, sowie für E-Kerne im allgemeinen Teil E-Kerne angegeben.

### Restverlust

Bei den meisten Anwendungen bildet der Restverlust den Hauptanteil an den gesamten Kernverlusten. Zur Beschreibung des Restverlustwiderstandes eines geschlossenen Ringkernes wird der allgemein in ‰ angegebene Restbeiwert  $r$  verwendet. Es ist

$$R_{kr} = r \cdot f \cdot L \quad \text{mit } f \text{ in kHz, } L \text{ in H und } R_{kr} \text{ in } \Omega.$$

Bei Ringkernen mit Luftspalt und anderen, nur mit einem kleinen Luftspalt versehenen Kernen, reduziert sich  $r$  auf

$$r' = \mu_e \cdot \frac{r}{\mu_i}$$

Für den Restverlustfaktor gilt entsprechend

$$\tan \delta_{kr} = \frac{\mu_e}{\mu_i} \cdot \frac{R_{kr}}{\omega L}$$

### Hystereseverlust

Die folgenden Angaben zur Berechnung der Hystereseverluste bei FERROXCUBE gelten nur bis zu Induktionen von etwa  $40 \cdot 10^{-8} \frac{\text{Vs}}{\text{cm}^2}$ , weil die Abweichungen vom Rayleighschen Gesetz bei höheren Induktionen sonst unzulässig groß werden.

Zur Beschreibung der Hystereseverluste bei geschlossenen Ringkernen wird oft die Größe  $q_2$  verwendet. Es ist

$$\frac{R_{kh}}{L} = q_2 \cdot \sqrt{L} \cdot \frac{I}{1 \text{ mA}} \cdot \frac{f}{800 \text{ Hz}}$$



wobei allgemein  $R_{kh}$  in  $\Omega$ ,  $L$  in  $H$ ,  $I$  in  $mA$  und  $f$  in  $Hz$  eingesetzt wird, so daß  $q_2$  in  $H^{-1/2}sec^{-1}$  erscheint.

Die Größe  $q_2$  ermöglicht die Berechnung der Hystereseverluste ohne Kenntnis der Windungszahl der Spule und der Feldstärke im Kern.

Zur Messung von  $q_2$  wird der Gesamtverlustwiderstand  $R_v$  bei zwei verschiedenen Stromstärkenmeßwerten  $I_1$  und  $I_2$  bei einer Frequenz von meistens 4 kHz ermittelt.

Die bei dieser Messung auftretende Widerstandsdifferenz ist allein den Hystereseverlusten zuzuschreiben. Für  $q_2$  gilt dann die Beziehung

$$\frac{\Delta R_{kh}}{L} = q_2 \cdot \sqrt{L} \cdot \frac{\Delta I}{1 \text{ mA}} \cdot \frac{f}{800 \text{ Hz}} \quad .$$

In der Werkstofftabelle ist für die einzelnen FERROXCUBE-Sorten der Hysteresefaktor  $q_2(24-100)$  angegeben.  $q_2(24-100)$  ist der auf ein Kernvolumen von  $24 \text{ cm}^3$  mit gleichförmigem Querschnitt und einer effektiven Permeabilität von 100 bezogene Hystereseverlustbeiwert.

Für Kerne mit einem beliebigen Volumen  $V$  bei gleichförmigem Querschnitt und einer effektiven Permeabilität  $\mu_e$  kann man die Größe  $q_2$  ableiten aus

$$q_2 = q_2(24-100) \cdot \left(\frac{\mu_e}{100}\right)^{3/2} \cdot \sqrt{\frac{24 \text{ cm}^3}{V}} \quad .$$

Bei Kernen mit ungleichförmigem Querschnitt (Schalenkerne, Topfkerne usw.) tritt an die Stelle des Kernvolumens  $V$  das effektive Volumen  $V_e$ . Es ist für die einzelnen Bauformen auf den jeweiligen Datenblättern genannt.

Zur Beschreibung der Hystereseverluste bei beliebig geformten Kernen mit Luftspalt gilt also die Beziehung

$$\frac{R_{kh}}{L} = q_2(24-100) \cdot \sqrt{L} \cdot \frac{I}{1 \text{ mA}} \cdot \frac{f}{800 \text{ Hz}} \cdot \left(\frac{\mu_e}{100}\right)^{3/2} \cdot \sqrt{\frac{24 \text{ cm}^3}{V_e}} \quad .$$



## magnetische und elektrische Eigenschaften

Statt der Größen  $q_2$  bzw.  $q_2(24-100)$  wird vielfach auch der Hysteresebewert  $h$  benutzt. Er ist für Ringkerne ohne Luftspalt folgendermaßen definiert

$$\frac{R_{kh}}{L} = h \cdot H_{eff} \cdot f$$

wobei  $R_{kh}$  in  $\Omega$ ,  $L$  in  $H$ ,  $H_{eff}$  in  $\frac{A}{cm}$  und  $f$  in  $kHz$  angegeben wird. Bei Kernen mit Luftspalt und ungleichförmigem Querschnitt muß  $h$  durch  $h' = \frac{h}{\mu_i^2} \cdot \mu_e^2$  ersetzt werden.

$$\frac{R_{kh}}{L} = \frac{h}{\mu_i^2} \cdot \mu_e^2 \cdot H_{eff} \cdot f$$

Der relative Hysteresebewert  $\frac{h}{\mu_i^2}$  ist eine Werkstoffkonstante. Bei seiner

Verwendung ist die Kenntnis der Windungszahl der Spule bzw. der magnetischen Feldstärke im Kern erforderlich.

Zwischen  $q_2(24-100)$  und  $\frac{h}{\mu_i^2}$  besteht folgender Zusammenhang

$$q_2(24-100) = \frac{h}{\mu_i^2} \left\{ 1,46 \cdot 10^3 \frac{A \cdot kHz}{cm \cdot H^{1/2}} \right\}$$

Wirbelstromverlust

Der Wirbelstromverlust ist vom spezifischen Widerstand und von der Bauform abhängig. Der spezifische Widerstand von FERROXCUBE 4 ist so hoch, daß der Wirbelstromverlust stets zu vernachlässigen ist. Bei FERROXCUBE 3 tritt er erst bei höheren Frequenzen in Erscheinung, so daß der Anteil im Gesamtverlust einer FERROXCUBE Kernspule meist zu vernachlässigen ist.

Da die Berechnung bei Kernen mit unterschiedlichem Querschnitt ziemlich ungenau ist, geben wir hier keine Rechenformel für den Wirbelstromverlustwiderstand  $R_{kw}$  an.

Drahttabelle (Richtwerte)

## Kupfer-Runddraht

| Nenn-<br>durchmesser<br>(mm) | Außendurchmesser bei<br>Isolation mit |                       | $\Omega/\text{m}$ bei 20 °C<br>Nennwert<br>(DIN 6441/42) |
|------------------------------|---------------------------------------|-----------------------|--|
|                              | Lack<br>(mm)                          | Lack-1x-Seide<br>(mm) |  |
| 0,05                         | 0,060                                 | 0,100                 | 8,94   |
| 0,06                         | 0,070                                 | 0,110                 | 6,21   |
| 0,08                         | 0,092                                 | 0,133                 | 3,49   |
| 0,10                         | 0,115                                 | 0,157                 | 2,23   |
| 0,12                         | 0,135                                 | 0,177                 | 1,55   |
| 0,15                         | 0,170                                 | 0,214                 | 0,99   |
| 0,20                         | 0,220                                 | 0,265                 | 0,56   |
| 0,25                         | 0,275                                 | 0,325                 | 0,36   |
| 0,3                          | 0,325                                 | 0,377                 | 0,25   |
| 0,4                          | 0,430                                 | 0,484                 | 0,14   |
| 0,5                          | 0,535                                 | 0,591                 | 0,085  |
| 0,6                          | 0,640                                 | 0,699                 | 0,062  |
| 0,7                          | 0,740                                 | 0,799                 | 0,046  |
| 0,8                          | 0,850                                 | 0,912                 | 0,035  |
| 1,0                          | 1,050                                 | 1,112                 | 0,022  |
| 1,2                          | 1,260                                 | 1,325                 | 0,015  |



## HF-Litze

| Litzen-Nennmaße |                              | Außendurchmesser             |                                   | $\Omega/\text{m}$ bei 20 °C<br>Nennwert<br>(DIN 46447) |
|-----------------|------------------------------|------------------------------|-----------------------------------|--|
| Anzahl          | Nenn-<br>durchmesser<br>(mm) | ohne Um-<br>spinnung<br>(mm) | mit einfach<br>Naturseide<br>(mm) |  |
| 10              | 0,04                         | 0,187                        | 0,222                             | 1,43   |
| 20              |                              | 0,255                        | 0,295                             | 0,71   |
| 30              |                              | 0,305                        | 0,345                             | 0,47   |
| 60              |                              | 0,455                        | 0,495                             | 0,24   |
| 10              | 0,05                         | 0,227                        | 0,267                             | 0,91   |
| 20              |                              | 0,310                        | 0,350                             | 0,46   |
| 30              |                              | 0,370                        | 0,410                             | 0,30   |
| 60              |                              | 0,550                        | 0,590                             | 0,15   |
| 90              |                              | 0,660                        | 0,700                             | 0,10   |
| 6               | 0,07                         | 0,247                        | 0,278                             | 0,78   |
| 10              |                              | 0,310                        | 0,350                             | 0,47   |
| 20              |                              | 0,425                        | 0,465                             | 0,23   |
| 30              |                              | 0,505                        | 0,545                             | 0,15   |
| 60              |                              | 0,760                        | 0,800                             | 0,078  |
| 135             |                              | 1,097                        | 1,147                             | 0,034  |
| 20              | 0,10                         | 0,595                        | 0,635                             | 0,11   |
| 60              |                              | 1,067                        | 1,117                             | 0,038  |



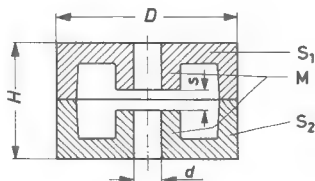


FERROXCUBE-Schalenkerne wurden für die Herstellung von verlustarmen und konstanten Filtern, Spulen und Transformatoren entwickelt. Sie zeichnen sich durch geschlossene Bauform bei geringem Gewicht und kleinem Volumen aus. Die wichtigsten Eigenschaften einer Schalenkernspule mit vorgegebener Selbstinduktion  $L$  sind die Güte  $Q$ , der Temperaturbeiwert, die zeitliche Konstanz und die Nichtlinearität (Verzerrungen). Besonders die Güte  $Q$  ist in weitem Bereich frequenzabhängig.

Das VALVO-Programm enthält zwei Typenreihen: Die P-Reihe (nach DIN 41 293) und die S-Reihe.

### Aufbau

Die Schalenkerne werden aus zwei gleichen Schalenkernhälften  $S_1$  und  $S_2$  (siehe Bild) zusammengesetzt. Die Paßflächen sind sorgfältig geschliffen. Durch Verkürzen der Mittelzapfen  $M$  kann ein Luftspalt  $s$  eingefügt werden. Bei einigen Typen ist der Luftspalt  $s$  durch Verkürzen des Zapfens einer Schalenkernhälfte entstanden. Insbesondere ist das der Fall, wenn  $s$  kleiner als ca. 0,12 mm ist.



### Schalenkerne der P-Reihe

Bei den Kernen der P-Reihe handelt es sich um eine systematisch aufgebaute Reihe von FERROXCUBE-Schalenkernen, die im Hinblick auf die Kernabmessungen magnetisch optimal dimensioniert sind.

Die Kernabmessungen wurden so ausgelegt, daß das bei niedrigen Frequenzen allein wichtige Gleichstrom-Verlustmaß  $\frac{R_{Cu}}{L}$  und das Hystereseverlustmaß  $\frac{R_{kh}}{L}$  (siehe folgende Seiten) bei vorgegebenem Volumen möglichst klein werden.

Die P-Schalenkerne werden aus den FERROXCUBE-Sorten 3H1, 3B7, 3D3 und 4C4 hergestellt. Diese besonders verlustarmen und stabilen FERROXCUBE-Sorten



ermöglichen bei vorgegebenen Spuleneigenschaften in den meisten Fällen die Verwendung einer kleineren Schalenkerngröße als bei den bisherigen Schalenkernen der S-Reihe und Topfkernen der D-Reihe aus FERROXCUBE 3B2 und 3B3.

Die Schalenkerne der P-Reihe werden in vorabgeglichener Ausführung mit  $A_L$ -Werten nach der DIN-Reihe R5 bzw. R10 geliefert. Die Schalenkernhälften ohne Luftspalt sind auch einzeln lieferbar.

#### Typenübersicht P-Kerne

| Abmessungen<br>(s. Bild) | P 11/7 | P 14/8 | P 18/11 | P 22/13 | P 26/16 | P 30/19 | P 36/22 | P 42/29 |
|--------------------------|--------|--------|---------|---------|---------|---------|---------|---------|
| $D_{\max}$               | 11,3   | 14,2   | 18,2    | 22      | 26      | 30,5    | 36,2    | 43,1    |
| $H_{\max}$               | 6,6    | 8,5    | 10,7    | 13,5    | 16,1    | 19      | 22      | 29,5    |
| $d_{\min}$               | 2      | 3      | 3       | 4,4     | 5,4     | 5,4     | 5,4     | 5,4     |

#### Typenübersicht S-Kerne

| Abmessungen<br>(s. Bild) | S 14/8 | S 18/12 | S 25/16 | S 35/23 | S 45/25 | S 66/56 |
|--------------------------|--------|---------|---------|---------|---------|---------|
| $D_{\max}$               | 14,2   | 18,3    | 25,4    | 35,5    | 45      | 67,5    |
| $H_{\max}$               | 8      | 12      | 16      | 23,2    | 25      | 56      |
| $d_{\min}$               | 2      | 3       | 5,1     | 0       | 5       | 0       |

Eigenschaften von Schalenkernspulen

Die Auswahl der einzelnen FERROXCUBE-Sorten für die verschiedenen Frequenzbereiche kann aus nachstehender Tabelle erfolgen:

| Verwendung                                   | Frequenzbereich | FXC-Sorte von Schalenkernen |             |
|--|-----------------|-----------------------------|-------------|
|  |                 | der P-Reihe                 | der S-Reihe |
| Filter und Schwingkreisspulen hoher Güte     | bis 150 kHz     | 3H1, 3B7                    | 3B2, 3B5    |
|  | bis 600 kHz     |                             | 3B3         |
|  | bis 1,5 MHz     | 3D3                         | 4B1         |
|  | bis 5 MHz       | 4C4                         | 4C1         |
|  | bis 30 MHz      |                             | 4E1         |
| Pupinspulen und klirrarmer Tonfrequenzspulen | bis 20 kHz      | 3H1                         | 3B5         |
| Transformatoren                              | bis 2 MHz       | 3H1                         | 3E1         |
|  | bis 40 MHz      | 4C4                         | 4B1         |

Induktivitätsfaktor

Die Abhängigkeit der Selbstinduktion  $L$  von der Windungszahl  $N$  wird durch den Windungsfaktor  $\alpha$  oder den Induktivitätsfaktor  $A_L$  angegeben.

Es ist

$$N = \alpha \sqrt{L} \quad (L \text{ in mH}); \quad \alpha \text{ ist also die Zahl der Windungen für 1 mH.}$$

Für  $A_L$  gilt

$$L = A_L \cdot N^2; \quad \text{Setzt man } L \text{ in nH ein, erhält } A_L \text{ die Dimension nH.}$$

Zwischen  $\alpha$  in  $\text{mH}^{-1/2}$  und  $A_L$  in nH besteht die Beziehung

$$A_L = \frac{1}{\alpha^2} 10^6; \quad \alpha = \frac{10^3}{\sqrt{A_L}}.$$

Bei allen Schalenkernen der P-Reihe und den kleineren Schalenkernen der S-Reihe läßt sich die Induktivität der Schalenkernspule durch einen Schraubabgleich in bestimmten Grenzen variieren.



### Die effektive Permeabilität $\mu_e$ (Äquivalentpermeabilität)

Die bestimmende Größe für die Eigenschaften der Schalenkernspule aus einer gegebenen FERROXCUBE-Sorte ist die effektive Permeabilität  $\mu_e$ . Auf  $\mu_e$  wird die Anfangspermeabilität beim Einfügen eines Luftspaltes in den magnetischen Kreis reduziert (geschert). Die effektive Permeabilität  $\mu_e$  entspricht der (ungescherten) Permeabilität eines gedachten Kernmaterials, das in einem homogenen magnetischen Kreis den gleichen magnetischen Widerstand ergeben würde.

$$\mu_e = \frac{L \cdot \sum \frac{1}{A}}{\mu_0 \cdot N^2} \quad \text{bzw.} \quad \mu_e = \frac{A_L \cdot \sum \frac{1}{A}}{4\pi}; \quad (A_L \text{ in nH}).$$

Außer durch einen Luftspalt kann  $\mu_e$  bei einem gegebenen Kern auch durch eine Gleichstrom-Vormagnetisierung variiert werden.

Die in den Datenblättern angegebenen Werte für  $\mu_e$ ,  $\alpha$  und  $A_L$  gelten für **v o l l g e w i c k e l t e** Spulenkörper bei niedrigen Frequenzen (bis 10 kHz).

Für die vorabgegliehenen Ausführungen der Schalenkerne ist der  $A_L$ -Wert bzw.  $\mu_e$  mit einer Toleranz angegeben. Bei den nicht vorabgegliehenen Schalenkernen der S-Reihe ist der Luftspalt die Bezugsgröße und die Angabe  $\mu_e$  nur als Richtwert aufzufassen.

Schalenkerne der P-Reihe mit Luftspalt werden nach  $A_L$ -Werten der R5-Reihe abgestuft. Die  $A_L$ -Werte sind in nH angegeben. In der folgenden Tabelle und auf den einzelnen Datenblättern sind die  $A_L$ -Werte der lieferbaren Kerne aufgeführt. Nicht angegebene  $A_L$ -Werte sind nur bei Abnahme großer Mengen möglich. Die Tabelle enthält die Richtwerte der effektiven Permeabilität  $\mu_e$ .

Die zulässige Toleranz der  $A_L$ -Werte ist auf den einzelnen Datenblättern angegeben. Sie gilt, ebenso wie der angegebene  $A_L$ -Wert selbst, nur für **v o l l g e w i c k e l t e** Spulen.



Effektive Permeabilität  $\mu_e$  für P-Schalengerne

| $A_L$<br>(nH)      | P 11/7 | P 14/8 | P 18/11 | P 22/13 | P 26/16 | P 30/19 | P 36/22 | P 42/29 |
|--------------------|--------|--------|---------|---------|---------|---------|---------|---------|
| 40                 | 31     | 25     | -       | -       | -       | -       | -       | -       |
| 63                 | 48     | 40     | 30      | 25      | -       | -       | -       | -       |
| 100                | 76     | 63     | 48      | 40      | 32      | -       | -       | -       |
| 160                | 122    | 101    | 76      | 63      | 51      | -       | -       | -       |
| 250                | 190    | 157    | 119     | 99      | 80      | 66      | 53      | -       |
| (315)              | -      | 198    | 150     | -       | -       | -       | -       | -       |
| 400                | -      | -      | 191     | 158     | 128     | 105     | 84      | 81      |
| 630                | -      | -      | -       | 249     | 202     | 166     | 132     | 130     |
| 1000               | -      | -      | -       | -       | -       | 263     | 210     | 250     |
| 1600               | -      | -      | -       | -       | -       | -       | 337     | 325     |
| 1950 <sup>+</sup>  | 1480   | -      | -       | -       | -       | -       | -       | -       |
| 2200 <sup>+</sup>  | -      | 1400   | -       | -       | -       | -       | -       | -       |
| 3670 <sup>+</sup>  | -      | -      | 1750    | -       | -       | -       | -       | -       |
| 4700 <sup>+</sup>  | -      | -      | -       | 1840    | -       | -       | -       | -       |
| 6300 <sup>+</sup>  | -      | -      | -       | -       | 1910    | -       | -       | -       |
| 7550 <sup>+</sup>  | -      | -      | -       | -       | -       | 1990    | -       | -       |
| 9600 <sup>+</sup>  | -      | -      | -       | -       | -       | -       | 2030    | -       |
| 10400 <sup>+</sup> | -      | -      | -       | -       | -       | -       | -       | 2100    |

### Die Güte Q

Näherungsweise gilt  $\tan \delta_k / \mu_i = \tan \delta'_k / \mu_e$ .  $\tan \delta_k$  ist der Verlustfaktor eines Kernes ohne Luftspalt und  $\tan \delta'_k$  der eines Kernes mit Luftspalt. Bei einem Schalengerne mit Luftspalt nehmen die Kernverluste mit kleiner werdendem  $\mu_e$  ab. Gleichzeitig nehmen die Kupferverluste zu, weil mehr Windungen erforderlich sind. Die Gesamtverluste werden am kleinsten, wenn die Kupferverluste gleich sind der Summe aus Kernverlusten und kapazitiven Verlusten. In Bild 2 ist die Frequenzabhängigkeit des Gesamtverlustwinkels  $\tan \delta$  und der verschiedenen Anteile für einen bestimmten Kern als Beispiel dargestellt.

Anstatt des  $\tan \delta$  benutzt man bei Spulen oft den Reziprokwert

$$Q = \frac{1}{\tan \delta} = \frac{\omega L}{R_v}$$

$R_v$  ist der Reihen-Ersatzwiderstand, in dem alle Verluste in Kern und Wicklung zusammengefaßt werden.

<sup>+</sup>) Schalengerne ohne Luftspalt aus FXC 3H1 (3B7)

Für die Ermittlung der Verlustanteile von Spulen rechnet man zweckmäßig mit den Verlustmaßen. Das Gesamtverlustmaß einer Spule ist

$$\frac{R_v}{L} = \underbrace{\frac{R_{Cu}}{L} + \frac{R_w}{L} + \frac{R_{cap}}{L}}_{\text{Wicklung}} + \underbrace{\frac{R_{kr}}{L} + \frac{R_{kh}}{L} + \frac{R_{kw}}{L}}_{\text{Kern}} + \underbrace{\frac{R_J}{L}}_{\text{Halterung}} \left[ \frac{\Omega}{H} \right] .$$

$\frac{R_{Cu}}{L}$  bezeichnet die Gleichstrom-Kupfer-Verluste,  $\frac{R_w}{L}$  die Wirbelstrom-Verluste und  $\frac{R_{cap}}{L}$  die dielektrischen Verluste der Wicklung. Die Kern-Verlustmaße sind  $\frac{R_{kr}}{L}$  für die Rest-Verluste,  $\frac{R_{kh}}{L}$  für die Hysterese-Verluste und  $\frac{R_{kw}}{L}$  für die Wirbelstrom-Verluste. Das Verlustmaß  $\frac{R_J}{L}$  enthält die zusätzlichen Verluste, die beim Einbau in eine Halterung entstehen (Parallelverluste). Bei niedrigen Frequenzen bis in die Nähe von 100 kHz überwiegen die Kupfer-Verluste.

Das Gleichstromverlustmaß ergibt sich zu

$$\frac{R_{Cu}}{L} = \frac{1}{\mu_0 \cdot \mu_e} \cdot \frac{l_w}{W} \cdot \frac{\rho_{Cu}}{f_{Cu}} \cdot \sum \frac{1}{A} \left[ \frac{\Omega}{H} \right] .$$

Die mittlere Windungslänge  $l_w$ , der Wickelquerschnitt  $W$  und die Kernkonstante  $\sum \frac{1}{A}$  sind ebenso wie die Berechnungshinweise für den Kupferfüllfaktor  $f_{Cu}$  auf den Datenblättern angegeben.  $\rho_{Cu}$  ist mit  $1,74 \cdot 10^{-6} \text{ } (\Omega \cdot \text{cm})$  einzusetzen.

Bei Verwendung des Widerstandsfaktors  $A_R$  erhält man

$$\frac{R_{Cu}}{L} = \frac{A_R}{A_L} \quad \text{mit} \quad A_R = \frac{l_w \cdot \rho_{Cu}}{W \cdot f_{Cu}} ;$$

$A_R$  hängt also nur von den Daten der Wicklung ab. Der  $A_R$ -Wert ist auf den Datenblättern der Schalenkerne angegeben und stets auf  $f_{Cu} = 0,5$  bezogen. Die genauere Ermittlung des wirklichen Kupferfüllfaktors ist aus den bei jedem Schalenkerntyp angegebenen Diagrammen möglich. Dann läßt sich der wirksame Widerstandsfaktor  $A_R^I$  ermitteln aus

$$A_R^I = A_R \cdot \frac{0,5}{f_{Cu}} .$$

Für die üblichen Schalenkerne liegt  $f_{Cu}$  bei Verwendung von Volldraht zwischen 0,45 bis 0,7 und bei Verwendung von isolierter HF-Litze zwischen 0,2 bis 0,4 bezogen auf vollgewickelten 1-Kammer-Spulenkörper.

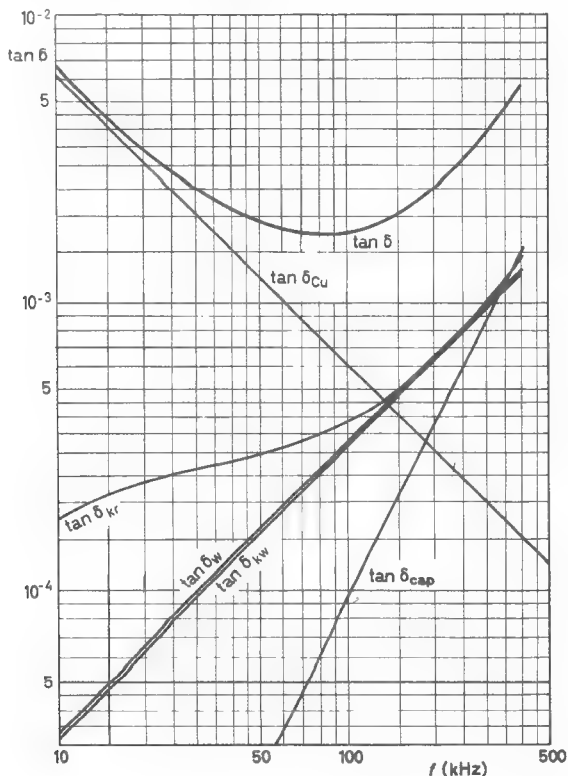


Bild 2

Frequenzabhängigkeit des Gesamtverlustwinkels  $\tan \delta$  und der Verlustwinkelanteile einer FERROXUBE-Spule (Beispiel: Topfkern D 36/22)

$L = 0,7 \text{ mH}$   $\mu_e = 35$   
 59 Wdgn. HF-Litze 63 x 0,07  
 FXC 3B2

Verlustwinkelanteile:

$\tan \delta_{Cu}$  = Kupferverluste  
 $\tan \delta_W$  = Wirbelstromverluste  
 $\tan \delta_{cap}$  = dielektrische Verluste  
 $\tan \delta_{kr}$  = Restverluste im Kern mit Luftspalt  
 $\tan \delta_{kw}$  = Wirbelstromverluste im Kern



Die Wirbelstromverluste lassen sich günstig beeinflussen durch Verwendung geeigneter HF-Litze. Mit steigender Frequenz wähle man kleinere Drahtstärken.

Wie aus Bild 2 ersichtlich, steigen über 100 kHz neben den Wirbelstromverlusten die dielektrischen Verluste schnell an. Sie werden verursacht durch den Verlustwinkel der Eigenkapazität. Die Eigenkapazität einer FERROXCUBE-Schalenkernspule liegt zwischen 5 und 40 pF. Man kann die dielektrischen Verluste klein halten durch gute Drahtisolation und kapazitätsarme Wicklung. Letzteres erreicht man durch Kreuzwicklung, Kammerwicklung und Verwendung dicker Isolation (2x mit Naturseide umsponnen oder Kunststoff-Zwischenlagen).

Von den Kernverlusten überwiegen bei kleinen Feldstärken meistens die Restverluste. Mit dem in der Werkstofftablette oder in den Kurven angegebenen Wert  $\frac{\tan \delta}{\mu_i}$  ergibt sich das Restverlustmaß zu

$$\frac{R_{kr}}{L} = \omega \cdot \mu_e \cdot \frac{\tan \delta}{\mu_i} \quad x) \quad \left[ \frac{\Omega}{H} \right]$$

Bei nicht sehr kleinen Spulenströmen werden auch die in Bild 2 vernachlässigten Hystereseverluste stärker in das Gesamtverlustmaß eingehen. Sie lassen sich ebenso wie die Gleichstrom- und Restverluste auf einfache Weise mit ausreichender Genauigkeit errechnen. Das Hystereseverlustmaß ist

$$\frac{R_{kh}}{L} = 92(24-100) \cdot I \cdot \frac{f}{800} \cdot \sqrt{\left( \frac{\mu_e}{100} \right)^3} \cdot L \cdot \frac{24}{V_e} \quad \left[ \frac{\Omega}{H} \right]$$

Infolge der Definition des in der Werkstofftablette angegebenen Hysteresefaktors sind in die obige Gleichung  $I$  in mA,  $f$  in Hz,  $L$  in H und  $V_e$  in  $\text{cm}^3$  einzusetzen. Das Hysteresevolumen  $V_e$  ist auf den jeweiligen Datenblättern angegeben.

x) Im Kernverlustfaktor  $\frac{\tan \delta}{\mu_i}$  ist auch ein vom spezifischen Widerstand der FERROXCUBE-Sorte und den Probenabmessungen abhängiger geringer Anteil Wirbelstromverluste enthalten.





Der in den Datenblättern angegebene mittlere magnetische Querschnitt  $A_e$  dient zur Berechnung der Induktion im Schalenkern

$$\hat{B} = \frac{U}{4,44 \cdot N \cdot f \cdot A_e} \quad \left[ \frac{Vs}{cm^2} \right]$$

Die mittlere Feldstärke im Schalenkern läßt sich angenähert aus der Formel

$$\hat{H} = \frac{I \cdot N \cdot \sqrt{2}}{l_e} \quad \left[ \frac{A}{cm} \right] \quad \text{ermitteln.}$$

Die aus dem Hysteresevolument ermittelte mittlere magnetische Weglänge  $l_e$  ist in den Datenblättern aufgeführt.

#### Der Temperaturbeiwert $TK_L$ einer Schalenkernspule

In der Werkstofftabelle ist für jede FERROXCUBE-Sorte der relative Temperaturbeiwert  $TK_{rel}$  angegeben.  $TK_{rel}$  ist eine Materialkonstante und auf  $\mu_i = 1$  bezogen. Der Temperaturbeiwert der Selbstinduktion  $L$  einer Schalenkernspule hängt praktisch nicht von dem Temperaturverhalten der Wicklung ab, da  $\mu_e$  allgemein größer als 30 ist.  $TK_L$  kann also gleich  $TK_{\mu_e}$  gesetzt werden.

$$TK_L = \mu_e \cdot TK_{rel}$$

#### Die zeitliche Konstanz

Die zeitliche Konstanz der Induktivität einer Schalenkernspule hängt von  $\mu_e$  und der Desakkommodation des FERROXCUBE-Materials ab (siehe auch ALLGEMEINES, Abschnitt Desakkommodation). In der Werkstofftabelle ist die Desakkommodation  $DA_{rel}$  für diejenigen FERROXCUBE-Sorten angegeben, für die ein oberer Grenzwert garantiert wird.



$DA_{rel}$  ist die auf  $\mu_1 = 1$  bezogene relative Desakkommodation (Alterung) für eine Zeitdekade.

$$DA_{rel} = \frac{\mu_1 - \mu_2}{\mu_1^2 \cdot \lg \frac{t_2}{t_1}}$$

$\mu_1$  = Anfangspermeabilität gemessen im Zeitpunkt  $t_1$  (in Sekunden) nach vollständiger Entmagnetisierung.

$\mu_2$  = Anfangspermeabilität gemessen im Zeitpunkt  $t_2$  (in Sekunden) nach vollständiger Entmagnetisierung.

Da die Abnahme der Permeabilität mit der Zeit weitgehend logarithmisch verläuft, gilt die Formel angenähert für beliebig gewählte Zeitpunkte  $t_1$  und  $t_2$ .

Die maximale zeitliche Inkonstanz einer Spule pro Zeitdekade ist also

$$\frac{\Delta L}{L_1} = DA_{rel} \cdot \mu_e \quad .$$

### Die Nichtlinearität

Wegen der nichtlinearen Beziehungen zwischen der Induktion und der Feldstärke treten – außer bei sehr kleinen Feldstärken – Verzerrungen der induzierten Spannung gegenüber der Feldstärke auf. Diese Verzerrungen sind rechnerisch schwer zu ermitteln. Lediglich in dem Gebiet, in dem FERROX-CUBE annähernd dem Rayleigh-Gesetz folgt (bis ca.  $40 \cdot 10^{-8}$  Vs/cm<sup>2</sup>), lassen sich Richtwerte für die Verzerrungen der Spulenspannung angeben. Da die Verzerrungen sich weitgehend in Form der 3. Oberschwingung der Spulenspannung auswirken, genügt es in den meisten Fällen, den Anteil der 3. Oberschwingung  $E_3$  bezogen auf die Grundschiwingung  $E_1$  zu kennen.

$$\frac{E_3}{E_1} = \frac{3}{5} \tan \delta_{kh}$$

$E_3$  und  $E_1$  sind die in einer Spule induzierten Spannungen bei sinusförmig vorausgesetztem Spulenstrom,  $\tan \delta_{kh}$  ist der Hystereseverlustfaktor.



### Induktivitätsabgleich

Die genaue Einstellung der Spuleninduktivität erfolgt bei Schalenkernen mittels Schraubabgleich. Die angegebenen Abgleichkurven sind Mittelwerte. Eisenfreie Abgleichsschlüssel stellen wir auf Wunsch zur Verfügung.

### P-Schalenkerne Zubehörteile und Spulenmontage

Bei allen Schalenkernen der P-Reihe ist der Schraubabgleich von der Halterung abhängig. Die P-Schalenkerne können, je nach Einsetzen in die Halterung, von oben oder unten abgeglichen werden. Zu den einzelnen  $A_L$ -Werten der P-Schalenkerne sind jeweils verschiedene, farblich gekennzeichnete Abgleichstifte zu verwenden. Sie bewirken stets einen Abgleichsbereich zwischen ca. 8 und 14 %. Die Gewindenippel für die Abgleichstifte werden in das Mittelloch der P-Schalenkerne eingeklebt. Wir liefern P-Schalenkerne mit eingeklebtem Gewindenippel, wenn die für jeden  $A_L$ -Wert angegebene Typ-Nr. mit dem Zusatz .../01 versehen wird, z.B. K3 007 03/01. Schalenkerne ohne Luftspalt liefern wir stets ohne Gewindenippel.

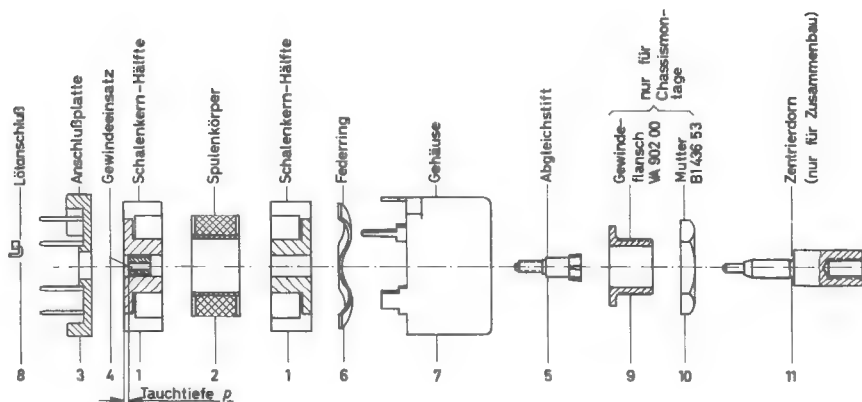
Für jeden Schalenkern mit Luftspalt sind in den Datenblättern die Abgleichkurven angegeben. Für größere oder kleinere Abgleichbereiche können auch die Abgleichstifte eines höheren oder kleineren  $A_L$ -Wertes benutzt werden.

Bei den Schalenkernen P 30/19 und größer liegen Schalenkernboden und Unterseite Gewindeeinsatz nicht immer in gleicher Höhe. Die Tauchtiefe p, d.h. Abstand der Unterseite des Nippels zum Schalenkernboden, ist bei den Abgleichkurven angegeben, wenn die Tauchtiefe p von Null abweicht.

### Halterungen

Die Halterungen der P-Schalenkerne sind weitgehend einheitlich ausgelegt. Die Halterungen für P 18/11 und größer sind sowohl für den Einsatz in gedruckter Schaltung als auch in konventioneller Verdrahtung verwendbar. Die Zubehörteile eines P-Schalenkernes sind in der folgenden Skizze dargestellt.

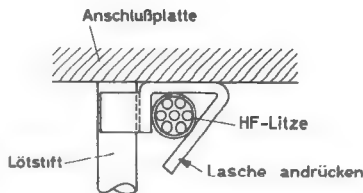
Der Federring (Teil 6) ist in jedem Fall unten in das Gehäuse einzulegen. Die Federkonstante ist so gewählt, daß die Schalenkerne in der Halterung dem auf den Datenblättern angegebenen Meßdruck ausgesetzt sind. Nach Ein-



Zusammenstellung aller Zubehörteile (Beispiel P 18/11)

legen des Schalenkernes mit Spule ist beim Aufsetzen der Anschlußplatte (Teil 3) darauf zu achten, daß nach Umbiegen der drei Gehäuselaschen die Platte fest auf dem oberen Rand des Gehäuses (Teil 7) aufliegt. Wir empfehlen die Verwendung von speziellen Werkzeugen, zu denen wir auf Wunsch Zeichnungen zur Verfügung stellen.

Das Verlöten der Spulenanschlüsse an die Lötstifte der Anschlußplatten kann durch aufgeschobene Lötclennen (Teil 8) bei Verwendung von HF-Litze sehr erleichtert werden. Die Lötclennen werden auf die Lötstifte geschoben. Nach Einlegen der Spulenzuleitung wird die Lasche gemäß nebenstehendem Bild angedrückt. Auf diese Weise ist das gleichzeitige Anlöten aller Spulenanschlüsse an die Stifte der Anschlußplatten im Tauchlötverfahren möglich. Das Material der Anschlußplatten



Lötanschluß B1 431 53

ist weitgehend tauchlöttest. Zu beachten ist, daß die Verzinnung an den Lötstiften nicht über die Oberkante der Anschlußplatte hinausragt. Die Lötkekmen B1 431 53 werden nur bei besonderer Bestellung mitgeliefert.

Bei konventioneller Verdrahtungstechnik wird vor dem Einsetzen des Schalenkernes ein M8-Gewindeflansch (Teil 9) in den Boden des Gehäuses eingelegt. Mit der Sechskantmutter (Teil 10) ist auf diese Weise eine Einlochmontage in der Chassisplatte möglich.

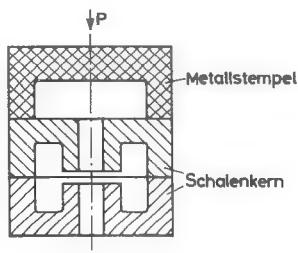
Die Schalenkerne P 11/7 und P 14/8 eignen sich nur für gedruckte Leiterplatten. Zu P 14/8 ist auch ein Gehäuse für Zentrierbefestigung lieferbar.

Für die Montage der Schalenkerne sind Zentrierdorne (Teil 11) zweckmäßig, die auch bei dem Imprägnieren der Schalenkernspulen verwendet werden. Sie müssen kurz vor dem Erstarren des Imprägniermittels aus dem Kern gezogen werden.

Zur Erhöhung der Spulenstabilität empfehlen wir, den bewickelten Spulenkörper auf den Kammerboden einer Schalenkernhälfte festzukleben. Diese Klebung kann bei den Makrolon-Spulenkörpern mit Bostik A4 oder mit Araldit D erfolgen.

Bei den P-Schalenkernen ist unsere Halterung so dimensioniert, daß ein Verkleben der Schalenkernhälften im allgemeinen nicht erforderlich ist. Nur bei hohen Forderungen für die Konstanz und Verwendung in stoßbeanspruchten Geräten ist eine Verklebung der Kernhälften angebracht.

Bei allen Messungen an Schalenkernen sind die beiden Hälften gut zentriert aufeinanderzudrücken. Dieser Druck ist gemäß nebenstehendem Bild ringförmig aufzubringen. Der empfohlene Meßdruck ist auf den einzelnen Datenblättern angegeben.





Die Schalenkerne der S-Reihe werden nach und nach durch Schalenkerne der P-Reihe ersetzt, jedoch bleiben die Schalenkerne der S-Reihe noch für einige Jahre lieferbar.

Übersicht über FERROXCUBE-Schalen- und Topfkern:

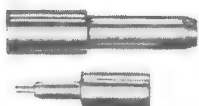
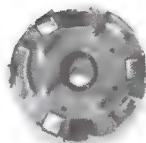
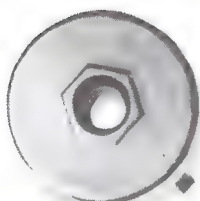
| Kerntyp | Werkstoff | A <sub>L</sub> -Wert (nH) |                          | Bemerkungen |
|---------|-----------|---------------------------|--------------------------|-------------|
|         |           | ohne Luftspalt            | mit Luftspalt            |             |
| P-Reihe |           |                           |                          |             |
| P 11/7  | 3H1       | 1950                      | 250; 160; 100            |             |
|         | 3B7       | 1950                      |                          |             |
|         | 3D3       |                           | 63; 40                   |             |
|         | 4C4       |                           | 40; 25                   |             |
| P 14/8  | 3H1       | 2200                      | 315; 250; 160; 100       |             |
|         | 3B7       | 2200                      | 315; 250; 160            |             |
|         | 3D3       |                           | 63; 40                   |             |
|         | 4C4       |                           | 40; 25                   |             |
| P 18/11 | 3H1       | 3670                      | 400; 315; 250; 160       |             |
|         | 3B7       | 3670                      |                          |             |
|         | 3D3       |                           | 100; 63                  |             |
|         | 4C4       |                           | 40; 25                   |             |
| P 22/13 | 3H1       | 4700                      | 630; 400; 250; 160       |             |
|         | 3B7       | 4700                      |                          |             |
|         | 3D3       |                           | 100; 63                  |             |
|         | 4C4       |                           | 63; 40                   |             |
| P 26/16 | 3H1       | 6300                      | 600; 400; 250            |             |
|         | 3B7       | 6300                      |                          |             |
|         | 3D3       |                           | 160; 100                 |             |
|         | 4C4       |                           | 100; 63                  |             |
| P 30/19 | 3H1       | 7550                      | 1000; 630; 400; 250      |             |
|         | 3B7       | 7550                      |                          |             |
| P 36/22 | 3H1       | 9600                      | 1600; 1000; 630;         |             |
|         | 3B7       | 9600                      | 400; 250                 |             |
| P 42/29 | 3H1       | 10400                     | 1600; 1000; 630;<br>400; |             |

Die Kerntypen P 11/7 bis P 26/16 sind auch aus FXC 4C4 in jeweils 2 niedrigen A<sub>L</sub>-Werten lieferbar.



| Kerntyp        | Werkstoff | A <sub>L</sub> -Wert (nH) |                      | Bemerkungen |
|----------------|-----------|---------------------------|----------------------|-------------|
|                |           | ohne Luftspalt            | mit Luftspalt        |             |
| <u>S-Reihe</u> |           |                           |                      |             |
| S 14/8         | 3B2       | 1070                      | 138; 89; 66,7; 55    |             |
|                | 3E1       | 2200                      |                      |             |
|                | 4B1       | 426                       | 75; 60; 50           |             |
|                | 4C1       | 240                       |                      |             |
|                | 4E1       | 37                        |                      |             |
| S 18/12        | 3B2       | 1370                      | 160; 108             |             |
|                | 3B3       |                           | 78; 49,6             |             |
|                | 3E1       | 2700                      |                      |             |
| S 23/17        | 3B5       | 3700                      | 400; 250; 160        |             |
|                | 3E1       | 5300                      |                      |             |
| S 25/16        | 3B2       | 2400                      | 417; 278; 223        |             |
|                | 3B3       |                           | 166,5;               |             |
|                | 3E1       | 4950                      |                      |             |
| S 35/23        | 3B5       | 6400                      | 977; 595; 473        |             |
|                | 3E1       | 10600                     |                      |             |
| S 45/25        | 3B5       | 7750                      | 918                  |             |
| S 66/56        | 3E1       | 18500                     | 3000                 |             |
| <u>D-Reihe</u> |           |                           |                      |             |
| D 25/12        | 3B2       |                           | 495; 238; 152        |             |
|                | 3B3       |                           | 88,5                 |             |
| D 25/16        | 3B2       |                           | 356; 260; 193; 108,5 |             |
|                | 3B3       |                           | 62,4                 |             |
| D 36/22 N      | 3B2       |                           | 693; 453; 370        |             |
|                | 3B3       |                           | 204; 90,7            |             |
| D 45/39        | 3B5       |                           |                      |             |
| D 60/42        | 3B5       |                           |                      |             |

# P-Schalenkerne Übersicht

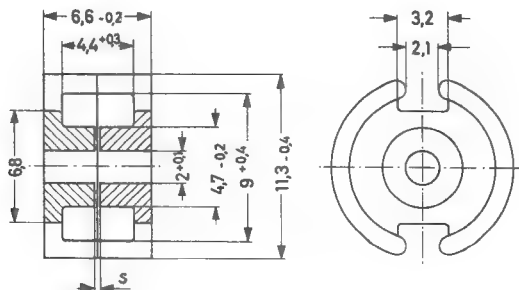






## P-Schalenkern P 11/7

### Kerntypen



Der Schalenkern P 11/7 entspricht etwa DIN 41 293,  
(Abweichung: Durchmesser der Innenbohrung  $2,0^{+0,1}$  anstatt  $1,8^{+0,2}$ )

### Technische Daten

Vorabgeglichene Schalenkernsätze

| Typ       | Ausführung        | $A_L$ -Wert<br>(nH) | FXC<br>Sorte | $\mu_e$<br>Richtwert | Abgleichstift   |                 |
|-----------|-------------------|---------------------|--------------|----------------------|-----------------|-----------------|
|           |                   |                     |              |                      | Typ             | Kenn-<br>farbe  |
| K3 003 00 | P 11/7-3H1-o.L.   | $1950 \pm 25\%$     | 3H1          | 1480                 | in Vorbereitung | in Vorbereitung |
| K3 006 13 | P 11/7-3H1-AL 250 | $250 \pm 5\%$       | 3H1          | 190                  |                 |                 |
| K3 006 12 | P 11/7-3H1-AL 160 | $160 \pm 3\%$       | 3H1          | 122                  |                 |                 |
| K3 006 11 | P 11/7-3H1-AL 100 | $100 \pm 3\%$       | 3H1          | 76                   |                 |                 |
| K3 006 32 | P 11/7-3D3-AL 63  | $63 \pm 2\%$        | 3D3          | 48                   |                 |                 |
| K3 006 31 | P 11/7-3D3-AL 40  | $40 \pm 2\%$        | 3D3          | 31                   |                 |                 |
| K3 006 39 | P 11/7-4C4-AL 40  | $40 \pm 2\%$        | 4C4          | 31                   | in Vorbereitung | in Vorbereitung |
| K3 006 38 | P 11/7-4C4-AL 25  | $25 \pm 2\%$        | 4C4          | 19                   |                 |                 |

Schalenkernhälften ohne Luftspalt

| Typ       | FXC-Sorte         |
|-----------|-------------------|
| K5 352 16 | 3H1               |
| K5 352 15 | 3B7 (auf Anfrage) |
| K5 352 17 | 3D3               |
| K5 352 19 | 4C4               |

Die für Kerne aus FXC 3H1 angegebenen  $A_L$ -Werte und Abgleichstifte gelten auch für Schalenkerne aus FXC 3B7

# P-Schalenkern P 11/7

magnetische Daten



Magn. Formkonstante

$$\sum \frac{1}{A} = 9,56 \text{ cm}^{-1}$$

Hysteresevolumen

$$V_e = 0,25 \text{ cm}^3$$

Mittl. magn. Weglänge

$$l_e = 1,55 \text{ cm}$$

Mittl. Kernquerschnitt

$$A_e = 0,16 \text{ cm}^2$$

Gleichstromverlustmaß

$$\frac{R_{Cu}}{L} = \frac{87 \cdot 10^3}{f_{Cu} \cdot A_L} \frac{\Omega}{H} \text{ wenn } [A_L] \text{ in nH}$$

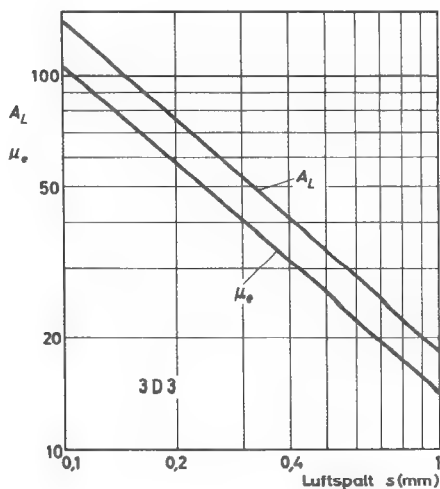
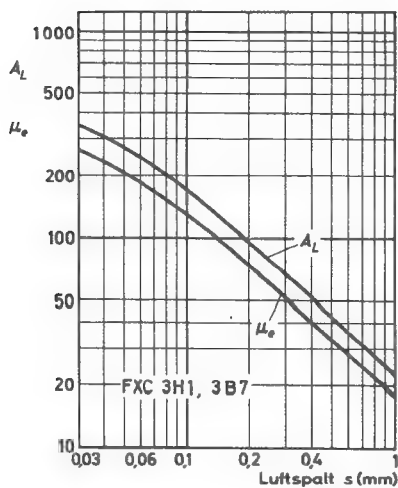
(mit 1-Kammer-Spulenkörper)

Meßdruck

$$3 \text{ kg}$$

Gewicht (pro Satz)

$$1,8 \text{ g}$$



$\mu_e$  und  $A_L$  (in nH) in Abhängigkeit vom Luftspalt  $s$

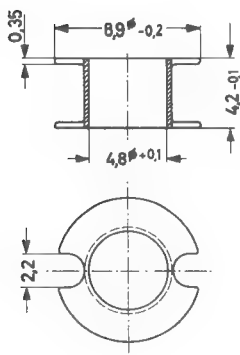


# P-Schalenkern P 11/7

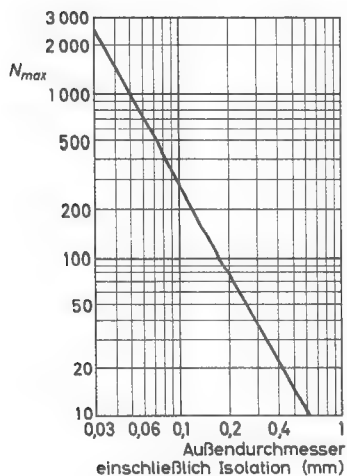
## Wickeldaten

Spulenkörper (nach DIN 41 294)

P5 055 71 1 Kammer

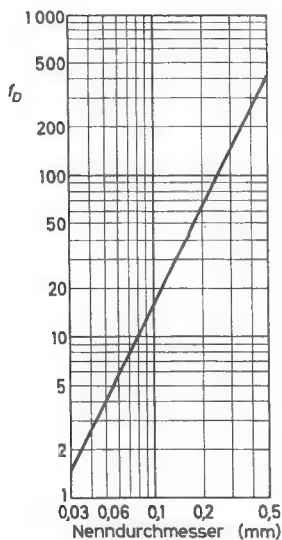


|                                     |                          |
|-------------------------------------|--------------------------|
| Werkstoff                           | Makrolon S               |
| Temperaturbereich                   | -50 bis +120 °C          |
| Wickelquerschnitt W                 | 0,048 cm <sup>2</sup>    |
| Mittl. Windungslänge l <sub>w</sub> | 2,3 cm                   |
| Widerstandsfaktor A <sub>R</sub>    | 184 · 10 <sup>-6</sup> Ω |



Maximale Windungszahl als Funktion des Draht-Außendurchmessers

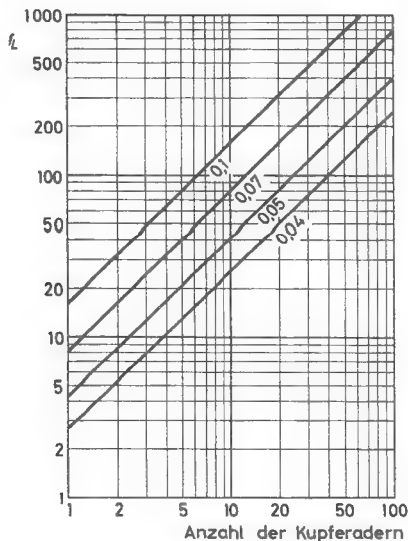
Kupferfüllfaktor  $f_{Cu}$



Kupfer-Runddraht

$$f_{Cu} = 10^{-4} \cdot f_D \cdot N_{max}$$

Zusammenhang zwischen „Nennendurchmesser“ und „Außendurchmesser einschließlich Isolation“, siehe Allgemeines, Drahttabelle

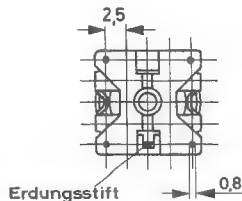
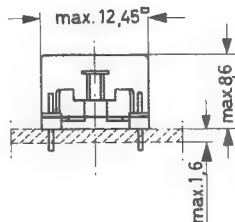


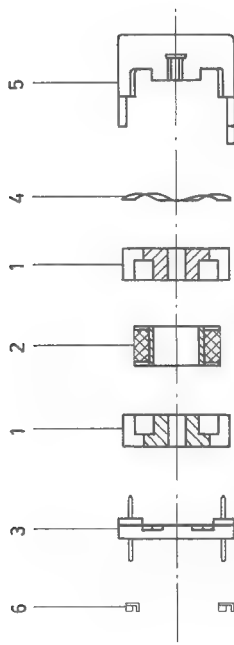
HF-Litze

$$f_{Cu} = 10^{-4} \cdot f_L \cdot N_{max}$$

Zusammenhang zwischen „Anzahl der Kupferadern“ und „Außendurchmesser einschließlich Isolation“, siehe Allgemeines, Drahttabelle

Halterung

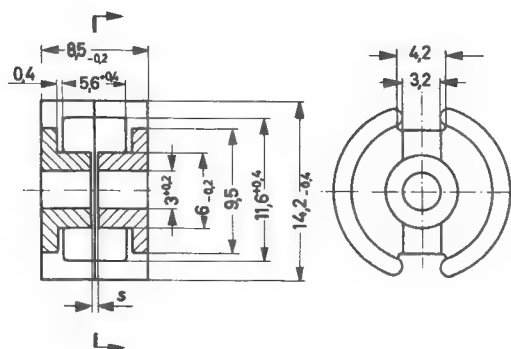




Zusammenstellung aller Zubehörteile

| Teil | Typ            | Bezeichnung    | Werkstoff    | Bemerkungen  |
|------|----------------|----------------|--------------|--------------|
| 1    | s. Kerntypen   | Schalenkern    | FERROXCUBE   | Typ angeben  |
| 2    | P5 055 71      | Spulenkörper   | Makrolon S   | 1 Kammer     |
| 3    | 4322 021 30180 | Anschlußplatte | Preßstoff    | 4 Anschlüsse |
| 4    | B1 480 31      | Federstahl     | Federstahl   | rostfrei     |
| 5    | B1 410 46      | Gehäuse        | Ms, verzinkt |              |
| 6    | B1 431 53+     | Lötanschluß    | Ms, verzinkt |              |

+) wird nur bei besonderer Bestellung mitgeliefert



Der Schalenkern P 14/8 entspricht DIN 41 293

### Technische Daten

Vorabgeglichene Schalenkernsätze

| Typ       | Ausführung       | A <sub>L</sub> -Wert<br>(nH) | FXC<br>Sorte | μ <sub>e</sub><br>Richtwerte | Luft-<br>spalt<br>s (mm) | Abgleichstift |                |                                |
|-----------|------------------|------------------------------|--------------|------------------------------|--------------------------|---------------|----------------|--------------------------------|
|           |                  |                              |              |                              |                          | Typ           | Kenn-<br>farbe | $\frac{A_{L_{max}}}{L}$<br>(%) |
| K5 002 10 | P 14/8-3H1-o.L.  | 2200 $\pm$ 25 %              | 3H1          | 1400                         | 0                        |               |                |                                |
| K3 005 54 | P 14/8-3H1-AL315 | 315 $\pm$ 5 %                | 3H1          | 198                          | 0,08                     | P5 057 38     | grau           | 11-14                          |
| K3 005 53 | P 14/8-3H1-AL250 | 250 $\pm$ 3 %                | 3H1          | 157                          | 0,1                      | P5 056 94     | braun          | 8-12                           |
| K3 005 52 | P 14/8-3H1-AL160 | 160 $\pm$ 3 %                | 3H1          | 101                          | 0,18                     | P5 056 59     | weiß           | 8-12                           |
| K3 005 51 | P 14/8-3H1-AL100 | 100 $\pm$ 2 %                | 3H1          | 63                           | 0,3                      | P5 056 58     | gelb           | 10-14                          |
| K3 005 72 | P 14/8-3D3-AL 63 | 63 $\pm$ 2 %                 | 3D3          | 40                           | 0,6                      | P5 056 03     | rot            | 9-13                           |
| K3 005 71 | P 14/8-3D3-AL 40 | 40 $\pm$ 2 %                 | 3D3          | 25                           | 1,0                      | P5 056 04     | grün           | 9-13                           |
| K3 005 78 | P 14/8-4C4-AL 40 | 40 $\pm$ 2 %                 | 4C4          | 25                           |                          | P5 056 04     | grün           |                                |
| K3 005 77 | P 14/8-4C4-AL 25 | 25 $\pm$ 2 %                 | 4C4          | 16                           |                          | P5 056 04     | grün           |                                |

Schalenkernhälften ohne Luftspalt

| Typ       | FXC-Sorte            |
|-----------|----------------------|
| K5 351 82 | 3H1                  |
| K5 351 87 | 3H1 (Sondertoleranz) |
| K5 351 80 | 3D3                  |
| K5 351 81 | 3B7 (auf Anfrage)    |
| K5 351 84 | 4C4                  |

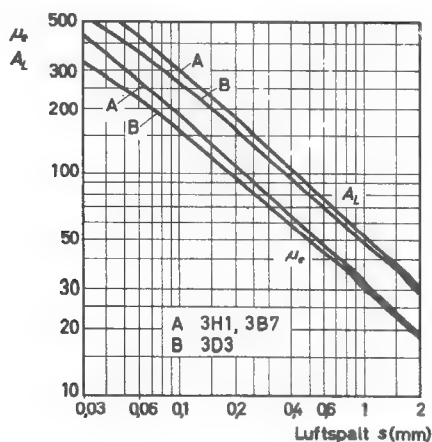
Schalenkern mit Luftspalt werden mit eingeklebtem Gewindeinsatz (Teil 4) geliefert, wenn die Typ-Nr. mit Anhang /01 versehen ist, z.B. K3 005 53/01



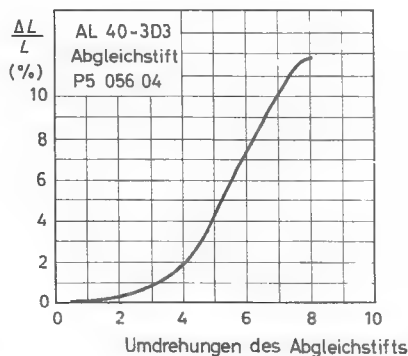
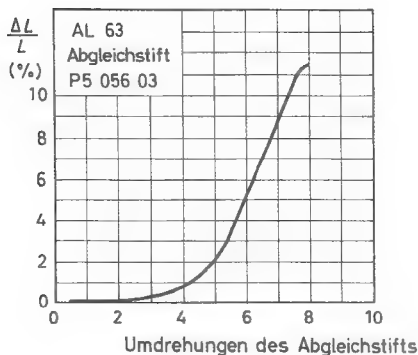
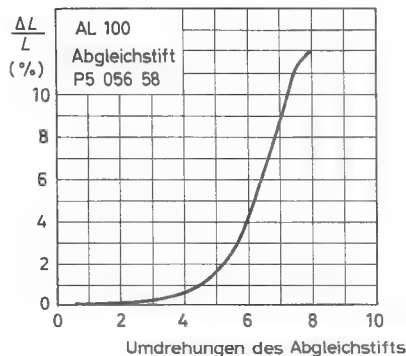
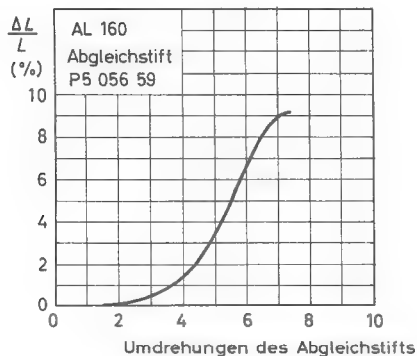
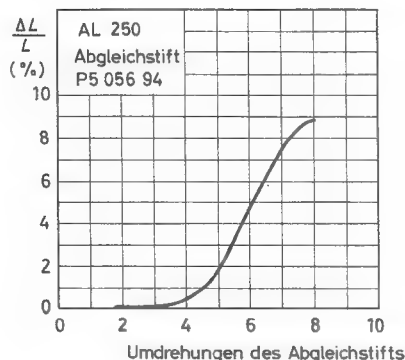
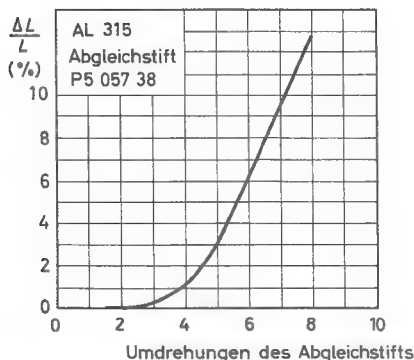
# P-Schalenkern P 14/8

## magnetische Daten

|  |   |
|--|---|
| Magn. Formkonstante                                  | $\sum \frac{1}{A} = 7,89 \text{ cm}^{-1}$   |
| Hysteresevolumen                                     | $V_e = 0,49 \text{ cm}^3$   |
| Mittl. magn. Weglänge                                | $l_e = 2,0 \text{ cm}$  |
| Mittl. Kernquerschnitt                               | $A_e = 0,25 \text{ cm}^2$   |
| Gleichstromverlustmaß<br>(mit 1-Kammer-Spulenkörper) | $\frac{R_{Cu}}{L} = \frac{57 \cdot 10^3}{f_{Cu} \cdot A_L} \frac{\Omega}{H} \quad \text{wenn } [A_L] \text{ in nH}$ |
| Meßdruck   | 6 kg  |
| Gewicht (pro Satz)                                   | 3,2 g   |



$\mu_e$  und  $A_L$  (in nH) in Abhängigkeit vom Luftspalt  $s$



Abgleichbereiche mit den angegebenen Abgleichstiften





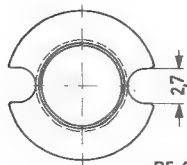
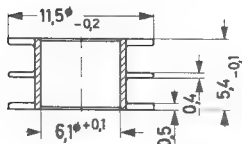
# P-Schalenkern P14/8

## Wickeldaten

Spulenkörper (nach DIN 41 294)

P5 055 72 1 Kammer

P5 055 73 2 Kammern



P5 055 73

Werkstoff

Makrolon S

Temperaturbereich

-50 bis +120 °C

Wickelquerschnitt W

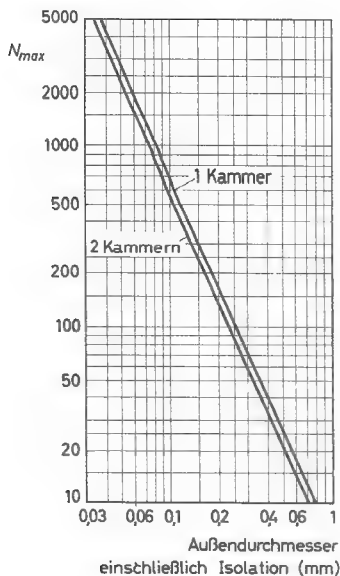
0,087 cm<sup>2</sup>, 1 K.  
2x 0,04 cm<sup>2</sup>, 2 K.

Mittl. Windungslänge l<sub>W</sub>

2,85 cm

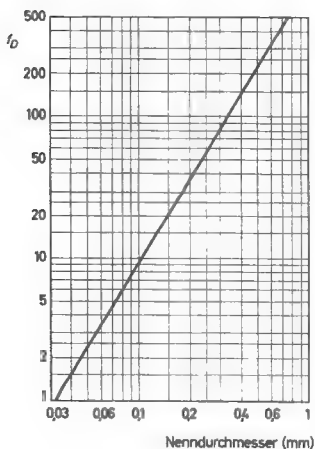
Widerstandsfaktor A<sub>R</sub>

124 · 10<sup>-6</sup> Ω



Maximale Windungszahl als Funktion  
des Draht-Außendurchmessers

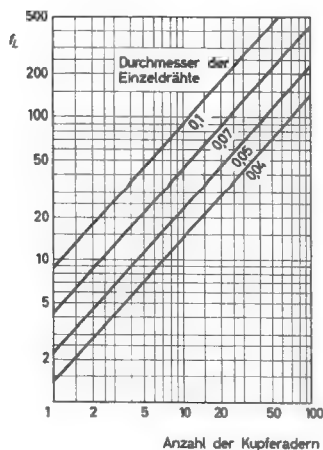
Kupferfüllfaktor  $f_{Cu}$



Kupfer-Runddraht

$$f_{Cu} = 10^{-4} \cdot f_D \cdot N_{max}$$

Zusammenhang zwischen „Nennndurchmesser“ und „Außendurchmesser einschließlich Isolation“, siehe Allgemeines, Drahttabelle

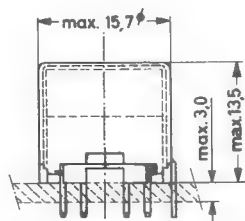


HF-Litze

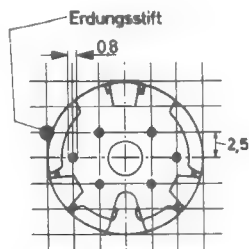
$$f_{Cu} = 10^{-4} \cdot f_L \cdot N_{max}$$

Zusammenhang zwischen „Anzahl der Kupferadern“ und „Außendurchmesser einschließlich Isolation“, siehe Allgemeines, Drahttabelle

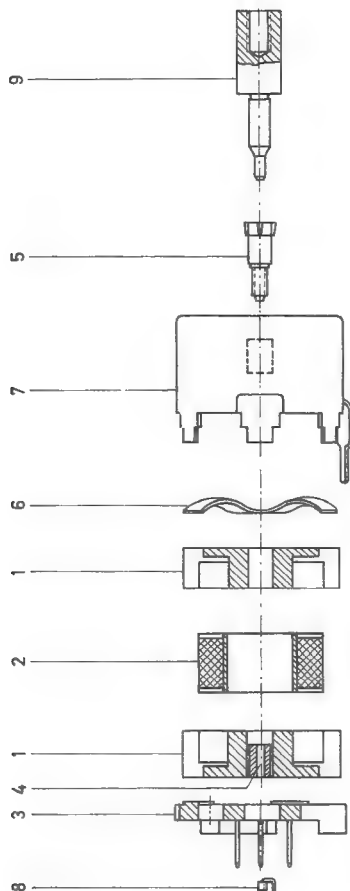
Halterung



Montage auf gedruckter Platte



Lage der Anschlüsse



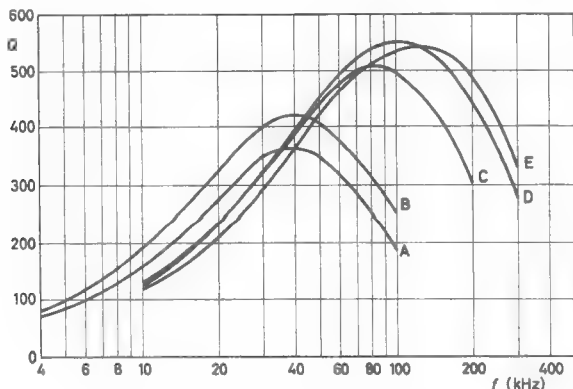
Zusammenstellung aller Zubehörteile

| Teil | Typ                    | Bezeichnung                   | Werkstoff             | Bemerkungen                                   |
|------|------------------------|-------------------------------|-----------------------|---|
| 1    | s. Kerntypen P5 055 72 | Schalenkern Spulenkörper      | PERROXCUBE Makrolon S | Typ angeben<br>1 Kammer, P5 055 73: 2 Kammern |
| 3    | P4 057 25              | Anschlußplatte Gewindeeinsatz | Preßstoff Makrolon S  | 6 Anschlüsse eingeklebt, wenn bestellt        |
| 4    | P5 055 99              | Abgleichstift                 | Bilsan                | rostfrei                                      |
| 5    | s. Kerntypen B1 480 21 | Federring                     | Federstahl            |   |
| 6    | B1 410 47              | Gehäuse                       | Ms, vernickelt        |   |
| 7    | B1 431 53+             | Lötanschluß                   | Ms, verzinkt          |   |
| 8    | VA 902 06+)            | Zentrierdorn                  |                       | nur für Montage; immer wieder verwendbar      |

+ ) wird nur bei besonderer Bestellung mitgeliefert



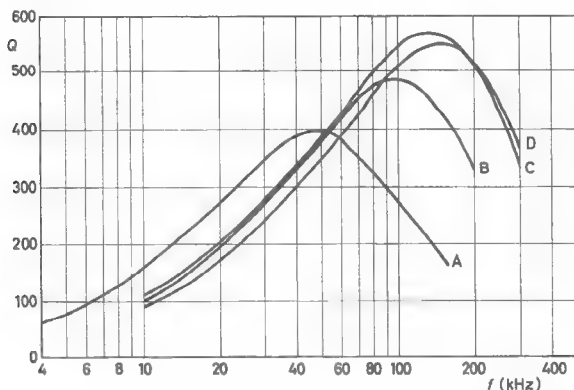
Die nachfolgenden Gütekurven wurden an Schalenkernspulen in geerdetem Gehäuse gemessen. Induktion im Kern:  $\hat{B}$  ca.  $10 \cdot 10^{-8} \frac{Vs}{cm^2}$



|   |
|---|
| A: L = 55,6 mH, 420 Wdgn. 0,12 CuL      |
| B: L = 33,4 mH, 323 Wdgn. 0,15 CuL      |
| C: L = 4,44 mH, 118 Wdgn. 24 x 0,04 CuL |
| D: L = 1,18 mH, 61 Wdgn. 45 x 0,04 CuL  |
| E: L = 1,14 mH, 60 Wdgn. 45 x 0,04 CuLS |

AL 315  
3H1, 3B7

1 Kammer



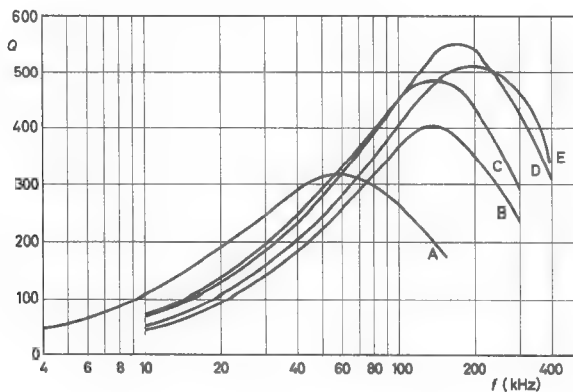
|   |
|---|
| A: L = 26,2 mH, 323 Wdgn. 0,15 CuL      |
| B: L = 3,54 mH, 118 Wdgn. 24 x 0,04 CuL |
| C: L = 0,94 mH, 61 Wdgn. 45 x 0,04 CuL  |
| D: L = 0,44 mH, 42 Wdgn. 64 x 0,04 CuL  |

AL 250  
3H1, 3B7

1 Kammer



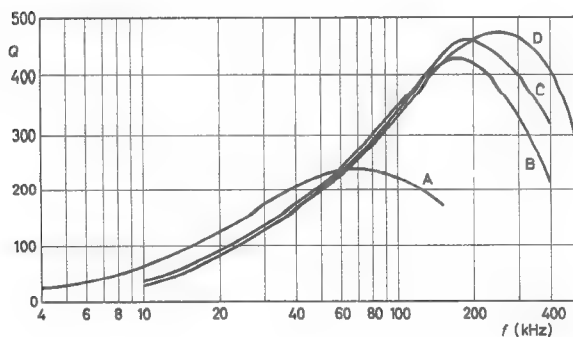
# P-Schalenkern P14/8 Gütekurven



$A_L$  160  
3H1, 3B7

1 Kammer

|    |            |               |                |
|----|------------|---------------|----------------|
| A: | $L = 16,9$ | mH, 323 Wdgn. | 0,15 CuL       |
| B: | $L = 6,96$ | mH, 207 Wdgn. | 10 x 0,04 CuLS |
| C: | $L = 2,27$ | mH, 118 Wdgn. | 24 x 0,04 CuL  |
| D: | $L = 0,60$ | mH, 61 Wdgn.  | 45 x 0,04 CuL  |
| E: | $L = 0,28$ | mH, 42 Wdgn.  | 64 x 0,04 CuL  |



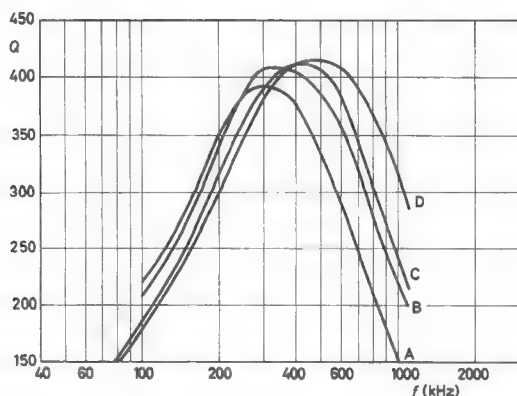
$A_L$  100  
3H1, 3B7

1 Kammer

|    |            |               |                |
|----|------------|---------------|----------------|
| A: | $L = 10,6$ | mH, 323 Wdgn. | 0,15 CuL       |
| B: | $L = 1,41$ | mH, 118 Wdgn. | 24 x 0,04 CuL  |
| C: | $L = 0,37$ | mH, 61 Wdgn.  | 45 x 0,04 CuL  |
| D: | $L = 0,36$ | mH, 60 Wdgn.  | 45 x 0,04 CuLS |

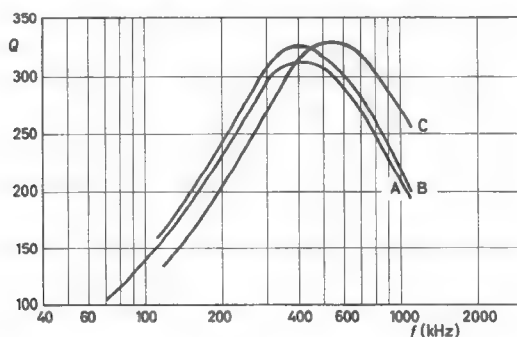


Die nachfolgenden Gütekurven wurden an Schalenkernspulen in geerdetem Gehäuse gemessen. Induktion im Kern:  $\hat{B}$  ca.  $3 \cdot 10^{-8} \frac{Vs}{cm^2}$



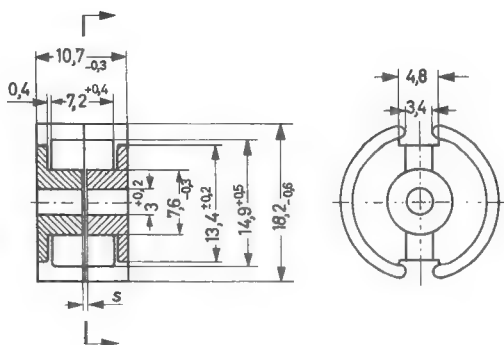
**A<sub>L</sub> 63**  
**3D3**

|                     |            |                              |
|---------------------|------------|------------------------------|
| Einkammer-Wicklung  | A: L = 727 | μH, 107 Wdgn. 24 x 0,04 CuLS |
| "                   | B: L = 228 | μH, 60 Wdgn. 45 x 0,04 CuLS  |
| Zweikammer-Wicklung | C: L = 471 | μH, 86 Wdgn. 24 x 0,04 CuLS  |
| "                   | D: L = 194 | μH, 55 Wdgn. 36 x 0,04 CuLS  |



**A<sub>L</sub> 40**  
**3D3**

|                     |             |                             |
|---------------------|-------------|-----------------------------|
| Einkammer-Wicklung  | A: L = 177  | μH, 66 Wdgn. 36 x 0,04 CuLS |
| "                   | B: L = 148  | μH, 60 Wdgn. 45 x 0,04 CuLS |
| Zweikammer-Wicklung | C: L = 99,8 | μH, 49 Wdgn. 45 x 0,04 CuLS |



Der Schalenkern P 18/11 entspricht DIN 41 293

### Technische Daten

#### Vorabgeglichene Schalenkernsätze

| Typ       | Ausführung        | A <sub>L</sub> -Wert<br>(nH) | FXC<br>Sorte | μ <sub>e</sub><br>Richt-<br>wert | Abgleichstift |                |                                    |
|-----------|-------------------|------------------------------|--------------|----------------------------------|---------------|----------------|------------------------------------|
|           |                   |                              |              |                                  | Typ           | Kenn-<br>farbe | $\frac{\Delta L_{\max}}{L}$<br>(%) |
| K3 002 40 | P 18/11-3H1-o.L.  | 3670 <sub>+25</sub> %        | 3H1          | 1750                             |               |                |                                    |
| K3 005 83 | P 18/11-3H1-AL400 | 400 <sub>+3</sub> %          | 3H1          | 190                              | P5 056 95     | grau           | 10-14                              |
| K3 005 84 | P 18/11-3H1-AL315 | 315 <sub>+3</sub> %          | 3H1          | 150                              | P5 055 93     | braun          | 10-14                              |
| K3 005 82 | P 18/11-3H1-AL250 | 250 <sub>+2</sub> %          | 3H1          | 119                              | P5 056 61     | weiß           | 8-12                               |
| K3 005 81 | P 18/11-3H1-AL160 | 160 <sub>+2</sub> %          | 3H1          | 76                               | P5 056 60     | gelb           | 9-13                               |
| K3 006 02 | P 18/11-3D3-AL100 | 100 <sub>+2</sub> %          | 3D3          | 48                               | P5 056 06     | rot            | 11-14                              |
| K3 006 01 | P 18/11-3D3-AL 63 | 63 <sub>+2</sub> %           | 3D3          | 30                               | P5 056 05     | grün           | 10-14                              |
| K3 006 09 | P 18/11-4C4-AL 40 | 40 <sub>+2</sub> %           | 4C4          | 19                               | P5 056 05     | grün           |                                    |
| K3 006 08 | P 18/11-4C4-AL 25 | 25 <sub>+2</sub> %           | 4C4          | 12                               | P5 056 05     | grün           |                                    |

#### Schalenkernhälften ohne Luftspalt

| Typ       | FXC-Sorte            |
|-----------|----------------------|
| K5 351 52 | 3H1                  |
| K5 351 49 | 3H1 (Sondertoleranz) |
| K5 351 51 | 3D3                  |
| K5 351 53 | 3B7 (auf Anfrage)    |
| K5 351 54 | 4C4                  |

Schalengerne mit Luftspalt werden mit eingeklebtem Gewindeinsatz (Teil 4) geliefert, wenn die Typ-Nr. mit Anhang /01 versehen ist, z.B. K3 005 82/01

# P-Schalenkern P 18/11

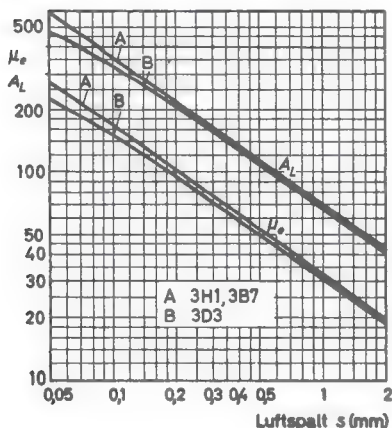
## magnetische Daten



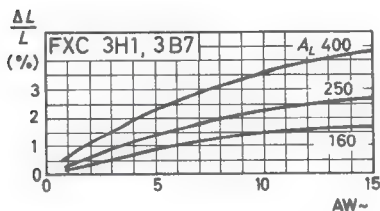
Magn. Formkonstante  $\sum \frac{1}{A} = 5,97 \text{ cm}^{-1}$  Mittl. magn. Weglänge  $l_e = 2,6 \text{ cm}$   
 Hysteresevolumen  $V_e = 1,1 \text{ cm}^3$  Mittl. Kernquerschnitt  $A_e = 0,43 \text{ cm}^2$   
 Gleichstromverlustmaß  
 (mit 1-Kammer-Spulenkörper)  $\frac{R_{Cu}}{L} = \frac{38,5 \cdot 10^3}{f_{Cu} \cdot A_L} \frac{\Omega}{H}$  wenn  $[A_L]$  in nH

Meßdruck 10 kg

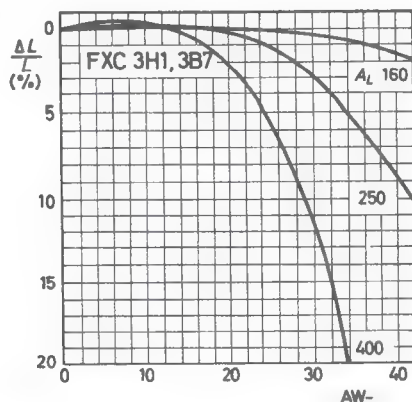
Gewicht (pro Satz) 6,4 g



$\mu_e$  und  $A_L$  (in nH) in Abhängigkeit vom Luftspalt  $s$



Zunahme der Induktivität in Abhängigkeit von der Wechselfeldstärke



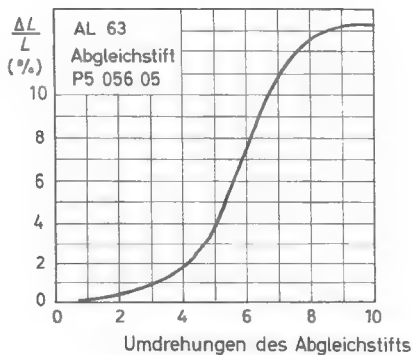
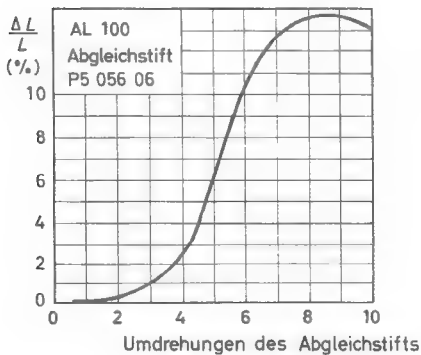
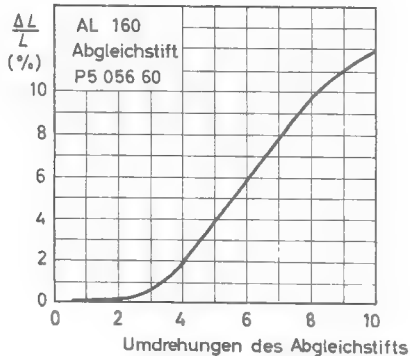
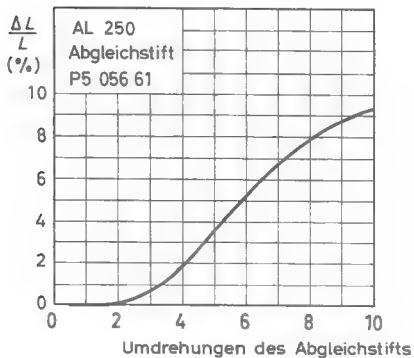
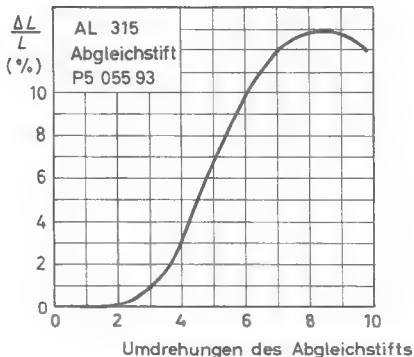
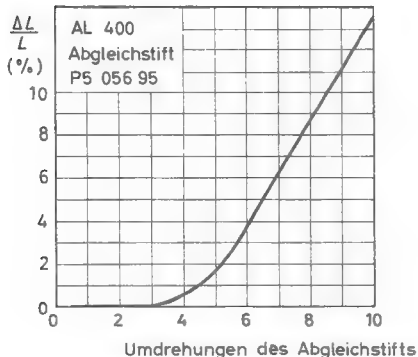
Abnahme der Induktivität in Abhängigkeit von der vormagnetisierenden Gleichfeldstärke





# P-Schalenkern P 18/11

## magnetische Daten



Abgleichbereiche mit den angegebenen Abgleichstiften

# P-Schalenkern P 18/11

## Wickeldaten

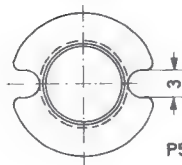
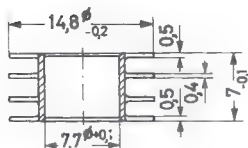


Spulenkörper (nach DIN 41 294)

P5 055 75 1 Kammer

P5 055 76 2 Kammern

P5 055 88 3 Kammern



P5 055 88

Werkstoff

Makrolon S

Temperaturbereich

-50 bis +120 °C

Wickelquerschnitt W

0,165 cm<sup>2</sup>, 1 K.

2x 0,08 cm<sup>2</sup>, 2 K.

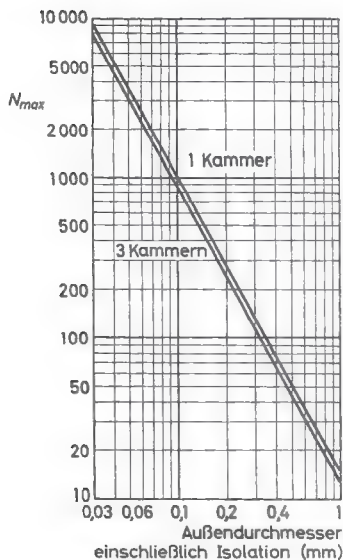
3x 0,05 cm<sup>2</sup>, 3 K.

Mittl. Windungslänge l<sub>W</sub>

3,7 cm

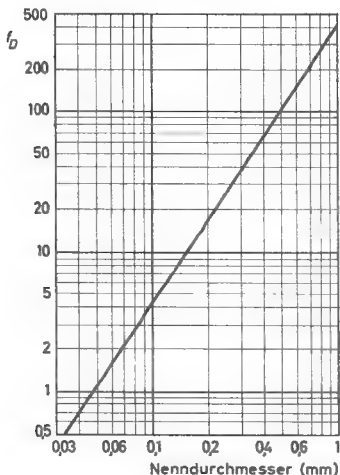
Widerstandsfaktor A<sub>R</sub>

85 · 10<sup>-6</sup> Ω



Maximale Windungszahl als Funktion  
des Draht-Außendurchmessers

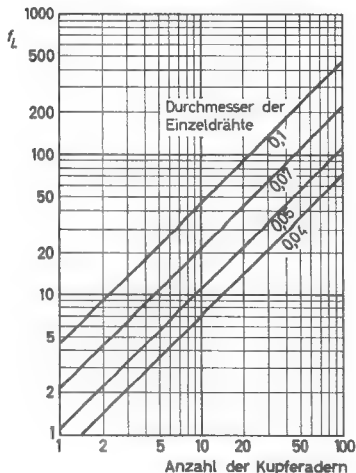
Kupferfüllfaktor  $f_{Cu}$



Kupfer-Runddraht

$$f_{Cu} = 10^{-4} \cdot f_D \cdot N_{max}$$

Zusammenhang zwischen „Nennendurchmesser“ und „Außendurchmesser einschließlich Isolation“, siehe Allgemeines, Drahttabelle

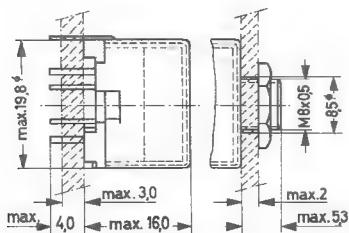


HF-Litze

$$f_{Cu} = 10^{-4} \cdot f_L \cdot N_{max}$$

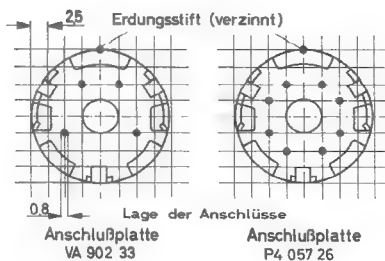
Zusammenhang zwischen „Anzahl der Kupferadern“ und „Außendurchmesser einschließlich Isolation“, siehe Allgemeines, Drahttabelle

Halterung



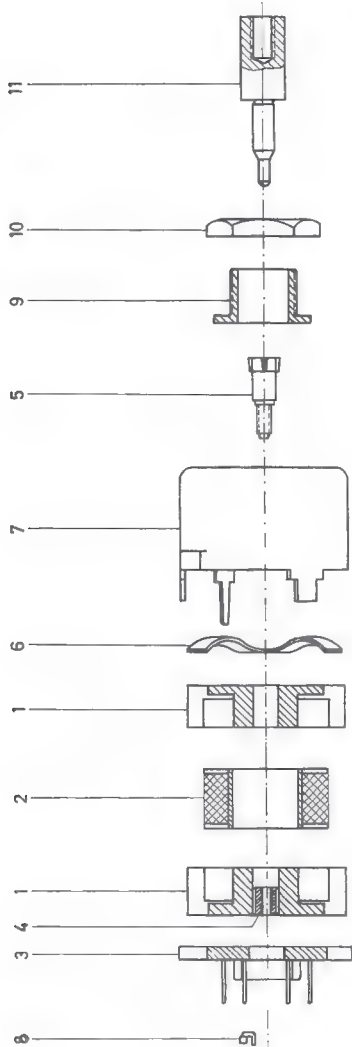
Montage auf gedruckter Platte

Montage auf Chassis



# P-Schalenkern P 18/11

## Zubehörteile



Zusammenstellung aller Zubehörteile

| Teil | Typ                    | Bezeichnung    | Werkstoff      | Bemerkungen  |
|------|------------------------|----------------|----------------|--|
| 1    | s. Kerntypen           | Schalenskern   | FERROXUBE      | Typ angeben  |
| 2    | P5 055 75              | Spulenkörper   | Makrolon S     | 1 Kammer, P5 055 76 2 Kammern<br>P5 055 88 3 Kammern |
| 3    | P4 057 26              | Anschlußplatte | Preßstoff      | 8 Anschlüsse ++)                                     |
| 4    | P5 055 99              | Gewindeeinsatz | Makrolon S     | eingeklebt, wenn bestellt                            |
| 5    | s. Kerntypen           | Abgleichstift  | Rilsan         | rostfrei   |
| 6    | B1 480 20              | Federstift     | Federstahl     |  |
| 7    | B1 410 48              | Gehäuse        | Ms, vernickelt |  |
| 8    | B1 431 53 <sup>+</sup> | Lötanschluß    | Ms, verzinkt   |  |
| 9    | VA 902 00              | Gewindeflansch | Ms, vernickelt | nur für Montage auf Chassis-                         |
| 10   | B1 436 53              | Mutter         | Ms, vernickelt | platte   |
| 11   | VA 902 06 <sup>+</sup> | Zentrierdorn   |                | nur für Montage; immer wieder<br>verwendbar          |

<sup>+</sup>) wird nur bei besonderer Bestellung mitgeliefert

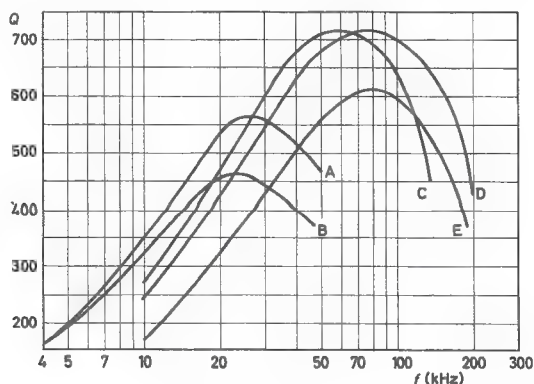
<sup>++</sup>) Anschlußplatte mit 4 Anschlüssen ist als Typ VA 902 33 bei besonderer Bestellung lieferbar



# P-Schalenkern P 18/11

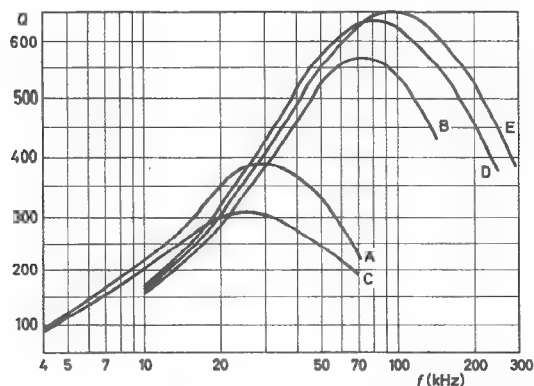
## Gütekurven

Die nachfolgenden Gütekurven wurden an Schalenkernspulen in geerdetem Gehäuse gemessen. Induktion im Kern:  $\hat{B}$  ca.  $10 \cdot 10^{-8} \frac{Vs}{cm^2}$



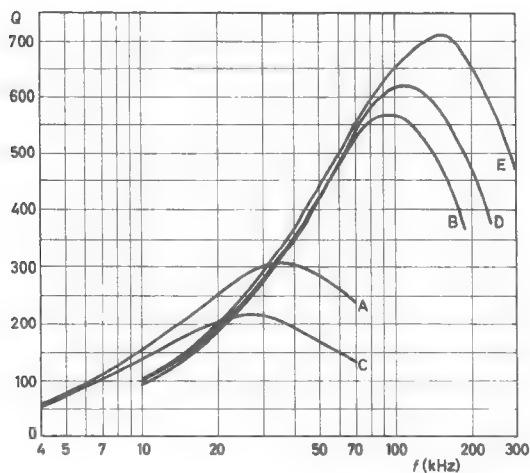
|                           |                |
|---------------------------|----------------|
| A: L = 50,3 mH, 350 Wdgn. | 0,2 CuL        |
| B: L = 10,9 mH, 164 Wdgn. | 0,3 CuL        |
| C: L = 3,53 mH, 93 Wdgn.  | 64 x 0,04 CuL  |
| D: L = 1,46 mH, 60 Wdgn.  | 100 x 0,04 CuL |
| E: L = 0,30 mH, 27 Wdgn.  | 200 x 0,04 CuL |

**A<sub>L</sub> 400**  
3H1, 3B7  
1 Kammer



|                           |                |
|---------------------------|----------------|
| A: L = 42,3 mH, 410 Wdgn. | 0,18 CuL       |
| B: L = 11,6 mH, 215 Wdgn. | 24 x 0,04 CuL  |
| C: L = 6,74 mH, 164 Wdgn. | 0,3 CuL        |
| D: L = 2,18 mH, 93 Wdgn.  | 64 x 0,04 CuL  |
| E: L = 0,88 mH, 59 Wdgn.  | 100 x 0,04 CuL |

**A<sub>L</sub> 250**  
3H1, 3B7  
1 Kammer



|   |
|---|
| A: $L = 26,7 \text{ mH}$ , 410 Wdgn. 0,18 CuL       |
| B: $L = 7,44 \text{ mH}$ , 215 Wdgn. 24 x 0,004 CuL |
| C: $L = 4,33 \text{ mH}$ , 164 Wdgn. 0,3 CuL        |
| D: $L = 2,51 \text{ mH}$ , 125 Wdgn. 75 x 0,04 CuL  |
| E: $L = 1,16 \text{ mH}$ , 85 Wdgn. 64 x 0,04 CuLS  |

AL 160  
3H1, 3B7

1 Kammer

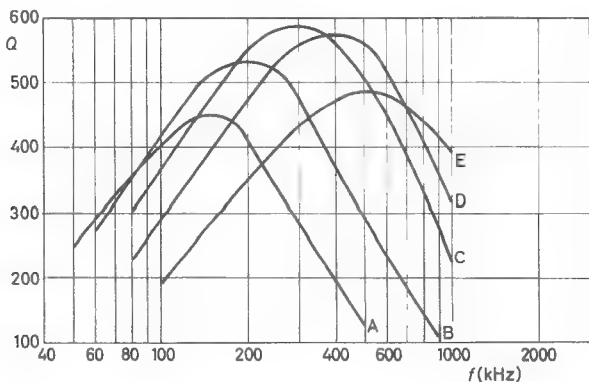


# P-Schalenkern P 18/11

## Gütekurven

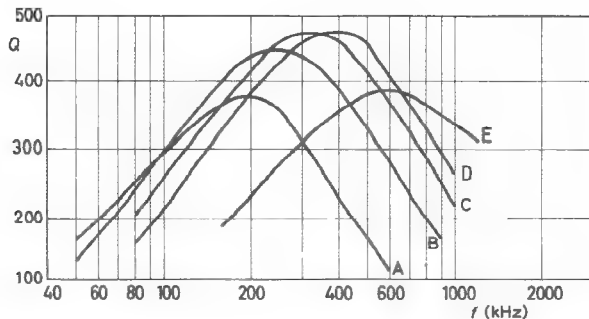
Die nachfolgenden Gütekurven wurden an Schalenkernspulen in geerdetem

Gehäuse gemessen. Induktion im Kern:  $\hat{B} \text{ ca. } 5 \cdot 10^{-8} \frac{\text{Vs}}{\text{cm}^3}$



|                     |    |                        |                |
|---------------------|----|------------------------|----------------|
| Einkammer-Wicklung  | A: | L = 3,67 mH, 192 Wdgn. | 24 x 0,04 CuLS |
| "                   | B: | L = 1,14 mH, 107 Wdgn. | 45 x 0,04 CuLS |
| Zweikammer-Wicklung | C: | L = 0,48 mH, 69 Wdgn.  | 64 x 0,04 CuLS |
| Dreikammer-Wicklung | D: | L = 0,44 mH, 66 Wdgn.  | 45 x 0,04 CuLS |
| Kreuzwicklung       | E: | L = 0,25 mH, 50 Wdgn.  | 45 x 0,04 CuLS |

$A_L$  100  
3D3

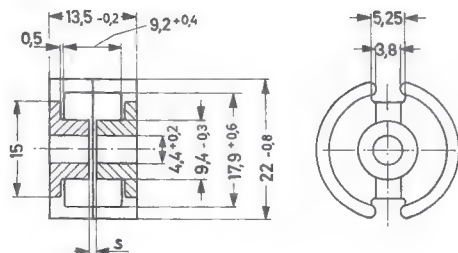


|                     |    |                        |                |
|---------------------|----|------------------------|----------------|
| Einkammer-Wicklung  | A: | L = 2,29 mH, 192 Wdgn. | 24 x 0,04 CuLS |
| "                   | B: | L = 0,43 mH, 83 Wdgn.  | 64 x 0,04 CuLS |
| Zweikammer-Wicklung | C: | L = 0,53 mH, 92 Wdgn.  | 45 x 0,04 CuLS |
| Dreikammer-Wicklung | D: | L = 0,49 mH, 88 Wdgn.  | 36 x 0,04 CuLS |
| "                   | E: | L = 0,16 mH, 50 Wdgn.  | 45 x 0,04 CuLS |

$A_L$  63  
3D3

# P-Schalenkern P 22/13

Kerntypen



Der Schalenkern P 22/13 entspricht DIN 41 293

## Technische Daten

Vorabgeglichene Schalenkernsätze

| Typ       | Ausführung        | A <sub>L</sub> -Wert<br>(nH) | FXC<br>Sorte | μ <sub>e</sub><br>Richt-<br>wert | Abgleichstift |                | $\frac{\Delta L}{L}$<br>max<br>(%) |
|-----------|-------------------|------------------------------|--------------|----------------------------------|---------------|----------------|------------------------------------|
|           |                   |                              |              |                                  | Typ           | Kenn-<br>farbe |                                    |
| K3 003 30 | P 22/13-3H1-o.L.  | 4700 $\pm$ 25 %              | 3H1          | 1840                             |               |                |                                    |
| K3 007 04 | P 22/13-3H1-AL630 | 630 $\pm$ 4 %                | 3H1          | 249                              | P5 056 97     | braun          | 8-11                               |
| K3 007 03 | P 22/13-3H1-AL400 | 400 $\pm$ 3 %                | 3H1          | 158                              | P5 056 97     | braun          | 11-15                              |
| K3 007 02 | P 22/13-3H1-AL250 | 250 $\pm$ 2 %                | 3H1          | 99                               | P5 056 78     | weiß           | 9-13                               |
| K3 007 01 | P 22/13-3H1-AL160 | 160 $\pm$ 2 %                | 3H1          | 63                               | P5 056 76     | gelb           | 9-13                               |
| K3 007 22 | P 22/13-3D3-AL100 | 100 $\pm$ 2 %                | 3D3          | 40                               | P5 056 91     | rot            | 10-14                              |
| K3 007 21 | P 22/13-3D3-AL 63 | 63 $\pm$ 2 %                 | 3D3          | 25                               | P5 056 88     | grün           | 9-13                               |
| K3 007 29 | P 22/13-4C4-AL 63 | 63 $\pm$ 2 %                 | 4C4          | 25                               | P5 056 88     | grün           |                                    |
| K3 007 28 | P 22/13-4C4-AL 40 | 40 $\pm$ 2 %                 | 4C4          | 16                               | P5 056 88     | grün           |                                    |

## Schalenkernhälften ohne Luftspalt

| Typ       | FXC-Sorte         |
|-----------|-------------------|
| K5 352 01 | 3H1               |
| K5 352 00 | 3B7 (auf Anfrage) |
| K5 352 02 | 3D3               |
| K5 352 03 | 4C4               |

Schalengerne mit Luftspalt werden mit eingeklebtem Gewindeinsatz (Teil 4) geliefert, wenn die Typ-Nr. mit Anhang /01 versehen ist, z.B. K3 007 02/01





# P-Schalenkern P 22/13 magnetische Daten

Magn. Formkonstante

$$\sum \frac{1}{A} = 4,97 \text{ cm}^{-1}$$

Hysteresevolument

$$V_e = 2,00 \text{ cm}^3$$

Mittl. magn. Weglänge

$$l_e = 3,15 \text{ cm}$$

Mittl. Kernquerschnitt

$$A_e = 0,63 \text{ cm}^2$$

Gleichstromverlustmaß

$$\frac{R_{Cu}}{L} = \frac{30,5 \cdot 10^3}{f_{Cu} \cdot A_L} \frac{\Omega}{H} \quad \text{wenn } [A_L] \text{ in nH}$$

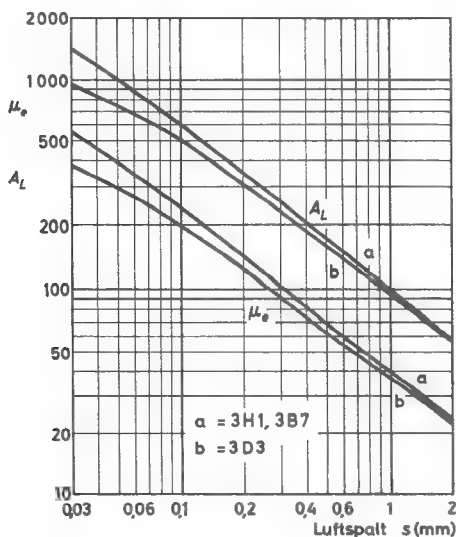
(mit 1-Kammer-Spulenkörper)

Meßdruck

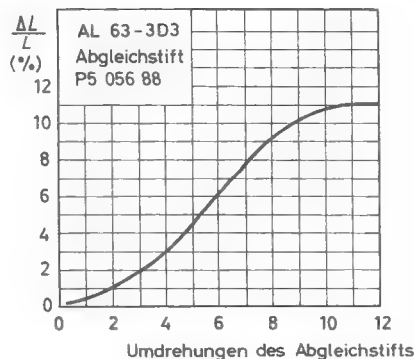
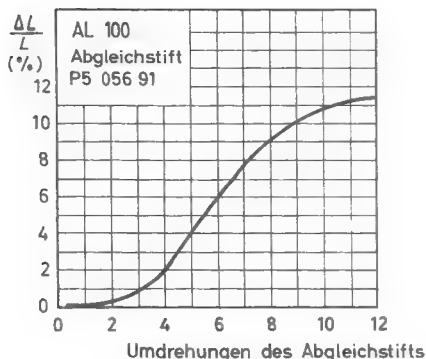
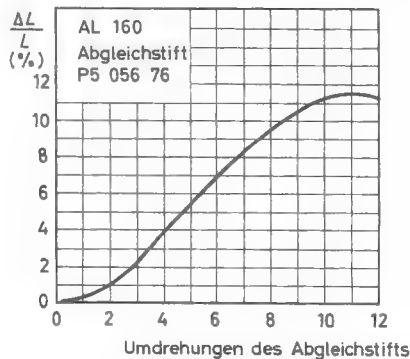
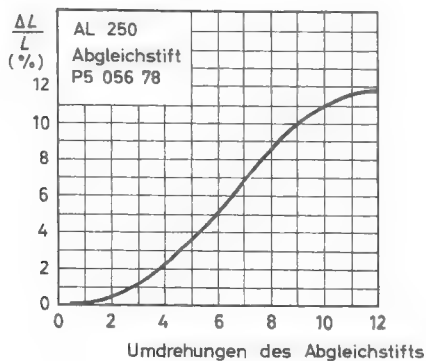
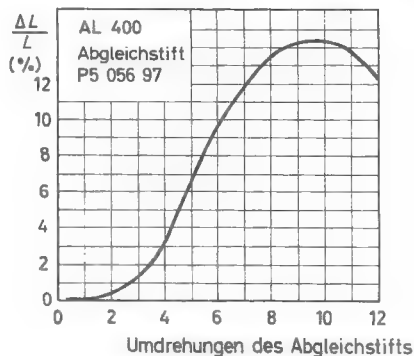
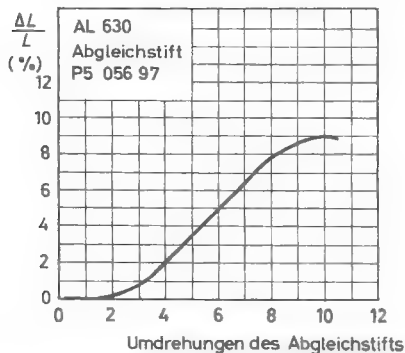
14 kg

Gewicht (pro Satz)

12 g



$\mu_e$  und  $A_L$  (in nH) in Abhängigkeit vom Luftspalt  $s$



Abgleichbereiche mit den angegebenen Abgleichstiften



# P-Schalenkern P 22/13

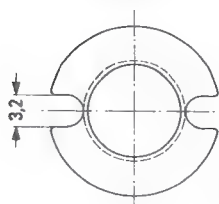
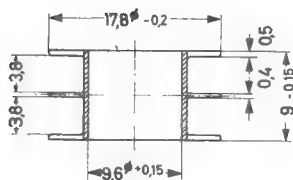
## Wickeldaten

Spulenkörper (nach DIN 41 294)

P5 055 78 1 Kammer

P5 055 79 2 Kammern

P5 055 89 3 Kammern



P5 055 79

Werkstoff

Makrolon S

Temperaturbereich

-50 bis +120 °C

Wickelquerschnitt W

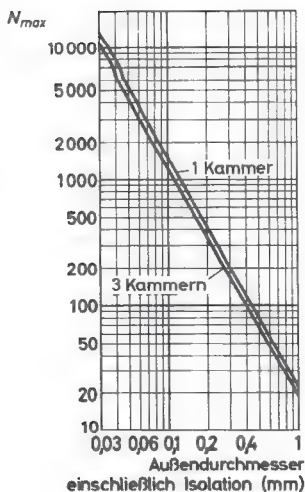
0,25 cm<sup>2</sup>, 1 K.  
2x 0,115 cm<sup>2</sup>, 2 K.  
3x 0,7 cm<sup>2</sup>, 3 K.

Mittl. Windungslänge  $l_w$

4,35 cm

Widerstandsfaktor  $A_R$

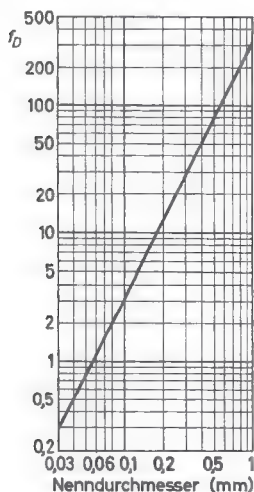
$67 \cdot 10^{-6} \Omega$



Maximale Windungszahl als Funktion  
des Draht-Außendurchmessers



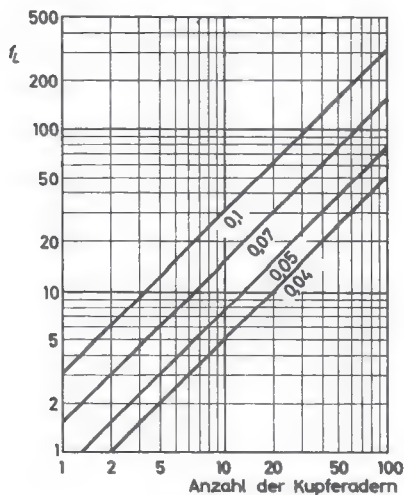
Kupferfüllfaktor  $f_{Cu}$



Kupfer-Runddraht

$$f_{Cu} = 10^{-4} \cdot f_D \cdot N_{max}$$

Zusammenhang zwischen „Nennndurchmesser“ und „Außendurchmesser einschließlich Isolation“, siehe Allgemeines, Drahttabelle

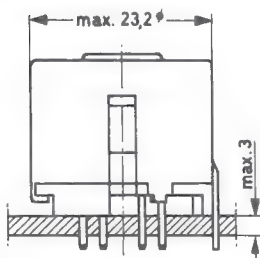


HF-Litze

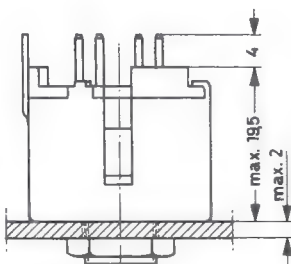
$$f_{Cu} = 10^{-4} \cdot f_L \cdot N_{max}$$

Zusammenhang zwischen „Anzahl der Kupferadern“ und „Außendurchmesser einschließlich Isolation“, siehe Allgemeines, Drahttabelle

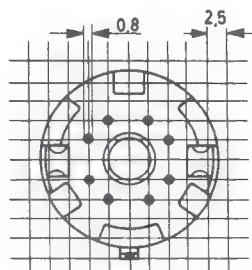
Halterung



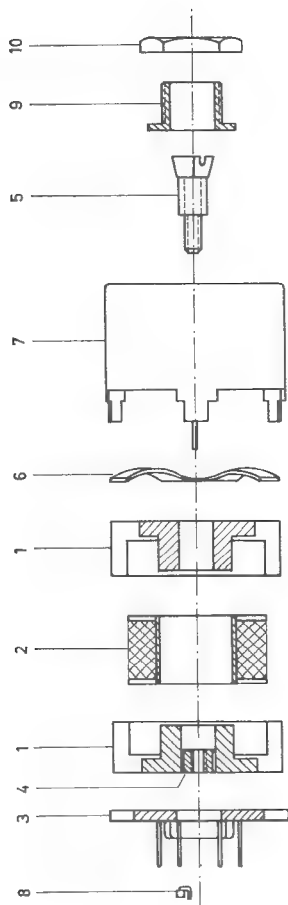
Montage auf gedruckter Platte



Montage auf Chassis



Lage der Anschlüsse



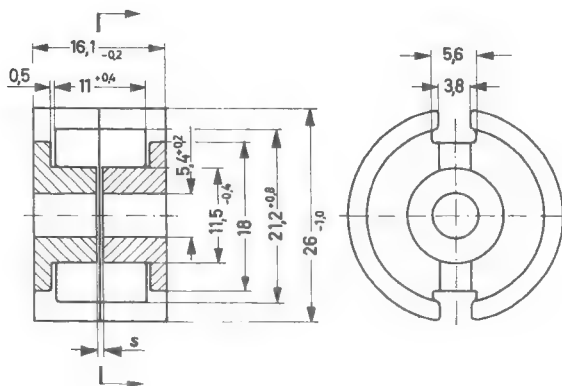
Zusammenstellung aller Zubehörteile

| Teil | Typ          | Bezeichnung    | Werkstoff      | Bemerkungen  |
|------|--------------|----------------|----------------|--|
| 1    | s. Kerntypen | Schalenkern    | FERROXCUBE     | Typ angeben  |
| 2    | P5 055 78    | Spulenkörper   | Makrolon S     | 1 Kammer; P5 055 79 2 Kammern<br>P5 055 89 3 Kammern |
| 3    | P4 057 27    | Anschlußplatte | Preßstoff      | 8 Anschlüsse   |
| 4    | P5 056 51    | Gewindeeinsatz | Makrolon S     | eingelegt, wenn bestellt                             |
| 5    | s. Kerntypen | Abgleichstift  | Rilsan         | rostfrei   |
| 6    | B1 480 32    | Federstahl     | Federstahl     |  |
| 7    | B1 410 49    | Gehäuse        | Ms, vernickelt |  |
| 8    | B1 431 53+)  | Lötanschluß    | Ms, verzinkt   |  |
| 9    | B1 391 85    | Gewindeflansch | Ms, vernickelt | nur für Montage auf Chassis-                         |
| 10   | B1 436 53    | Mutter         | Ms, vernickelt | platte   |

+ ) wird nur bei besonderer Bestellung mitgeliefert

# P-Schalenkern P 26/16

## Kerntypen



Der Schalenkern P 26/16 entspricht DIN 41 293

### Technische Daten

#### Vorabgeglichene Schalenkernsätze

| Typ       | Ausführung        | A <sub>L</sub> -Wert<br>(nH) | FXC<br>Sorte | μ <sub>e</sub><br>Richtwerte | Luft-<br>spalt<br>s (mm) | Abgleichstift |                | $\frac{\Delta L_{\max}}{L}$<br>(%) |
|-----------|-------------------|------------------------------|--------------|------------------------------|--------------------------|---------------|----------------|------------------------------------|
|           |                   |                              |              |                              |                          | Typ           | Kenn-<br>farbe |                                    |
| K3 002 70 | P 26/16-3H1-o.L.  | 6300 <sub>+25</sub> %        | 3H1          | 1910                         | 0                        |               |                |                                    |
| K3 006 43 | P 26/16-3H1-AL600 | 600 <sub>+3</sub> %          | 3H1          | 202                          | 0,15                     | P5 056 96     | grau           | 10-14                              |
| K3 006 42 | P 26/16-3H1-AL400 | 400 <sub>+3</sub> %          | 3H1          | 128                          | 0,25                     | P5 056 10     | braun          | 11-15                              |
| K3 006 41 | P 26/16-3H1-AL250 | 250 <sub>+2</sub> %          | 3H1          | 80                           | 0,5                      | P5 056 62     | weiß           | 12-16                              |
| K3 006 62 | P 26/16-3D3-AL160 | 160 <sub>+2</sub> %          | 3D3          | 51                           | 0,8                      | P5 056 09     | rot            | 9-13                               |
| K3 006 61 | P 26/16-3D3-AL100 | 100 <sub>+2</sub> %          | 3D3          | 32                           | 1,5                      | P5 056 07     | grün           | 11-15                              |
| K3 006 69 | P 26/16-4C4-AL100 | 100 <sub>+2</sub> %          | 4C4          | 32                           |                          | P5 056 07     | grün           |                                    |
| K3 006 68 | P 26/16-4C4-AL 63 | 63 <sub>+2</sub> %           | 4C4          | 20                           |                          | P5 056 07     | grün           |                                    |

#### Schalenkernhälften ohne Luftspalt

| Typ       | FXC-Sorte         |
|-----------|-------------------|
| K5 351 57 | 3H1               |
| K5 351 56 | 3D3               |
| K5 351 58 | 3B7 (auf Anfrage) |
| K5 351 59 | 4C4               |

Schalenkern mit Luftspalt werden mit eingeklebtem Gewindeinsatz (Teil 4) geliefert, wenn die Typ-Nr. mit Anhang /01 versehen ist, z.B. K3 006 41/01



## P-Schalenkern P 26/16 magnetische Daten

Magn. Formkonstante  $\sum \frac{1}{A} = 4,0 \text{ cm}^{-1}$

Hysteresevolumen  $V_e = 3,5 \text{ cm}^3$

Gleichstromverlustmaß

(mit 1-Kammer-Spulenkörper)

Mittl. magn. Weglänge  $l_e = 3,75 \text{ cm}$

Mittl. Kernquerschnitt  $A_e = 0,94 \text{ cm}^2$

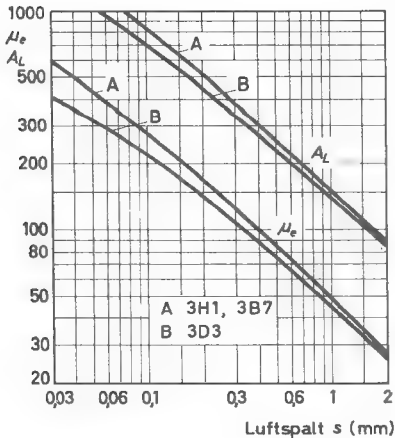
$$\frac{R_{Cu}}{L} = \frac{25,3 \cdot 10^3}{f_{Cu} \cdot A_L} \frac{\Omega}{H} \quad \text{wenn } [A_L] \text{ in nH}$$

Meßdruck

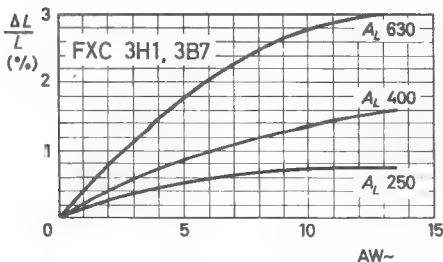
20 kg

Gewicht (pro Satz)

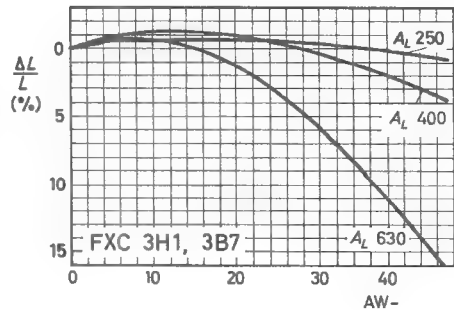
20 g



$\mu_e$  und  $A_L$  (in nH) in Abhängigkeit vom Luftspalt  $s$



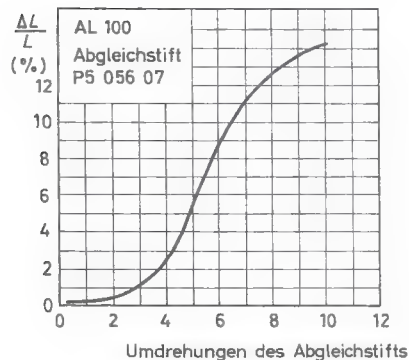
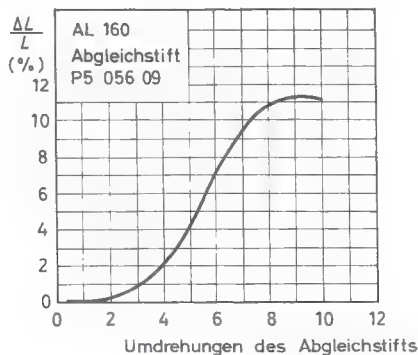
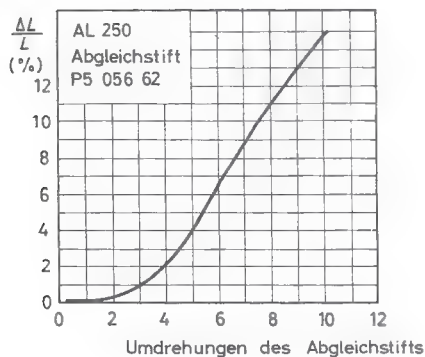
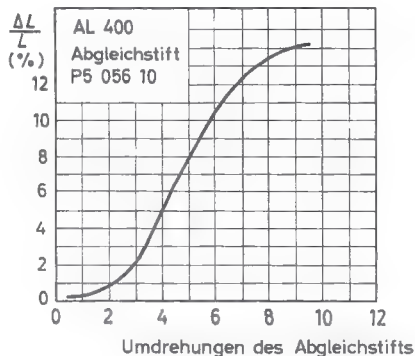
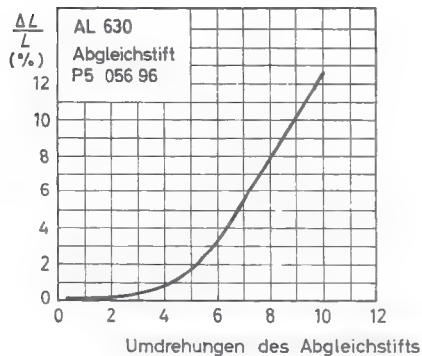
Zunahme der Induktivität in Abhängigkeit von der Wechselfeldstärke



Abnahme der Induktivität in Abhängigkeit von der vormagnetisierenden Gleichfeldstärke

# P-Schalenkern P 26/16

magnetische Daten



Abgleichbereiche mit den  
angegebenen Abgleichstiften





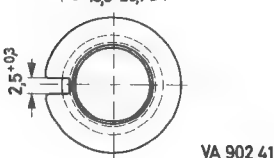
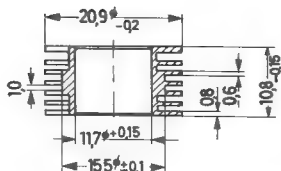
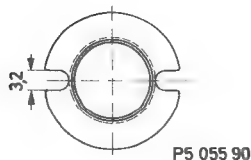
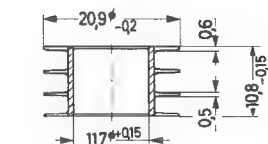
# P-Schalenkern P 26/16

## Wickeldaten

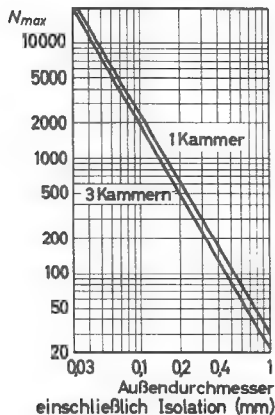
Spulenkörper (nach DIN 41 294)

|           |           |
|-----------|-----------|
| P5 055 81 | 1 Kammer  |
| P5 055 82 | 2 Kammern |
| P5 055 90 | 3 Kammern |

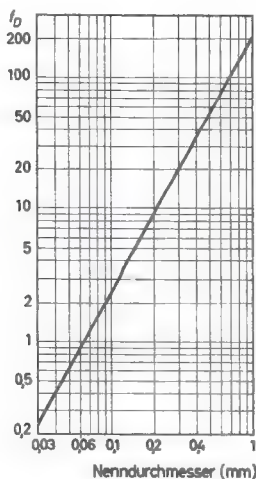
|                                     |   |
|-------------------------------------|---|
| Werkstoff                           | Makrolon S  |
| Zul. Temperaturbereich              | -50 bis +120 °C   |
| Wickelquerschnitt W                 | 0,36 cm <sup>2</sup> 1 Kammer<br>2x 0,17 cm <sup>2</sup> 2 Kammern<br>3x 0,11 cm <sup>2</sup> 3 Kammern |
| Mittl. Windungslänge l <sub>w</sub> | 5,25 cm   |
| Widerstandsfaktor A <sub>R</sub>    | 56 · 10 <sup>-6</sup> Ω   |



|                        |                     |
|------------------------|---------------------|
| Sonderausführung       | VA 902 41 6 Kammern |
| Werkstoff              | Polystyrol EH       |
| Zul. Temperaturbereich | -40 bis +85 °C      |



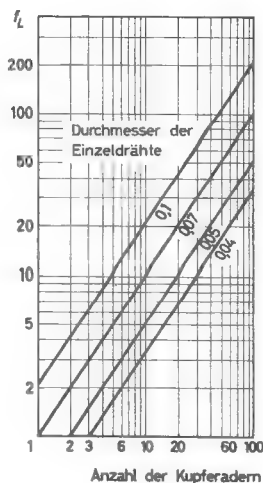
Kupferfüllfaktor  $f_{Cu}$



Kupfer-Runddraht

$$f_{Cu} = 10^{-4} \cdot f_D \cdot N_{max}$$

Zusammenhang zwischen „Nennendurchmesser“ und „Außendurchmesser einschließlich Isolation“, siehe Allgemeines, Drahttabelle

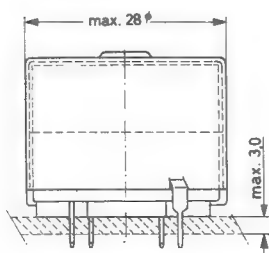


HF-Litze

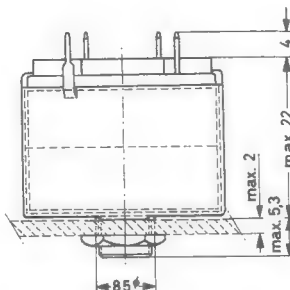
$$f_{Cu} = 10^{-4} \cdot f_L \cdot N_{max}$$

Zusammenhang zwischen „Anzahl der Kupferadern“ und „Außendurchmesser einschließlich Isolation“, siehe Allgemeines, Drahttabelle

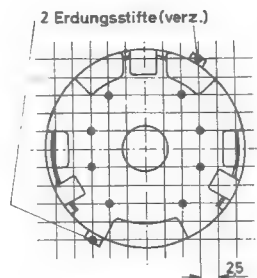
Halterung



Montage auf gedruckter Platte



Montage auf Chassis

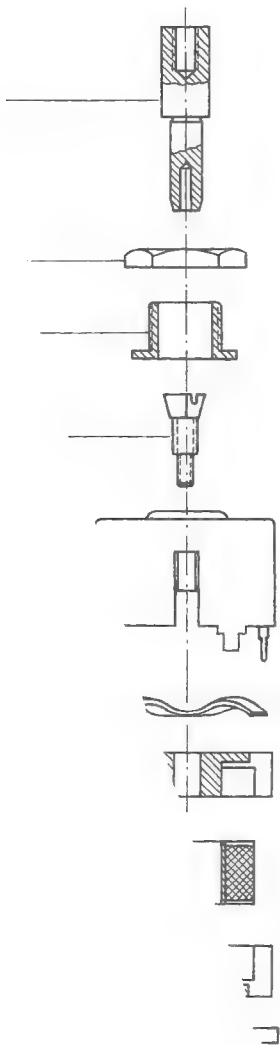


Lage der Anschlüsse



# P-Schalenkern P 26/16

## Zubehörteile



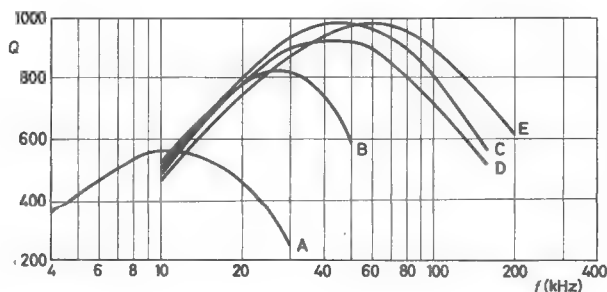
Zusammenstellung aller Zubehörteile

| Teil | Typ          | Bezeichnung    | Werkstoff      | Bemerkungen   |
|------|--------------|----------------|----------------|---|
| 1    | s. Kerntypen | Schalenkern    | FERROXUBE      | Typ angeben   |
| 2    | P5 055 81    | Spulenkörper   | Makrolon S     | 1 Kammer, P5 055 82 2 Kammern<br>P5 055 90 3 Kammern<br>VA 902 41 6 Kammern |
| 3    | P4 057 28    | Anschlußplatte | Preßstoff      | 8 Anschlüsse  |
| 4    | P5 056 00    | Gewindeeinsatz | Makrolon S     | eingeklebt, wenn bestellt   |
| 5    | s. Kerntypen | Abgleichstift  | Rilsan         | rostfrei  |
| 6    | B1 480 22    | Federling      | Federstahl     |   |
| 7    | B1 410 50    | Gehäuse        | Ms, vernickelt |   |
| 8    | B1 431 53    | Lötanschluß    | Ms, verzinkt   |   |
| 9    | VA 902 00    | Gewindeflansch | Ms, vernickelt | nur für Montage auf Chassis-  |
|      | B1 436 53    | Mutter         | Ms, vernickelt | platte  |
|      | VA 902 05    | Zentrierdorn   | Stahl          | nur für Montage; immer wieder<br>verwendbar                                 |

bis 11 wird nur bei besonderer Bestellung mitgeliefert



Die nachfolgenden Gütekurven wurden an Schalenkernspulen in geerdet Gehäuse gemessen. Induktion im Kern:  $\hat{B} \text{ ca. } 10 \cdot 10^{-8} \frac{V_s}{\text{cm}^2}$



Einkammer-Wicklung A: L = 153 mH, 485 Wdgn.

"

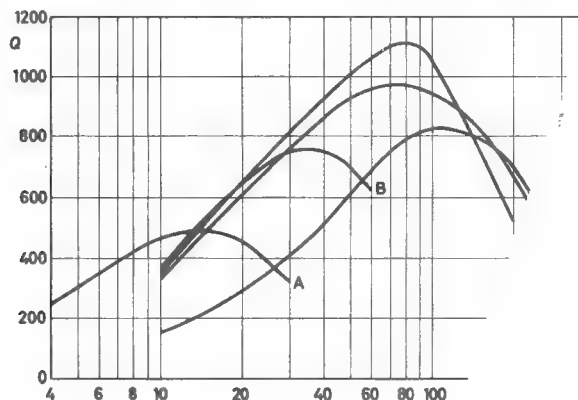
B: L = 21,6 mH, 184 Wdgn. 64 x

Zweikammer-Wicklung C: L = 7,79 mH, 111 Wdgn. 100

Einkammer-Wicklung D: L = 3,03 mH, 69 Wdgn. 64

Zweikammer-Wicklung E: L = 2,4 mH, 62 Wdgn. 6

$A_L$  630  
3H1, 3B7



Einkammer-Wicklung A: L = 95,7 mH,

"

B: L = 13,6 mH

Zweikammer-Wicklung C: L = 4,89 mH

"

D: L = 1,55 mH

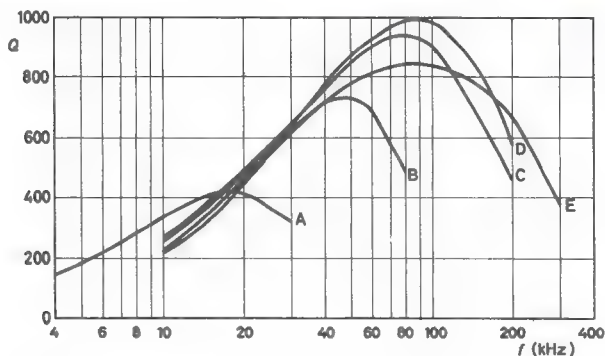
Wicklung

E: L = 1,30 mH



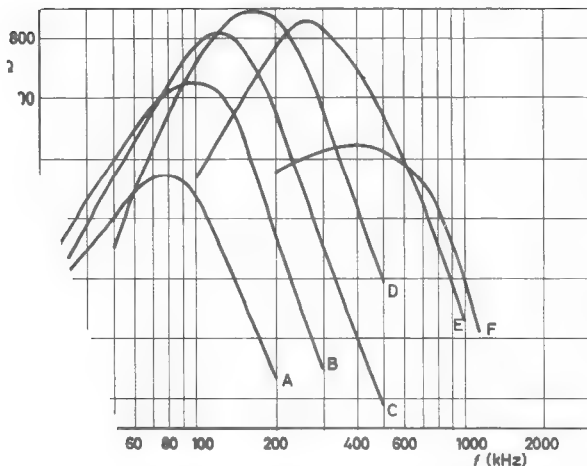
# P-Schalenkern P 26/16

Gütekurven



|                     |              |               |                |
|---------------------|--------------|---------------|----------------|
| Einkammer-Wicklung  | A: L = 108,4 | mH, 654 Wdgn. | 0,22 CuL       |
| "                   | B: L = 18,5  | mH, 270 Wdgn. | 45 x 0,04 CuL  |
| "                   | C: L = 3,46  | mH, 117 Wdgn. | 100 x 0,04 CuL |
| Zweikammer-Wicklung | D: L = 3,11  | mH, 111 Wdgn. | 100 x 0,04 CuL |
| "                   | E: L = 0,97  | mH, 62 Wdgn.  | 64 x 0,07 CuL  |

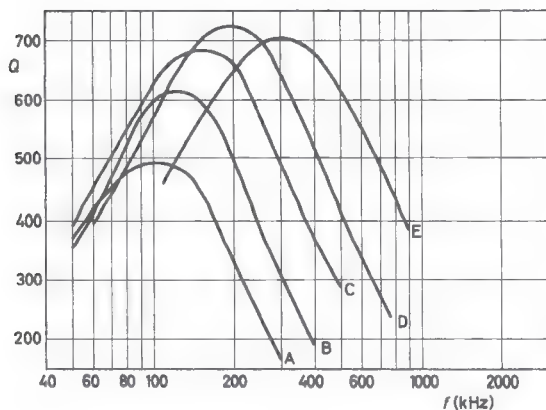
Induktion im Kern:  $\hat{B} \text{ ca. } 5 \cdot 10^{-8} \frac{\text{Vs}}{\text{cm}^2}$



|       |             |               |                 |
|-------|-------------|---------------|-----------------|
| klung | A: L = 8,49 | mH, 229 Wdgn. | 45 x 0,04 CuLS  |
|       | B: L = 2,64 | mH, 128 Wdgn. | 100 x 0,04 CuLS |
| lung  | C: L = 2,03 | mH, 112 Wdgn. | 100 x 0,04 CuLS |
| ung   | D: L = 1,41 | mH, 93 Wdgn.  | 100 x 0,04 CuLS |
|       | E: L = 0,24 | mH, 39 Wdgn.  | 200 x 0,04 CuLS |
| g F:  | F: L = 0,11 | mH, 26 Wdgn.  | 200 x 0,04 CuLS |



Induktion im Kern:  $\hat{B}$  ca.  $3 \cdot 10^{-8} \frac{\text{Vs}}{\text{cm}^2}$

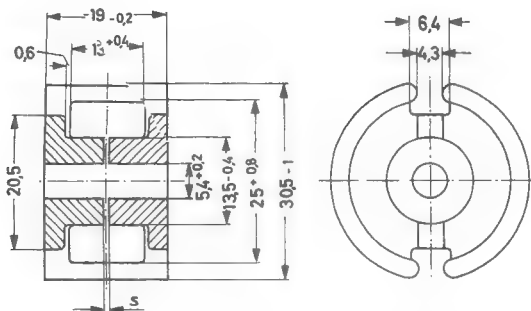


|  |                     |                           |     |
|--|---------------------|---------------------------|-----|
| <div> <div>A<sub>L</sub> 100</div> <div>3D3</div> </div> | Einkammer-Wicklung  | A: L = 5,40 mH, 229 Wdgn. | 45  |
|  | "                   | B: L = 1,68 mH, 128 Wdgn. | 100 |
|  | Zweikammer-Wicklung | C: L = 1,30 mH, 112 Wdgn. | 10' |
|  | Dreikammer-Wicklung | D: L = 0,91 mH, 93 Wdgn.  | 1'  |
|  | "                   | E: L = 0,16 mH, 39 Wdgn.  | 2'  |



# P-Schalenkern P 30/19

## Kerntypen



Der Schalenkern P 30/19 entspricht DIN 41 293

### Technische Daten

#### Vorabgeglichene Schalenkernsätze

| Typ       | Ausführung         | $A_L$ -Wert<br>(nH) | FXC<br>Sorte | $\mu_e$<br>Richt-<br>wert | Abgleichstift |                | $\frac{\Delta L_{\max}}{L}$<br>(%) |
|-----------|--------------------|---------------------|--------------|---------------------------|---------------|----------------|------------------------------------|
|           |                    |                     |              |                           | Typ           | Kenn-<br>farbe |                                    |
| K3 003 60 | P 30/19-3H1-o.L.   | 7550 $\pm$ 25 %     | 3H1          | 1990                      |               |                |                                    |
| K3 005 24 | P 30/19-3H1-AL1000 | 1000 $\pm$ 3 %      | 3H1          | 263                       | P5 056 96     | grau           | 8-11                               |
| K3 005 23 | P 30/19-3H1-AL 630 | 630 $\pm$ 3 %       | 3H1          | 166                       | P5 056 10     | braun          | 9-12                               |
| K3 005 22 | P 30/19-3H1-AL 400 | 400 $\pm$ 2 %       | 3H1          | 105                       | P5 056 62     | weiß           | 8-11                               |
| K3 005 21 | P 30/19-3H1-AL 250 | 250 $\pm$ 2 %       | 3H1          | 66                        | P5 056 62     | weiß           | 12-16                              |

#### Schalenkernhälften ohne Luftspalt

| Typ       | FXC-Sorte         |
|-----------|-------------------|
| K5 352 05 | 3H1               |
| K5 352 06 | 3B7 (auf Anfrage) |

Schalengerne mit Luftspalt werden mit eingeklebtem Gewindeeinsatz (Teil 4) geliefert, wenn die Typ-Nr. mit Anhang /01 versehen ist, z.B. K3 005 23/01

# P-Schalenkern P 30/19

magnetische Daten



Magn. Formkonstante

$$\sum \frac{1}{A} = 3,30 \text{ cm}^{-1}$$

Hysteresevolumen

$$V_e = 6,2 \text{ cm}^3$$

Mittl. magn. Weglänge

$$l_e = 4,5 \text{ cm}$$

Mittl. Kernquerschnitt

$$A_e = 1,35 \text{ cm}^2$$

Gleichstromverlustmaß

$$\frac{R_{Cu}}{L} = \frac{20,5 \cdot 10^3}{f_{Cu} \cdot A_L} \frac{\Omega}{H} \text{ wenn } [A_L] \text{ in nH}$$

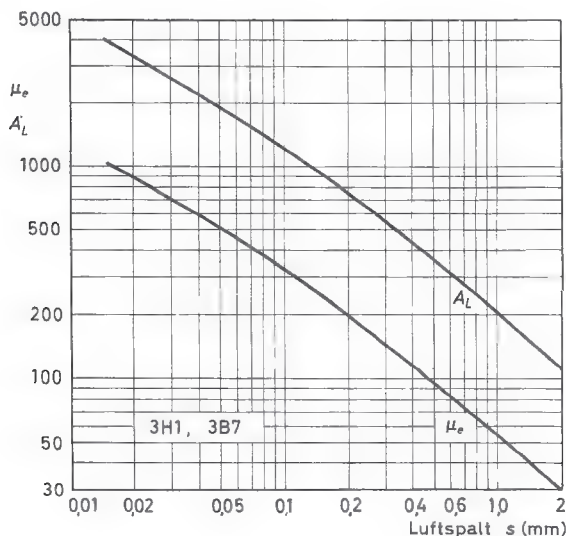
(mit 1-Kammer-Spulenkörper)

Meßdruck

25 kg

Gewicht (pro Satz)

34 g



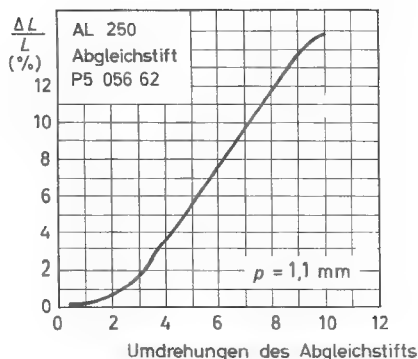
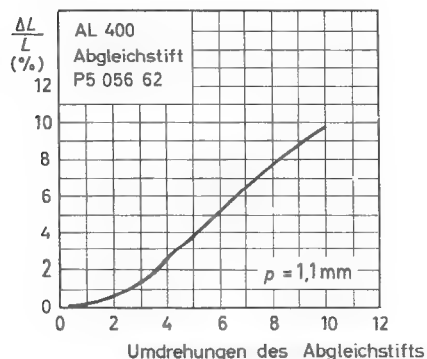
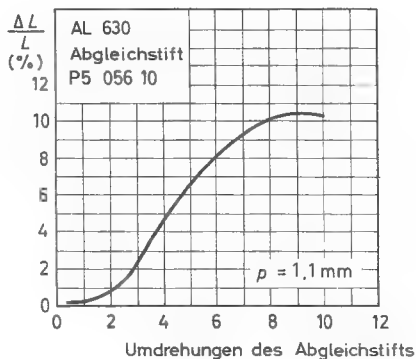
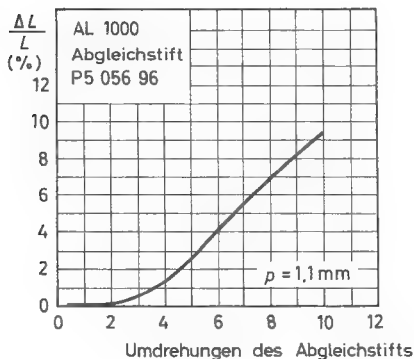
$\mu_e$  und  $A_L$  in Abhängigkeit vom Luftspalt s





# P-Schalenkern P 30/19

## magnetische Daten

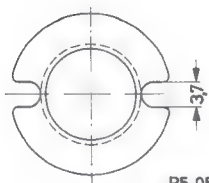
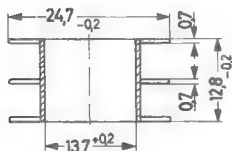


Abgleichbereiche mit den angegebenen Abgleichstiften  
Tauchtiefe  $p = 1,1 \text{ mm}$



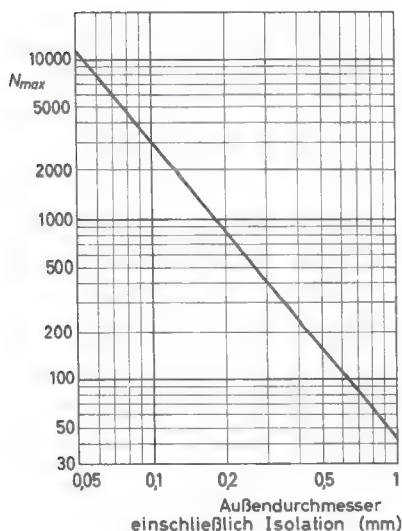
Spulenkörper (nach DIN 41 294)

P5 055 84 1 Kammer  
 P5 055 85 2 Kammern  
 P5 055 91 3 Kammern



P5 055 85

|                                     |   |
|-------------------------------------|---|
| Werkstoff                           | Makrolon S  |
| Zul. Temperaturbereich              | -50 bis +120 °C   |
| Wickelquerschnitt W                 | 0,52 cm <sup>2</sup> , 1 K.<br>2x 0,24 cm <sup>2</sup> , 2 K.<br>3x 0,16 cm <sup>2</sup> , 3 K. |
| Mittl. Windungslänge l <sub>W</sub> | 6,1 cm  |
| Widerstandsfaktor A <sub>R</sub>    | 45 · 10 <sup>-6</sup> Ω   |



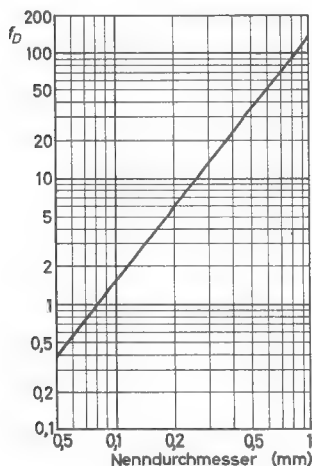
Maximale Windungszahl als Funktion  
 des Draht-Außendurchmessers



# P-Schalenkern P 30/19

Wickeldaten; Halterung

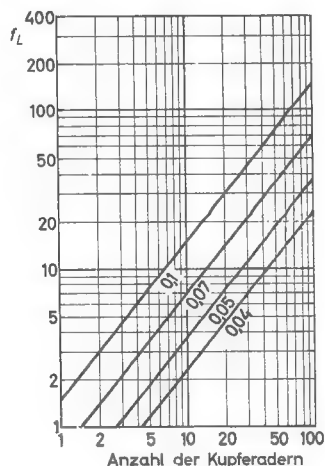
Kupferfüllfaktor  $f_{Cu}$



Kupfer-Runddraht

$$f_{Cu} = 10^{-4} \cdot f_D \cdot N_{max}$$

Zusammenhang zwischen „Nennendurchmesser“ und „Außendurchmesser einschließlich Isolation“, siehe Allgemeines, Drahttabelle

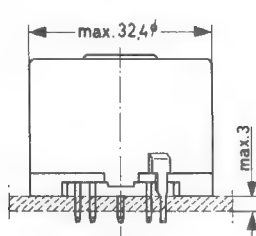


HF-Litze

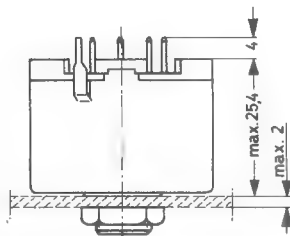
$$f_{Cu} = 10^{-4} \cdot f_L \cdot N_{max}$$

Zusammenhang zwischen „Anzahl der Kupferadern“ und „Außendurchmesser einschließlich Isolation“, siehe Allgemeines, Drahttabelle

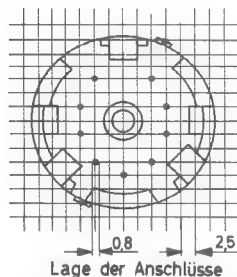
Halterung



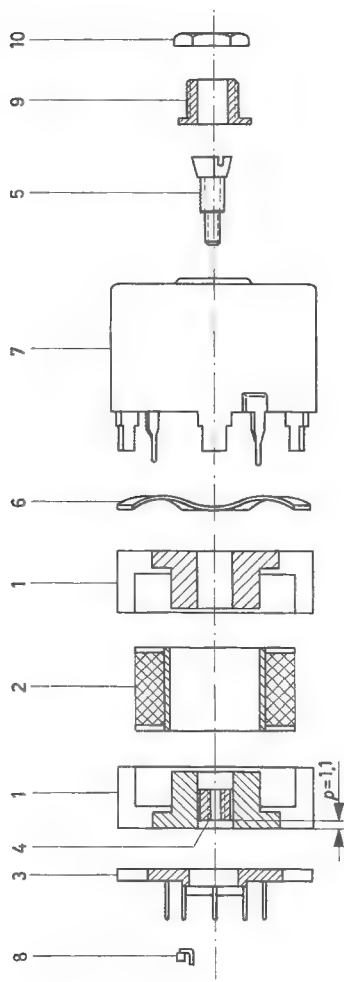
Montage auf gedruckter Platte



Montage auf Chassis



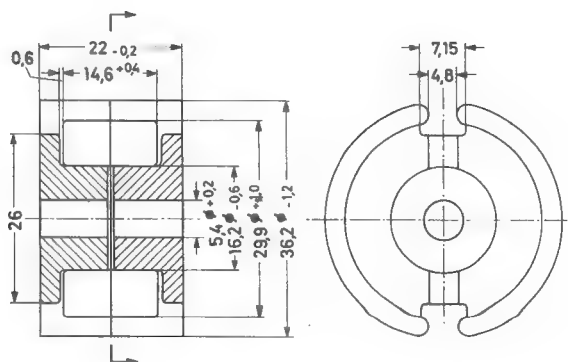
Lage der Anschlüsse



Zusammenstellung aller Zubehörteile

| Teil | Typ                    | Bezeichnung    | Werkstoff      | Bemerkungen  |
|------|------------------------|----------------|----------------|--|
| 1    | s. Kerntypen           | Schalenkern    | FERROXUBE      | Typ angeben  |
| 2    | P5 055 84              | Spulenkörper   | Makrolon S     | 1 Kammer; P5 055 85 2 Kammer<br>P5 055 91 3 Kammer |
| 3    | P4 057 29              | Anschlußplatte | Preßstoff      | 9 Anschlüsse                                       |
| 4    | P5 056 00              | Gewindeeinsatz | Makrolon S     | eingeklebt, wenn bestellt                          |
| 5    | s. Kerntypen           | Abgleichstift  | Rilsan         | cadmiert   |
| 6    | B1 480 23              | Federripping   | Federstahl     |  |
| 7    | B1 410 51              | Gehäuse        | Ms, vernickelt |  |
| 8    | B1 431 53 <sup>+</sup> | Lötanschluß    | Ms, verzinkt   |  |
| 9    | B1 391 85              | Gewindeflansch | Ms, vernickelt | nur für Montage auf Chassis-                       |
| 10   | B1 436 53              | Mutter         | Ms, vernickelt | platte   |

<sup>+</sup> wird nur bei besonderer Bestellung mitgeliefert



Der Schalenkern P 36/22 entspricht DIN 41 293

### Technische Daten

Vorabgeglichene Schalenkernsätze

| Typ       | Ausführung                      | A <sub>L</sub> -Wert<br>(nH) | FXC<br>Sorte | μ <sub>e</sub><br>Richt-<br>wert | Abgleichstift |                |                                    |
|-----------|---------------------------------|------------------------------|--------------|----------------------------------|---------------|----------------|------------------------------------|
|           |                                 |                              |              |                                  | Typ           | Kenn-<br>farbe | $\frac{\Delta L}{L}_{\max}$<br>(%) |
| K3 003 90 | P 36/22-3H1-o.L.                | 9600 $\pm 25$ %              | 3H1          | 2030                             |               |                |                                    |
| K3 006 75 | P 36/22-3H1-AL1600              | 1600 $\pm 3$ %               | 3H1          | 337                              | P5 056 99     | schwarz        | 10-14                              |
| K3 006 74 | P 36/22-3H1-AL1000              | 1000 $\pm 3$ %               | 3H1          | 210                              | P5 056 98     | grau           | 8-11                               |
| K3 006 73 | P 36/22-3H1-AL630               | 630 $\pm 2$ %                | 3H1          | 132                              | P5 056 10     | braun          | 9-13                               |
| K3 006 72 | P 36/22-3H1-AL400               | 400 $\pm 2$ %                | 3H1          | 84                               | P5 056 10     | braun          | 13-18                              |
| K3 006 71 | P 36/22-3H1-AL250               | 250 $\pm 2$ %                | 3H1          | 53                               | P5 056 62     | weiß           | 8-11                               |
| K3 004 55 | P 36/22-3H1-AL850 <sup>*)</sup> | 850 $\pm 3$ %                | 3H1          | 178                              |               |                |                                    |

Schalenkernhälften ohne Luftspalt

| Typ       | FXC-Sorte         |
|-----------|-------------------|
| K5 351 61 | 3H1               |
| K5 351 62 | 3B7 (auf Anfrage) |

Schalenerne mit Luftspalt werden mit eingeklebtem Gewindeinsatz (Teil 4) geliefert, wenn die Typ-Nr. mit Anhang /01 versehen ist, z.B. K3 006 73/01

<sup>\*)</sup> Sondertyp. Nur auf Anfrage

# P-Schalenkern P 36/22

magnetische Daten



Magn. Formkonstante

$$\sum \frac{l}{A} = 2,64 \text{ cm}^{-1}$$

Hysteresevolumen

$$V_e = 10,7 \text{ cm}^3$$

Mittl. magn. Weglänge

$$l_e = 5,3 \text{ cm}$$

Mittl. Kernquerschnitt

$$A_e = 2,0 \text{ cm}^2$$

Gleichstromverlustmaß

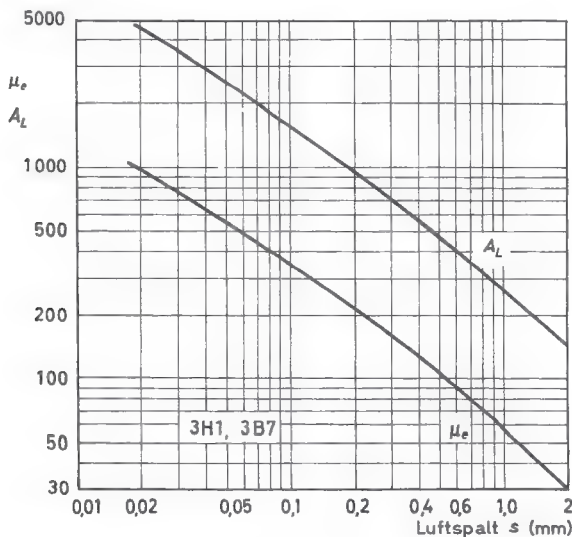
$$\frac{R_{Cu}}{L} = \frac{17,9 \cdot 10^3}{f_{Cu} \cdot A_L} \frac{\Omega}{H} \quad \text{wenn } [A_L] \text{ in nH}$$

Meßdruck

$$35 \text{ kg}$$

Gewicht (pro Satz)

$$74 \text{ g}$$

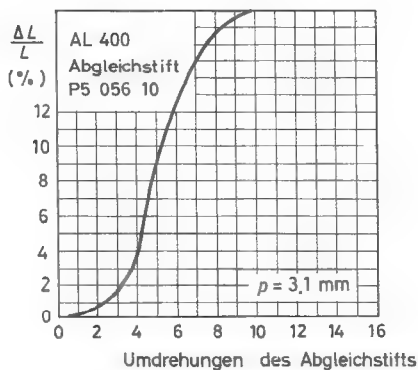
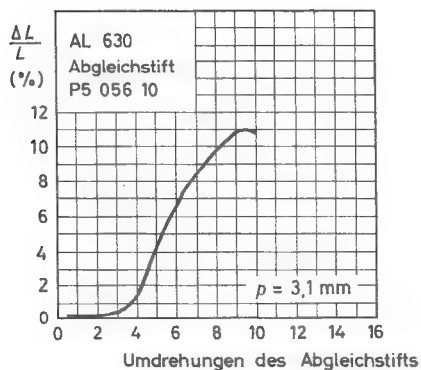
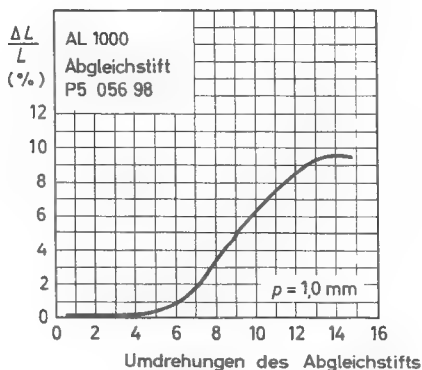
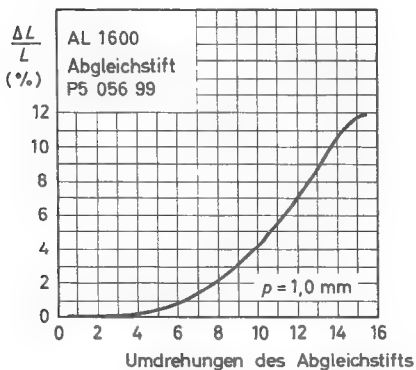


$\mu_e$  und  $A_L$  (in nH) in Abhängigkeit vom Luftspalt s



# P-Schalenkern P 36/22

Wickeldaten



Abgleichbereiche mit den angegebenen Abgleichstiften  
bei der angegebenen Tauchtiefe p



# P-Schalenkern P 36/22

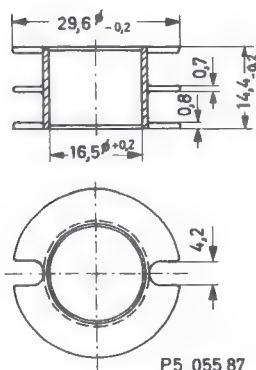
## Wickeldaten

Spulenkörper (nach DIN 41 294)

P5 055 86 1 Kammer

P5 055 87 2 Kammern

P5 055 92 3 Kammern



Werkstoff

Makrolon S

Zul. Temperaturbereich

-50 bis +120 °C

Wickelquerschnitt W

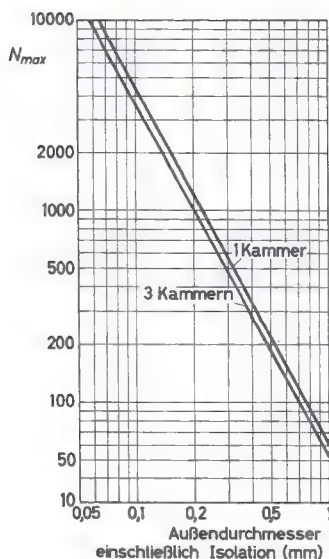
0,71 cm<sup>2</sup>, 1 K.  
2x 0,33 cm<sup>2</sup>, 2 K.  
3x 0,20 cm<sup>2</sup>, 3 K.

Mittl. Windungslänge  $l_W$

7,3 cm

Widerstandsfaktor  $A_R$

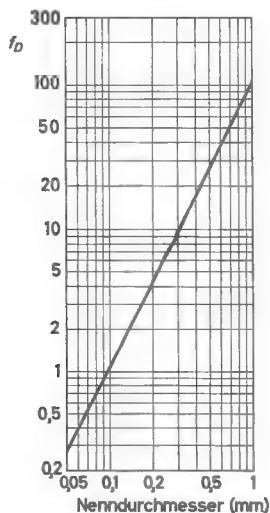
$39,5 \cdot 10^{-6} \Omega$



Maximale Windungszahl als Funktion  
des Draht-Außendurchmessers



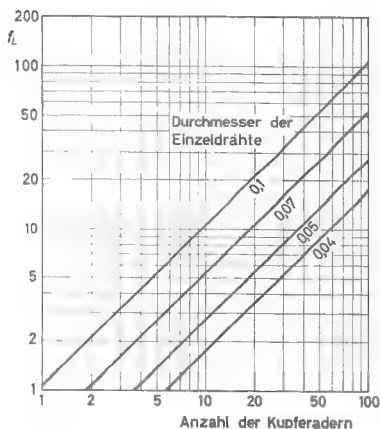
Kupferfüllfaktor  $f_{Cu}$



Kupfer-Runddraht

$$f_{Cu} = 10^{-4} \cdot f_D \cdot N_{max}$$

Zusammenhang zwischen „Nennendurchmesser“ und „Außendurchmesser einschließlich Isolation“, siehe Allgemeines, Drahttabelle

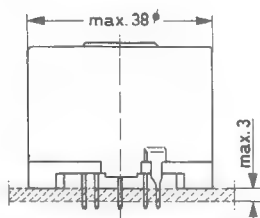


HF-Litze

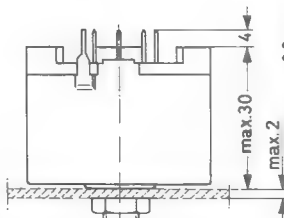
$$f_{Cu} = 10^{-4} \cdot f_L \cdot N_{max}$$

Zusammenhang zwischen „Anzahl der Kupferadern“ und „Außendurchmesser einschließlich Isolation“, siehe Allgemeines, Drahttabelle

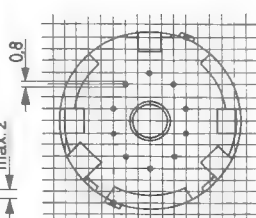
Halterung



Montage auf gedruckter Platte



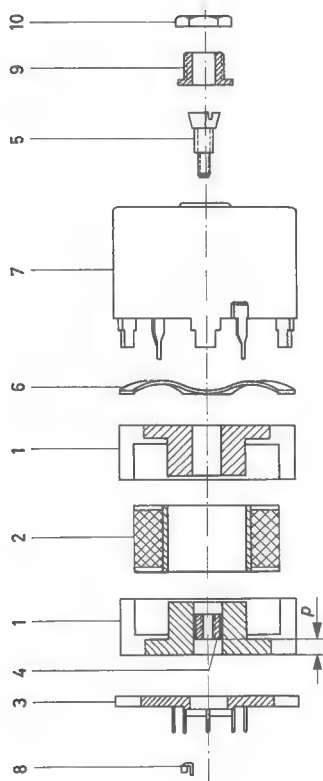
Montage auf Chassis



Lage der Anschlüsse

# P-Schalenkern P 36/22

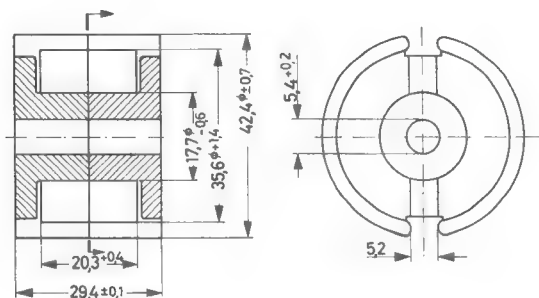
## Zubehörteile



Zusammenstellung aller Zubehörteile

| Teil | Typ                    | Bezeichnung    | Werkstoff      | Bemerkungen  |
|------|------------------------|----------------|----------------|--|
| 1    | s. Kerntypen           | Schalenkern    | FERROXCUBE     | Typ angeben  |
| 2    | P5 055 86              | Spulenkörper   | Makrolon S     | 1 Kammer; P5 055 87 2 Kammern<br>P5 055 92 3 Kammern |
| 3    | P4 057 30              | Anschlußplatte | Preßstoff      | 10 Anschlüsse  |
| 4    | P5 056 00              | Gewindeeinsatz | Makrolon S     | eingekelebt, wenn bestellt                           |
| 5    | s. Kerntypen           | Abgleichstift  | Bilsan         | cadmiert   |
| 6    | B1 480 24              | Federling      | Federstahl     |  |
| 7    | B1 410 52              | Gehäuse        | Ms, vernickelt |  |
| 8    | B1 431 53 <sup>+</sup> | Lötanschluß    | Ms, verzinkt   |  |
| 9    | B1 391 85              | Gewindeflansch | Ms, vernickelt | nur für Montage auf Chassis-                         |
| 10   | B1 436 53              | Mutter         | Ms, vernickelt | platte   |

<sup>+</sup>) wird nur bei besonderer Bestellung mitgeliefert



### Technische Daten

#### Vorabgeglichene Schalenkernsätze

| Typ       | Ausführung         | A <sub>L</sub> -Wert<br>(nH) | FXC<br>Sorte | μ <sub>e</sub><br>Richt-<br>wert | Abgleichstift |                | $\frac{\Delta L_{\max}}{L}$<br>(%) |
|-----------|--------------------|------------------------------|--------------|----------------------------------|---------------|----------------|------------------------------------|
|           |                    |                              |              |                                  | Typ           | Kenn-<br>farbe |                                    |
| K3 004 30 | P 42/29-3H1-o.L.   | 10300 ± 25 %                 | 3H1          | 2100                             |               |                |                                    |
| K3 004 35 | P 42/29-3H1-AL1600 | 1600 ± 3 %                   | 3H1          | 325                              | P5 056 99     | schwarz        | 8-11                               |
| K3 004 34 | P 42/29-3H1-AL1000 | 1000 ± 3 %                   | 3H1          | 205                              | P5 056 96     | grau           | 8-11                               |
| K3 004 33 | P 42/29-3H1-AL630  | 630 ± 2 %                    | 3H1          | 130                              | P5 056 96     | grau           | 11-14                              |
| K3 004 32 | P 42/29-3H1-AL400  | 400 ± 2 %                    | 3H1          | 81                               | P5 056 10     | braun          | 12-16                              |

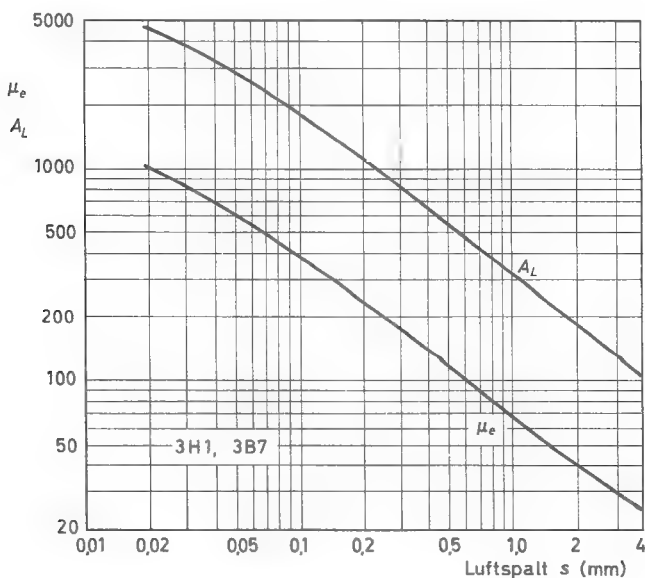
#### Schalenkernhälften ohne Luftspalt

| Typ       | FXC-Sorte         |
|-----------|-------------------|
| K5 352 22 | 3H1               |
| K5 352 21 | 3B7 (auf Anfrage) |

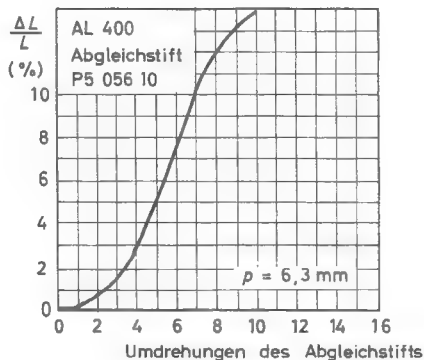
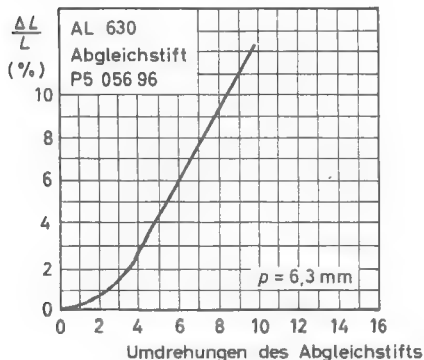
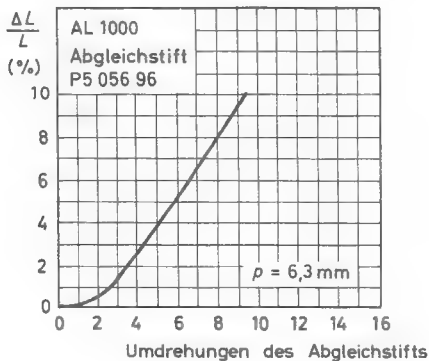
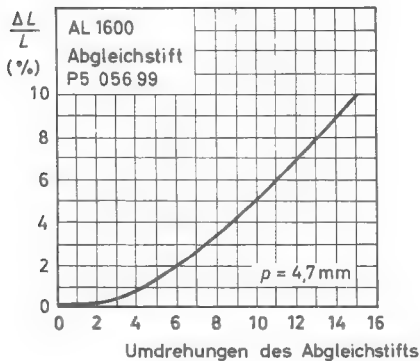
Schalenkern mit Luftspalt werden mit eingeklebtem Gewindeeinsatz (Teil 4) geliefert, wenn die Typ-Nr. mit Anhang /01 versehen ist, z.B. K3 004 33/01



|                        |  |
|------------------------|--|
| Magn. Formkonstante    | $\sum \frac{1}{A} = 2,6 \text{ cm}^{-1}$   |
| Hysteresevolumen       | $V_e = 18,2 \text{ cm}^3$  |
| Mittl. magn. Weglänge  | $l_e = 6,85 \text{ cm}$  |
| Mittl. Kernquerschnitt | $A_e = 2,65 \text{ cm}^2$  |
| Gleichstromverlustmaß  | $\frac{R_{Cu}}{L} = \frac{11,1 \cdot 10^3}{f_{Cu} \cdot A_L} \quad \frac{\Omega}{H}$ |
| Meßdruck               | 55 kg  |
| Gewicht (pro Satz)     | 104 g  |



$\mu_e$  und  $A_L$  (nH) in Abhängigkeit vom Luftspalt  $s$



Abgleichbereiche mit den angegebenen Abgleichstiften  
bei der angegebenen Tauchtiefe  $p$

# P-Schalenkern P 42/29

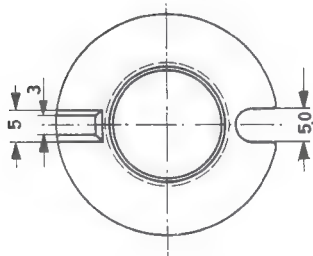
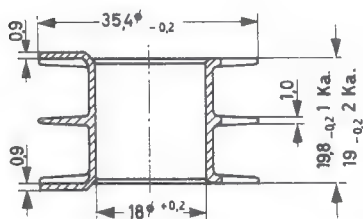
## Wickeldaten



Spulenkörper

P5 055 60 1 Kammer

P5 055 61 2 Kammern



Werkstoff

Makrolon S

Zul. Temperaturbereich

-50 bis +120 °C

Wickelquerschnitt W

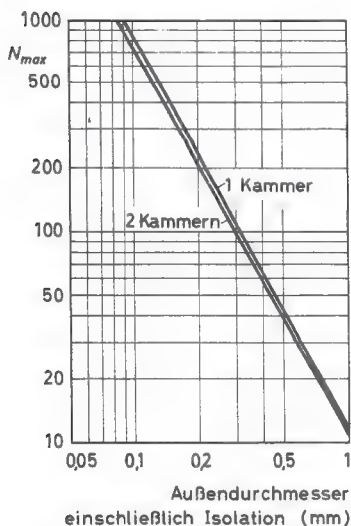
1,35 cm<sup>2</sup>, 1 Ka.  
2x 0,62 cm<sup>2</sup>, 2 Ka.

Mittl. Windungslänge l<sub>w</sub>

8,6 cm

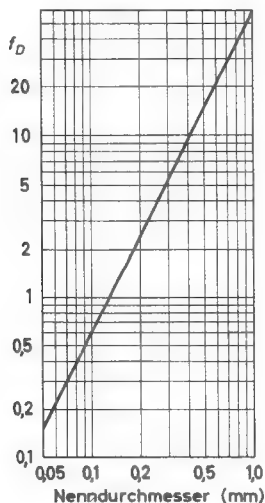
Widerstandsfaktor A<sub>R</sub>

24,2 · 10<sup>-6</sup> Ω



Maximale Windungszahl als Funktion  
des Draht-Außendurchmessers

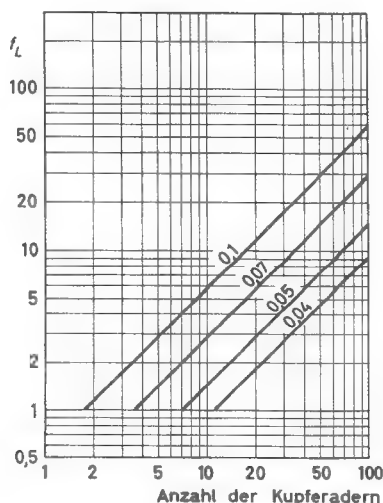
Kupferfüllfaktor  $f_{Cu}$



Kupfer-Runddraht

$$f_{Cu} = 10^{-4} \cdot f_D \cdot N_{max}$$

Zusammenhang zwischen „Nenn-durchmesser“ und „Außendurchmesser einschließlich Isolation“,  
siehe Allgemeines, Drahttabelle

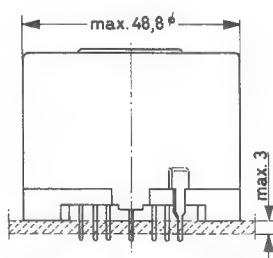


HF-Litze

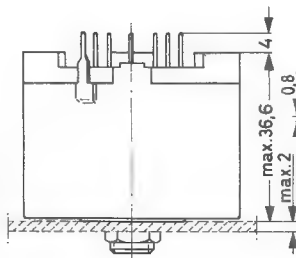
$$f_{Cu} = 10^{-4} \cdot f_L \cdot N_{max}$$

Zusammenhang zwischen „Anzahl der Kupferadern“ und „Außendurchmesser einschließlich Isolation“,  
siehe Allgemeines, Drahttabelle

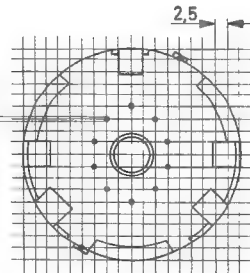
Halterung



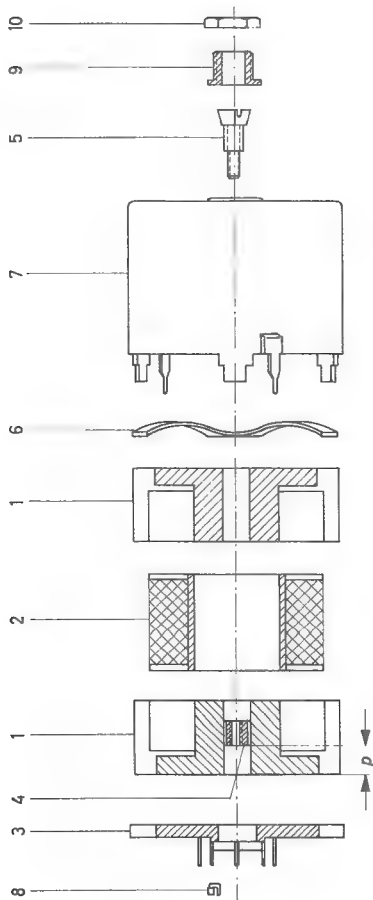
Montage auf gedruckter  
Platte



Montage auf Chassis



Lage der Anschlüsse

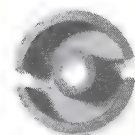
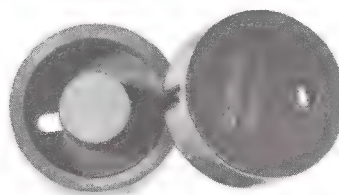
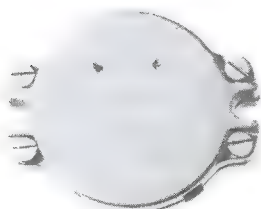
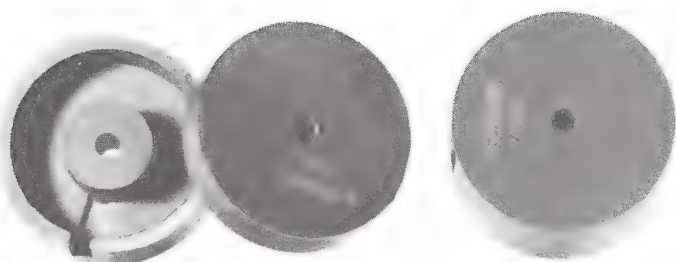


Zusammenstellung aller Zubehörteile

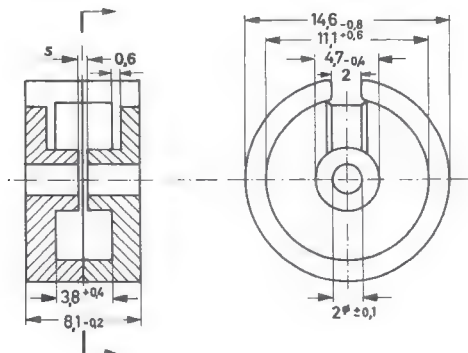
| Teil | Typ                    | Bezeichnung    | Werkstoff      | Bemerkungen                   |
|------|------------------------|----------------|----------------|-------------------------------|
| 1    | s. Kerntypen           | Schalenkern    | FERROXUBE      | Typ angeben                   |
| 2    | P5 055 60              | Spulenkörper   | Makrolon S     | 1 Kammer; P5 055 61 2 Kammern |
| 3    | P4 057 47              | Anschlußplatte | Preßstoff      | 10 Anschlüsse                 |
| 4    | P5 056 00              | Gewindeeinsatz | Makrolon S     | eingeklebt, wenn bestellt     |
| 5    | s. Kerntypen           | Abgleichstift  | Rilsan         | rostfrei                      |
| 6    | B1 480 33              | Federling      | Federstahl     |                               |
| 7    | B1 410 53              | Gehäuse        | Ms, vernickelt |                               |
| 8    | B1 431 53 <sup>+</sup> | Lötanschluß    | Ms, verzinkt   |                               |
| 9    | B1 391 85              | Gewindeflansch | Ms, vernickelt | nur für Montage auf Chassis-  |
| 10   | B1 436 53              | Mutter         | Ms, vernickelt | platte                        |

<sup>+</sup> wird nur bei besonderer Bestellung mitgeliefert





ALLGEMEINES siehe unter entsprechendem Abschnitt vor P-Kern-Typen



Abmessungen für Schalenkerne aus FXC 3B2 und 3E1

(Für Schalenkerne aus FXC 4B1, 4C1, 4E1 auf Anfrage. Spulenkörper und Halterungen passen zu diesen Schalenkernen nicht in jedem Falle).

### Technische Daten

Vorabgeglichene Schalenkernsätze

| Typ       | FXC<br>Sorte | $\mu_e$        | $\alpha$<br>$\text{mH}^{-1/2}$ | $A_L$<br>nH | Luftspalt<br>s (mm)<br>Richtwert | Abgleichbereich<br>in %<br>(Abgleichstift<br>B1 925 30) |
|-----------|--------------|----------------|--------------------------------|-------------|----------------------------------|---|
| K3 000 40 | 3B2          | 600 $\pm 25$ % | 30,6                           | 1070        | ohne                             |   |
| K3 000 41 | 3B2          | 74 $\pm 3$ %   | 85                             | 138         | 0,1                              | ca. 10  |
| K3 000 42 | 3B2          | 49 $\pm 2$ %   | 106                            | 89          | 0,2                              | ca. 18  |
| K3 000 43 | 3B2          | 36 $\pm 2$ %   | 122,5                          | 67          | 0,3                              | ca. 26  |
| K3 000 44 | 3B2          | 29,5 $\pm 2$ % | 135                            | 55          | 0,4                              | ca. 31  |
| K3 000 30 | 4B1          | 204 $\pm 25$ % | 48,5                           | 426         | ohne                             | keine Angaben   |
| K3 000 32 | 4B1          | 40 $\pm 2$ %   | 115,2                          | 75          | 0,2                              | Abgleichstift   |
| K3 000 33 | 4B1          | 32,5 $\pm 2$ % | 128,5                          | 60          | 0,3                              | B1 925 30 enthält                                       |
| K3 000 34 | 4B1          | 27 $\pm 2$ %   | 141,4                          | 50          | 0,4                              | FXC 3B-Stiftkern  |

### Einzelne Schalenkernhälften

| Typ           | FXC<br>Sorte | Luftspalt<br>s (mm) | $A_L$ (pro Paar)<br>nH | $\mu_e$<br>Richtwerte | $\alpha$ |  |
|---------------|--------------|---------------------|------------------------|-----------------------|----------|--|
| 56 580 06/3B2 | 3B2          | ohne                | 1070                   | 600                   | 30,6     |  |
| 56 580 23/3B2 | 3B2          | 0,2 $\pm 0,02$      |                        |                       |          |  |
| K5 351 25     | 3E1          | ohne                | 2200                   | 1230                  | 21,4     |  |
| 56 580 20/4B1 | 4B1          | ohne                | 425                    | 225                   | 48,5     |  |
| 56 580 21/4C1 | 4C1          | ohne                | 240                    | 128                   | 64,5     |  |
| 56 580 32/4C1 | 4C1          | 0,3 $\pm 0,02$      |                        |                       |          |  |
| 56 580 39/4E1 | 4E1          | ohne                | 37                     | 14                    | 165      |  |
| 56 580 23/4E1 | 4E1          | 0,2 $\pm 0,02$      |                        |                       |          |  |

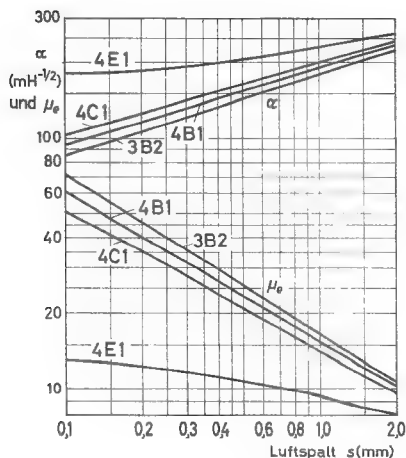
Abweichungen  
von 30 % sind  
bei  $A_L$  möglich  
 $\alpha = N/\sqrt{L}$   
beachten



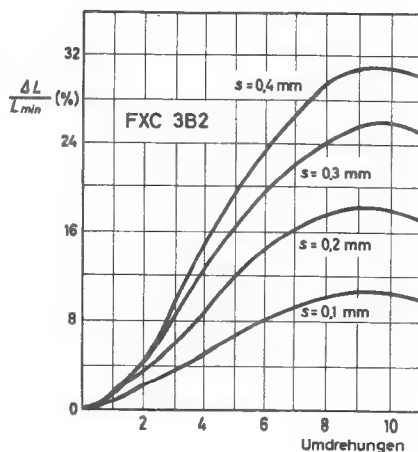
## S-Schalenkern S 14/8

magnetische Daten

|                          |   |
|--------------------------|---|
| Kernkonstante (3B2, 3E1) | $\sum \frac{1}{A} = 7,06 \text{ cm}^{-1}$ |
| Hysteresevolumen         | $V_e = 0,27 \text{ cm}^3$                 |
| Mittl. Magnetweglänge    | $l_e = 1,4 \text{ cm}$                    |
| Mittl. magn. Querschnitt | $A_e = 0,195 \text{ cm}^2$                |
| Meßdruck                 | 6 kg                                      |
| Gewicht (pro Satz)       | 3 g                                       |



$\mu_e$  und  $\alpha$  in Abhängigkeit vom Luftspalt  $s$



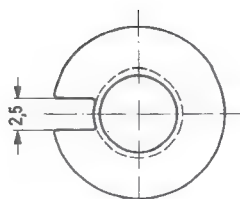
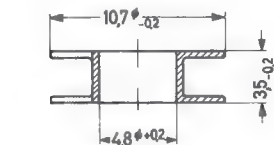
Änderung der Induktivität durch Schraubabgleich mit dem Abgleichstift B1 925 30



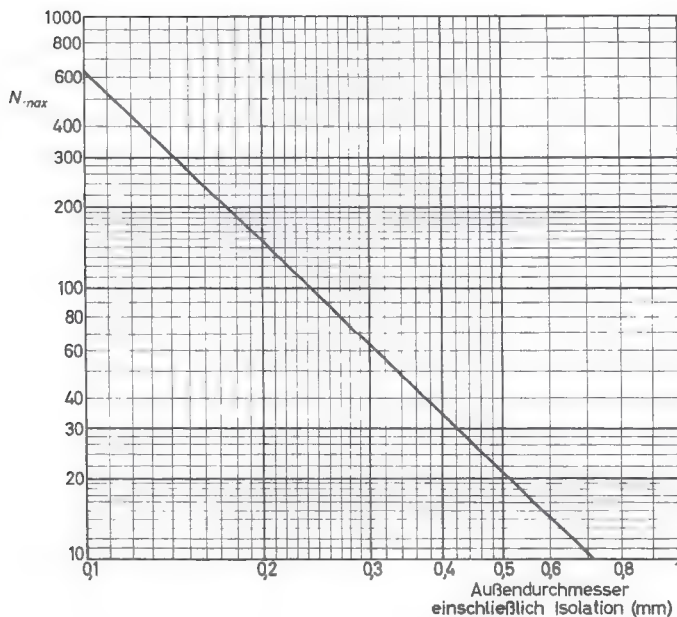
# S-Schalenkern S 14/8

## Wickeldaten

Spulenkörper VA 900 27



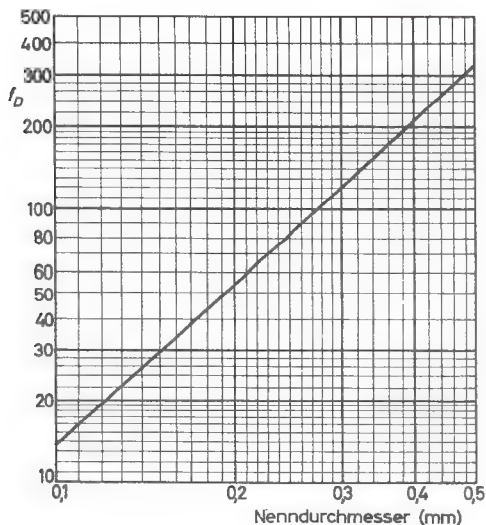
|                                     |                      |
|-------------------------------------|----------------------|
| Werkstoff                           | Makrolon S           |
| Temperaturbereich                   | -50 bis +120 °C      |
| Wickelquerschnitt W                 | 0,06 cm <sup>2</sup> |
| Mittl. Windungslänge l <sub>W</sub> | 2,5 cm               |



Maximale Windungszahl als Funktion des Draht-Äußerdurchmessers



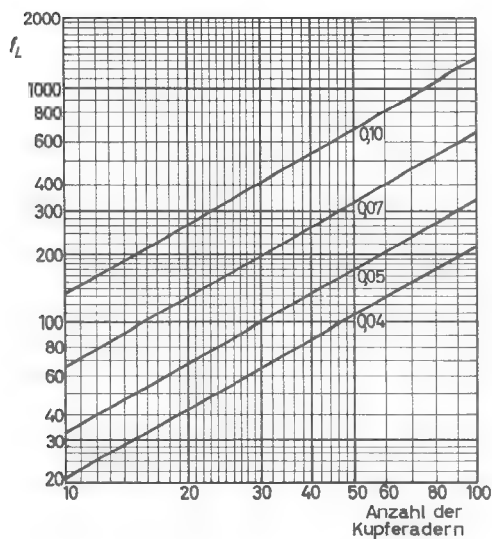
Kupferfüllfaktor  $f_{Cu}$



Kupfer-Runddraht

$$f_{Cu} = 10^{-4} \cdot f_D \cdot N_{max}$$

Zusammenhang zwischen „Nenn-  
durchmesser“ und „Außendurch-  
messer einschließlich  
Isolation“,  
s. Allgemeines, Drahttabelle



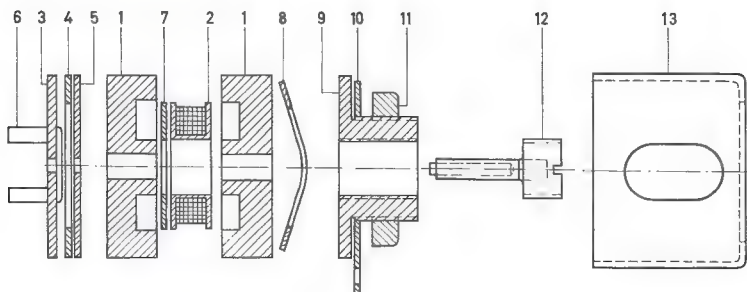
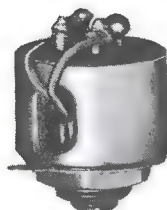
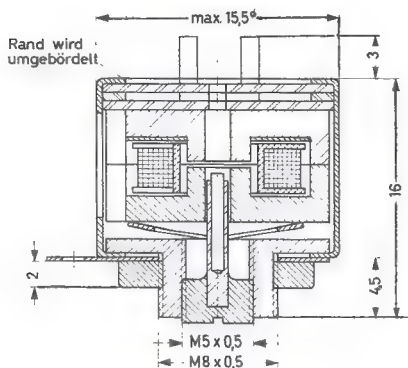
HF-Litze

$$f_{Cu} = 10^{-4} \cdot f_L \cdot N_{max}$$

Zusammenhang zwischen „Anzahl  
der Kupferadern“ und „Außen-  
durchmesser einschließlich  
Isolation“,  
s. Allgemeines, Drahttabelle

# S-Schalenkern S 14/8

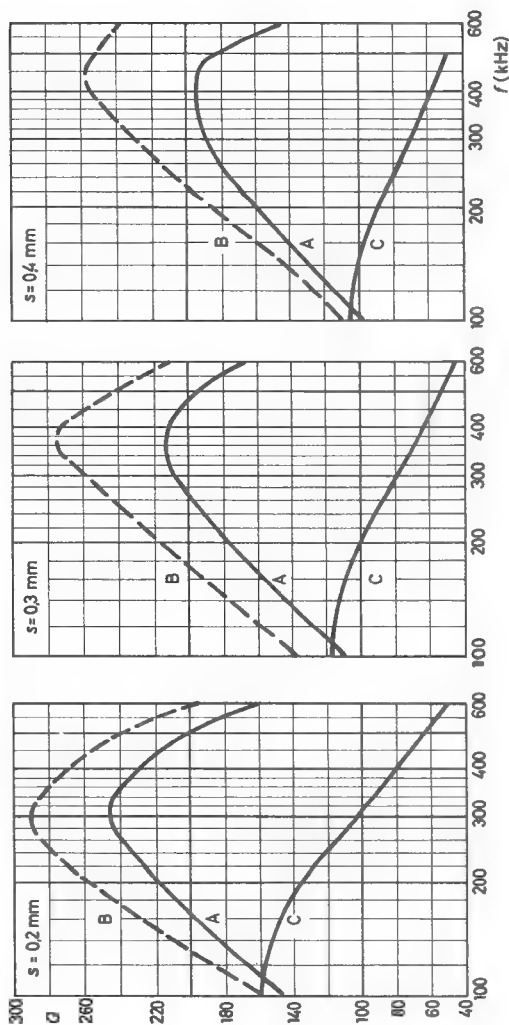
Halierung; Zubehörteile



Zusammenstellung aller Zubehörteile

| Teil | Typ          | Bezeichnung     | Werkstoff      | Stück pro Spule | Bemerkungen         |
|------|--------------|-----------------|----------------|-----------------|---------------------|
| 1    | s. Kerntypen | Schalenkern     | FXC 3          | 2               | einzel<br>lieferbar |
| 2    | VA 900 27    | Spulenkörper    | Makrolon S     | 1               |                     |
| 3    | NK 728 93    | Anschlußplatte  | Hartpapier     | 1               |                     |
| 4    | NK 721 08    | Distanzring     | Hartpapier     | 1               |                     |
| 5    | NK 728 95    | Isolierscheibe  | Hartpapier     | 1               |                     |
| 6    | NK 300 99    | Lötbügel        | Cu, verzinkt   | 2               |                     |
| 7    | NK 721 02    | Isolerring      | Preßspan       | 1               |                     |
| 8    | NA 825 56    | Druckring       | Federstahl     | 1               |                     |
| 9    | NK 333 28    | Flansch         | Ms, vernickelt | 1               |                     |
| 10   | NK 298 11    | Lötscheibe      | Ms, verzinkt   | 1               |                     |
| 11   | B1 436 53    | Mutter M8 x 0,5 | Ms, vernickelt | 1               |                     |
| 12   | B1 925 30    | Abgleichstift   | Ms und Keramik | 1               |                     |
| 13   | NK 589 94    | Kappe           | Ms, vernickelt | 1               |                     |
| 14   | NK 298 97    | Lötfeder        | Cu, verzinkt   | 2               |                     |

Spulengüte (Beispiele) in Abhängigkeit von der Frequenz

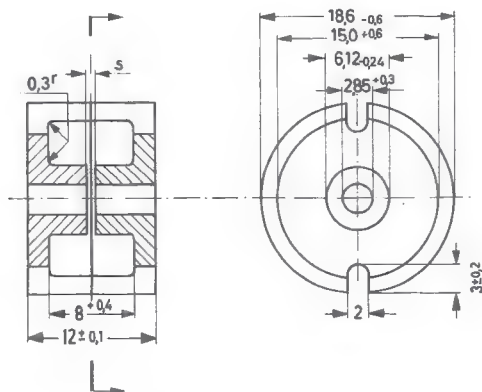


|                    |     |                     |          |           |      |
|--------------------|-----|---------------------|----------|-----------|------|
| A: Luftspalt $s =$ | 0,2 | 115 $\mu\text{H}$ , | 36 Wdgn. | 12 x 0,07 | CuLS |
|                    | 0,3 | 87 $\mu\text{H}$ ,  |          |           |      |
|                    | 0,4 | 71 $\mu\text{H}$ ,  |          |           |      |
| B: Luftspalt $s =$ | 0,2 | 115 $\mu\text{H}$ , | 36 Wdgn. | 36 x 0,04 | CuLS |
|                    | 0,3 | 87 $\mu\text{H}$ ,  |          |           |      |
|                    | 0,4 | 71 $\mu\text{H}$ ,  |          |           |      |
| C: Luftspalt $s =$ | 0,2 | 540 $\mu\text{H}$ , | 76 Wdgn. | 0,2       | CuLS |
|                    | 0,3 | 410 $\mu\text{H}$ , |          |           |      |
|                    | 0,4 | 334 $\mu\text{H}$ , |          |           |      |

FXC 3B2

# S-Schalenkern S 18/12

## Kerntypen



Abmessungen für Schalenkerne aus FXC 3B und 3E1

### Technische Daten

Vorabgeglichene Schalenkernsätze

| Typ       | FXC<br>Sorte | $\mu_e$          | $\alpha$<br>$\text{mH}^{-1/2}$ | $A_L$<br>nH | Luftspalt<br>s (mm)<br>Richtwert | Abgleichbereich<br>in %<br>(Abgleichstift)<br>P5 055 09) |
|-----------|--------------|------------------|--------------------------------|-------------|----------------------------------|--|
| K3 000 49 | 3B2          | 100 $\pm 2$ %    | 79                             | 160         | 0,16                             | ca. 5  |
| K3 000 46 | 3B2          | 65 $\pm 1$ %     | 96                             | 108         | 0,3                              | ca. 7  |
| K3 000 47 | 3B3          | 46 $\pm 1,5$ %   | 113                            | 78          | 0,5                              | ca. 12   |
| K3 000 45 | 3B3          | 28,5 $\pm 1,5$ % | 142                            | 49,6        | 1,0                              | ca. 17   |

### Einzelne Schalenkernhälften

| Typ           | FXC<br>Sorte | Luftspalt<br>s (mm) | $A_L$ (pro Paar)<br>nH | $\mu_e$<br>Richtwerte | $\alpha$<br>Richtwerte |   |
|---------------|--------------|---------------------|------------------------|-----------------------|------------------------|---|
| 56 580 34/3B2 | 3B2          | ohne                | 1370                   | 860                   | 27                     | Abweichungen<br>von 30 % sind<br>bei $A_L$ möglich<br>$\alpha = N/\sqrt{L}$<br>beachten |
| 56 580 35/3B2 | 3B2          | 0,3 $\pm 0,03$      |                        |                       |                        |   |
| K5 350 66     | 3E1          | ohne                | 2700                   | 1700                  | 19,1                   |   |

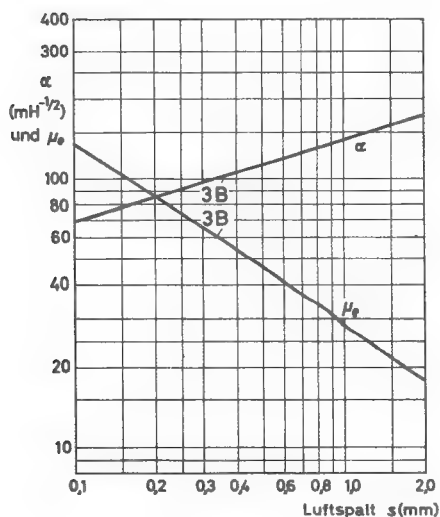




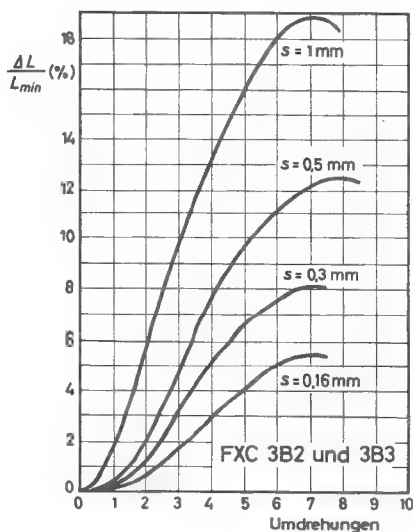
# S-Schalenkern S 18/12

## magnetische Daten

|                          |   |
|--------------------------|---|
| Kernkonstante            | $\sum \frac{1}{A} = 7,95 \text{ cm}^{-1}$ |
| Hysteresevolumen         | $V_e = 0,74 \text{ cm}^3$                 |
| Mittl. Magnetweglänge    | $l_e = 2,35 \text{ cm}$                   |
| Mittl. magn. Querschnitt | $A_e = 0,3 \text{ cm}^2$                  |
| Meßdruck                 | 9 kg                                      |
| Gewicht (pro Satz)       | 8,5 g                                     |



$\mu_e$  und  $\alpha$  in Abhängigkeit vom Luftspalt  $s$



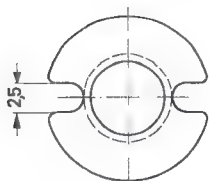
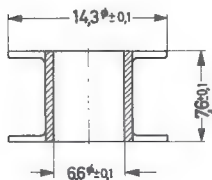
Änderung der Induktivität durch Schraubabgleich mit Abgleichstift  
P5 055 09

# S-Schalenkern S 18/12

## Wickeldaten



Spulenkörper VA 900 25



Werkstoff

Makrolon S

Temperaturbereich

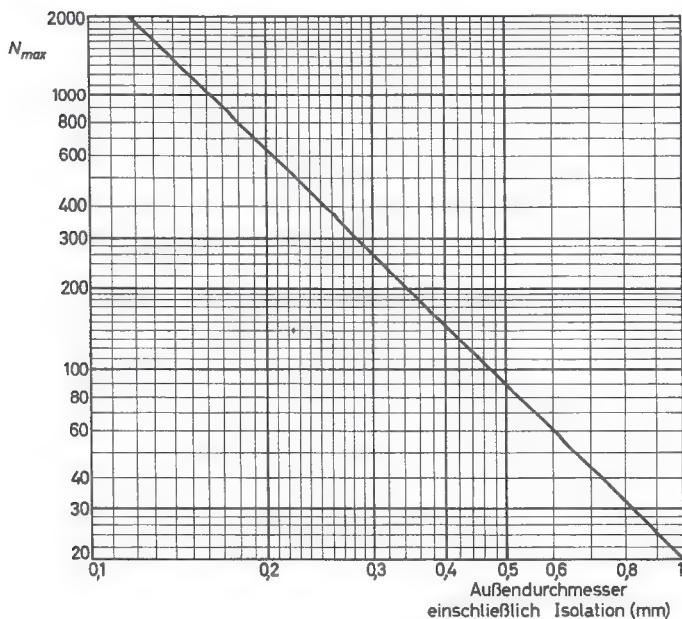
-50 bis +120 °C

Wickelquerschnitt W

0,22 cm<sup>2</sup>

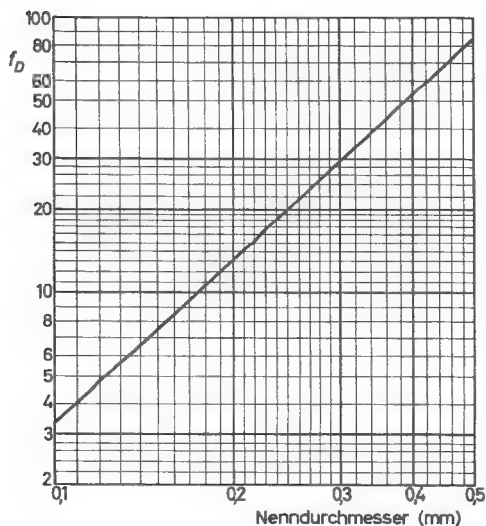
Mittl. Windungslänge l<sub>W</sub>

3,3 cm



Maximale Windungszahl als Funktion des Draht-Außendurchmessers

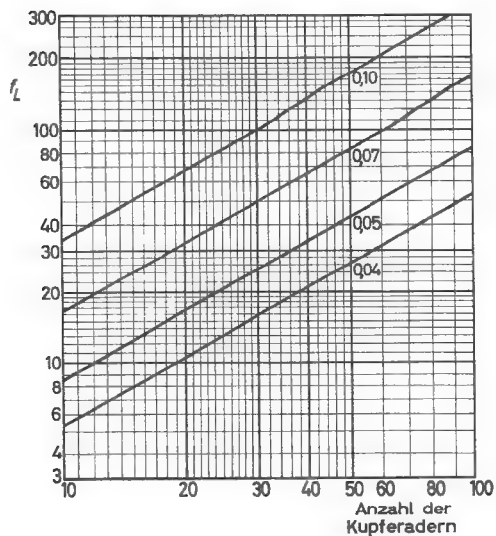
Kupferfüllfaktor  $f_{Cu}$



Kupfer-Runddraht

$$f_{Cu} = 10^{-4} \cdot f_D \cdot N_{max}$$

Zusammenhang zwischen „Nenn-  
durchmesser“ und „Außendurch-  
messer einschließlich  
Isolation“,  
s. Allgemeines, Drahttabelle



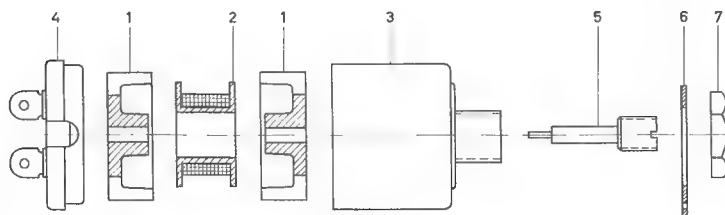
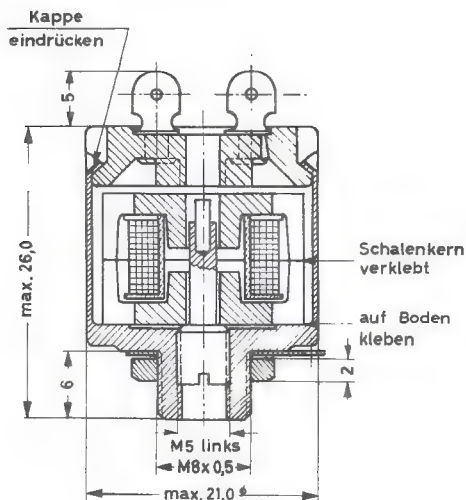
HF-Litze

$$f_{Cu} = 10^{-4} \cdot f_L \cdot N_{max}$$

Zusammenhang zwischen „Anzahl  
der Kupferadern“ und „Außen-  
durchmesser einschließlich  
Isolation“,  
s. Allgemeines, Drahttabelle

# S-Schalenkern S 18/12

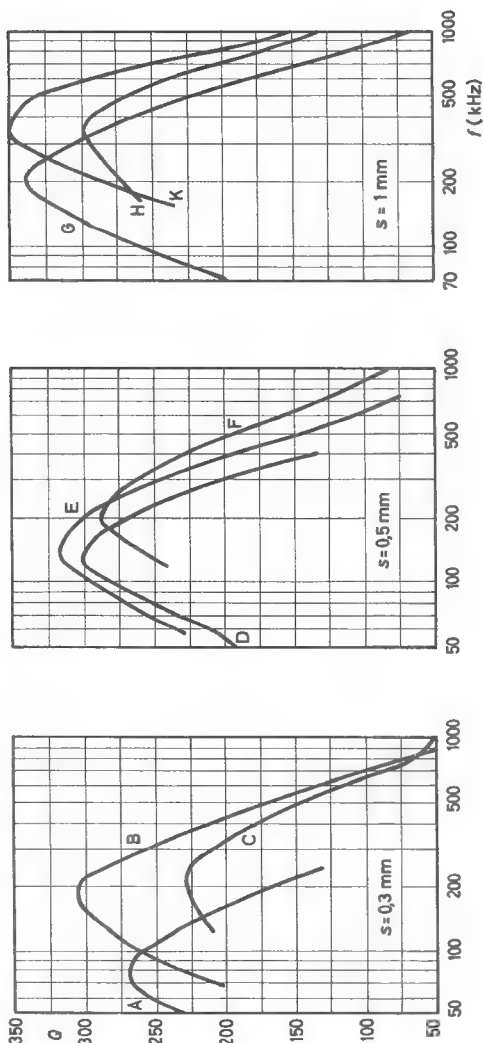
Halterung; Zubehörteile



Zusammenstellung aller Zubehörteile

| Teil | Typ          | Bezeichnung      | Werkstoff      | Stück pro Spule | Bemerkungen  |
|------|--------------|------------------|----------------|-----------------|--|
| 1    | s. Kerntypen | Schalenkern      | FXC 3          | 2               | einzeln lieferbar  |
| 2    | VA 900 25    | Spulenkörper     | Makrolon S     | 1               |  |
| 3    | B1 091 77    | Gehäuse          | Leichtmetall   | 1               | Teil 3 bis 7 und Teil 8, 9, 10 nur geschlossen lieferbar                                     |
| 4    | B1 522 09    | Deckel (4Anschl. | Preßstoff K026 | 1               |  |
| 5    | P5 055 09    | Abgleichstift    | Polyamid       | 1               |  |
| 6    | NK 298 11    | Lötscheibe       | Ms, verzinkt   | 1               |  |
| 7    | B1 436 53    | Mutter M8 x 0,5  | Ms, vernickelt | 1               |  |
| 8    | B1 465 74    | Stift m. Gew.M3  | St, cadmiert   | 1               | Teil 8, 9 und 10 nur für Montage. Sie können immer wieder benutzt werden. (nicht abgebildet) |
| 9    | B1 161 57    | Scheibe          | St, cadmiert   | 1               |  |
| 10   | B 020ED/3    | Mutter M3        | Ms, cadmiert   | 1               |  |

Spulengüte (Beispiele) in Abhängigkeit von der Frequenz

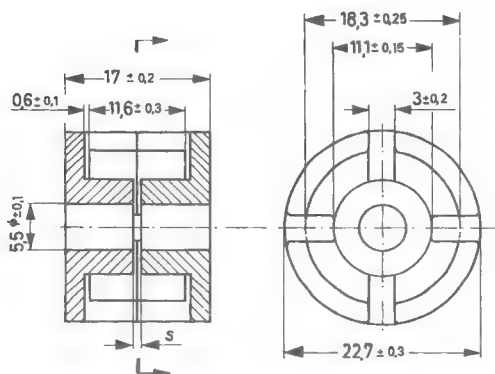


|    |                     |           |           |                 |
|----|---------------------|-----------|-----------|-----------------|
| A: | Luftspalt $s = 0,3$ | 9,88 mH,  | 304 Wdgn. | 5 x 0,07 CuLS   |
| B: | 0,3                 | 0,84 mH,  | 87 Wdgn.  | 20 x 0,07 CuLS  |
| C: | 0,3                 | 0,255 mH, | 48 Wdgn.  | 40 x 0,07 CuLS  |
| D: | 0,5                 | 2,96 mH,  | 195 Wdgn. | 8 x 0,07 CuLS   |
| E: | 0,5                 | 1,013 mH, | 113 Wdgn. | 20 x 0,07 CuLS  |
| F: | 0,5                 | 0,219 mH, | 57 Wdgn.  | 36 x 0,07 CuLS  |
| G: | 1,0                 | 0,51 mH,  | 105 Wdgn. | 56 x 0,04 CuLS  |
| H: | 1,0                 | 0,108 mH, | 47 Wdgn.  | 100 x 0,04 CuLS |
| K: | 1,0                 | 0,409 mH, | 100 Wdgn. | 30 x 0,04 CuLS  |

(2 Kammern)

# S-Schalenkern S 23/17

Kerntypen



Schalenkern S 23/17 werden nur in vorabgeglichener Ausführung geliefert

## Technische Daten

Vorabgeglichene Schalenkernsätze

| Typ       | Ausführung          | $A_L$           | FXC   | $\mu_e$    | Luftspalt<br>s (mm) |
|-----------|---------------------|-----------------|-------|------------|---------------------|
|           |                     | nH              | Sorte | Richtwerte |                     |
| VK 242 53 | S 23/17-3B5-o.L.    | $3700 \pm 25$ % | 3B5   | 1180       | 0                   |
| VK 242 52 | S 23/17-3B5-AL 400  | $400 \pm 2$ %   | 3B5   | 128        | 0,2                 |
| VK 242 50 | S 23/17-3B5-AL 250  | $250 \pm 3$ %   | 3B5   | 80         | 0,4                 |
| VK 242 51 | S 23/17-3B5-AL 160  | $160 \pm 3$ %   | 3B5   | 51         | 0,8                 |
| VK 242 41 | S 23/17-3E1-o.L.    | $5300 \pm 25$ % | 3E1   | 1910       | 0                   |
| VK 242 42 | S 23/17-3E1-AL 1250 | $1250 \pm 10$ % | 3E1   | 400        | 0,06                |

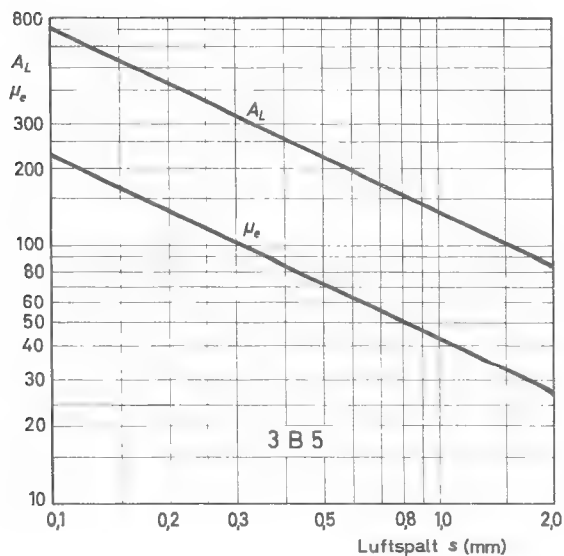
Halterungsteile und Abgleicheinrichtung zu diesem Schalenkern auf Anfrage



# S-Schalenkern S 23/17

## magnetische Daten

|                          |  |
|--------------------------|--|
| Kernkonstante            | $\sum \frac{1}{A} = 4,0 \text{ cm}^{-1}$ |
| Hystereseevolumen        | $V_e = 3,3 \text{ cm}^3$                 |
| Mittl. Magnetweglänge    | $l_e = 3,6 \text{ cm}$                   |
| Mittl. magn. Querschnitt | $A_e = 0,91 \text{ cm}^2$                |



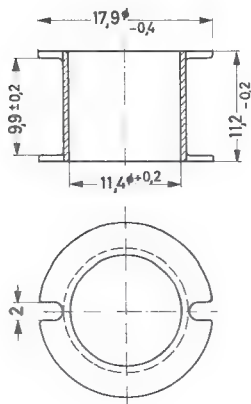
$\mu_e$  und  $A_L$  in Abhängigkeit vom Luftspalt  $s$

# S-Schalenkern S 23/17

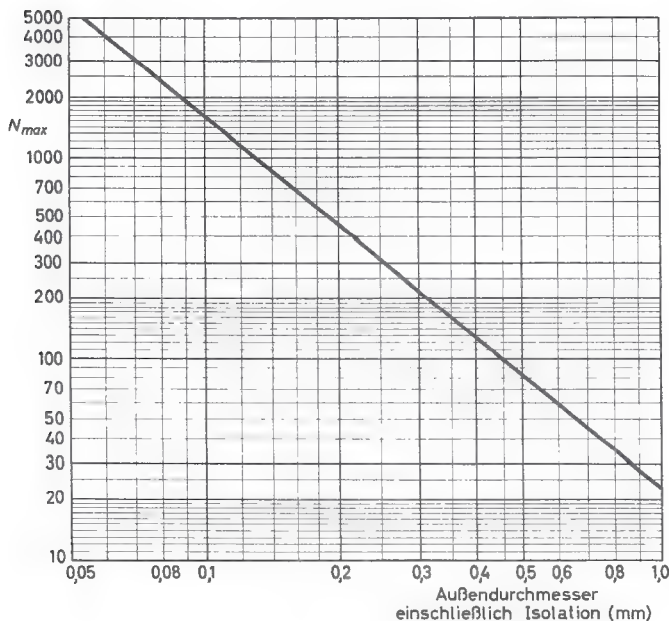
## Wickeldaten



Spulenkörper VA 900 34  
(nach DIN 41 288)



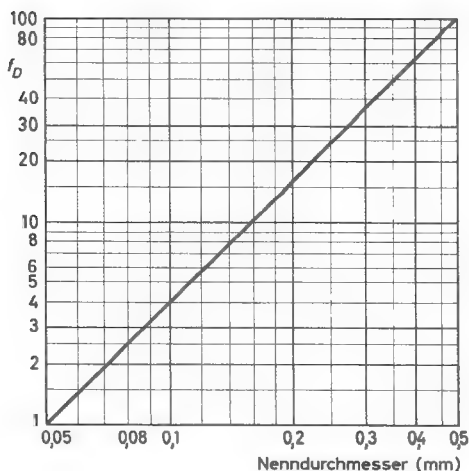
|                                     |                      |
|-------------------------------------|----------------------|
| Werkstoff                           | Polystyrol EH        |
| Temperaturbereich                   | -40 bis +85 °C       |
| Wickelquerschnitt W                 | 0,21 cm <sup>2</sup> |
| Mittl. Windungslänge l <sub>W</sub> | 4,6 cm               |



Maximale Windungszahl als Funktion des Draht-Außendurchmessers



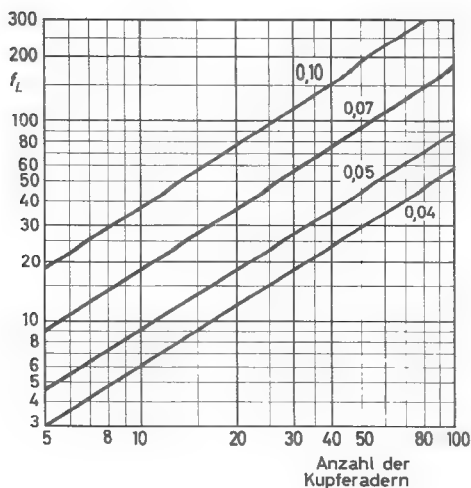
Kupferfüllfaktor  $f_{Cu}$



Kupfer-Runddraht

$$f_{Cu} = 10^{-4} \cdot f_D \cdot N_{max}$$

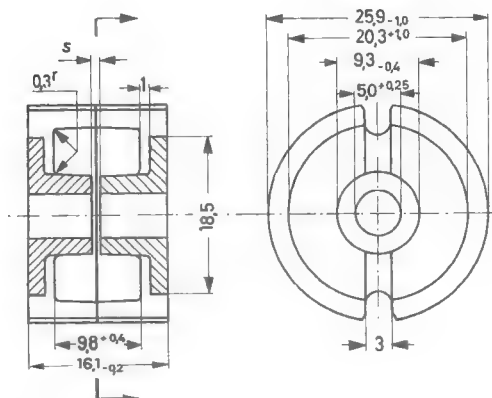
Zusammenhang zwischen „Nenn-  
durchmesser“ und „Außendurch-  
messer einschließlich  
Isolation“,  
s. Allgemeines, Drahttabelle



HF-Litze

$$f_{Cu} = 10^{-4} \cdot f_L \cdot N_{max}$$

Zusammenhang zwischen „Anzahl  
der Kupferadern“ und „Außen-  
durchmesser einschließlich  
Isolation“,  
s. Allgemeines, Drahttabelle



### Technische Daten

Vorabgeglichene Schalenkernsätze

| Typ       | FXC<br>Sorte | $\mu_e$         | $\alpha$<br>$\text{mH}^{-1/2}$ | $A_L$<br>nH | Luftspalt<br>s (mm)<br>Richtwert | Abgleichbereich<br>in %<br>(Abgleichstift<br>P5 055 11) |
|-----------|--------------|-----------------|--------------------------------|-------------|----------------------------------|---|
| K3 000 61 | 3B2          | $150 \pm 3$ %   | 49                             | 417         | 0,14                             | ca. 3,7   |
| K3 000 62 | 3B2          | $100 \pm 2,5$ % | 60                             | 278         | 0,23                             | ca. 6   |
| K3 000 63 | 3B2          | $80 \pm 2$ %    | 67                             | 223         | 0,32                             | ca. 8   |
| K3 000 64 | 3B3          | $60 \pm 1,5$ %  | 77,5                           | 166,5       | 0,47                             | ca. 11  |

### Einzelne Schalenkernhälften

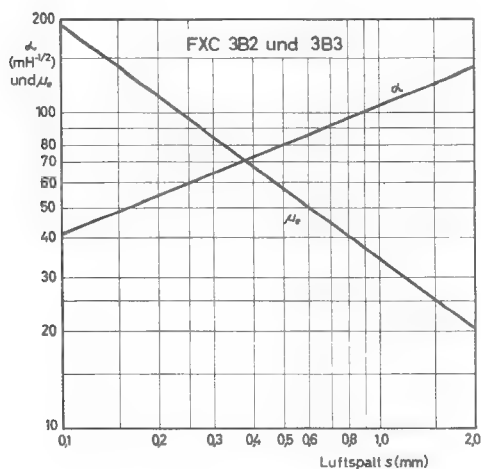
| Typ           | FXC<br>Sorte | Luftspalt<br>s (mm) | $A_L$ (pro Paar)<br>nH | $\mu_e$<br>Richtwerte | $\alpha$<br>Richtwerte |   |
|---------------|--------------|---------------------|------------------------|-----------------------|------------------------|---|
| 56 580 40/3B2 | 3B2          | ohne                | 2400                   | 880                   | 20,3                   | Abweichungen<br>von 30 % sind<br>bei $A_L$ möglich<br>$\alpha = N/\sqrt{L}$<br>beachten |
| 56 580 41/3B2 | 3B2          | $0,2 \pm 0,015$     |                        |                       |                        |   |
| K5 350 00     | 3E1          | ohne                | 4950                   | 1860                  | 14,2                   |   |



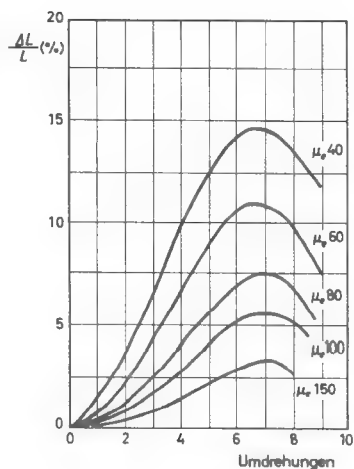
# S-Schalenkern S 25/16

magnetische Daten

|                          |   |
|--------------------------|---|
| Kernkonstante            | $\sum \frac{1}{A} = 4,7 \quad \text{cm}^{-1}$ |
| Hysteresevolumen         | $V_e = 1,9 \quad \text{cm}^3$                 |
| Mittl. Magnetweglänge    | $l_e = 3,0 \quad \text{cm}$                   |
| Mittl. magn. Querschnitt | $A_e = 0,63 \quad \text{cm}^2$                |
| Meßdruck                 | 20 kg   |
| Gewicht (pro Satz)       | 22,5 g  |



$\mu_e$  und  $\alpha$  in Abhängigkeit vom Luftspalt  $s$



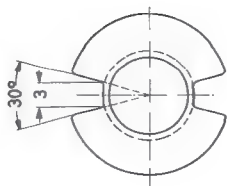
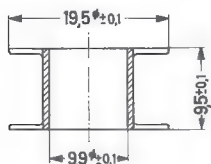
Änderung der Induktivität durch Schraubabgleich mit dem Abgleichstift P5 056 01

# S-Schalenkern S 25/16

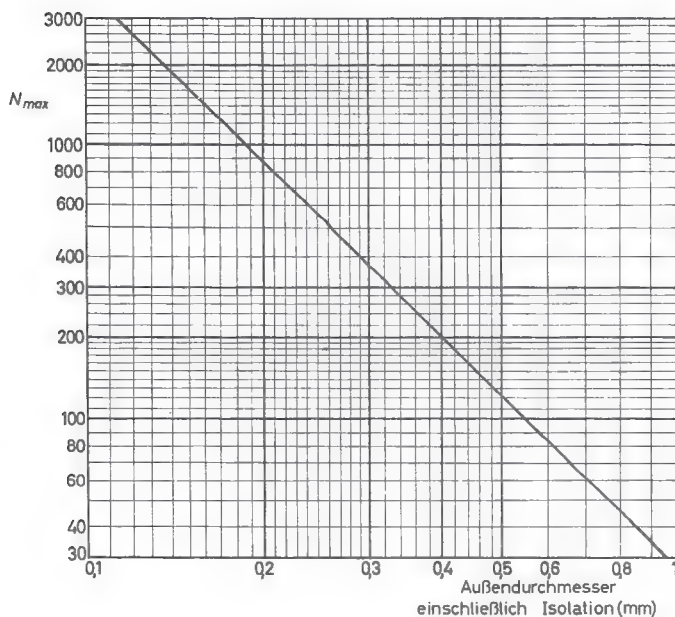
## Wickeldaten



Spulenkörper VA 900 23



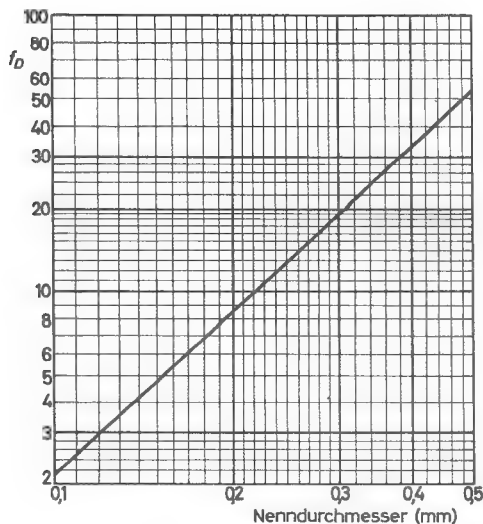
|                                     |                      |
|-------------------------------------|----------------------|
| Werkstoff                           | Makrolon S           |
| Temperaturbereich                   | -50 bis +120 °C      |
| Wickelquerschnitt W                 | 0,36 cm <sup>2</sup> |
| Mittl. Windungslänge l <sub>w</sub> | 4,6 cm               |



Maximale Windungszahl als Funktion des Draht-Außendurchmessers



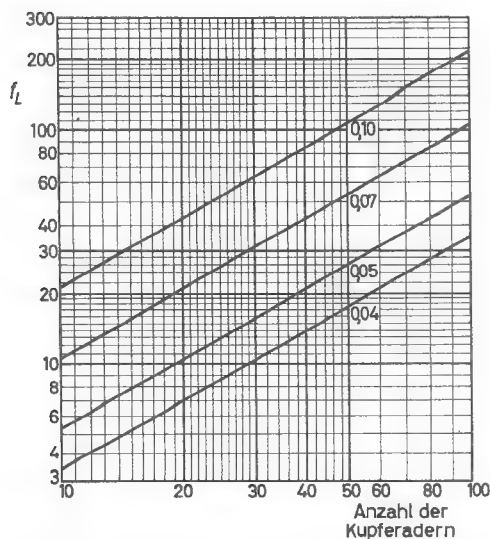
Kupferfüllfaktor  $f_{Cu}$



Kupfer-Runddraht

$$f_{Cu} = 10^{-4} \cdot f_D \cdot N_{max}$$

Zusammenhang zwischen „Nenn-  
durchmesser“ und „Außendurch-  
messer einschließlich  
Isolation“,  
s. Allgemeines, Drahttabelle



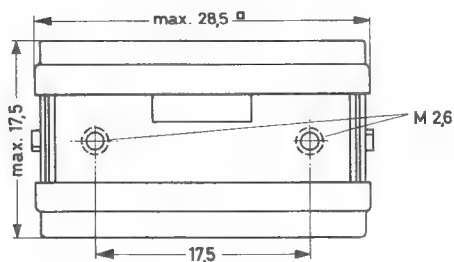
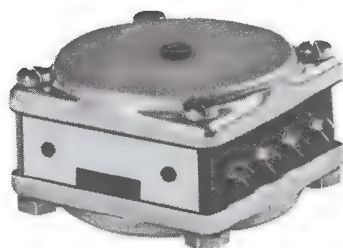
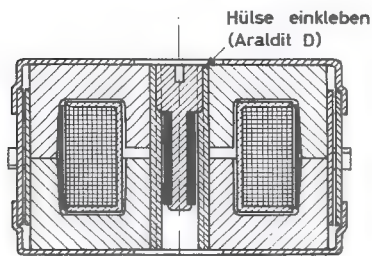
HF-Litze

$$f_{Cu} = 10^{-4} \cdot f_L \cdot N_{max}$$

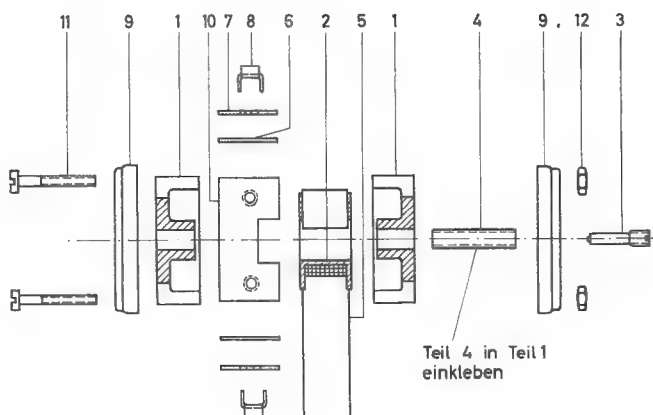
Zusammenhang zwischen „Anzahl  
der Kupferadern“ und „Außen-  
durchmesser einschließlich  
Isolation“,  
s. Allgemeines, Drahttabelle

# S-Schalenkern S 25/16

Halterung; Zubehörteile



Kleinste Induktivität bei  
nach unten durchgedrehtem  
Abgleichstift

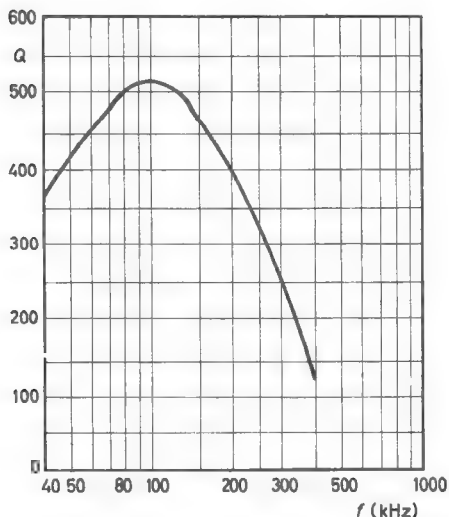


Zusammenstellung aller Zubehörteile



| Teil | Typ          | Bezeichnung        | Werkstoff      | Stück pro Spule | Bemerkungen   |
|------|--------------|--------------------|----------------|-----------------|---|
| 1    | s. Kerntypen | Schalenkern        | FXC 3          | 2               | einzeln<br>lieferbar                                  |
| 2    | VA 900 23    | Spulenkörper       | Makrolon S     | 1               |   |
| 3    | P5 056 01    | Abgleichstift M4li | Polyamid       | 1               | Teil<br>5 bis 12<br>nur ge-<br>schlossen<br>lieferbar |
| 4    | P5 055 12    | Gew. Hülse M4 li.  | Polyamid       | 1               |   |
| 5    | NK 732 54    | Isolierstreifen    | Preßspan       | 1               |   |
| 6    | NK 727 27    | Isolierplatte      | Hartpapier     | 2               |   |
| 7    | NK 727 26    | Anschlußplatte     | Hartpapier     | 2               |   |
| 8    | NF 384 45    | Lötanschluß        | Ms, verzinkt   | 4 (8)           |   |
| 9    | B1 089 17    | Halterungsdeckel   | St, vernickelt | 2               |   |
| 10   | NK 576 56    | Montageplatte      | St, cadmiert   | 1               |   |
| 11   | B054ED/2x15  | M2 x 15 DIN 84     | St, vernickelt | 4               |   |
| 12   | B 020 ED/2   | Mutter M2 DIN 934  | Ms, vernickelt | 4               |   |

Spulengüte (Beispiel) in Abhängigkeit von der Frequenz



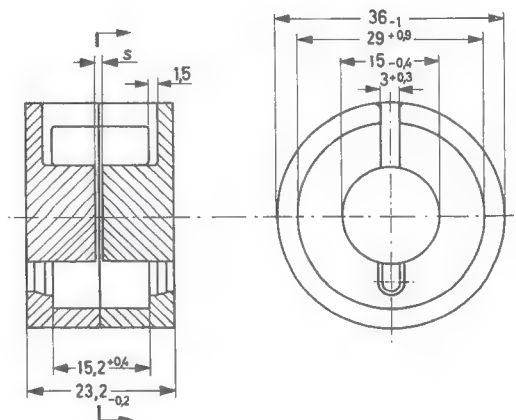
FXC 3B3

Luftspalt s ca. 0,47 mm

$\mu_e = 60$

L = 3,2 mH, 130 Wdgn

20 x 0,07 CuLS



### Technische Daten

Vorabgeglichene Schalenkernsätze

| Typ       | FXC<br>Sorte | $\mu_e$         | $\alpha$<br>$mH^{-1/2}$ | $A_L$<br>nH | Luftspalt<br>s (mm)<br>Richtwert |                                   |
|-----------|--------------|-----------------|-------------------------|-------------|----------------------------------|-----------------------------------|
| K3 001 04 | 3B5          | 200 $\pm 3$ %   | 32                      | 977         | 0,18                             | keine<br>Abgleichmög-<br>lichkeit |
| K3 001 02 | 3B5          | 125 $\pm 2$ %   | 41                      | 595         | 0,33                             |                                   |
| K3 001 01 | 3B5          | 100 $\pm 1,5$ % | 46                      | 473         | 0,45                             |                                   |

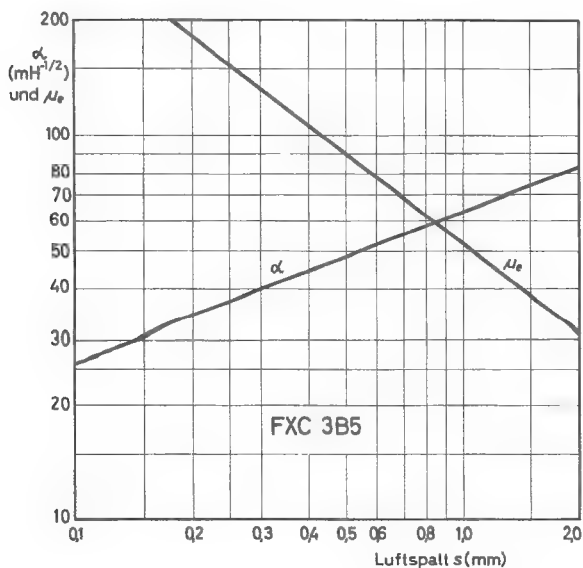
Einzelne Schalenkernhälften

| Typ       | FXC<br>Sorte | Luftspalt<br>s (mm) | $A_L$ (pro Paar)<br>nH | $\mu_e$<br>Richtwerte | $\alpha$<br>Richtwerte |   |
|-----------|--------------|---------------------|------------------------|-----------------------|------------------------|---|
| K5 350 20 | 3B5          | ohne                | 6400                   | 1350                  | 12,5                   | Abweichungen<br>von 30 % sind<br>bei $A_L$ möglich<br>$\alpha = N/\sqrt{L}$<br>beachten |
| K5 350 21 | 3E1          | ohne                | 10600                  | 2250                  | 9,7                    |   |





|                          |   |
|--------------------------|---|
| Kernkonstante            | $\sum \frac{1}{A} = 2,54 \text{ cm}^{-1}$ |
| Hysteresevolumen         | $V_e = 11,3 \text{ cm}^3$                 |
| Mittl. Magnetweglänge    | $l_e = 5,36 \text{ cm}$                   |
| Mittl. magn. Querschnitt | $A_e = 2,1 \text{ cm}^2$                  |
| Meßdruck                 | 40 kg                                     |
| Gewicht (pro Satz)       | 70 g                                      |



$\mu_e$  und  $\alpha$  als Funktion der Luftspaltlänge

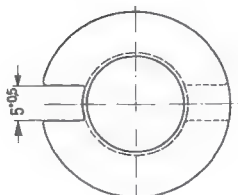
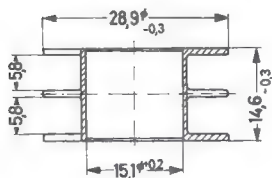
# S-Schalenkern S 35/23

## Wickeldaten



Spulenkörper VA 900 28

zwei Kammern



Werkstoff

Preßstoff

Typ 31.5 DIN 7708

Temperaturbereich

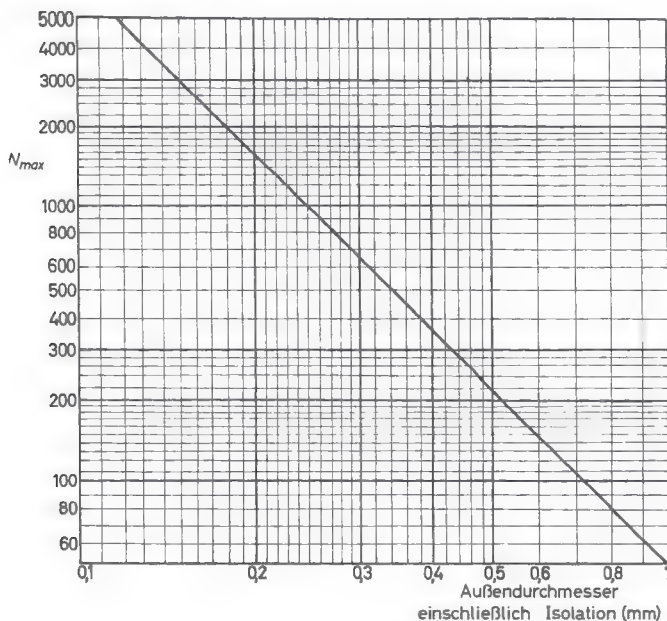
-50 bis +140 °C

Wickelquerschnitt W

0,71 cm<sup>2</sup>

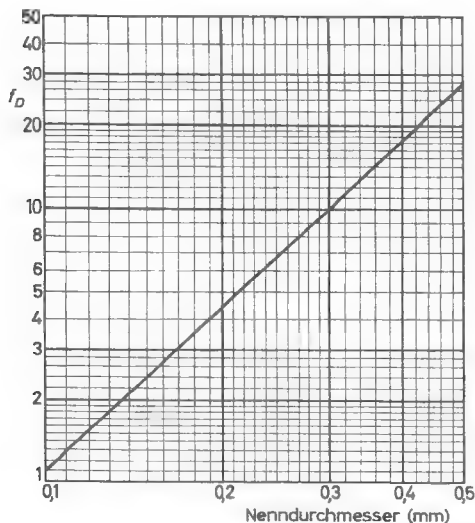
Mittl. Windungslänge l<sub>w</sub>

6,7 cm



Maximale Windungszahl als Funktion des Draht-Außendurchmessers

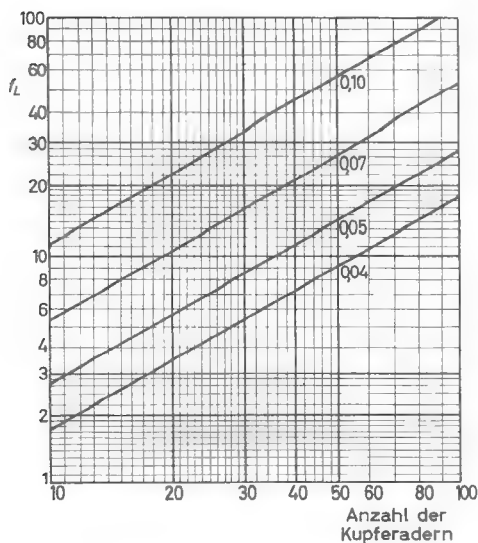
Kupferfüllfaktor  $f_{Cu}$



Kupfer-Runddraht

$$f_{Cu} = 10^{-4} \cdot f_D \cdot N_{max}$$

Zusammenhang zwischen „Nenn-  
durchmesser“ und „Außendurch-  
messer einschließlich  
Isolation“,  
s. Allgemeines, Drahttabelle



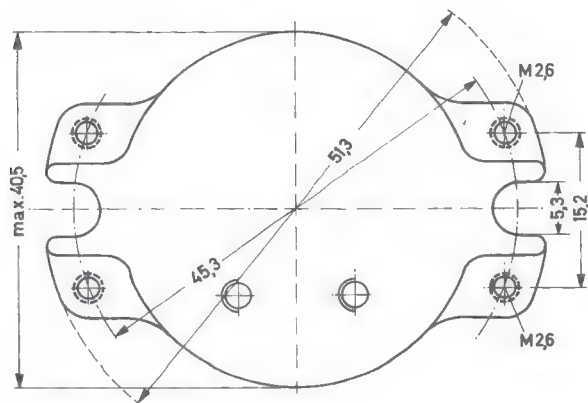
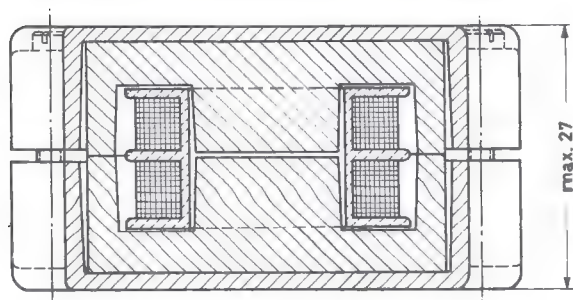
HF-Litze

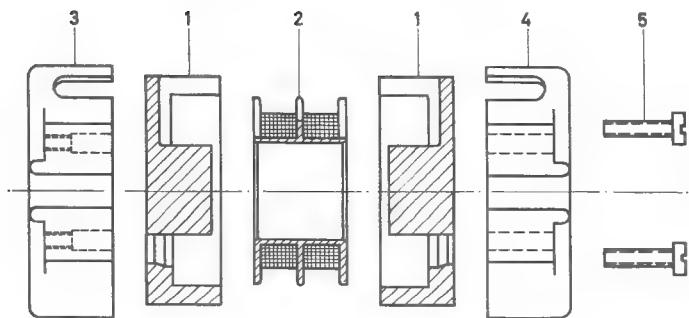
$$f_{Cu} = 10^{-4} \cdot f_L \cdot N_{max}$$

Zusammenhang zwischen „Anzahl  
der Kupferadern“ und „Außen-  
durchmesser einschließlich  
Isolation“,  
s. Allgemeines, Drahttabelle

# S-Schalenkern S 35/23

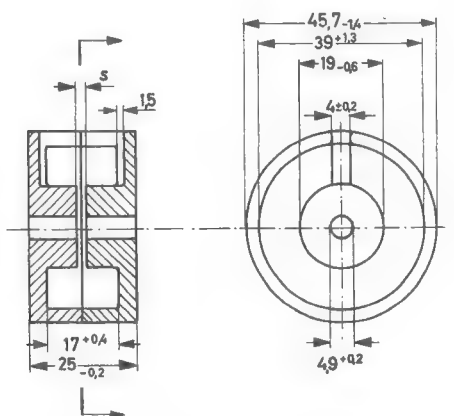
Halterung





Zusammenstellung aller Zubehörteile

| Teil | Typ            | Bezeichnung                  | Werkstoff                   | Stück pro Spule | Bemerkungen         |
|------|----------------|------------------------------|-----------------------------|-----------------|---------------------|
| 1    | s. Kerntypen   | Schalenkern                  | FXC 3                       | 2               | } einzeln lieferbar |
| 2    | VA 900 28      | Spulenkörper                 | Preßstoff Typ 31.5 DIN 7708 | 1               |                     |
| 3    | B1 088 32      | Halterungsdeckel             | Spritzguß                   | 1               |                     |
| 4    | B1 088 33      | Halterungsdeckel             | AL Si 13                    | 1               |                     |
| 5    | B054ED/2, 6x20 | Schraube<br>M2,6 x 20 DIN 84 | St, vernickelt              | 4               |                     |



Für diesen Schalenkern sind keine Halterungen lieferbar

### Technische Daten

#### Vorabgeglichener Schalenkernsatz

| Typ       | FXC<br>Sorte | $\mu_e$       | $\alpha$<br>$\text{mH}^{-1/2}$ | $A_L$<br>nH | Luftspalt<br>s (mm)<br>Richtwert |  |
|-----------|--------------|---------------|--------------------------------|-------------|----------------------------------|--|
| K3 001 23 | 3B5          | 160 $\pm 2$ % | 33                             | 918         | 0,35                             | keine<br>Abgleichein-<br>richtung<br>lieferbar |

#### Einzelne Schalenkernhälften

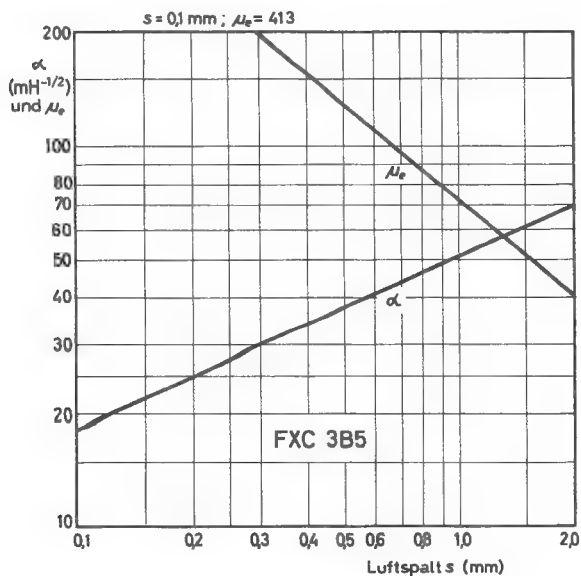
| Typ       | FXC<br>Sorte | Luftspalt<br>s (mm) | $A_L$ (pro Paar)<br>nH | $\mu_e$ | $\alpha$<br>Richtwerte |   |
|-----------|--------------|---------------------|------------------------|---------|------------------------|---|
| K5 350 55 | 3B5          | ohne                | 7600                   | 1330    | 11,5                   | Abweichungen<br>von 30 % sind<br>bei $A_L$ möglich<br>$\alpha = N/\sqrt{L}$<br>beachten |



# S-Schalenkern S 45/25

magnetische Daten

|                          |   |
|--------------------------|---|
| Kernkonstante            | $\sum \frac{1}{A} = 2,23 \text{ cm}^{-1}$ |
| Hysteresevolumen         | $V_e = 19,0 \text{ cm}^3$                 |
| Mittl. Magnetweglänge    | $l_e = 6,5 \text{ cm}$                    |
| Mittl. magn. Querschnitt | $A_e = 2,9 \text{ cm}^2$                  |
| Meßdruck                 | 45 kg                                     |
| Gewicht (pro Satz)       | 105 g                                     |



$\mu_e$  und  $\alpha$  als Funktion der Luftspaltlänge

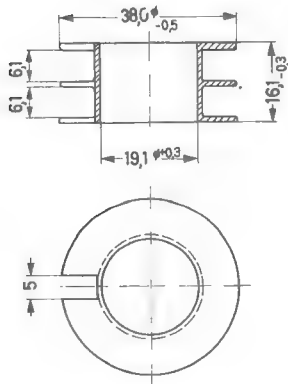
# S-Schalenkern S 45/25

## Wickeldaten



Spulenkörper VA 900 29

zwei Kammern



Werkstoff

Preßstoff

Typ 31 DIN 7708

Temperaturbereich

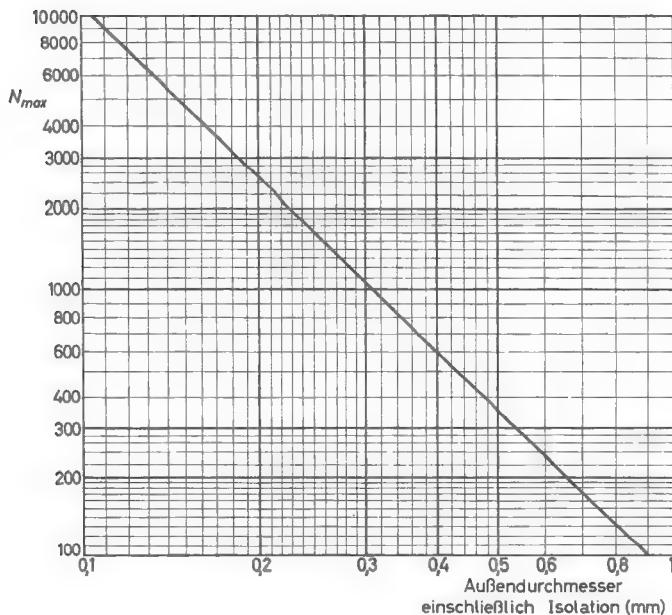
-50 bis +140 °C

Wickelquerschnitt W

1,05 cm<sup>2</sup>

Mittl. Windungslänge l<sub>w</sub>

9,1 cm

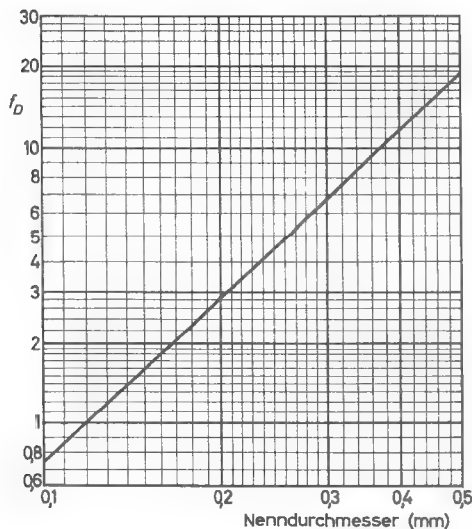


Maximale Windungszahl als Funktion des Draht-Außendurchmessers





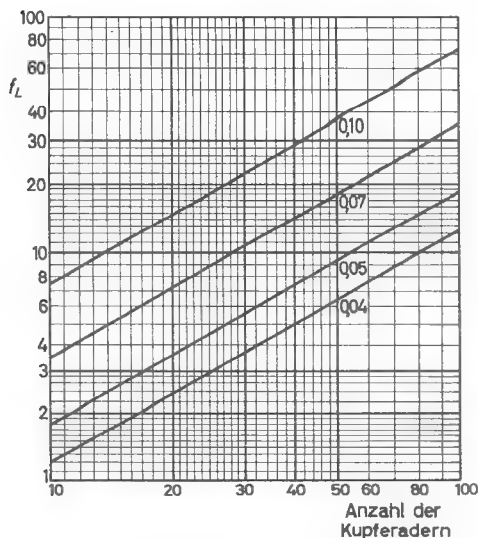
Kupferfüllfaktor  $f_{Cu}$



Kupfer-Runddraht

$$f_{Cu} = 10^{-4} \cdot f_D \cdot N_{max}$$

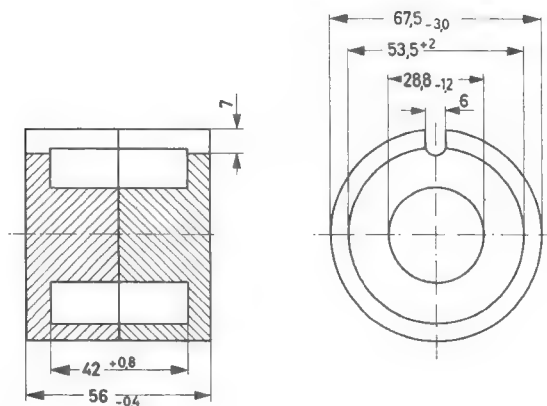
Zusammenhang zwischen „Nenn-  
durchmesser“ und „Außendurch-  
messer einschließlich  
Isolation“,  
s. Allgemeines, Drahttabelle



HF-Litze

$$f_{Cu} = 10^{-4} \cdot f_L \cdot N_{max}$$

Zusammenhang zwischen „Anzahl  
der Kupferadern“ und „Außen-  
durchmesser einschließlich  
Isolation“,  
s. Allgemeines, Drahttabelle



Für diesen Schalenkern sind keine Halterungen lieferbar

### Technische Daten

Vorabgeglichener Schalenkernsatz

| Typ       | Ausführung          | $A_L$<br>nH    | FXC<br>Sorte | $\mu_e$<br>Richtwert |                      |
|-----------|---------------------|----------------|--------------|----------------------|----------------------|
| K3 019 95 | S 66/56-3E1-AL 3000 | 3000 $\pm$ 5 % | 3E1          | 400                  | nicht<br>abgleichbar |

Einzelne Schalenkernhälften

| Typ       | FXC<br>Sorte | $A_L$ (pro Paar)<br>nH | $\mu_e$<br>Richtwert |   |
|-----------|--------------|------------------------|----------------------|---|
| K5 350 11 | 3E1          | 19700                  | 2630                 | Abweichungen<br>von 30 % sind<br>bei $A_L$ möglich<br>$\alpha = N/\sqrt{L}$<br>beachten |

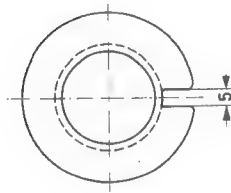
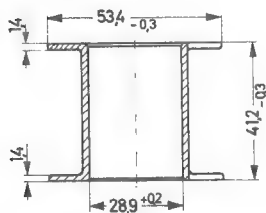


# S-Schalenkern S 66/56

magnetische Daten

|                          |   |
|--------------------------|---|
| Kernkonstante            | $\sum \frac{1}{A} = 1,68 \text{ cm}^{-1}$ |
| Hysteresevolumen         | $V_e = 92,4 \text{ cm}^3$                 |
| Mittl. Magnetweglänge    | $l_e = 12,5 \text{ cm}$                   |
| Mittl. magn. Querschnitt | $A_e = 7,4 \text{ cm}^2$                  |
| Meßdruck                 | 140 kg                                    |
| Gewicht (pro Satz)       | 565 g                                     |

Spulenkörper P4 564 71



Werkstoff

Preßstoff K 026,  
ähnlich Typ 31.5  
DIN 7708

Temperaturbereich

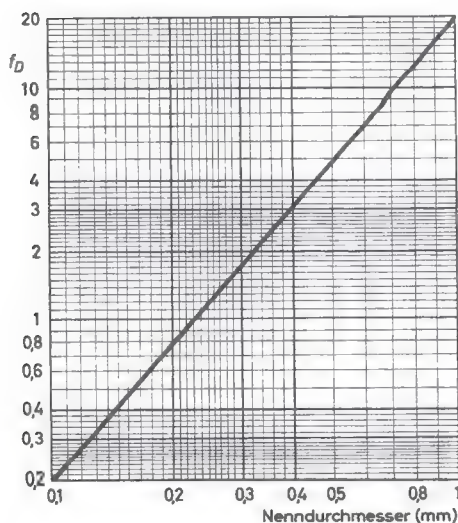
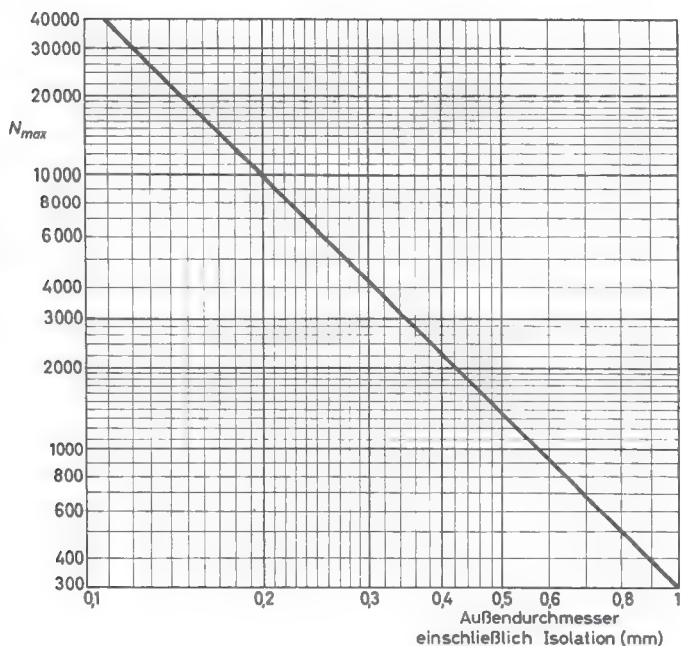
-50 bis +140 °C

Wickelquerschnitt W

4,0 cm<sup>2</sup>

Mittl. Windungslänge  $l_w$

13,2 cm





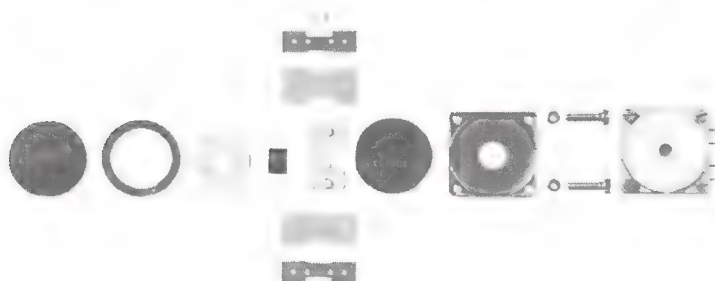
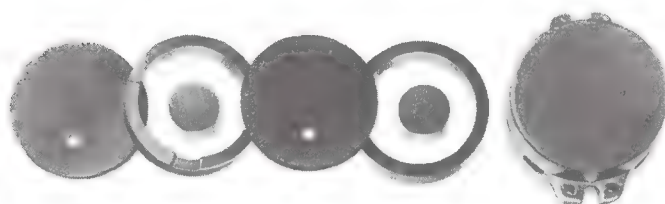
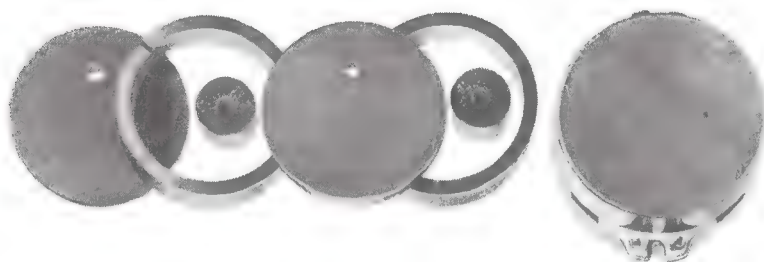
Topfkerne der D-Reihe bestehen aus Ringkernen, Mittelkernen und Deckplatten. Um ein Verschieben des Mittelkernes in der fertigen Topfkernspule zu vermeiden, ist es erforderlich, den Mittelkern auf eine der Platten zentrisch aufzukleben. Bei Gesamtluftspalt über ca. 1 mm ist zur Erreichung einer hohen Spulengüte und zur Symmetrierung der Luftspalt symmetrisch anzuordnen. Dazu wird der Mittelkern mit einer Isolierplatte als Zwischenlage auf eine der Ferroxcube-Platten aufgeklebt. Die beiden Seiten der Topfkernplatten sind verschieden geschliffen. Bei der Montage ist zu beachten, daß die mit dem Stempel versehene Seite, die den weniger guten Schliff aufweist, stets außen liegt.

Bei den Topfkernen D 25/12, D 25/16, D 36/22 N und D 45/39 ist eine Induktivitätsabgleich mittels Kunststoffstreifen möglich. Diese Streifen tragen eine FXC-Schicht steigender Dicke und werden durch den Luftspalt gezogen. Um die Streifen in den zusammengebauten Topfkern einlegen zu können, ist bei der Montage zu beachten, daß die Schlitz in den Halterungsdeckeln mit den Nuten im Topfkernring und im Spulenkörper in einer Richtung liegen. Bei einer evtl. Imprägnierung der Topfkerne ist in diese Nut ein Messingstreifen entsprechend den Abmessungen der Kunststoffstreifen einzulegen. Kurz vor der Erstarrung des Imprägniermittels muß der Messingstreifen entfernt werden.

Die Spulenkörper aus Hostaform C können mit „Pattex“ auf den Boden einer Topfkernplatte geklebt werden.

Für Neuentwicklungen sind tunlichst keine Topfkerne, sondern stets Schalenkerne, möglichst Schalenkerne der P-Reihe, vorzusehen. Falls Topfkerne aus einem bestimmten Grund erforderlich sind, bitten wir möglichst eine der vorabgeglichenen Ausführungen des Typs D 25/16 oder D 36/22 N zu wählen. Bei den vorabgeglichenen Ausführungen wird eine enge Induktivitätstoleranz (bzw.  $\mu_e$ -Toleranz) garantiert. Die angegebenen  $A_L$ - bzw.  $\alpha$ -Werte gelten ebenso wie die Toleranz von  $\mu_e$  nur für vollgewickelte Spulen.

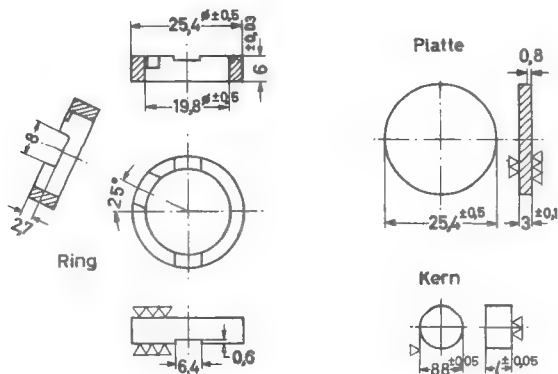
Die nicht vorabgeglichenen Topfkerne werden einzeln in ihren Teilen geliefert. Die Größe des Luftspaltes ist bei dieser Ausführung durch Verkürzen des Mittelkernes festgelegt. Hierbei ist die Toleranz in der Höhe des Topfkernringes und des Mittelkernes zu beachten. Garantien für die Einhaltung einer bestimmten Induktivitätstoleranz können bei Topfkernen, die in Einzelteilen bezogen werden, nicht gegeben werden.





## D-Topfkern D 25/12

### Kerntypen



Dieser Topfkern ist nicht in vorabgeglichener Ausführung lieferbar.

Die bestimmende Größe ist die Kernlänge  $l$  bzw. der Luftspalt  $s$

#### Technische Daten

Nicht vorabgeglichene Topfkernsätze

| Typ              | FXC<br>Sorte | Luft-<br>spalt<br>$s$ (mm) | Kern-<br>länge<br>$l$ (mm) | $A_L$<br>nH | $\mu_e$ | $\alpha$<br>$\frac{1}{mH} - 1/2$<br>Richtwerte | Abgleichstreifen<br>+)<br>Typ Kennf. |      |
|------------------|--------------|----------------------------|----------------------------|-------------|---------|--|--------------------------------------|------|
| D 25/12-6,00-3B2 | 3B2          | 0                          | 6,00                       |             |         |  |                                      |      |
| D 25/12-5,85-3B2 | 3B2          | 0,15                       | 5,85                       | 495         | 125     | 45   |                                      |      |
| D 25/12-5,65-3B2 | 3B2          | 0,35                       | 5,65                       | 238         | 60      | 65   | NK 307 89                            | grün |
| D 25/12-5,40-3B2 | 3B2          | 0,60                       | 5,40                       | 152         | 38      | 81   | NK 307 89                            | grün |
| D 25/12-4,75-3B3 | 3B3          | 1,25                       | 4,75                       | 88,5        | 21      | 107  | NK 307 88                            | rot  |

#### Einzelne Topfkernteile

| Artikel   | Typ                        | FXC-Sorte | für Luftspalt $s$ (mm) |
|-----------|----------------------------|-----------|------------------------|
| Platte    | 56 500 52/3B2 (=VK 249 02) | 3B2       |                        |
| Ring      | 56 590 23/3B2 (=VK 249 10) | 3B2       |                        |
| Kern 5,85 | 56 630 29/3B2 (=VK 249 51) | 3B2       | 0,15                   |
| Kern 5,65 | 56 630 25/3B2 (=VK 249 52) | 3B2       | 0,35                   |
| Kern 5,4  | 56 630 28/3B2 (=VK 249 53) | 3B2       | 0,60                   |
| Platte    | 56 500 52/3B3 (=VK 249 03) | 3B3       |                        |
| Ring      | 56 590 23/3B3 (=VK 249 12) | 3B3       |                        |
| Kern 4,75 | 56 630 24/3B3 (=VK 249 60) | 3B3       | 1,25                   |

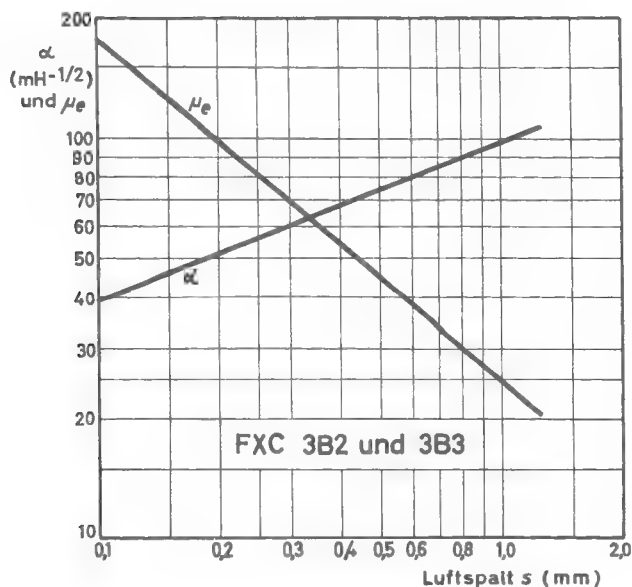
+) Siehe Abschnitt Abgleichstreifen für Topfkern

# D-Topfkern D 25/12

magnetische Daten



|                              |  |
|------------------------------|--|
| Magn. Formkonstante          | $\sum \frac{1}{A} = 3,2 \text{ cm}^{-1}$ |
| Hysteresevolumen             | $V_e = 2,35 \text{ cm}^3$                |
| Mittl. magn. Weglänge        | $l_e = 2,75 \text{ cm}$                  |
| Mittl. magn. Kernquerschnitt | $A_e = 0,85 \text{ cm}^2$                |
| Meßdruck                     | 18 kg                                    |
| Gewicht (pro Satz)           | 22 g                                     |



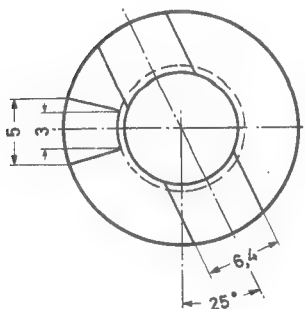
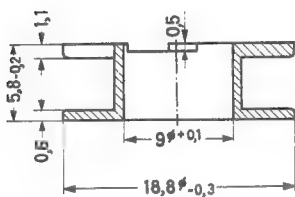
$\mu_e$  und  $\alpha$  als Funktion der Luftspaltlänge





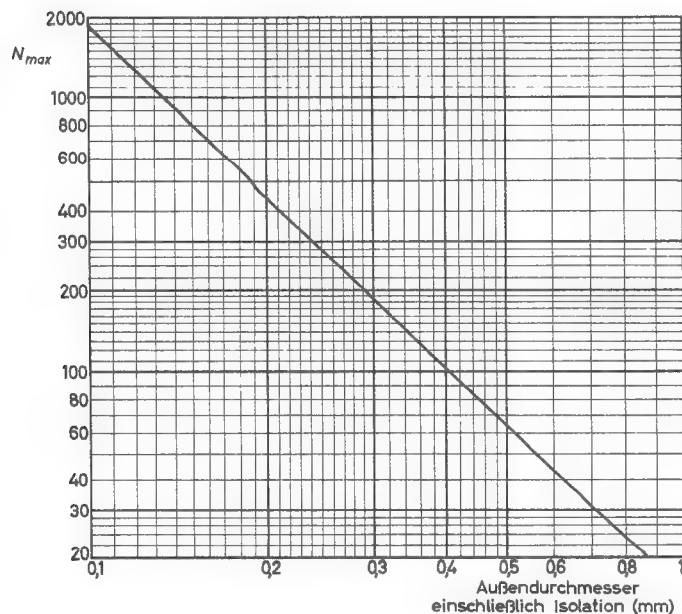
# D-Topfkern D 25/12

## Wickeldaten



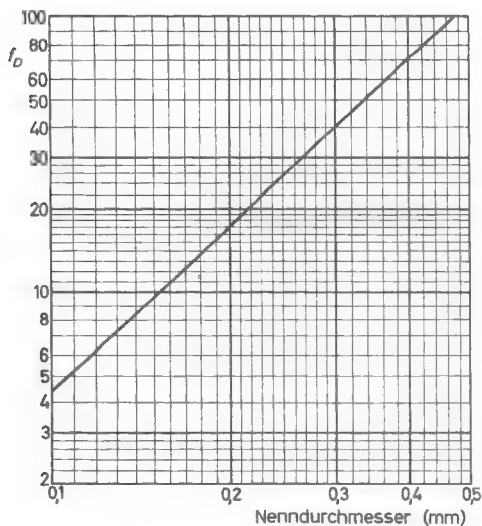
Spulenkörper VA 900 08

|                                     |                      |
|-------------------------------------|----------------------|
| Werkstoff                           | Hostaform C          |
| Temperaturbereich                   | -40 bis +100 °C      |
| Wickelquerschnitt W                 | 0,17 cm <sup>2</sup> |
| Mittl. Windungslänge l <sub>w</sub> | 4,5 cm               |



Maximale Windungszahl als Funktion des Draht-Außendurchmessers

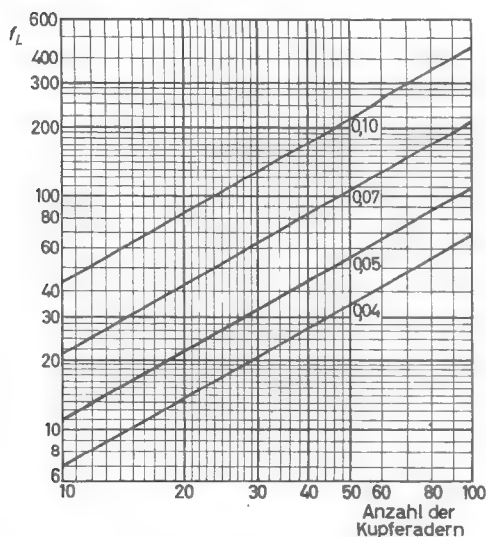
Kupferfüllfaktor  $f_{Cu}$



Kupfer-Runddraht

$$f_{Cu} = 10^{-4} \cdot f_D \cdot N_{max}$$

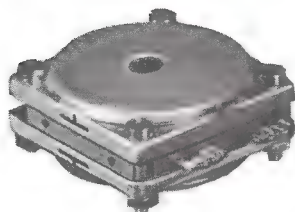
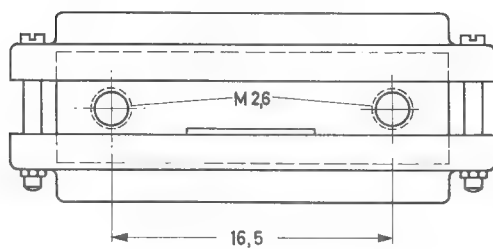
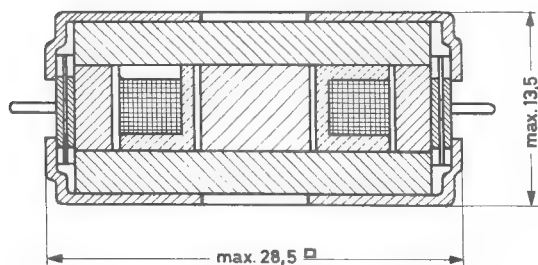
Zusammenhang zwischen „Nenn-  
durchmesser“ und „Außendurch-  
messer einschließlich  
Isolation“,  
s. Allgemeines, Drahttabelle



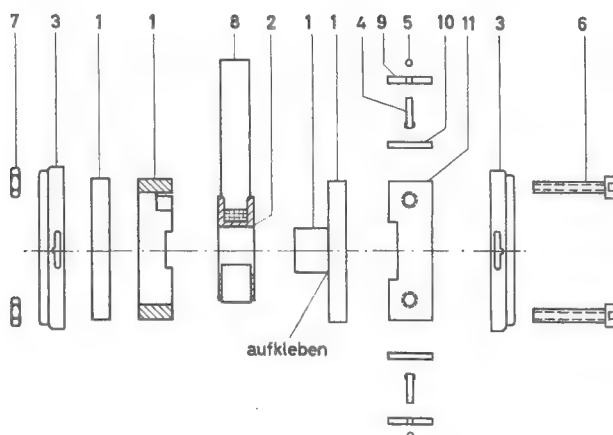
HF-Litze

$$f_{Cu} = 10^{-4} \cdot f_L \cdot N_{max}$$

Zusammenhang zwischen „Anzahl  
der Kupferadern“ und „Außen-  
durchmesser einschließlich  
Isolation“,  
s. Allgemeines, Drahttabelle



Aufbau des montierten Topfkernes



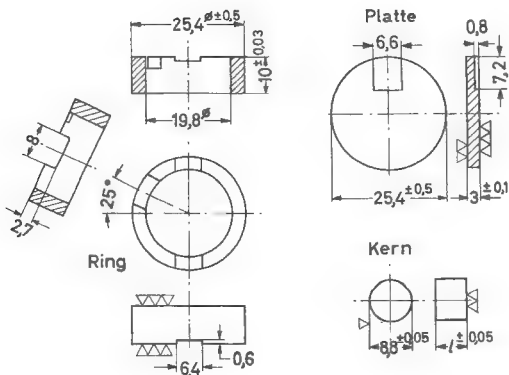
Zusammenstellung aller Zubehörteile

| Teil | Typ           | Bezeichnung                | Werkstoff      | Stück pro Topfkern-Spule | Bemerkungen   |
|------|---------------|----------------------------|----------------|--------------------------|---|
| 1    | s. Kerntypen  | Topfkern                   | FXC 3B         | 4                        | einzel<br>lieferbar                                   |
| 2    | VA 900 08     | Spulenkörper               | Hostaform C    | 1                        |   |
| 3    | B1 089 17     | Halterungsdeckel           | St, vernickelt | 2                        | Teil<br>3 bis 11<br>nur ge-<br>schlossen<br>lieferbar |
| 4    | NK 300 99     | Lötbügel                   | Cu, verzinkt   | 4                        |   |
| 5    | NK 298 97     | Lötfeder                   | Cu, verzinkt   | 4                        |   |
| 6    | B 054 ED/2x12 | Schraube M2 x 12<br>DIN 84 | St, vernickelt | 4                        |   |
| 7    | B 020 ED/2    | Mutter M2 DIN 934          | Ms, vernickelt | 4                        |   |
| 8    | NK 732 55     | Isolierstreifen            | Preßspan       | 1                        |   |
| 9    | NK 727 51     | Isolierplatte              | Hartpapier     | 2                        |   |
| 10   | NK 727 50     | Isolierplatte              | Hartpapier     | 2                        |   |
| 11   | NG 296 46     | Montageplatte              | St, cadmiert   | 1                        |   |



# D-Topfkern D 25/16

Kerntypen



## Technische Daten

### Vorabgeglichene Topfkernsätze

Die bestimmende Größe ist die effektive Permeabilität  $\mu_e$

| Typ       | FXC<br>Sorte | $\mu_e$         | $\alpha$<br>$\text{mH}^{-1/2}$ | $A_L$<br>nH | Luftspalt<br>s (mm)<br>Richtwert | Abgleichstreifen<br>+)<br>Typ | Kennf. |
|-----------|--------------|-----------------|--------------------------------|-------------|----------------------------------|-------------------------------|--------|
| K3 000 01 | 3B2          | $115 \pm 2,5$ % | 53                             | 356         | 0,15                             |                               |        |
| K3 000 02 | 3B2          | $83 \pm 2,5$ %  | 62                             | 260         | 0,25                             |                               |        |
| K3 000 05 | 3B2          | $60 \pm 1,5$ %  | 72                             | 193         | 0,45                             | NK 307 89                     | grün   |
| K3 000 06 | 3B2          | $35 \pm 1,5$ %  | 96                             | 108,5       | 0,85                             | NK 307 89                     | grün   |
| K3 000 28 | 3B3          | $19 \pm 1,5$ %  | 126,6                          | 62,4        | 1,8                              | NK 307 88                     | rot    |

### Nicht vorabgeglichene Topfkernsätze

Die bestimmende Größe ist die Kernlänge l bzw. der Luftspalt s

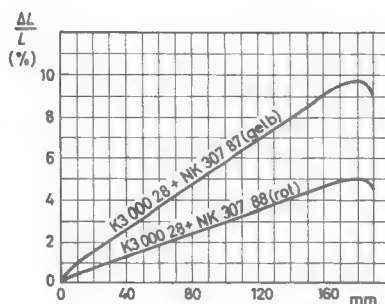
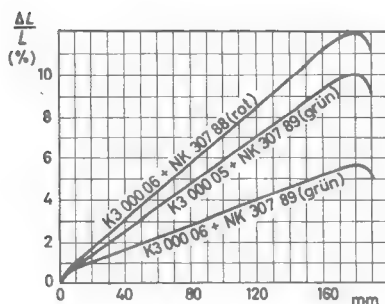
| Typ              | FXC<br>Sorte | Luftspalt<br>s (mm) | Kernlänge<br>l (mm) | $\mu_e$ | $\alpha$<br>$\text{mH}^{-1/2}$<br>Richtwerte | Abgleichstreifen<br>+)<br>Typ | Kennf. |
|------------------|--------------|---------------------|---------------------|---------|--|-------------------------------|--------|
| D 25/16-10,0-3B2 | 3B2          | 0                   | 10,0                |         |  |                               |        |
| D 25/16-9,85-3B2 | 3B2          | 0,15                | 9,85                | 140     | 48   |                               |        |
| D 25/16-9,75-3B2 | 3B2          | 0,25                | 9,75                | 95      | 57   |                               |        |
| D 25/16-9,55-3B2 | 3B2          | 0,45                | 9,55                | 62      | 72   | NK 307 89                     | grün   |
| D 25/16-9,15-3B2 | 3B2          | 0,85                | 9,15                | 36      | 93   | NK 307 89                     | grün   |
| D 25/16-9,55-3B3 | 3B3          | 0,45                | 9,55                | 62      | 72   | NK 307 89                     | grün   |
| D 25/16-8,20-3B3 | 3B3          | 1,8                 | 8,20                | 20      | 122  | NK 307 88                     | rot    |

+ ) Siehe folgende Seite und Abschnitt Abgleichstreifen für Topfkerne



### Einzelne Topfkernteile

| Artikel   | Typ                        | FXC-Sorte | für Luftspalt s (mm) |
|-----------|----------------------------|-----------|----------------------|
| Platte    | 56 490 48/3B2 (=VK 249 00) | 3B2       |                      |
| Ring      | 56 590 24/3B2 (=VK 249 11) | 3B2       |                      |
| Kern 10,0 | 56 680 56/3B2 (=VK 249 30) | 3B2       | 0                    |
| Kern 9,85 | 56 710 83/3B2 (=VK 249 31) | 3B2       | 0,15                 |
| Kern 9,75 | 56 710 98/3B2 (=VK 249 32) | 3B2       | 0,25                 |
| Kern 9,55 | 56 710 97/3B2 (=VK 249 33) | 3B2       | 0,45                 |
| Kern 9,15 | 56 710 82/3B2 (=VK 249 34) | 3B2       | 0,85                 |
| Platte    | 56 490 48/3B3 (=VK 249 01) | 3B3       |                      |
| Ring      | 56 590 24/3B3 (=VK 249 13) | 3B3       |                      |
| Kern 9,55 | 56 710 97/3B3 (=VK 249 43) | 3B3       | 0,45                 |
| Kern 8,2  | 56 630 26/3B3 (=VK 249 45) | 3B3       | 1,8                  |



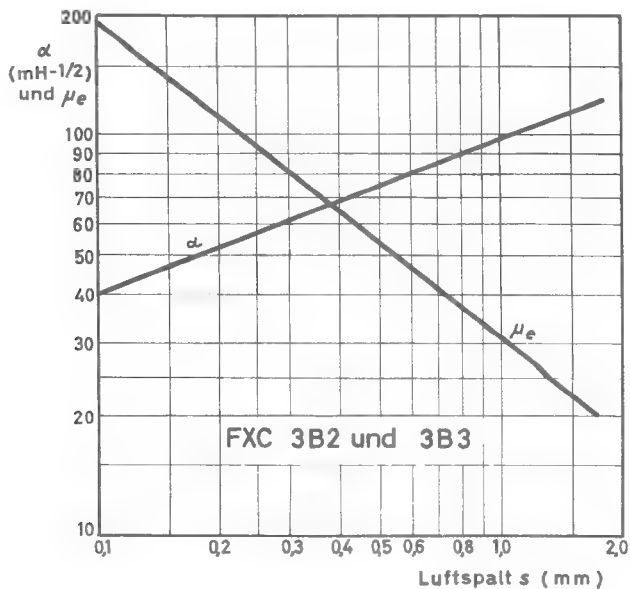
Abgleichkurven D 25/16



# D-Topfkern D 25/16

magnetische Daten

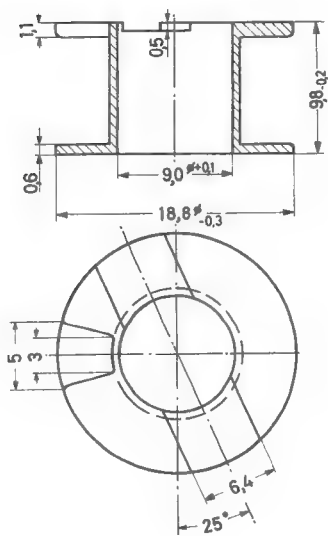
|                          |                           |                  |
|--------------------------|---------------------------|------------------|
| Magn. Formkonstante      | $\sum \frac{1}{A} = 4,05$ | $\text{cm}^{-1}$ |
| Hysteresevolumen         | $V_e = 2,75$              | $\text{cm}^3$    |
| Mittl. magn. Weglänge    | $l_e = 3,3$               | $\text{cm}$      |
| Mittl. magn. Querschnitt | $A_e = 0,83$              | $\text{cm}^2$    |
| Meßdruck                 | 18                        | kg               |
| Gewicht (pro Satz)       | 25                        | g                |



$\mu_e$  und  $\alpha$  als Funktion der Luftspaltlänge

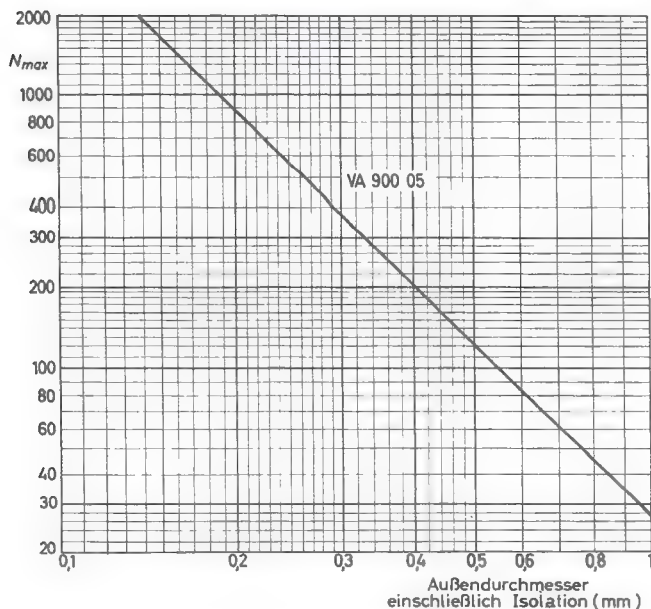
# D-Topfkern D 25/16

## Wickeldaten



Spulenkörper VA 900 05

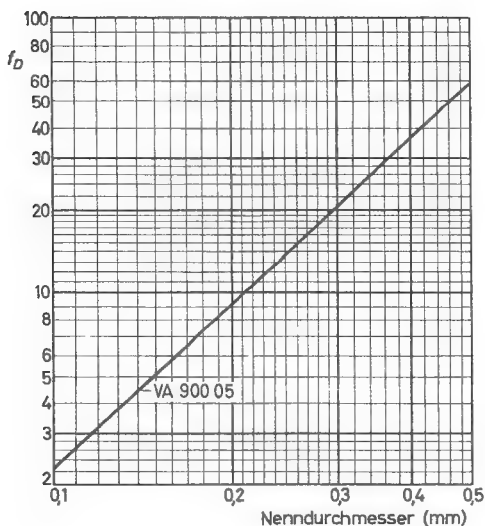
|                                     |                      |
|-------------------------------------|----------------------|
| Werkstoff                           | Hostaform C          |
| Temperaturbereich                   | -40 bis +100 °C      |
| Wickelquerschnitt W                 | 0,35 cm <sup>2</sup> |
| Mittl. Windungslänge l <sub>w</sub> | 4,5 cm               |







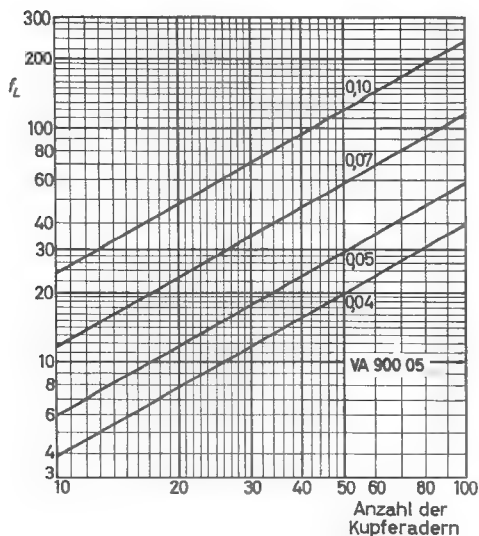
Kupferfüllfaktor  $f_{Cu}$



Kupfer-Runddraht

$$f_{Cu} = 10^{-4} \cdot f_D \cdot N_{max}$$

Zusammenhang zwischen „Nenn-  
durchmesser“ und „Außendurch-  
messer einschließlich  
Isolation“,  
s. Allgemeines, Drahttabelle



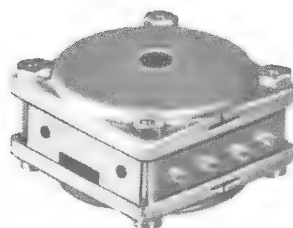
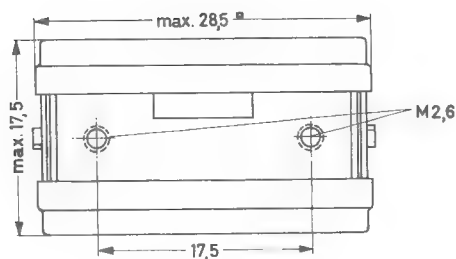
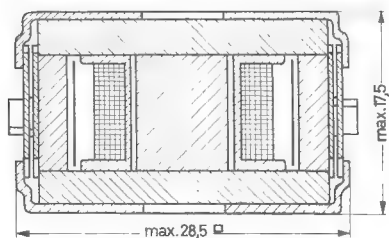
HF-Litze

$$f_{Cu} = 10^{-4} \cdot f_L \cdot N_{max}$$

Zusammenhang zwischen „Anzahl  
der Kupferadern“ und „Außen-  
durchmesser einschließlich  
Isolation“,  
s. Allgemeines, Drahttabelle

# D-Topfkern D 25/16

## Halterung

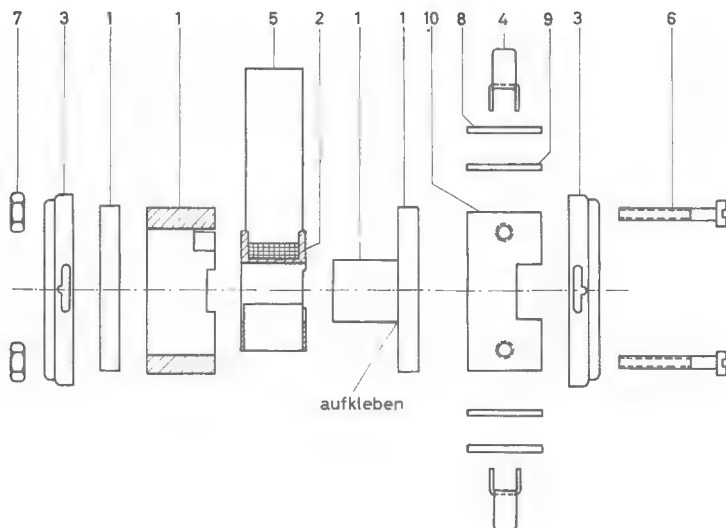


Aufbau des montierten Topfkernes



# D-Topfkern D 25/16

## Zubehörteile

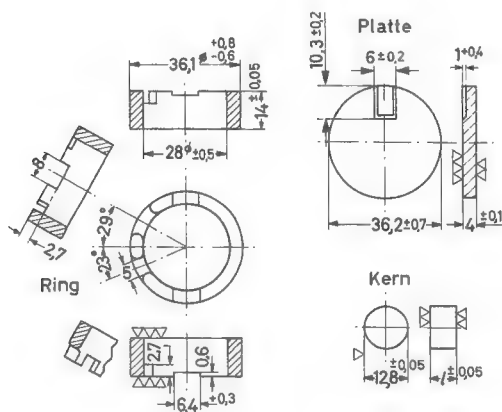


### Zusammenstellung aller Zubehörteile

| Teil | Typ           | Bezeichnung                | Werkstoff      | Stück pro Topfkern-Spule | Bemerkungen   |
|------|---------------|----------------------------|----------------|--------------------------|---|
| 1    | s. Kerntypen  | Topfkern                   | FXC 3B         | 4                        | einzel<br>lieferbar                                   |
| 2    | VA 900 05     | Spulenkörper               | Hostaform C    | 1                        |   |
| 3    | B1 089 17     | Halterungsdeckel           | St, vernickelt | 2                        | Teil<br>3 bis 10<br>nur ge-<br>schlossen<br>lieferbar |
| 4    | NF 384 45     | Lötanschluß                | Ms, verzinkt   | 4 oder 8                 |   |
| 5    | NK 732 54     | Isolierstreifen            | Preßspan       | 1                        |   |
| 6    | B 054 ED/2x15 | Schraube M2 x 15<br>DIN 84 | St, vernickelt | 4                        |   |
| 7    | B 020 ED/2    | Mutter M2 DIN 934          | Ms, vernickelt | 4                        |   |
| 8    | NK 727 26     | Isolierplatte              | Hartpapier     | 2                        |   |
| 9    | NK 727 27     | Isolierplatte              | Hartpapier     | 2                        |   |
| 10   | NK 576 56     | Montageplatte              | St, cadmiert   | 1                        |   |

# D-Topfkern D 36/22 N

## Kerntypen



### Technische Daten

#### Vorabgeglichene Topfkernsätze

Die bestimmende Größe ist die effektive Permeabilität  $\mu_e$

| Typ       | FXC<br>Sorte | $\mu_e$         | $\alpha$<br>$\text{mH}^{-1/2}$ | $A_L$<br>nH | Luftspalt<br>s (mm)<br>Richtwert | Abgleichstreifen<br>+)<br>Typ | Kennf. |
|-----------|--------------|-----------------|--------------------------------|-------------|----------------------------------|-------------------------------|--------|
| K3 000 80 | 3B2          | $150 \pm 3$ %   | 38                             | 693         | 0,21                             |                               |        |
| K3 000 81 | 3B2          | $100 \pm 2,5$ % | 47                             | 453         | 0,34                             | NK 307 89                     | grün   |
| K3 000 82 | 3B2          | $80 \pm 2$ %    | 52                             | 370         | 0,45                             | NK 307 89                     | grün   |
| K3 000 84 | 3B3          | $45 \pm 1,5$ %  | 70                             | 204         | 0,94                             | NK 307 88                     | rot    |
| K3 000 85 | 3B3          | $20 \pm 1$ %    | 105                            | 90,7        | 2,1                              | NK 307 87                     | gelb   |

#### Nicht vorabgeglichene Topfkernsätze

Die bestimmende Größe ist die Kernlänge l bzw. der Luftspalt s

| Typ                | FXC<br>Sorte | Luftspalt<br>s (mm) | Kernlänge<br>l (mm) | $\mu_e$ | $\alpha$<br>$\text{mH}^{-1/2}$<br>Richtwerte | Abgleichstreifen<br>+)<br>Typ | Kennf. |
|--------------------|--------------|---------------------|---------------------|---------|--|-------------------------------|--------|
| D 36/22N-14,00-3B2 | 3B2          | 0                   | 14,0                |         |  |                               |        |
| D 36/22N-13,8 -3B2 | 3B2          | 0,20                | 13,8                | 150     | 37   |                               |        |
| D 36/22N-13,65-3B2 | 3B2          | 0,35                | 13,65               | 90      | 47   | NK 307 89                     | grün   |
| D 36/22N-13,5 -3B2 | 3B2          | 0,50                | 13,5                | 70      | 54   | NK 307 89                     | grün   |
| D 36/22N-13,0 -3B2 | 3B2          | 1,0                 | 13,0                | 40      | 70   | NK 307 88                     | rot    |
| D 36/22N-12,0 -3B3 | 3B3          | 2,0                 | 12,0                | 23      | 93   | NK 307 87                     | gelb   |

+ ) Siehe folgende Seite und Abschnitt Abgleichstreifen für Topfkern

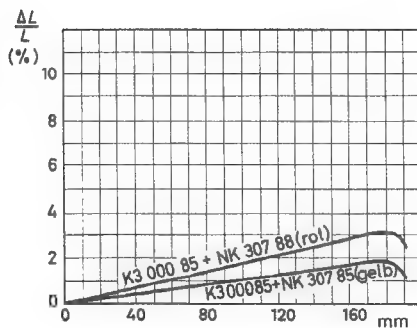
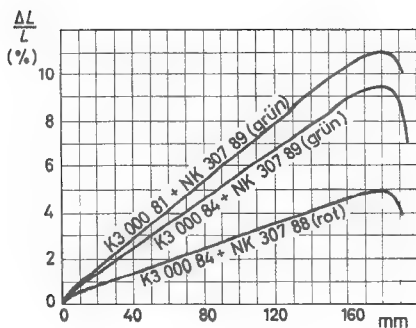


# D-Topfkern D 36/22 N

Kerntypen

## Einzelne Topfkernteile

| Artikel    | Typ           | FXC-Sorte | für Luftspalt s (mm) |
|------------|---------------|-----------|----------------------|
| Platte     | 56 490 49/3B2 | 3B2       |                      |
| Ring       | 56 590 89/3B2 | 3B2       |                      |
| Kern 14,0  | 56 620 70/3B2 | 3B2       | 0                    |
| Kern 13,8  | 56 620 48/3B2 | 3B2       | 0,20                 |
| Kern 13,65 | 56 620 47/3B2 | 3B2       | 0,35                 |
| Kern 13,5  | 56 620 46/3B2 | 3B2       | 0,50                 |
| Kern 13,0  | 56 620 45/3B2 | 3B2       | 1,0                  |
| Platte     | 56 490 49/3B3 | 3B3       |                      |
| Ring       | 56 590 89/3B3 | 3B3       |                      |
| Kern 12,0  | 56 620 44/3B3 | 3B3       | 2,0                  |



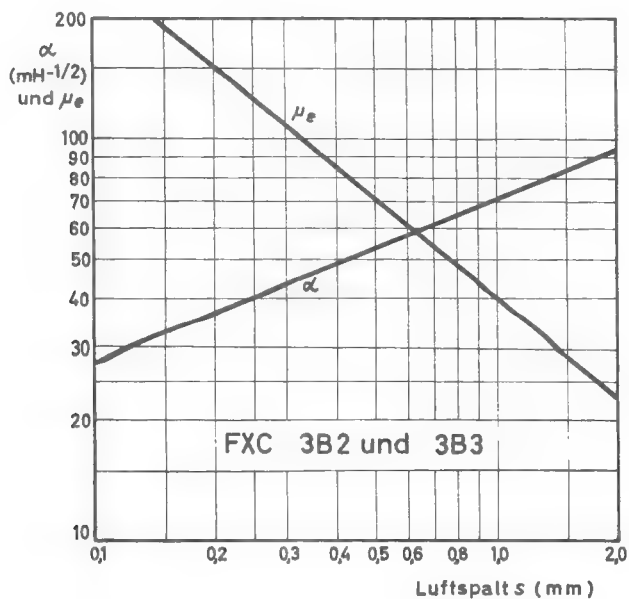
Abgleichkurven D 36/22 N

# D-Topfkern D 36/22 N

magnetische Daten



|                          |  |
|--------------------------|--|
| Magn. Formkonstante      | $\sum \frac{1}{A} = 2,8 \text{ cm}^{-1}$ |
| Hysteresevolumen         | $V_e = 8,5 \text{ cm}^3$                 |
| Mittl. magn. Weglänge    | $l_e = 4,85 \text{ cm}$                  |
| Mittl. magn. Querschnitt | $A_e = 1,75 \text{ cm}^2$                |
| Meßdruck                 | 40 kg                                    |
| Gewicht (pro Satz)       | 73 g                                     |

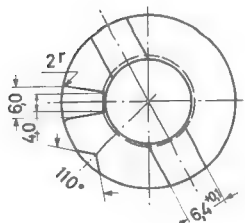
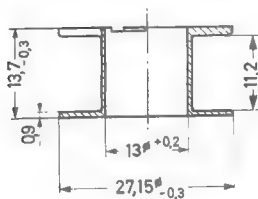


$\mu_e$  und  $\alpha$  als Funktion der Luftspatlänge



# D-Topfkern D 36/22 N

## Wickeldaten



Spulenkörper P4 564 11

Werkstoff

Preßstoff K 111 ähnlich  
Typ 31, DIN 7708

Temperaturbereich

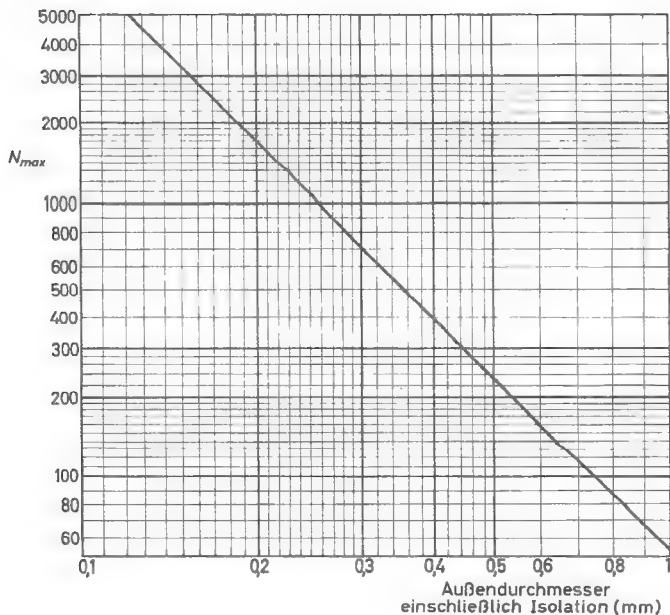
-50 bis +140 °C

Wickelquerschnitt W

0,72 cm<sup>2</sup>

Mittl. Windungslänge l<sub>w</sub>

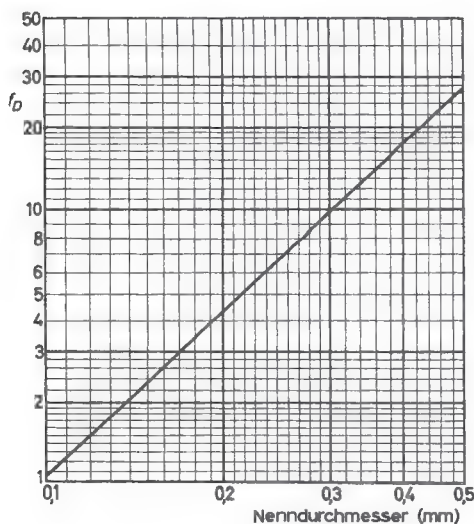
6,4 cm



Maximale Windungszahl als Funktion des Draht-Außendurchmessers



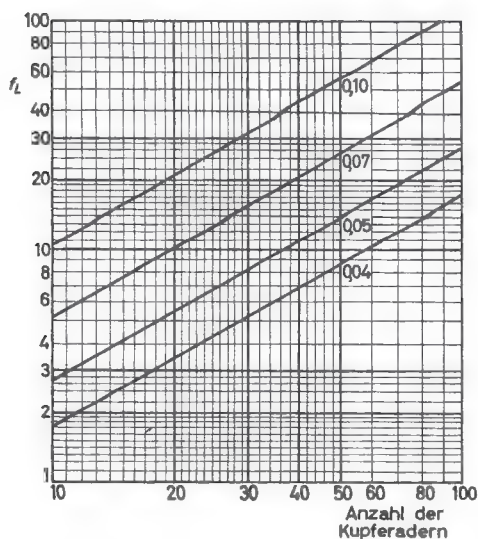
Kupferfüllfaktor  $f_{Cu}$



Kupfer-Runddraht

$$f_{Cu} = 10^{-4} \cdot f_D \cdot N_{max}$$

Zusammenhang zwischen „Nenn-  
durchmesser“ und „Außendurch-  
messer einschließlich  
Isolation“,  
s. Allgemeines, Drahttabelle



HF-Litze

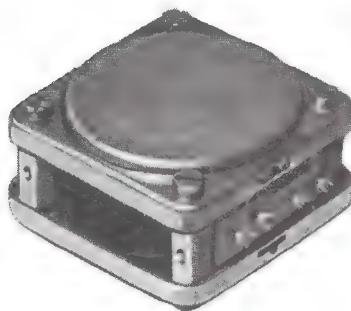
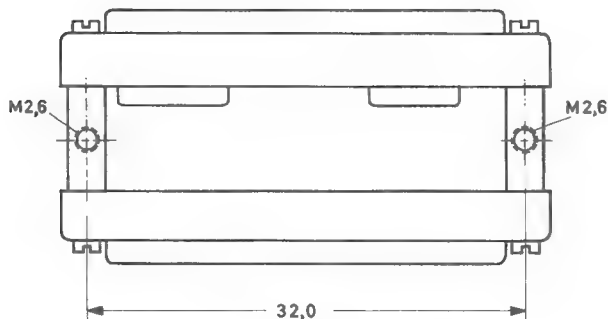
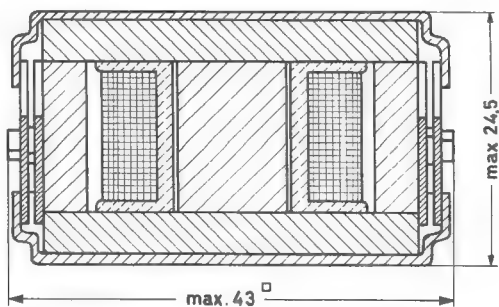
$$f_{Cu} = 10^{-4} \cdot f_L \cdot N_{max}$$

Zusammenhang zwischen „Anzahl  
der Kupferadern“ und „Außen-  
durchmesser einschließlich  
Isolation“,  
s. Allgemeines, Drahttabelle

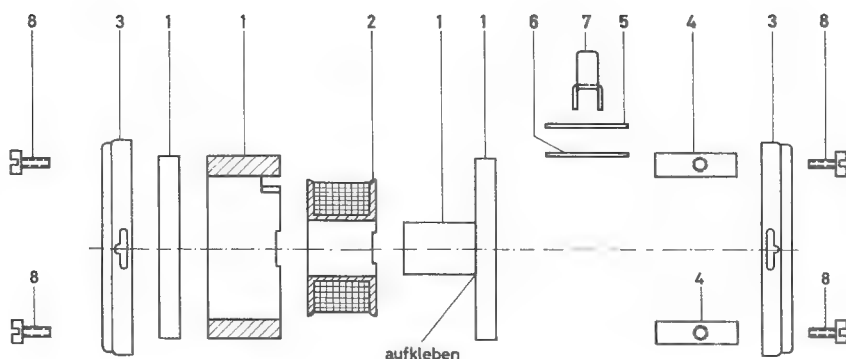




## D-Topfkern D 36/22 N Halterung

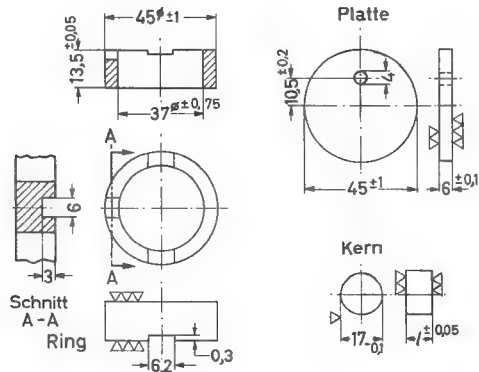


Aufbau des montierten Topfkernes



### Zusammenstellung aller Zubehörteile

| Teil | Typ          | Bezeichnung      | Werkstoff                         | Stück pro Topfkern-Spule | Bemerkungen                                     |
|------|--------------|------------------|-----------------------------------|--------------------------|---|
| 1    | s. Kerntypen | Topfkern         | FXC 3B                            | 4                        | einzeln lieferbar                               |
| 2    | P4 564 11    | Spulenkörper     | Preßstoff K 111<br>ähnlich Typ 31 | 1                        |   |
| 3    | NK 589 60    | Halterungsdeckel | St, cadmiert                      | 2                        | Teil<br>3 bis 8<br>nur geschlossen<br>lieferbar |
| 4    | NG 200 98    | Abstandsstück    | Messing                           | 4                        |   |
| 5    | NK 812 82    | Anschlußplatte   | Hartpapier                        | 1                        |   |
| 6    | NK 724 90    | Isolierplatte    | Hartpapier                        | 1                        |   |
| 7    | NF 384 45    | Lötanschluß      | Ms, verzinkt                      | 4                        |   |
| 8    | B054AG/2,6x5 | M 2,6x5 DIN 84   | St, vernickelt                    | 8                        |   |



Ein Topfkern D 45/39 besteht aus 2 Ringen, 2 Platten und 2 Kernen

Dieser Topfkern ist nicht in vorabgeglichener Ausführung lieferbar

### Technische Daten

#### Einzelne Topfkernteile

| Artikel | Typ           | FXC<br>Sorte | für<br>Luftspalt<br>s (mm) | Kernlänge<br>l (mm) | Abgleichstreifen<br>+) |        |
|---------|---------------|--------------|----------------------------|---------------------|------------------------|--------|
|         |               |              |                            |                     | Typ                    | Kennf. |
| Platte  | 56 630 16/3B5 | 3B5          |                            |                     |                        |        |
| Ring    | 56 400 47/3B5 | 3B5          |                            |                     |                        |        |
| Kern    | 56 630 15/3B5 | 3B5          | 0,3                        | 13,35               | NK 307 89              | grün   |
| Kern    | 56 630 14/3B5 | 3B5          | 0,6                        | 13,20               | NK 307 89              | grün   |
| Kern    | 56 630 30/3B5 | 3B5          | 0,9                        | 13,05               | NK 307 88              | rot    |

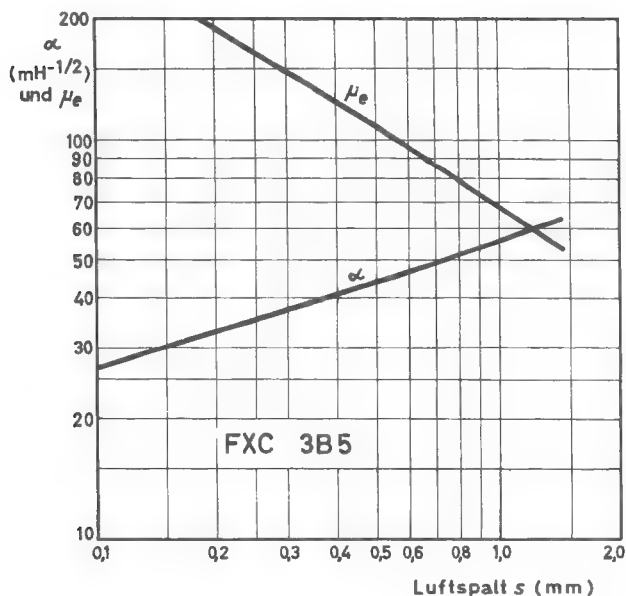
+) Siehe Abschnitt Abgleichstreifen für Topfkerne

# D-Topfkern D 45/39

magnetische Daten



Meßdruck 45 kg  
Gewicht (pro Satz) 185 g



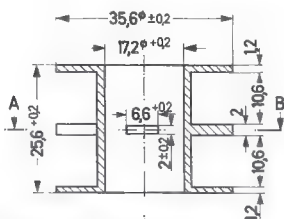
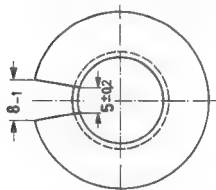
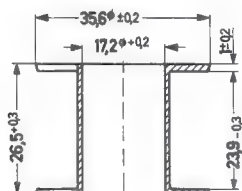
$\mu_e$  und  $\alpha$  als Funktion der Luftspaltlänge

In obenstehenden Kurven sind für  $\mu_e$  und  $\alpha$  Richtwerte angegeben. Abweichungen von  $\pm 20\%$  bei kleinem Luftspalt und  $\pm 5\%$  bei großem Luftspalt sind möglich.

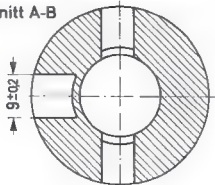


# D-Topfkern D 45/39

## Wickeldaten



Schnitt A-B



Spulenkörper P4 560 88 (1 Kammer);

P4 055 82 (2 Kammern)

Werkstoff

Preßstoff K111, ähnlich Typ 31 DIN 7708

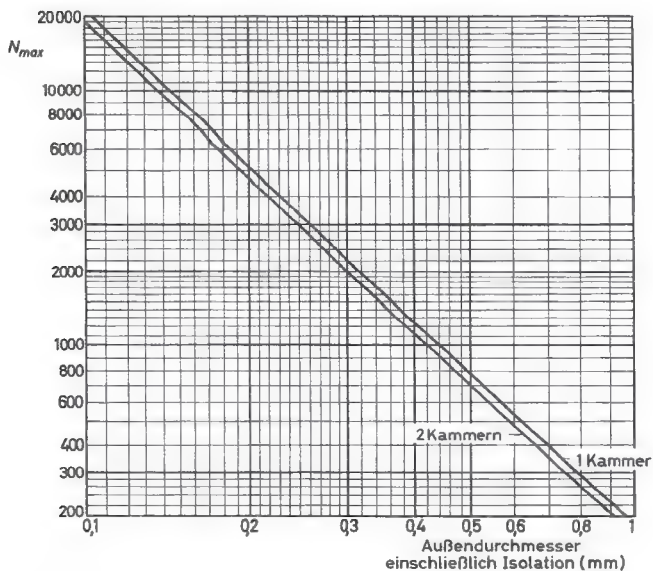
Temperaturbereich

-50 bis +140 °C

Wickelquerschnitt W

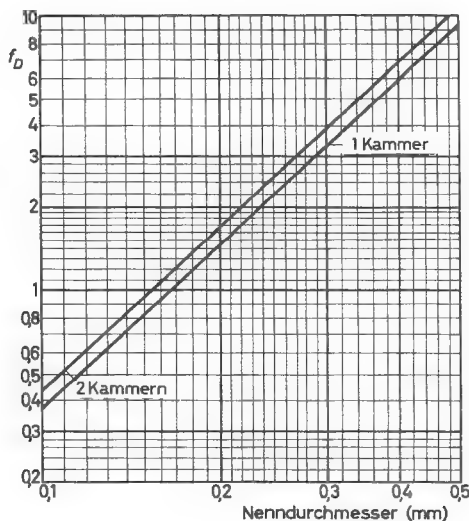
1 Kammer 2,0 cm<sup>2</sup>; 2 Kammern 1,8 cm<sup>2</sup>

Mittl. Windungslänge l<sub>w</sub> 8,5 cm



Maximale Windungszahl als Funktion des Draht-Außendurchmessers

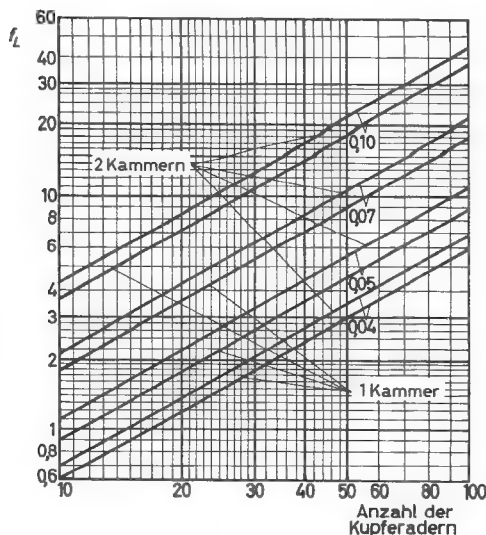
Kupferfüllfaktor  $f_{Cu}$



Kupfer-Runddraht

$$f_{Cu} = 10^{-4} \cdot f_D \cdot N_{max}$$

Zusammenhang zwischen „Nenn-  
durchmesser“ und „Außendurch-  
messer einschließlich  
Isolation“,  
s. Allgemeines, Drahttabelle



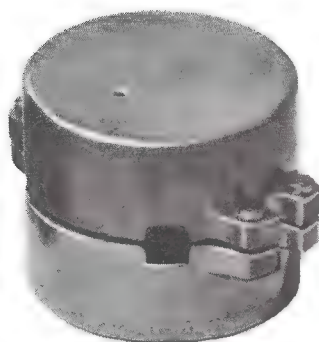
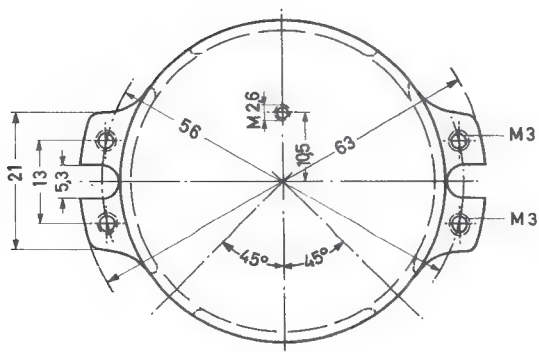
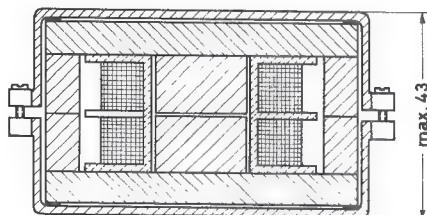
HF-Litze

$$f_{Cu} = 10^{-4} \cdot f_L \cdot N_{max}$$

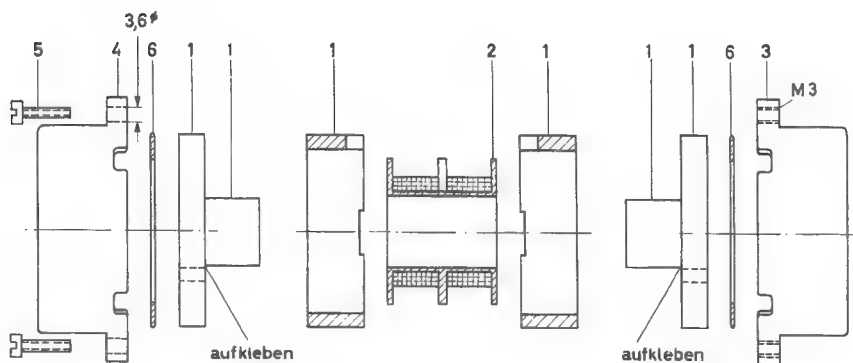
Zusammenhang zwischen „Anzahl  
der Kupferadern“ und „Außendurch-  
messer einschließlich  
Isolation“,  
s. Allgemeines, Drahttabelle



# D-Topfkern D 45/39 Halterung



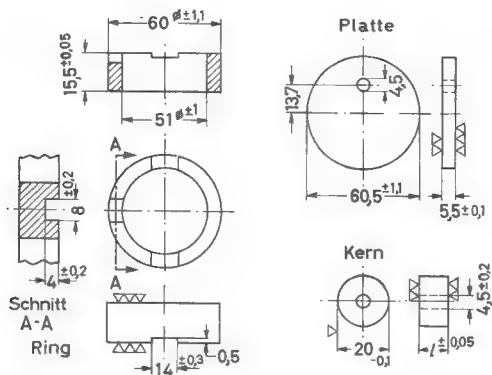
Aufbau des montierten Topfkernes



Zusammenstellung aller Zubehörteile

| Teil | Typ          | Bezeichnung      | Werkstoff                        | Stück pro Topfkern-Spule | Bemerkungen            |
|------|--------------|------------------|----------------------------------|--------------------------|------------------------|
| 1    | s. Kerntypen | Topfkern         | FXC 3B5                          | 6                        | einzel<br>lieferbar    |
| 2    | P4 560 88    | Spulenkörper 1K. | Preßstoff K111<br>ähnlich Typ 31 | 1                        | P4 055 82<br>2 Kammern |
| 3    | NW 870 12    | Halterungsdeckel | GD Al-Si-13                      | 1                        | Teil                   |
| 4    | NW 870 13    | Halterungsdeckel | GD Al-Si-13                      | 1                        | 3 bis 6                |
| 5    |              | M3 x 12 DIN 84   | St, vernickelt                   | 4                        | nur ge-<br>schlossen   |
| 6    | NW 871 14    | Isolierring      | Hartpapier                       | 2                        | lieferbar              |



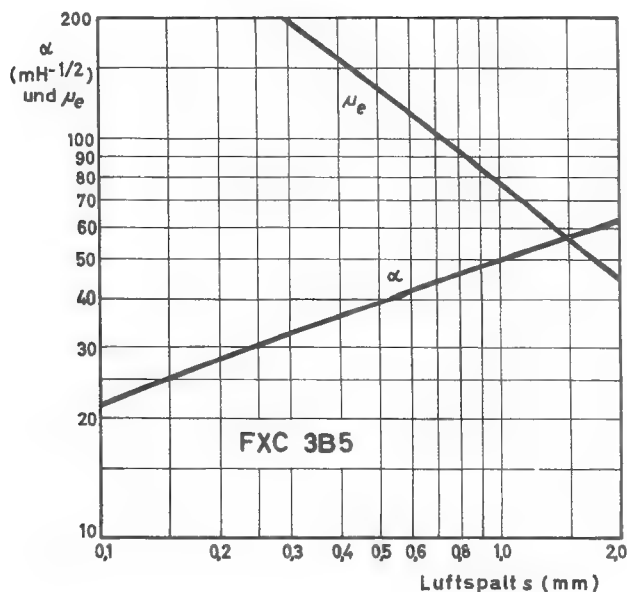


Ein Topfkern D 60/42 besteht aus 2 Ringen, 2 Platten und 2 Kernen  
Dieser Topfkern ist nicht in vorabgeglichener Ausführung lieferbar

### Technische Daten

#### Einzelne Topfkernteile

| Artikel | Typ           | FXC<br>Sorte | für<br>Luftspalt<br>s (mm) | Kernlänge<br>l (mm) |  |
|---------|---------------|--------------|----------------------------|---------------------|--|
| Platte  | 56 500 56/3B5 | 3B5          |                            |                     | Abgleichstreifen<br>nicht<br>lieferbar |
| Ring    | 56 600 57/3B5 | 3B5          |                            |                     |  |
| Kern    | 56 591 19/3B5 | 3B5          | 0                          | 15,5                |  |
| Kern    | 56 620 37/3B5 | 3B5          | 0,4                        | 15,3                |  |
| Kern    | 56 620 34/3B5 | 3B5          | 1,2                        | 14,9                |  |



$\mu_e$  und  $\alpha$  als Funktion der Luftspaltlänge

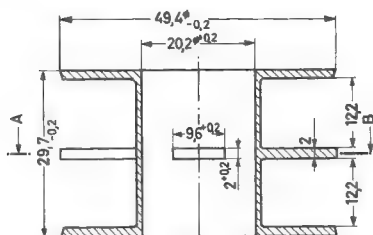
In obenstehenden Kurven sind für  $\mu_e$  und  $\alpha$  Richtwerte angegeben. Abweichungen von  $\pm 20\%$  bei kleinem Luftspalt und  $\pm 5\%$  bei großem Luftspalt sind möglich.

Magnetische Daten für FXC 3B5 auf Anfrage.



# D-Topfkern D 60/42

## Wickeldaten



Spulenkörper P4 560 51

Werkstoff

Preßstoff K111  
Typ 31,  
DIN 7708

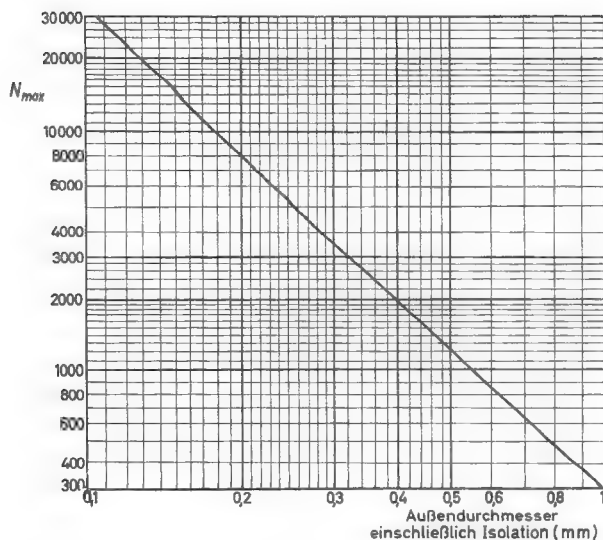
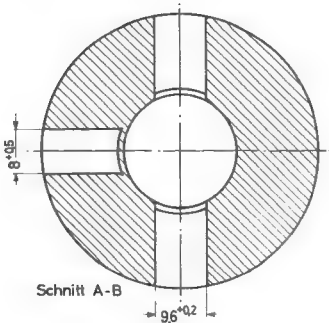
Temperaturbereich

-50 bis +140 °C

Wickelquerschnitt W

3,3 cm<sup>2</sup>

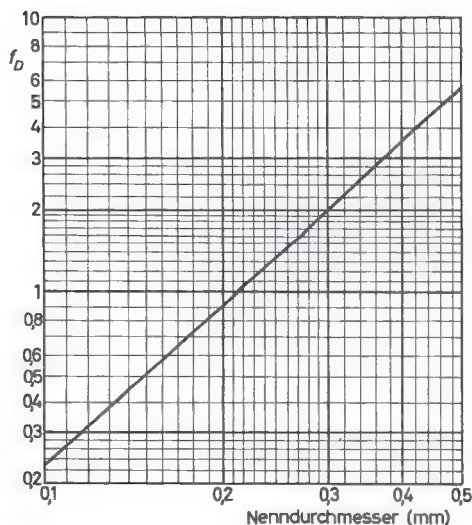
Mittl. Windungslänge  $l_w$  11,2 cm



Maximale Windungszahl als Funktion des Draht-Außendurchmessers



Kupferfüllfaktor  $f_{Cu}$

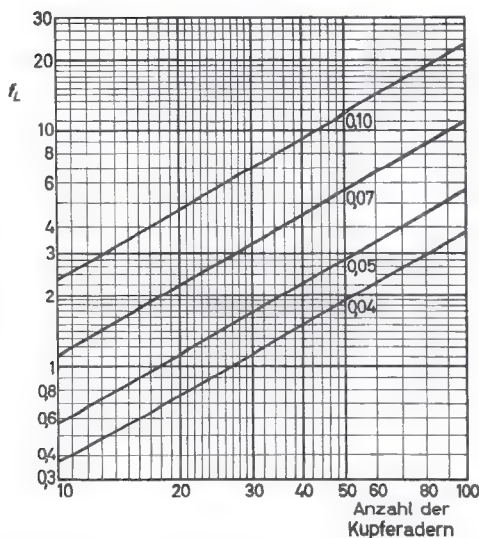


Kupfer-Runddraht

$$f_{Cu} = 10^{-4} \cdot f_D \cdot N_{max}$$

Zusammenhang zwischen „Nenn-durchmesser“ und „Außendurchmesser einschließlich Isolation“,

s. Allgemeines, Drahttabelle



HF-Litze

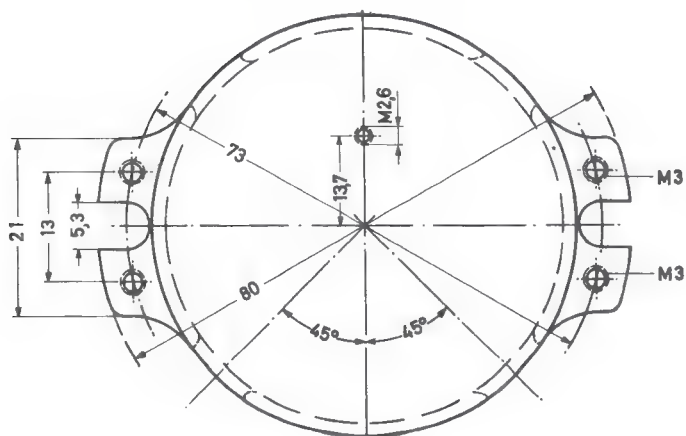
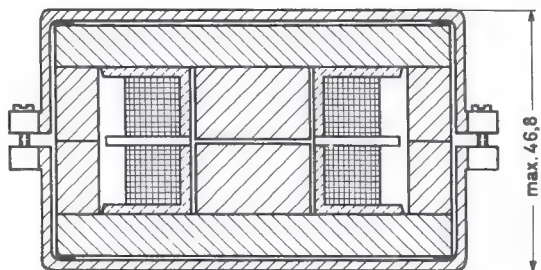
$$f_{Cu} = 10^{-4} \cdot f_L \cdot N_{max}$$

Zusammenhang zwischen „Anzahl der Kupferadern“ und „Außendurchmesser einschließlich Isolation“,

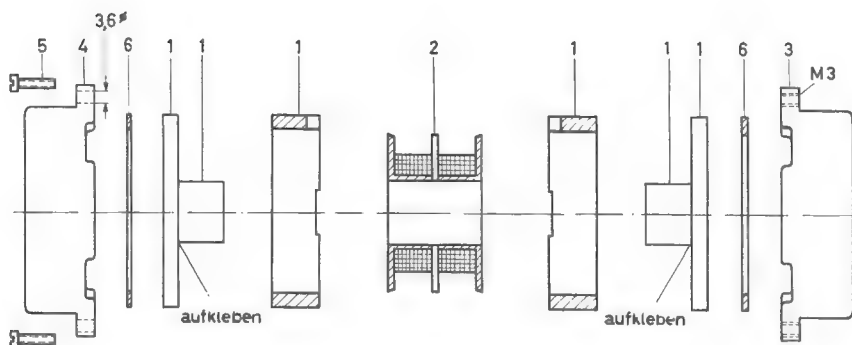
s. Allgemeines, Drahttabelle



# D-Topfkern D 60/42 Halterung



Aufbau des montierten  
Topfkernes

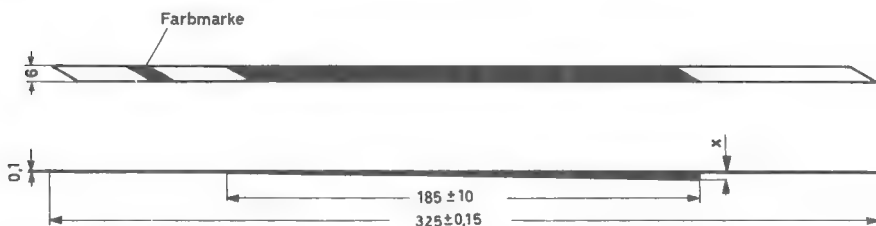


### Zusammenstellung aller Zubehörteile

| Teil | Typ          | Bezeichnung      | Werkstoff                        | Stück pro Topfkern-Spule | Bemerkungen  |
|------|--------------|------------------|----------------------------------|--------------------------|--|
| 1    | s. Kerntypen | Topfkern         | FXC 3B5                          | 6                        | einzel<br>lieferbar                                  |
| 2    | P4 560 51    | Spulenkörper     | Preßstoff K111<br>ähnlich Typ 31 | 1                        |  |
| 3    | NW 870 10    | Halterungsdeckel | GD Al-Si-13                      | 1                        | Teil<br>3 bis 6<br>nur ge-<br>schlossen<br>lieferbar |
| 4    | NW 870 11    | Halterungsdeckel | GD Al-Si-13                      | 1                        |  |
| 5    |              | M3 x 12 DIN 84   | St, vernickelt                   | 4                        |  |
| 6    | NW 871 13    | Isolerring       | Hartpapier                       | 2                        |  |



## Abgleichstreifen für Topfkerne



x) für NK 307 87 max. 0,45  
NK 307 88 max. 0,30  
NK 307 89 max. 0,20

Schichtdicke am Anfang (Farbmarke) max. 0,05 mm

Diese Abgleichstreifen dienen zum Induktivitätsabgleich der Topfkerne D 25/12, D 25/16 und D 36/22 N. Durch Verschieben der Streifen im Luftspalt läßt sich die Induktivität sehr genau einstellen (s. Abgleichkurven auf den Datenblättern D 25/16, D 36/22 N). Lediglich bei Verwendung im Topfkern D 45/39 ist der Abgleichbereich eingeschränkt.

Für verschiedene Luftspalte stehen drei Typen zur Verfügung:

NK 307 89 (bisher Typ 88 486/00) grüne Farbmarke für Luftspalt min. 0,35 mm  
NK 307 88 (bisher Typ 88 486/01) rote Farbmarke für Luftspalt min. 0,5 mm  
NK 307 87 (bisher Typ 88 486/02) gelbe Farbmarke für Luftspalt min. 0,65 mm

Wird ein anderer Regelbereich oder eine andere Steilheit gewünscht als in den Datenblättern angegeben, so können auch andere Streifen, als dort empfohlen, verwendet werden. Zu beachten ist der Mindestluftspalt.

### Montage

Der Streifen wird - die Pulverschicht dem Kern zugewendet - mit der farbigen Spitze voran in die Spule gebracht.

Nach dem Einstellen

- Streifen bis auf ca. 5 mm abschneiden
- Schlitz des Messingdeckels mit Spezialzange zusammendrücken
- Streifenenden nach oben am gesäuberten Deckel festkleben

Bei sorgfältiger Arbeit ist ein Feinabgleich auf <0,03 % möglich.





Ferroxcube-Kerne eignen sich vorzugsweise für Übertrager im Bereich der Sprachfrequenzen, besonders bei höheren Frequenzen.

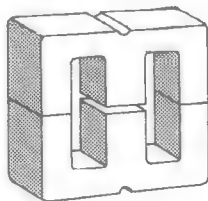
Neben den Schalenkernen, die sowohl für Spulen als auch für Übertrager geeignet sind, werden die nachfolgenden E-Kerne, EI-Kerne, Kreuzkerne und Ringkerne speziell für Übertrager hergestellt. Für Leistungsübertrager werden auch U-Kerne verwendet.

Durch die Verwendung von Ferroxcube-Kernen wird die zeitraubende Zusammenstellung von Transformatorkernen aus isolierten Blechen überflüssig. Bei den E- und Kreuzkernen ist durch Verkürzen des Mittelsteges oder Einlegen entsprechender Folien die Einstellung eines definierten Luftspaltes möglich. Durch diesen Luftspalt kann bekanntlich der Einfluß einer Vormagnetisierung verringert werden.

## K e r n f o r m e n

### E-Kerne

Die Ferroxcube E-Kerne E 20 bis E 65 sind in DIN 41 295 genormt. Sie entsprechen weitgehend den Transformatorblechen nach DIN 41 302. Die zu diesen E-Kernen passenden Spulenkörper sind in DIN 41 304 und DIN 41 305 festgelegt. Je ein Paar zusammengesetzter Ferroxcube E-Kerne entspricht dem Transformatorkern M 20, M 30, M 42 bzw. M 55. Für den Transformatorkern M 65 werden vier Kerne E 65 benötigt.



Zu den Kernen E 20, E 30 und E 42 sind Spulenkörper und Halterung lieferbar.

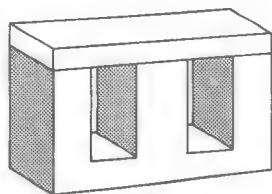
Für die Kerne E 55 und E 65 haben wir nur die Spulenkörper in unserem Lieferprogramm.

Soll ein Luftspalt zwischen den beiden Kernhälften vermieden werden, so müssen die beiden E-Kerne vor dem Einbau in die Halterung zusammengeklebt werden.

Zur Lieferbarkeit von Spulenkörpern und Halterungen für gedruckte Schaltung erbitten wir Ihre Anfrage.

### EI-Kerne

Der Kern EI 25 ist an der Trennlinie nicht fein geschliffen. Er eignet sich daher in erster Linie für Übertrager mit Luftspalt. Der Luftspalt läßt sich durch Einlegen eines 7 mm breiten Streifens aus Papier oder Kunststoff leicht einstellen. Der Kern EI 25 ist aus Ferroxcube 3C6 hergestellt, dem Material mit der höchsten Sättigung. Er eignet sich daher insbesondere für Impulsübertrager, Gleichspannungswandler, Tonfrequenzübertrager mit Vormagnetisierung usw. Der Spulenkörper VA 901 06 ermöglicht den Einbau in die gedruckte Schaltung.



### Kreuzkerne

Ferroxcube-Kreuzkerne sind ausschließlich für gedruckte Schaltungen vorgesehen. Nähere Angaben im allgemeinen Teil zu Kreuzkernen.

### Ringkerne

Ringkerne werden mit oder ohne Lack geliefert. Nähere Angaben enthält das Datenblatt.

Auf den Datenblättern der Übertragerkerne ist neben dem Induktivitätsfaktor  $A_L$  auch die effektive Permeabilität  $\mu_e$  angegeben. Der Windungsfaktor  $\alpha$  gibt die für 1 mH erforderliche Windungszahl  $N$  an.

$$N = \alpha \sqrt{L} \quad (L \text{ in mH}).$$



Zwischen  $\alpha$  in  $\text{mH}^{-1/2}$  und  $A_L$  in  $\text{nH}$  besteht die Beziehung

$$\alpha = \frac{10^3}{\sqrt{A_L}} \quad \text{bzw.} \quad A_L = \frac{10^6}{\alpha^2}$$

Für die Berechnung von Übertragern mit Ferroxcube-Kernen kann kein allgemein gültiges Schema angegeben werden. Je nach Art des Übertragers, z.B. Breitbandübertrager, Impulsübertrager, Leistungsübertrager, geht man verschiedene Wege. Bei allen Methoden interessieren neben den Werkstoffeigenschaften die Typenkenngößen  $\sum \frac{1}{A}$ ,  $l_e$  usw. Die auf den E-Kern-Datenblättern angegebenen Zahlenwerte für  $l_e$  unterscheiden sich etwas von den Werten in DIN 41 301, weil im DIN-Blatt die Verkürzung der Flußwege in den Kernecken nicht berücksichtigt ist.

Bei Gleichstromvormagnetisierung wird bekanntlich die Abnahme der Permeabilität durch Einfügen eines Luftspaltes begrenzt. Der optimale Luftspalt läßt sich z.B. aus den Hanna-Kurven ermitteln, die bei Kreuzkernen angegeben sind. Die Hanna-Kurven zeigen die Abhängigkeit  $L \cdot I_{\text{—}}^2$  von  $n I_{\text{—}}$  mit dem Luftspalt als Parameter. Damit kann man leicht bei vorgegebener Induktivität  $L$  und bekanntem Spulen-Gleichstrom  $I_{\text{—}}$  den Luftspalt und die zugehörige Windungszahl ablesen.

Durch einen Luftspalt wird auch die Stabilität verbessert und die Amplitudenabhängigkeit der Permeabilität verringert. Zu beachten ist, daß die bei Übertragerkernen mit Luftspalt angegebenen  $A_L$ - bzw.  $\mu_e$ -Werte nur für kleine Aussteuerungen ohne Gleichstromvormagnetisierung gelten. Ausführliche Angaben über Übertragerberechnungen bitten wir aus der Fachliteratur zu entnehmen.



### Typenübersicht

Werkstoff Ferroxcube 3E1

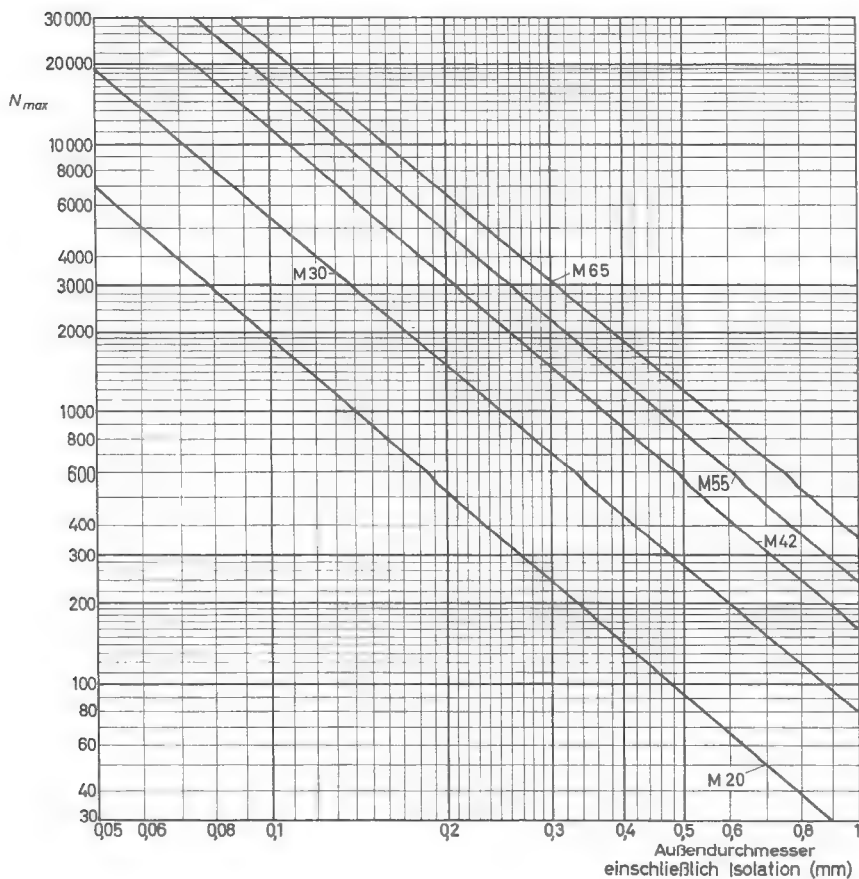
| Typ       | Ausführung  | Luftspalt s<br>mm | $A_L$<br>nH      | $\mu_e$<br>Richtwert |
|-----------|-------------|-------------------|------------------|----------------------|
| 56 907 45 | E 20-00-3E1 | -                 | 2000 $\pm 25$ %  | 2200                 |
| 56 907 46 | E 20-15-3E1 | 0,15 $\pm 0,015$  | 210 $\pm 15$ %   | 235                  |
| 56 907 47 | E 30-00-3E1 | -                 | 2700 $\pm 25$ %  | 2400                 |
| 56 907 48 | E 30-15-3E1 | 0,15 $\pm 0,015$  | 340 $\pm 15$ %   | 315                  |
| 56 907 49 | E 42-00-3E1 | -                 | 5900 $\pm 25$ %  | 2500                 |
| 56 907 50 | E 42-25-3E1 | 0,25 $\pm 0,015$  | 870 $\pm 10$ %   | 365                  |
| 56 907 51 | E 42-50-3E1 | 0,50 $\pm 0,03$   | 480 $\pm 10$ %   | 200                  |
| K5 401 25 | E 55-00-3E1 | -                 | 9400 $\pm 25$ %  | 2600                 |
| K5 400 60 | E 65-00-3E1 | -                 | 11200 $\pm 25$ % | 2450                 |

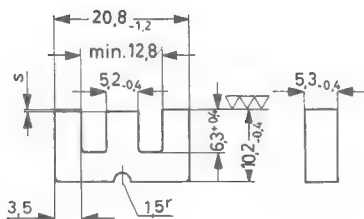
Die angegebenen  $A_L$ - und  $\mu_e$ -Werte gelten für ein Kernpaar mit Luftspalt in nur einem E-Kern. Sie sind gemessen mit einer Spule von 50 Windungen - einlagig auf den zugehörigen Spulenkörper gewickelt.



## E-Kerne nach DIN 41 295 Wickeldaten

Das folgende Diagramm gibt die max. möglichen Windungszahlen in Abhängigkeit des Draht-Außendurchmessers bei Verwendung der auf den folgenden Seiten abgebildeten Spulenkörper an. Diese Spulenkörper entsprechen DIN 41 305 Blatt 1 bzw. für M 65 DIN 41 304.



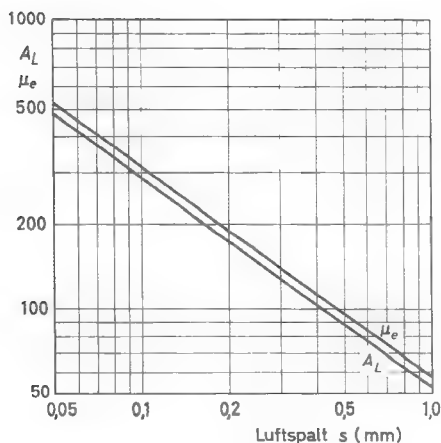


Material Ferroxcube 3E1

Gewicht 4 g

### Technische Daten

| Typ       | Ausführung  | Luftspalt s<br>mm | $A_L$ -Wert<br>nH | $\alpha$<br>$mH^{-1/2}$ | $\mu_e$<br>Richtwert |
|-----------|-------------|-------------------|-------------------|-------------------------|----------------------|
| 56 907 45 | E 20-00-3E1 | -                 | $2000 \pm 25 \%$  | 22,3                    | 2200                 |
| 56 907 46 | E 20-15-3E1 | $0,15 \pm 0,015$  | $210 \pm 15 \%$   |                         | 235                  |



### Magnetische Daten (pro Paar)

Magn. Formkonstante  $\sum \frac{1}{A} = 13,7 \text{ cm}^{-1}$

Hysteresevolumen  $V_e = 1,34 \text{ cm}^3$

Mittl. magn. Weglänge  $l_e = 4,3 \text{ cm}$

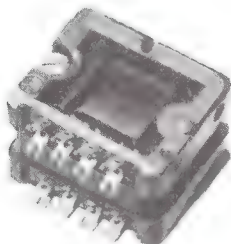
Mittl. magn. Querschn.  $A_e = 0,3 \text{ cm}^2$

Hysteresefaktor

$$\eta_{2(24-100)} < 7 \frac{\Omega}{H^{3/2} \text{ mA}}$$

Meßdruck

9 kg



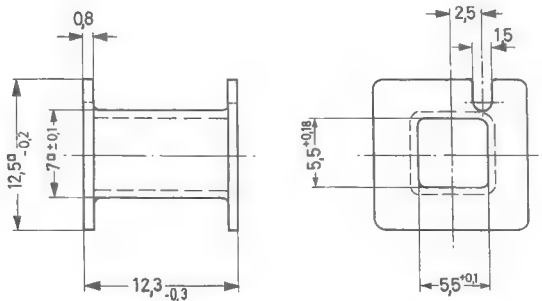
### Zusammenstellung aller Zubehörteile

| Teil | Typ          | Bezeichnung  | Stück pro Übertrager | Werkstoff       | zul. Temperaturbereich |
|------|--------------|--------------|----------------------|-----------------|------------------------|
| 1    | s. Kerntypen | E-Kern       | 2                    | FXC 3E1         |                        |
| 2    | VA 901 01    | Spulenkörper | 1                    | Preßstoff 31.5  | -50 bis +140 °C        |
| 3    | VA 901 02    | Druckrahmen  | 2                    | Preßstoff 31    | -50 bis +140 °C        |
| 4    | M 2,3 x 12   | DIN 84       | 2                    | Stahl, vernick. |                        |

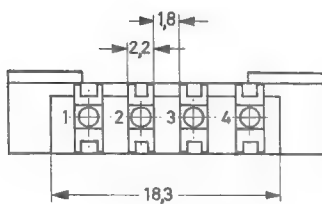
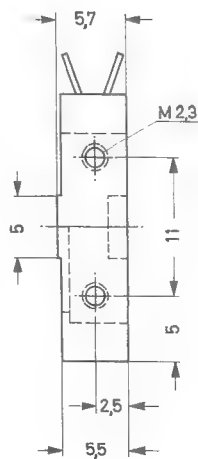
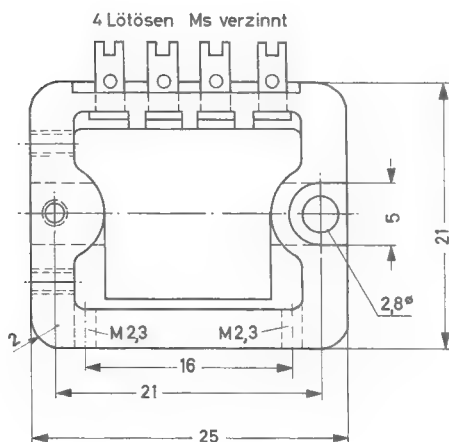
Spulenkörper VA 901 01 (DIN 41 305)

Wickeldaten      Wickelquerschnitt       $W = 0,27 \text{ cm}^2$

Mittl. Windungslänge  $l_W = 3,5 \text{ cm}$



Druckrahmen VA 901 02

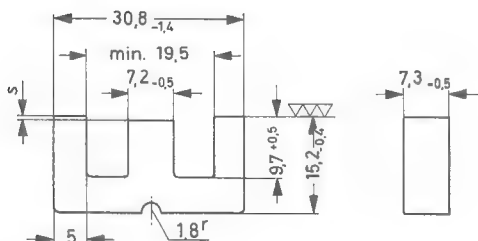






# E-Kern E 30 (M 30)

Kerntypen; magn. Daten

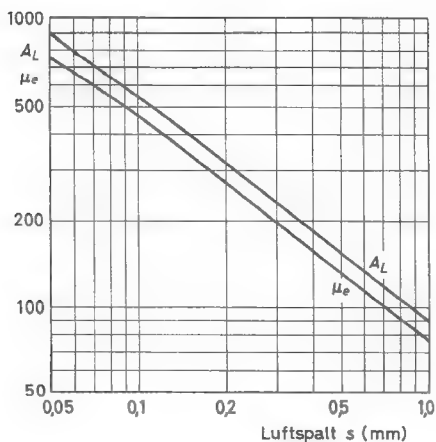


Material Ferroxcube 3E1

Gewicht 11 g

## Technische Daten

| Typ       | Ausführung  | Luftspalt s<br>mm | $A_L$ -Wert<br>nH | $\alpha$<br>$\text{mH}^{-1/2}$ | $\mu_e$<br>Richtwert |
|-----------|-------------|-------------------|-------------------|--------------------------------|----------------------|
| 56 907 47 | E 30-00-3E1 | -                 | 2700 $\pm 25$ %   | 19,3                           | 2400                 |
| 56 907 48 | E 30-15-3E1 | 0,15 $\pm 0,015$  | 340 $\pm 15$ %    |                                | 315                  |



## Magnetische Daten (pro Paar)

Magn. Formkonstante  $\sum \frac{1}{A} = 11,2 \text{ cm}^{-1}$

Hysteresevolumen  $V_e = 4,0 \text{ cm}^3$

Mittl. magn. Weglänge  $l_e = 6,7 \text{ cm}$

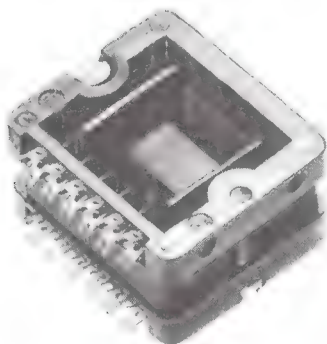
Mittl. magn. Querschn.  $A_e = 0,6 \text{ cm}^2$

Hysteresefaktor

$$\eta_{2(24-100)} < 7 \frac{\text{O}}{\text{H}^{3/2} \text{ mA}}$$

Meßdruck

18 kg



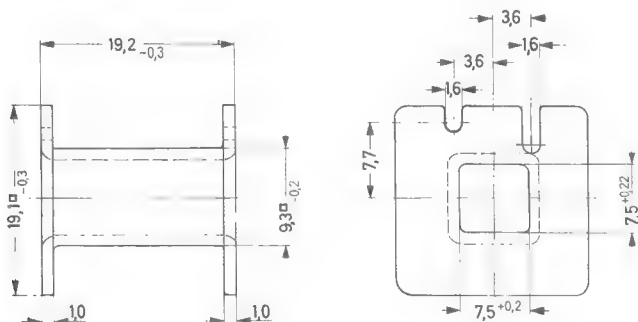
### Zusammenstellung aller Zubehörteile

| Teil | Typ          | Bezeichnung  | Stück pro Übertrager | Werkstoff       | zul. Temperaturbereich |
|------|--------------|--------------|----------------------|-----------------|------------------------|
| 1    | s. Kerntypen | E-Kern       | 2                    | FXC 3E1         |                        |
| 2    | VA 901 11    | Spulenkörper | 1                    | Preßstoff 31.5  | -50 bis +140 °C        |
| 3    | VA 901 12    | Druckrahmen  | 2                    | Preßstoff 31.5  | -50 bis +140 °C        |
| 4    | M 2,3 x 12   | DIN 84       | 2                    | Stahl, vernick. |                        |

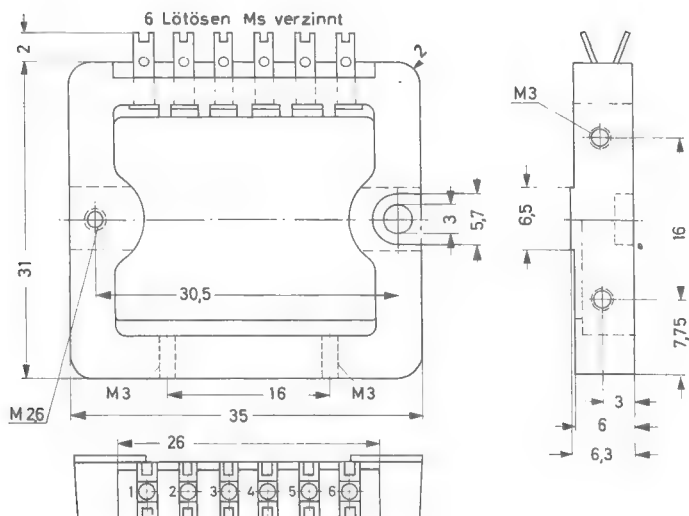
Spulenkörper VA 901 11 (DIN 41 305)

Wickeldaten      Wickelquerschnitt       $W = 0,77 \text{ cm}^2$

Mittl. Windungslänge       $l_W = 5,3 \text{ cm}$

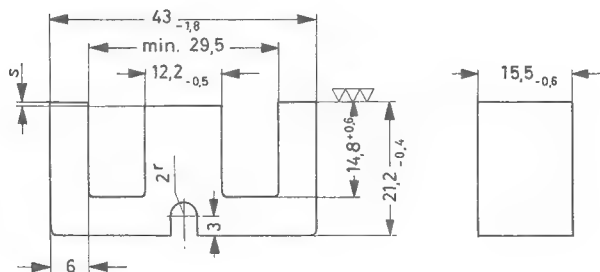


**Druckrahmen VA 901 12**



# E-Kern E 42 (M 42)

Kerntypen; magn. Daten

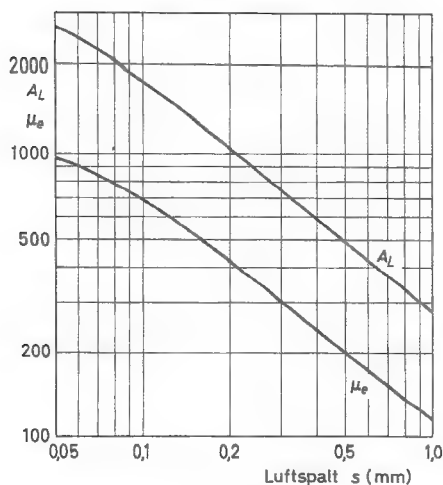


Material FXC 3E1

Gewicht 42 g

## Technische Daten

| Typ       | Ausführung  | Luftpalt s<br>mm | A <sub>L</sub> -Wert<br>nH | α<br>mH <sup>-1/2</sup> | μ <sub>e</sub><br>Richtwert |
|-----------|-------------|------------------|----------------------------|-------------------------|-----------------------------|
| 56 907 49 | E 42-00-3E1 | -                | 5900 ±25 %                 | 13,0                    | 2500                        |
| 56 907 50 | E 42-25-3E1 | 0,25 ±0,015      | 870 ±10 %                  |                         | 365                         |
| 56 907 51 | E 42-50-3E1 | 0,5 ±0,03        | 480 ±10 %                  |                         | 200                         |



## Magnetische Daten (pro Paar)

Magn. Formkonstante  $\sum \frac{1}{A} = 5,35 \text{ cm}^{-1}$

Hysteresevolumen  $V_e = 17,6 \text{ cm}^3$

Mittl.magn. Weglänge  $l_e = 9,7 \text{ cm}$

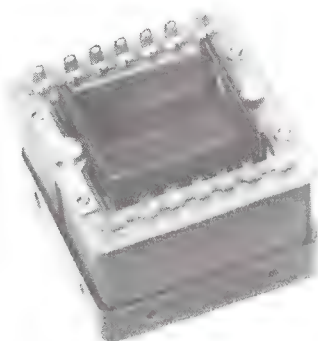
Mittl.magn. Querschn.  $A_e = 1,8 \text{ cm}^2$

Hysteresefaktor

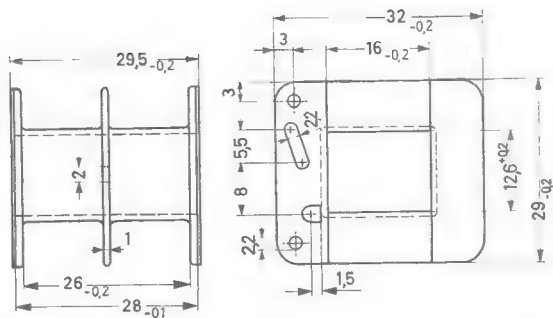
$$92(24-100) < 7 \frac{\Omega}{H^{3/2} \text{ mA}}$$

Meßdruck

55 kg

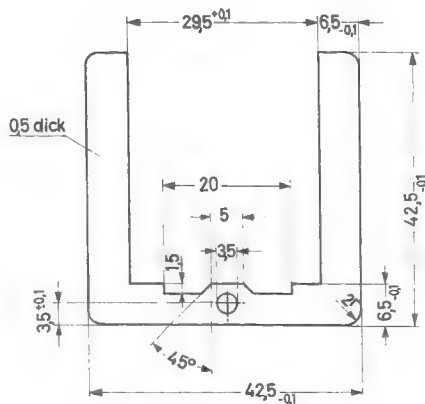


| Teil | Typ          | Bezeichnung              | Werkstoff      | Stück pro Übertrager | zul. Temperaturbereich |
|------|--------------|--------------------------|----------------|----------------------|------------------------|
| 1    | s. Kerntypen | E-Kern                   | FXC 3E1        | 2                    |                        |
| 2a   | VA 901 21    | Spulenkörper 1K.         | Preßstoff 31.5 | 1                    | -50 bis +140°C         |
| 2b   | VA 901 22    | Spulenkörper 2K.         | Preßstoff 31.5 | 1                    | -50 bis +140°C         |
| 3    | VA 901 24    | Druckrahmen              | Preßstoff 31   | 1                    | -50 bis +140°C         |
| 4    | VA 901 25    | Lötösenrahmen            | Hartpapier     | 1                    | -30 bis +110°C         |
| 5    | VA 901 26    | Isolierbeilage           | Hartpapier     | 1                    | -30 bis +110°C         |
| 6    | M 2,6 x 25   | DIN 84                   | Stahl, vernick | 2                    |                        |
| 7    | B 050 AH/2,8 | Scheibe 2,8 Ø<br>DIN 433 | Preßspan       | 2                    | -30 bis +110°C         |



$$l_W \approx 9,0 \text{ cm}$$

Isolierbeilage  
VA 901 26

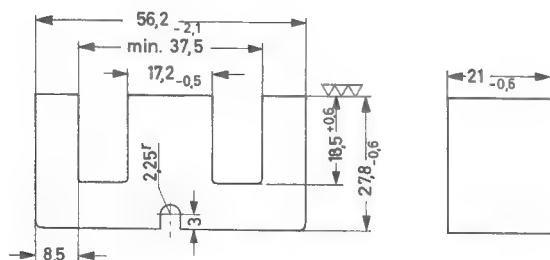


Technical drawing of a rectangular metal plate. The main view shows a plate with overall dimensions of 36<sup>+0.1</sup> by 44<sup>+0.2</sup>. The inner rectangular area has dimensions of 34<sup>+0.2</sup> by 28<sup>+0.05</sup>. The plate has a thickness of 3<sup>+0.2</sup>. There are four circular holes, each with a diameter of 22<sup>+0.1</sup>, located at the corners. The distance between the centers of the holes is 33<sup>+0.1</sup> (vertical) and 22<sup>+0.1</sup> (horizontal). The distance from the outer edge to the center of the holes is 30<sup>+0.2</sup> (horizontal) and 29<sup>+0.15</sup> (vertical). The plate has a central rectangular cutout with a width of 1.4<sup>+0.1</sup>. The side view shows the plate's profile with a thickness of 3<sup>+0.2</sup> and a central cutout of 1.4<sup>+0.1</sup>. The text "Lötösen Ms, verzinkt" is present.



# E-Kern E 55 (M 55)

Kerntypen; magn. Daten

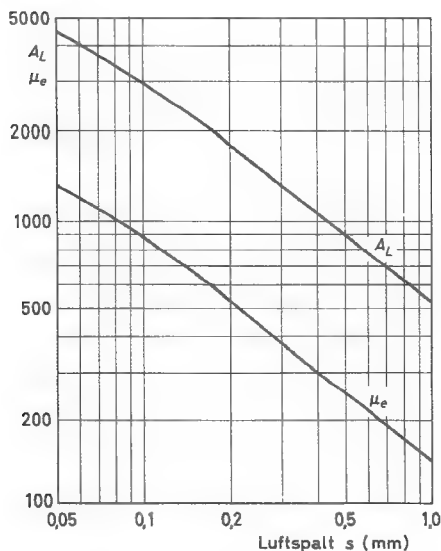


Material FXC 3E1

Gewicht 115 g

## Technische Daten

| Typ       | Ausführung  | Luftspalt s<br>mm | $A_L$ -Wert<br>nH | $\alpha$<br>$mH^{-1/2}$ | $\mu_e$<br>Richtwert |
|-----------|-------------|-------------------|-------------------|-------------------------|----------------------|
| K5 401 25 | E 55-00-3E1 | -                 | 9400 $\pm 25$ %   | 10,3                    | 2600                 |



## Magnetische Daten (pro Paar)

Magn. Formkonstante  $\sum \frac{1}{A} = 3,5 \text{ cm}^{-1}$

Hysteresevolumen  $V_e = 43,7 \text{ cm}^3$

Mittl. magn. Weglänge  $l_e = 12,3 \text{ cm}$

Mittl. magn. Querschn.  $A_e = 3,55 \text{ cm}^2$

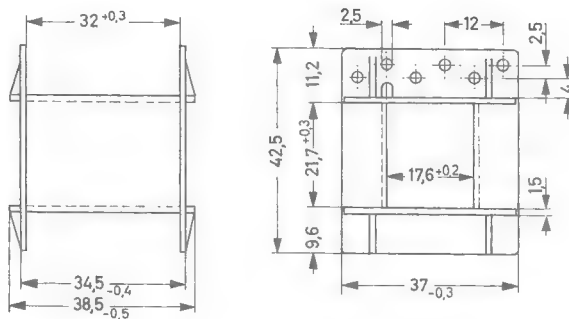
Hysteresefaktor

$$\eta_{2(24-100)} < 4 \frac{\Omega}{H^{3/2} \text{ mA}}$$

Meßdruck

70 kg

Spulenkörper VA 901 36



### Wickeldaten

Wickelquerschnitt  $W = 2,5 \text{ cm}^2$

Mittl. Windungslänge  $l_w = 11,6 \text{ cm}$

Werkstoff Hostalen PPN

Zul. Temperaturbereich  $-10 \text{ bis } +100 \text{ } ^\circ\text{C}$

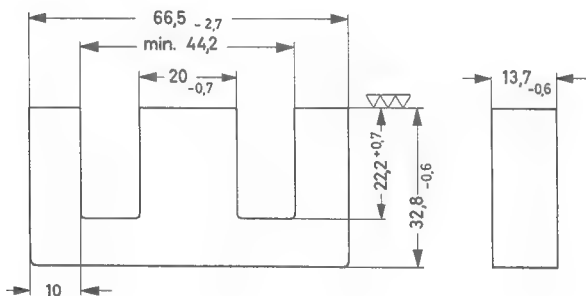
Halterungsteile sind zu diesem E-Kern nicht lieferbar.





# E-Kern E 65 (M 65)

Kerntypen; magn. Daten



Material FXC 3E1

Gewicht 76 g

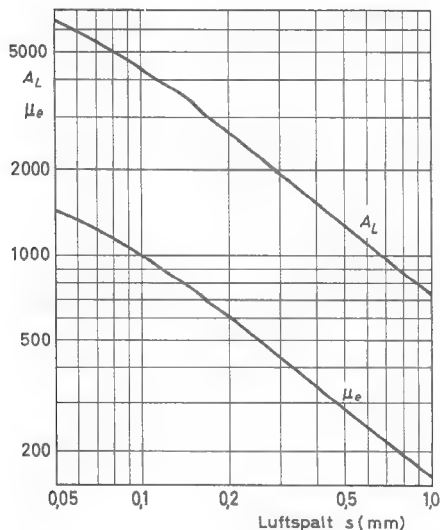
Ein Übertragerkern

M 65 besteht aus

4 E-Kernen K5 400 60

## Technische Daten

| Typ       | Ausführung  | Luftspalt s<br>mm | $A_L$ -Wert<br>nH | $\alpha$<br>$\text{mH}^{-1/2}$ | $\mu_e$<br>Richtwert |
|-----------|-------------|-------------------|-------------------|--------------------------------|----------------------|
| K5 400 60 | E 65-00-3E1 | -                 | 11200 $\pm 25$ %  | 9,4                            | 2450                 |



## Magnetische Daten

(pro Satz M 65 = 4 E-Kerne)

Magn. Formkonstante  $\sum \frac{1}{A} = 2,75 \text{ cm}^{-1}$

Hysteresevolumen  $V_H = 78 \text{ cm}^3$

Mittl. magn. Weglänge  $l_e = 14,7 \text{ cm}$

Mittl. magn. Querschn.  $A_e = 5,3 \text{ cm}^2$

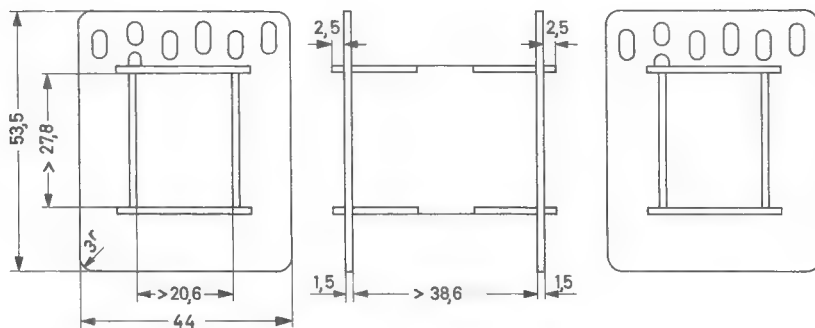
Hysteresefaktor

$$q_2(24-100) < 7 \frac{\Omega}{H^{3/2} \text{ mA}}$$

Meßdruck

80 kg

Spulenkörper VA 901 31



### Wickeldaten

Wickelquerschnitt  $W = 3,55 \text{ cm}^2$

Mittl. Windungslänge  $l_W = 14 \text{ cm}$

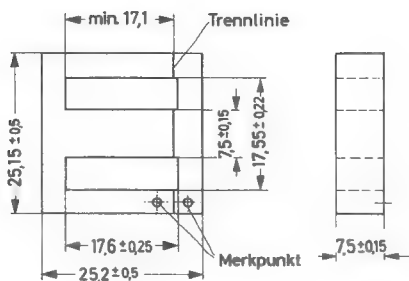
Werkstoff

Hartpapier Klasse II Typ 2061, DIN 7735

Zul. Temperaturbereich

-30 bis +110 °C

Halterungsteile sind zu diesem E-Kern nicht lieferbar.



Material Ferroxcube 3C6

Gewicht 17,5 g

Der Übertragerkern EI 25 eignet sich besonders für Anwendungen bei höheren Aussteuerungen. E- und I-Kern sind an der Trennlinie nicht feingeschliffen. Die Luftspalteinstellung kann durch Einlegen einer Folie oder eines Papierstreifens erfolgen. Bei Verwendung der Halterung kann der eingelegte Streifen max. 0,4 mm dick sein. Das entspricht einem Luftspalt von max. 0,8 mm.

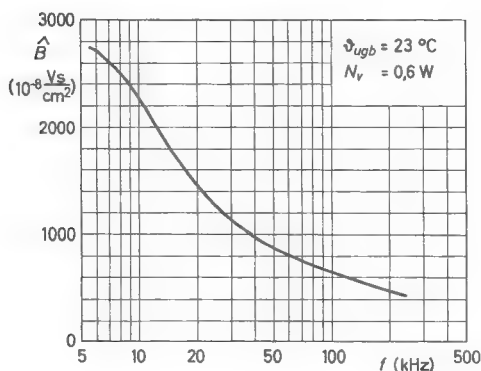
Liefermöglichkeit von Kernen EI 25 mit geschliffenen Trennflächen auf Anfrage.

E- und I-Kerne sind nicht einzeln lieferbar.

Der Kern EI 25 ist nach DIN 41 302, Seite 3, Typ EE 25 ausgeführt. Spulenkörper nach DIN 41 305, Typ EE 25 passen in jedem Fall.

### Technische Daten

| Typ       | Ausführung | Luftspalt s | A <sub>L</sub>        |
|-----------|------------|-------------|-----------------------|
| VK 252 02 | EI 25-3C6  | einstellbar | 300 ±10 % bei s = 0,2 |



Zulässige Induktion  $B$   
in Abhängigkeit von der  
Frequenz (Sinusform)

Magn. Formkonstante

$$\sum \frac{1}{A} = 10,1 \text{ cm}^{-1}$$

Hysteresevolumen

$$V_e = 3,27 \text{ cm}^3$$

Mittl. magn. Weglänge

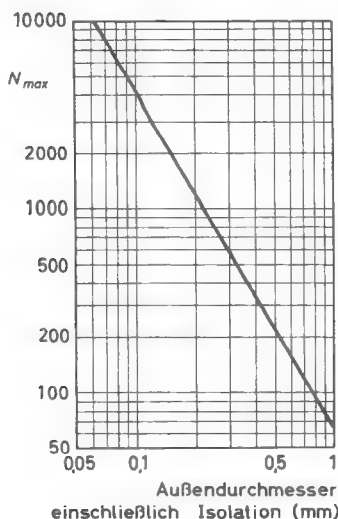
$$l_e = 5,75 \text{ cm}$$

Mittl. Kernquerschnitt

$$A_e = 0,57 \text{ cm}^2$$

Gleichstromverlustmaß

$$\frac{R_{Cu}}{L} = \frac{14 \cdot 10^3}{f_{Cu} \cdot A_L} \quad \frac{\Omega}{H}$$

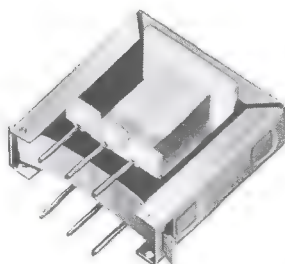


Wickeldaten

Wickelquerschnitt  $W$  0,61 cm<sup>2</sup>

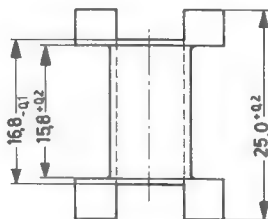
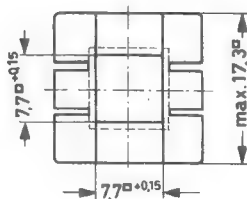
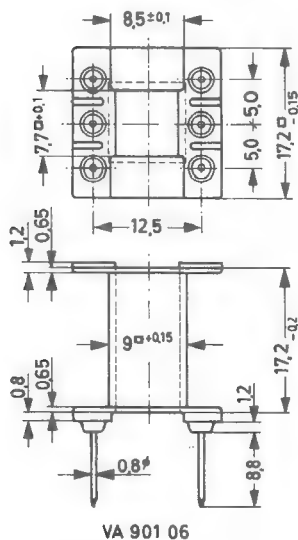
Mittl. Windungslänge  $l_W$  4,9 cm

Maximale Windungszahl als Funktion  
des Draht-Außendurchmessers



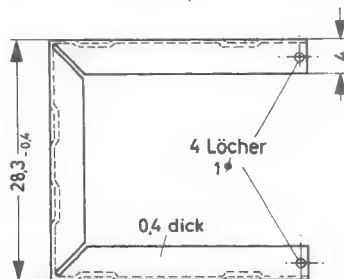
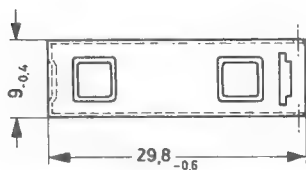
## Zusammenstellung aller Zubehörteile

| Teil | Typ       | Bezeichnung  | Werkstoff       | Stück pro Übertrager | zul. Temperaturbereich                  |
|------|-----------|--------------|-----------------|----------------------|---|
| 1    | EI 25-3C6 | EI-Kern      | FXC 3C6         | 1                    |   |
| 2a   | VA 901 06 | Spulenkörper | Preßstoff       | 1                    | -40 bis +140 °C<br>(kurzzeitig +280 °C) |
| 2b   | VA 901 05 | Spulenkörper | Polystyrol VI   | (1)                  | -20 bis +70 °C                          |
| 3    | VA 901 08 | Bügel        | Stahl, vern.    | 1                    |   |
| 4    | VA 901 09 | Feder        | Federst., cadm. | 1                    |   |

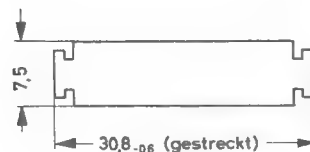


VA 901 05  
nach DIN 41 305

Teil  
2a und 2b  
  
Spulenkörper



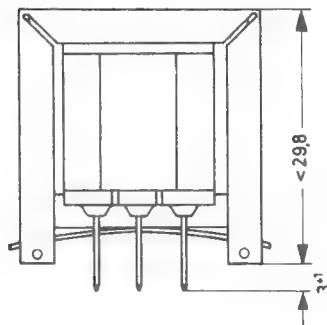
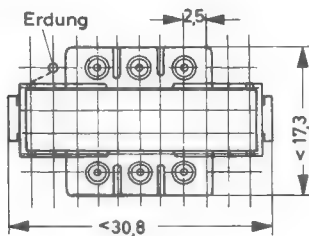
VA 901 08



VA 901 09

Teil 4 Feder VA 901 09

Teil 3 Bügel VA 901 08

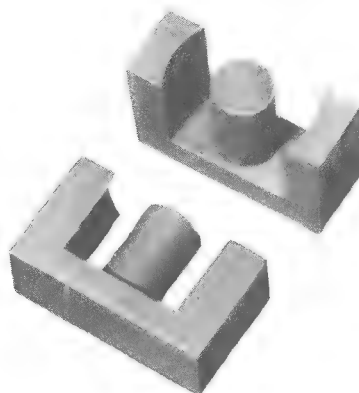
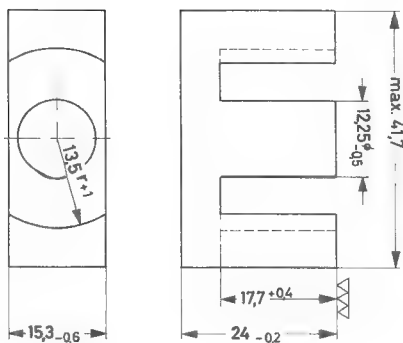


Einbaumaße



# E-Kerne

Sonderausführung  
Kerntyp und magn. Daten



Gewicht 45 g

Die nachstehenden magnetischen Daten gelten für das zusammengesetzte E-Kernpaar.

| Typ       | Ausführung | FXC-Sorte | $A_L$<br>(nH) | $\alpha$<br>(mH <sup>-1/2</sup> ) | $H_e$ | $\sum l/A$<br>Kernkonstante<br>(cm <sup>-1</sup> ) | $A_e$<br>Mittl. magn.<br>Querschnitt<br>(cm <sup>2</sup> ) | $l_e$<br>Mittl. magn.<br>Weglänge<br>(cm) | $V_e$<br>Hysteresis-<br>volumen<br>(cm <sup>3</sup> ) |
|-----------|------------|-----------|---------------|-----------------------------------|-------|--|--|---|---|
| K5 400 40 | E 41/24/15 | 3E1       | >3500         | <16,9                             | >1920 | 6,85   | 1,4  | 9,9                                       | 14,2  |

Zu diesem E-Kern sind keine Spulenkörper und Halterungen lieferbar.



Bei dem Aufbau von Schaltungen unter Verwendung gedruckter Leiterplatten sind quaderförmige Bauelemente für die Ausnutzung der Leiterplatten-Grundfläche am zweckmäßigsten. Der zweite konstruktionsbestimmende Faktor für Übertrager ergibt sich aus der Forderung nach möglichst geringen Verlusten pro Volumeneinheit bei hoher Kernpermeabilität. Aus diesen Überlegungen heraus wurden die Ferroxcube-Kreuzkerne entwickelt, die sich besonders für den Einbau in gedruckte Schaltungen eignen.





Das VALVO-Programm enthält folgende Größen:

| Ausführung | mit Halterung          |                 | Zahl der<br>Anschlüsse | $A_L$ -Wert<br>nH | $\mu_e$ |
|------------|------------------------|-----------------|------------------------|-------------------|---------|
|            | max. Grundfläche<br>mm | max. Höhe<br>mm |                        |                   |         |
| X 22       | 22,45 □                | 16,25           | 8                      | $\geq 3150$       | >1440   |
| X 30       | 30,75 □                | 26,2            | 12                     | $\geq 3950$       | >1525   |
| X 35       | 36,0 □                 | 31,0            | 16                     | $\geq 4820$       | >1540   |

Die  $A_L$ -Werte gelten für Kernpaare ohne Luftspalt, Werkstoff FXC 3H1.

#### Ausführung und Montage

Ferroxcube-Kreuzkerne werden, ebenso wie E-Kerne, einzeln geliefert. Bei Kreuzkernen mit Luftspalt ist der zylindrische Mittelzapfen gekürzt. Die Luftspaltangabe bezieht sich auf den Einzelkern. Ein Übertragerkern X 30 mit Luftspalt  $s = 0,4$  mm läßt sich aus einem Kreuzkern mit  $s = 0,15$  mm und einem anderen mit  $s = 0,25$  mm zusammensetzen.

Die Spulenkörper aus tauchlötfestem und elektrisch hochwertigem Polyesterpreßstoff tragen an einem Flansch die Anschlußstifte. Damit ist das Anlöten der Wickelenden sofort in der Wickelei, z.B. durch Tauchlötung, möglich. Eine eingepreßte Rille dient als Markierung.

Bei Montage des Übertragers soll das Loch in der Deckplatte über dieser Markierung des Spulenkörpers liegen, damit das Einsetzen des symmetrischen Übertragers in die Leiterplatte in definierter Stellung gewährleistet ist.

Für das Umbiegen der acht Zungen des Gehäuses über der Feder-Deckplatte empfehlen wir ein Hilfswerkzeug, zu dem wir auf Wunsch Zeichnungen zur Verfügung stellen.

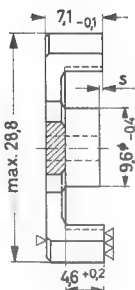
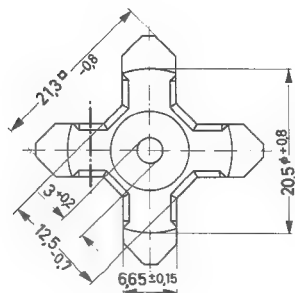


Falls der Kreuzkern-Übertrager ohne Halterung benutzt wird, ermöglicht das axiale Mittelloch die Verwendung einer Befestigungsschraube. Der Druck auf die Kerne soll dann durch eine Tellerfeder auf die äußeren Enden der vier Arme wirken, um eine Beeinflussung der Kernpermeabilität zu vermeiden.

Auf den folgenden Datenblättern sind die wichtigsten Größen für Übertrager-Berechnungen angegeben. Neben der Abhängigkeit des  $A_L$ -Wertes von der Aussteuerung (bzw. Ampere-Windungszahl)  $A_L = f(NI_~)$  ist die Abhängigkeit  $L \cdot I_-^2 = f(NI_-)$  mit dem Luftspalt als Parameter dargestellt (Hanna-Kurven).

Außerdem sind der Parallel-Reaktanz-Faktor in Abhängigkeit von der Induktion  $\frac{\omega L_P}{N^2} = \omega A_L = f(\hat{B})$  und die Abhängigkeit des Parallel-Widerstandsfaktors  $\frac{R_P}{N^2}$  von der Frequenz  $f$  mit der Induktion als Parameter aufgetragen.

Die obere Grenzfrequenz für Kreuzkerne aus Ferroxcube 3H1 liegt für Übertrageranwendungen bei ca. 5 MHz.



Gewicht ca. 6 g

| Typ       | Ausführung  | FXC<br>Sorte | Luftspalt s<br>mm | A <sub>L</sub> -Wert<br>nH | μ <sub>e</sub> |
|-----------|-------------|--------------|-------------------|----------------------------|----------------|
| K5 351 92 | X 22-00-3H1 | 3H1          | -                 | ≥3150                      | ≥1440          |
| K5 352 50 | X 22-05-3H1 | 3H1          | 0,05 ±0,015       | ca. 1100                   | ca. 500        |
| K5 352 51 | X 22-15-3H1 | 3H1          | 0,15 ±0,02        | ca. 480                    | ca. 220        |
| K5 352 52 | X 22-25-3H1 | 3H1          | 0,25 ±0,02        | ca. 350                    | ca. 150        |
| K5 351 90 | X 22-00-3E1 | 3E1          | -                 | ≥3250                      | ≥1490          |
| K5 351 93 | X 22-00-4C4 | 4C4          | -                 | ≥215                       | ≥98            |

## Magnetische Daten

Magn. Formkonstante

$$\sum \frac{1}{A} = 5,75 \text{ cm}^{-1}$$

Hysteresevolumen

$$V_e = 2,5 \text{ cm}^3$$

Mittl. magn. Weglänge

$$l_e = 3,8 \text{ cm}$$

Mittl. Kernquerschnitt

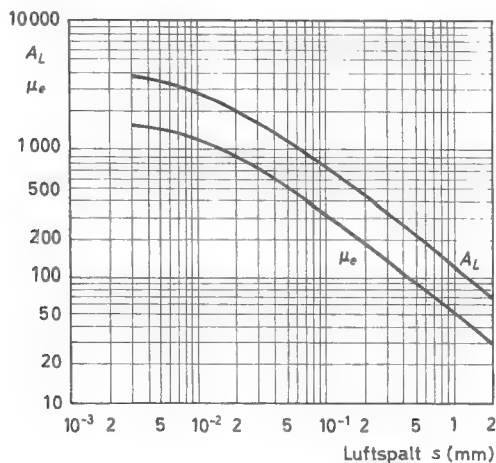
$$A_e = 0,65 \text{ cm}^2$$

Hysteresefaktor

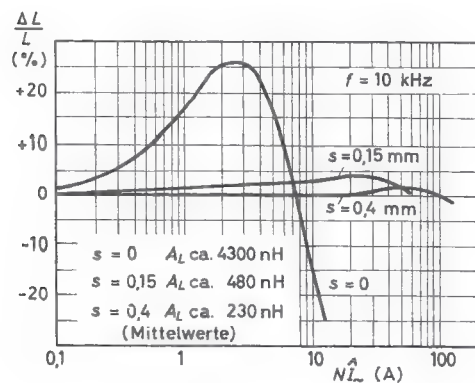
$$\eta_{2(24-100)} < 1,8 \frac{\Omega}{H^{3/2} \text{ mA}}$$

Meßdruck

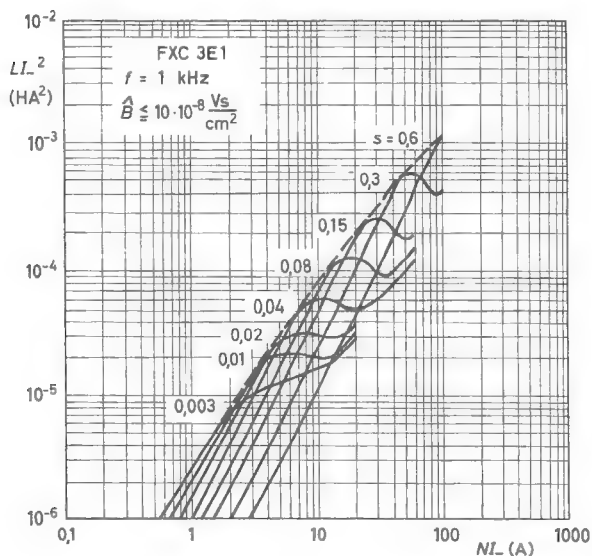
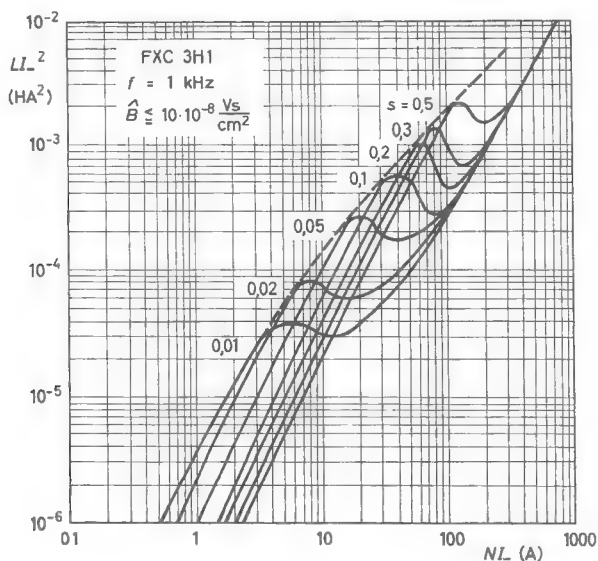
$$7 \text{ kg}$$



$A_L$  und  $\mu_e$  in Abhängigkeit vom Gesamtluftspalt  $s$

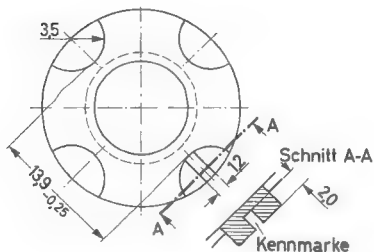
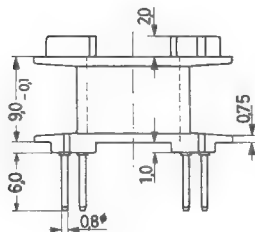
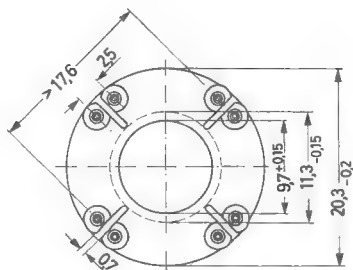


Abhängigkeit der Induktivität bzw. des  $A_L$ -Wertes von der Aussteuerung bei verschiedenen Luftspalten.



Einfluß der Vormagnetisierung bei verschiedenen Größen des Gesamtluftspaltes  $s$  in mm (Hanna-Kurven).

Spulenkörper VA 901 54

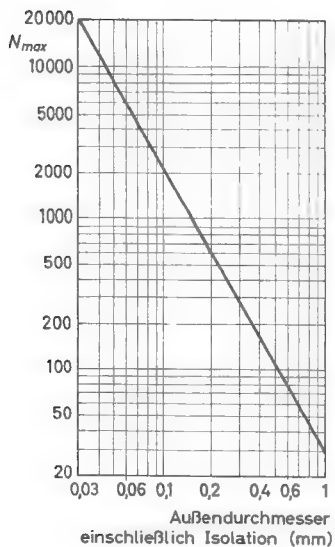


|                                     |   |
|-------------------------------------|---|
| Werkstoff                           | Polyester mit Glasfaser                     |
| Zul. Temperatur                     | -50 bis +130 °C<br>(kurzzeitig bis +280 °C) |
| Wickelquerschnitt W                 | 0,3 cm <sup>2</sup>                         |
| Mittl. Windungslänge l <sub>W</sub> | 4,9 cm                                      |



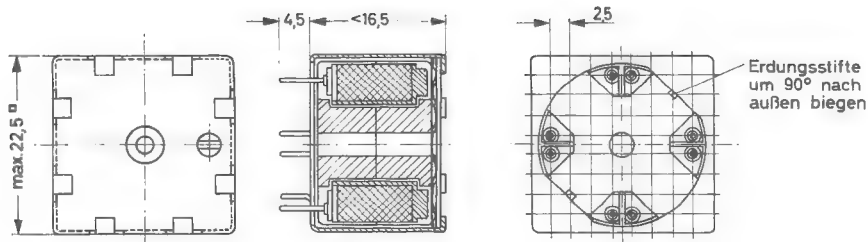
## Kreuzkern X 22

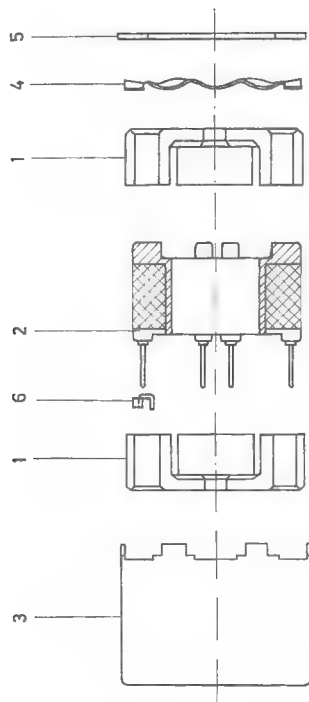
### Wickeldaten; Halterung



Maximale Windungszahl als  
Funktion des Draht-Außendurch-  
messers

### Halterung





Zusammenstellung aller Zubehörteile

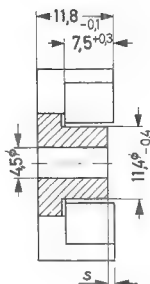
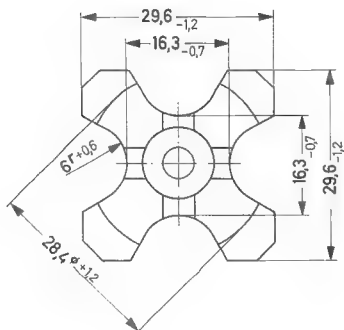
| Teil | Typ          | Bezeichnung    | Stück pro Übertrager | Werkstoff      | Bemerkungen         |
|------|--------------|----------------|----------------------|----------------|---------------------|
| 1    | s. Kerntypen | Kreuzkern X 22 | 2                    | s. Kerntypen   |                     |
| 2    | VA 901 54    | Spulenkörper   | 1                    | Preßstoff      |                     |
| 3    | VA 901 51    | Gehäuse        | 1                    | Ms, vernickelt |                     |
| 4    | B1 480 30    | Feder          | 1                    | Federstahl     | cadmiert            |
| 5    | VA 901 52    | Platte         | 1                    | Ms, vernickelt |                     |
| 6    | B1 431 53    | Lötanschluß    | bis 8                | Ms, verzinkt   | besonders bestellen |





# Kreuzkern X 30

Kerntypen; magn. Daten



Gewicht ca. 19 g

| Typ       | Ausführung  | FXC<br>Sorte | Luftspalt s<br>mm | A <sub>L</sub> -Wert<br>nH | μ <sub>e</sub> |
|-----------|-------------|--------------|-------------------|----------------------------|----------------|
| K5 352 55 | X 30-00-3H1 | 3H1          | -                 | ≥ 3950                     | ≥ 1525         |
| K5 352 65 | X 30-02-3H1 | 3H1          | 0,02 ± 0,01       | ca. 2800                   | ca. 1050       |
| K5 352 66 | X 30-05-3H1 | 3H1          | 0,05 ± 0,015      | ca. 1600                   | ca. 600        |
| K5 352 67 | X 30-15-3H1 | 3H1          | 0,15 ± 0,02       | ca. 660                    | ca. 250        |
| K5 352 68 | X 30-25-3H1 | 3H1          | 0,25 ± 0,02       | ca. 450                    | ca. 170        |

## Magnetische Daten

Magn. Formkonstante

Hysteresevolumen

Mittl. magn. Weglänge

Mittl. Kernquerschnitt

Hysteresefaktor

Meßdruck

$$\sum \frac{1}{A} = 4,9 \text{ cm}^{-1}$$

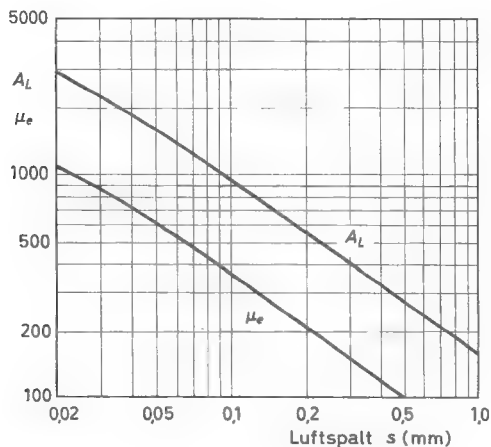
$$V_e = 6,3 \text{ cm}^3$$

$$l_e = 5,5 \text{ cm}$$

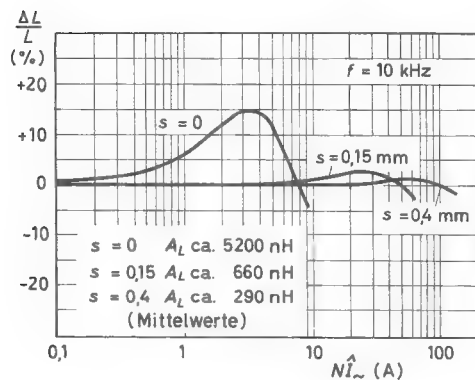
$$A_e = 1,1 \text{ cm}^2$$

$$q_2(24-100) < 1,8 \frac{\Omega}{H^{3/2} \text{ mA}}$$

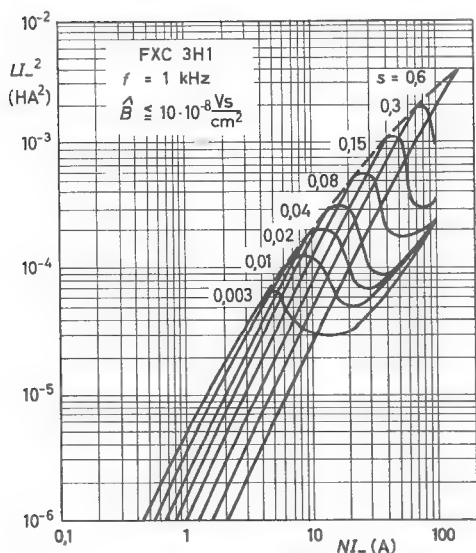
$$25 \text{ kg}$$



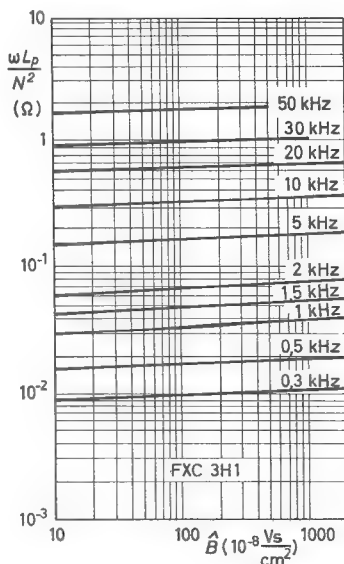
$A_L$  und  $\mu_e$  in Abhängigkeit vom Gesamtluftspalt  $s$



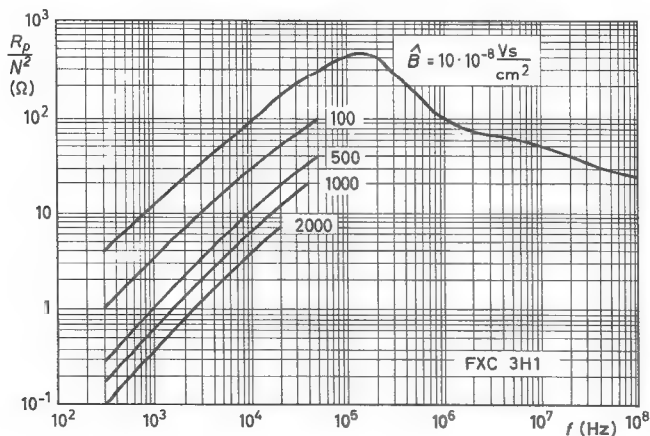
Abhängigkeit der Induktivität bzw. des  $A_L$ -Wertes von der Aussteuerung bei verschiedenen Luftspalten.



Einfluß der Vormagnetisierung bei verschiedenen Größen des Gesamtluftspaltes  $s$  in mm (Hanna-Kurven)

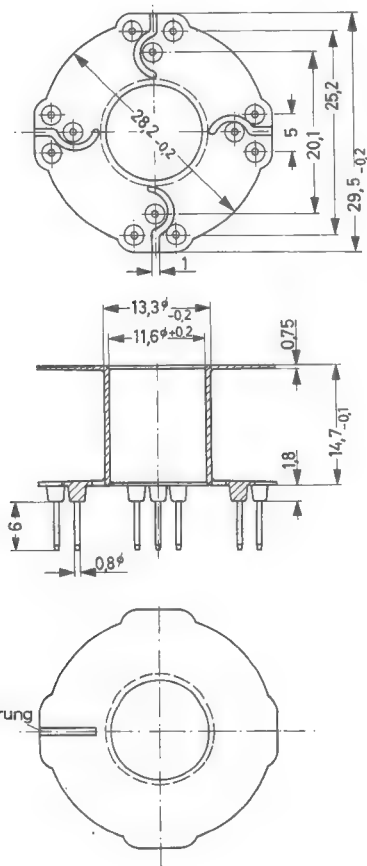


Parallelreaktanzfaktor in Abhängigkeit von der Induktion  $\hat{B}$  bei verschiedenen Frequenzen



Parallelwiderstandsfaktor in Abhängigkeit von der Frequenz bei verschiedenen Induktionen  $\hat{B}$  in  $10^{-8} \frac{\text{Vs}}{\text{cm}^2}$

Spulenkörper P4 057 50



Werkstoff

Polyester mit Glasfaser

Zul. Temperatur

-50 bis +130 °C  
(kurzzeitig bis +280 °C)

Wickelquerschnitt W

0,95 cm<sup>2</sup>

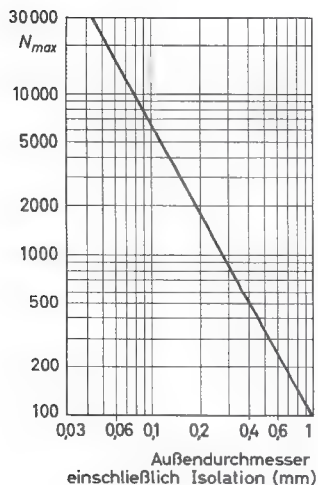
Mittl. Windungslänge l<sub>W</sub>

6,3 cm



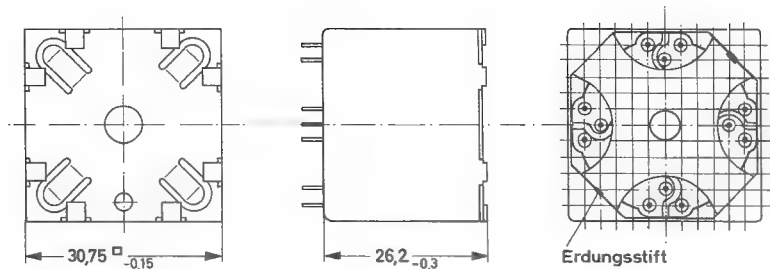
## Kreuzkern X 30

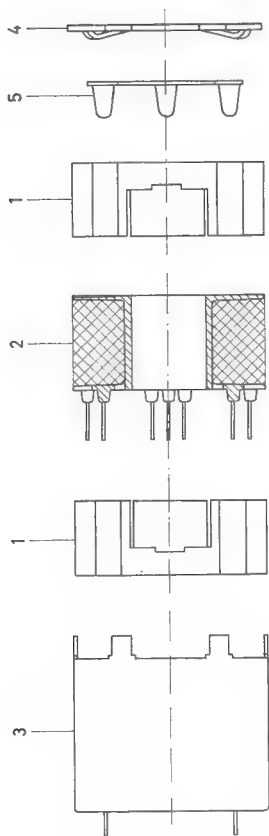
Wickeldaten; Halterung



Maximale Windungszahl als  
Funktion des Draht-Außendurch-  
messers

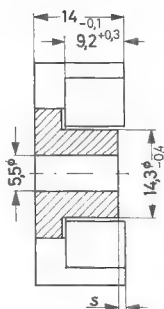
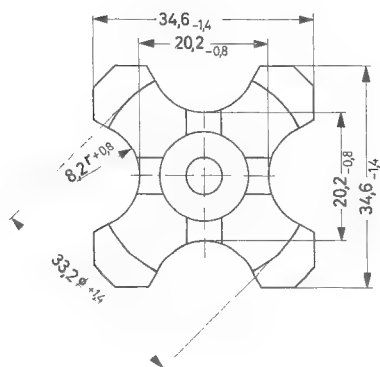
### Halterung





Zusammenstellung aller Zubehörteile

| Teil | Typ          | Bezeichnung    | Stück pro Übertrager | Werkstoff             | Bemerkungen       |
|------|--------------|----------------|----------------------|-----------------------|-------------------|
| 1    | s. Kerntypen | Kreuzkern X 30 | 2                    | FXC 3H1               |                   |
| 2    | P4 057 50    | Spulenkörper   | 1                    | Preßst., tauchlötfest | 12 Anschlußstifte |
| 3    | B1 410 54    | Gehäuse        | 1                    | Messing, vernickelt   | mit Federteil     |
| 4    | B1 453 49    | Deckel         | 1                    | Phosphorbronze        | zum Festlegen des |
| 5    | P7 050 16    | Druckring      | 1                    | Silikon Gummi         | Spulenkörpers     |



Gewicht ca. 29 g

| Typ       | Ausführung  | FXC<br>Sorte | Luftspalt s<br>mm | A <sub>L</sub> -Wert<br>nH | μ <sub>e</sub> |
|-----------|-------------|--------------|-------------------|----------------------------|----------------|
| K5 352 60 | X 35-00-3H1 | 3H1          | -                 | ≥4820                      | ≥1540          |
| K5 352 70 | X 35-02-3H1 | 3H1          | 0,02 ±0,01        | ca. 3500                   | ca. 1100       |
| K5 352 71 | X 35-05-3H1 | 3H1          | 0,05 ±0,015       | ca. 2100                   | ca. 670        |
| K5 352 72 | X 35-15-3H1 | 3H1          | 0,15 ±0,02        | ca. 960                    | ca. 305        |
| K5 352 73 | X 35-25-3H1 | 3H1          | 0,25 ±0,02        | ca. 630                    | ca. 210        |

## Magnetische Daten

Magn. Formkonstante

Hysteresevolumen

Mittl. magn. Weglänge

Mittl. Kernquerschnitt

Hysteresefaktor

Meßdruck

$$\sum \frac{1}{A} = 4,1 \text{ cm}^{-1}$$

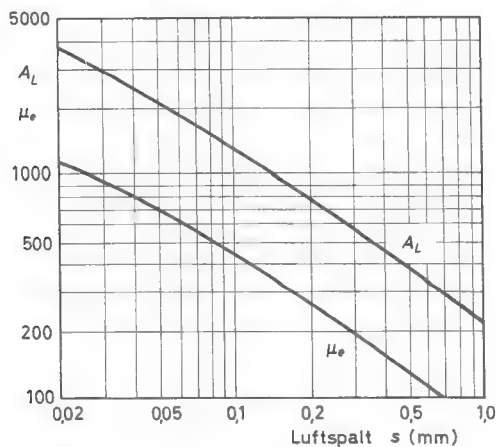
$$V_e = 11,0 \text{ cm}^3$$

$$l_e = 6,7 \text{ cm}$$

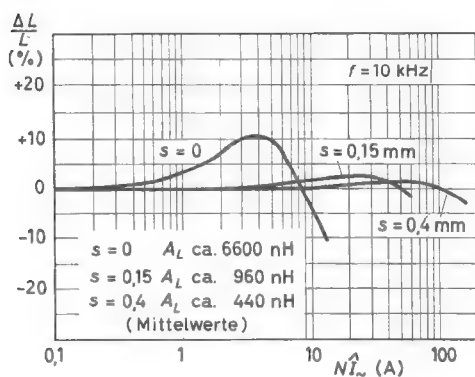
$$A_e = 1,6 \text{ cm}^2$$

$$\eta_{2(24-100)} < 1,8 \frac{\Omega}{H^{3/2} \text{ mA}}$$

$$55 \text{ kg}$$

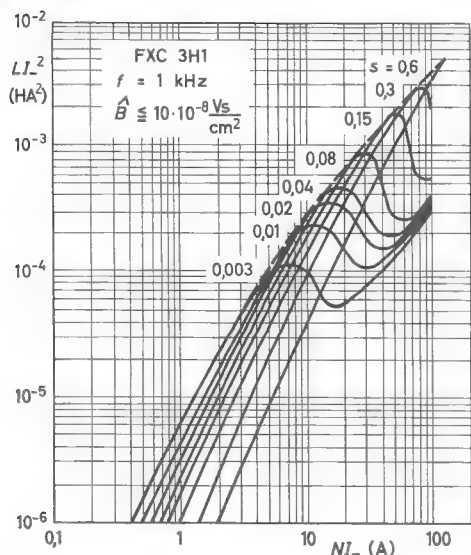


$A_L$  und  $\mu_e$  in Abhängigkeit vom Gesamtluftspalt  $s$

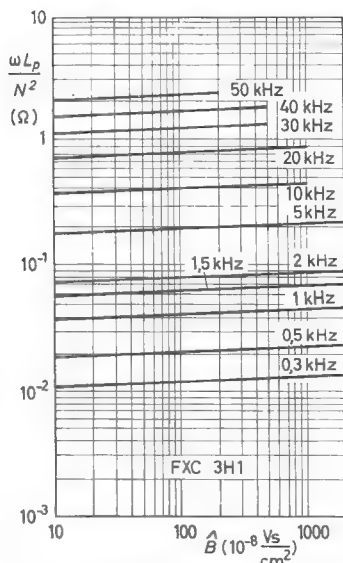


Abhängigkeit der Induktivität bzw. des  $A_L$ -Wertes von der Aussteuerung bei verschiedenen Luftspalten.

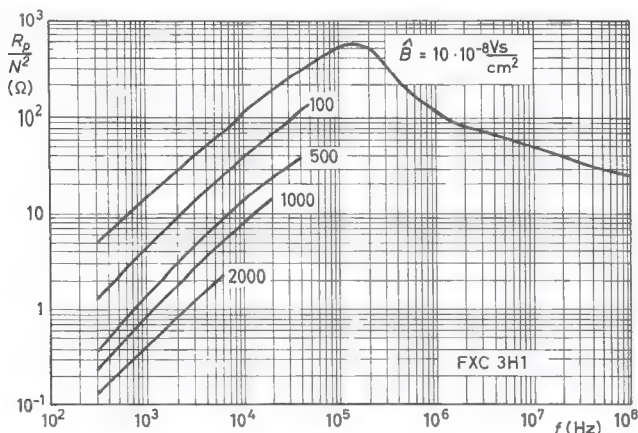




Einfluß der Vormagnetisierung bei verschiedenen Größen des Gesamtluftspaltes  $s$  in mm (Hanna-Kurven)

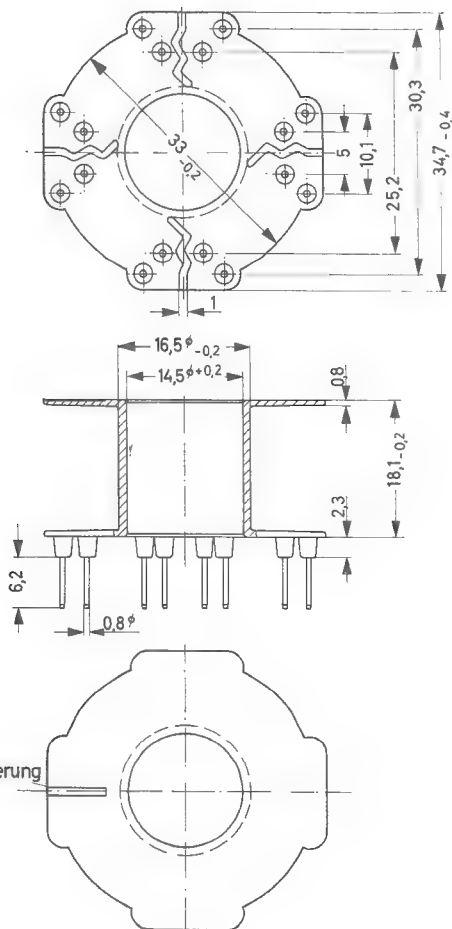


Parallelreaktanzfaktor in Abhängigkeit von der Induktion  $\hat{B}$  bei verschiedenen Frequenzen



Parallelwiderstandsfaktor in Abhängigkeit von der Frequenz bei verschiedenen Induktionen  $\hat{B}$  in  $10^{-8} \frac{\text{Vs}}{\text{cm}^2}$

Spulenkörper P4 057 51



Werkstoff

Polyester mit Glasfaser

Zul. Temperatur

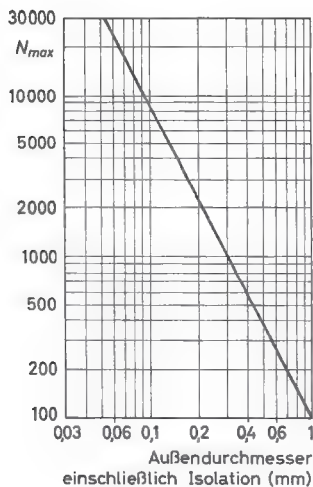
-50 bis +130 °C  
(kurzzeitig bis +280 °C)

Wickelquerschnitt W

1,25 cm<sup>2</sup>

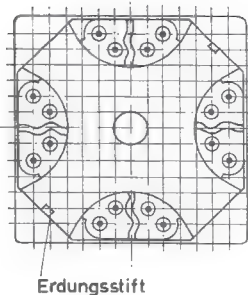
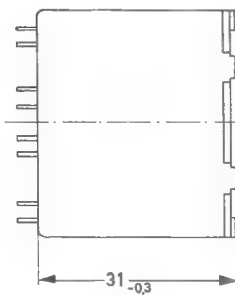
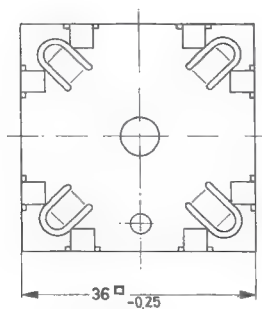
Mittl. Windungslänge l<sub>w</sub>

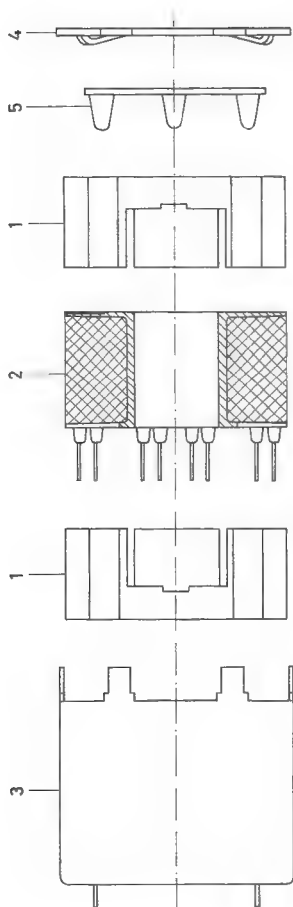
7,6 cm



Maximale Windungszahl als  
Funktion des Draht-Außendurch-  
messers

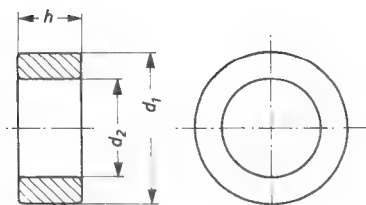
## Halterung





Zusammenstellung aller Zubehörteile

| Teil | Typ          | Bezeichnung    | Stück pro Übertrager | Werkstoff             | Bemerkungen                     |
|------|--------------|----------------|----------------------|-----------------------|---------------------------------|
| 1    | s. Kerntypen | Kreuzkern X 35 | 2                    | FXC 3H1               |                                 |
| 2    | P4 057 51    | Spulenkörper   | 1                    | Preßst., tauchlötfest | 16 Anschlußstifte               |
| 3    | B1 410 55    | Gehäuse        | 1                    | Messing, vernickelt   |                                 |
| 4    | B1 453 50    | Deckel         | 1                    | Phosphorbronze        | mit Federteil                   |
| 5    | P7 050 17    | Druckring      | 1                    | Silikon Gummi         | zum Festlegen des Spulenkörpers |



Ringkerne aus hochpermeablem Ferroxcube 3H1 bzw. 3E1 haben praktisch kein Streufeld. Sie eignen sich daher besonders für den Bau von Übertragern mit hohen Symmetrie-Anforderungen sowie für Breitbandübertrager, Impulsübertrager und für Übertrager mit hoher Induktivität bei kleinstem Volumen sowie für Festwertspeicher. Trotz des geschlossenen magnetischen Kreises sind die Verluste im FXC-Ringkern niedrig.

## Ringkerne aus Ferroxcube 3H1

| Typ  | FXC-Sorte | d <sub>1</sub><br>(mm) | d <sub>2</sub><br>(mm) | h<br>(mm) | l <sub>e</sub><br>(mm) | A <sub>e</sub><br>(cm <sup>2</sup> ) | V <sub>e</sub><br>(cm <sup>3</sup> ) | Gew.<br>(g) | μ <sub>i</sub> |
|--|-----------|------------------------|------------------------|-----------|------------------------|--------------------------------------|--------------------------------------|-------------|----------------|
| K5 283 05<br>...<br>K5 281 85<br>K3 004 95 | 3H1       | 2,0±0,1                | 1,3±0,1                | 0,7±0,1   | 5,11                   | 0,245                                | 1,25                                 | 0,006       | >2000          |
| K5 282 40<br>K3 004 96                     |           | 4,0±0,1                | 2,2±0,1                | 1,1±0,1   | 9,46                   | 0,99                                 | 9,37                                 | 0,05        |                |
| K5 282 45<br>K3 004 97                     |           | 6,0±0,15               | 4,0±0,15               | 2,0±0,1   | 15,5                   | 2,0                                  | 31,0                                 | 0,15        |                |
| K5 283 10<br>K3 004 98                     |           | 9,0±0,2                | 6,0±0,2                | 3,0±0,1   | 23,3                   | 4,5                                  | 105,0                                | 0,5         |                |
| K5 283 00<br>K3 004 99                     |           | 14,0±0,3               | 9,0±0,25               | 5,0±0,15  | 35,5                   | 12,5                                 | 445,0                                | 2,1         |                |
|  |           | 23,0±0,5               | 14,0±0,35              | 7,0±0,2   | 57,0                   | 31,5                                 | 1790,0                               | 8,6         |                |
|  |           |                        |                        |           |                        |                                      |                                      |             |                |

K5 ... .. nicht lackiert

K3 ... .. lackiert



Alle Ringkerne sind auch in lackierter Ausführung lieferbar. Der Kunstharzlacküberzug ist 0,2 bis 0,3 mm dick. Dadurch ist eine Anbringung der Wicklung direkt auf dem Ringkern möglich. Die in der Tabelle angegebenen Abmessungen gelten ohne den Kunststoffüberzug.

Die Farbe des Lackes dient zur Bezeichnung der Permeabilitätstoleranz. Da die Ringkerne nach Permeabilitätsgruppen sortiert werden, müssen wir uns bei Bestellung eines Typs vorbehalten, welche Farben wir liefern. Durch entsprechende Anpassung der Windungszahl an die  $\mu$ -Gruppe bzw. Kennfarbe können Induktivitäten mit enger L-Toleranz hergestellt werden.

## $A_L$ -Werte der $\mu$ -Gruppen

| Gruppe | $\mu_1$   | Farbe   | $A_L$ -Werte (nH) (Mittelwerte) |           |           |           |           |
|--------|-----------|---------|---------------------------------|-----------|-----------|-----------|-----------|
|        |           |         | K3 004 95                       | K3 004 96 | K3 004 97 | K3 004 98 | K3 004 99 |
| 1      | 2000-2200 | braun   | 275                             | 340       | 510       | 926       | 1450      |
| 2      | 2140-2360 | rot     | 294                             | 365       | 544       | 986       | 1560      |
| 3      | 2300-2540 | orange  | 318                             | 394       | 588       | 1068      | 1680      |
| 4      | 2480-2740 | gelb    | 342                             | 424       | 631       | 1150      | 1810      |
| 5      | 2680-2960 | grün    | 372                             | 459       | 685       | 1250      | 1960      |
| 6      | 2900-3210 | blau    | 401                             | 497       | 744       | 1340      | 2120      |
| 7      | 3150-3480 | violett | 435                             | 536       | 796       | 1460      | 2290      |
| 8      | 3420-3780 | grau    | 467                             | 581       | 864       | 1575      | 2470      |
| 9      | 3720-4110 | weiß    | 510                             | 634       | 944       | 1725      | 2710      |
| 10     | >4050     | schwarz | 532                             | 660       | 989       | 1780      | 2820      |

Die Windungszahl ergibt sich aus

$$L = N^2 \cdot A_L \quad \text{in nH} .$$

Für die  $\mu$ -Gruppe 10 (Kennfarbe schwarz) ist keine obere  $\mu$ - bzw.  $A_L$ -Grenze festgelegt. Der angegebene  $A_L$ -Wert ist ein Mindestwert.



## Ringkerne aus FXC 3E1

Die nachstehend aufgeführten Ringkerne haben einen grünen Lacküberzug. Sie werden nicht in  $\mu$ -Gruppen sortiert geliefert.

| Typ       | FXC-Sorte | $d_1$<br>(mm) | $d_2$<br>(mm) | $h$<br>(mm)   | $l_e$<br>(mm) | $A_e$<br>(mm <sup>2</sup> ) | $V_e$<br>(mm <sup>3</sup> ) | Gew.<br>g | $\mu_i$<br>$\pm 20 \%$ | $A_L$<br>(nH) |
|-----------|-----------|---------------|---------------|---------------|---------------|-----------------------------|-----------------------------|-----------|------------------------|---------------|
| K3 005 00 | 3E1       | $36 \pm 0,7$  | $23 \pm 0,5$  | $10 \pm 0,2$  | 92,0          | 65                          | 5600                        | 29        |                        | 2560          |
| K3 005 01 |           | $36 \pm 0,7$  | $23 \pm 0,5$  | $15 \pm 0,2$  | 92,0          | 98                          | 8500                        | 44        | 2700                   | 3860          |
| K3 005 02 |           | $29 \pm 0,5$  | $19 \pm 0,4$  | $7,5 \pm 0,2$ | 75,0          | 38                          | 2580                        | 13        |                        | 1810          |

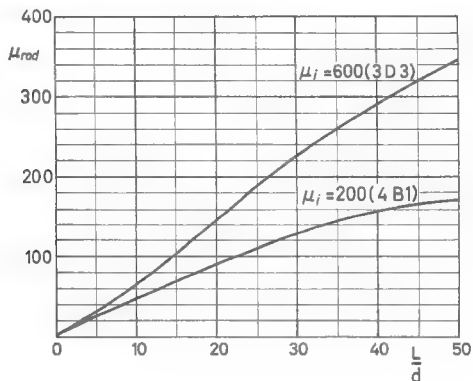
Ringkerne aus anderen FXC-Sorten, z.B. FXC 3E2 und 4C4, auf Anfrage





Ferrit-Antennenstäbe wurden für induktive Empfangsantennen in Rundfunkempfängern entwickelt.

Ferrit-Antennenstäbe werden aus den FERROXCUBE-Sorten 4B1 und 3D3 hergestellt. Infolge der höheren Werkstoffpermeabilität liegt die Empfangsleistung der Stäbe aus FXC 3D3 höher als bei Stäben mit gleichen Abmessungen aus FXC 4B1. Die Empfangsleistung von Ferrit-Antennen steigt mit zunehmender Stablänge. In nachfolgender Abbildung ist die Stabpermeabilität  $\mu_{rod}$  - ein Maß für die Größe der Kon-



zentration des magnetischen Feldes im Stab - in Abhängigkeit vom Verhältnis  $\frac{\text{Stablänge } L}{\text{Stabdurchmesser } d}$  aufgetragen. Danach bringt eine höhere Anfangspermeabilität des Werkstoffes bei größerem Verhältnis  $\frac{L}{d}$  erheblich höhere Empfangsleistung. Das für die Empfangsleistung maßgebende Produkt von effektiver Antennenhöhe  $h$  x Spulengüte  $Q$  ist in der folgenden Gegenüberstellung für FXC 3D3 und FXC 4B1 angegeben. Das ebenfalls aufgeführte Produkt  $h^2 \cdot Q$  ist für Transistorempfänger ein besseres Maß für die Empfangsleistung.

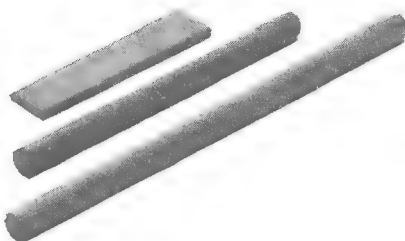
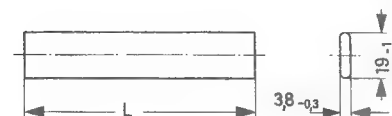
|                         |                   | <u>FERROXCUBE-Sorte</u> |                      |
|-------------------------|-------------------|-------------------------|----------------------|
|                         |                   | 3D3                     | 4B1                  |
| Induktivität L          | ( $\mu\text{H}$ ) | 200                     | 200                  |
| Windungszahl N          |                   | 37                      | 44                   |
| Q bei 1 MHz             |                   | 145                     | 130                  |
| Effektive Höhe h        | (m)               | $8 \cdot 10^{-3}$       | $6,6 \cdot 10^{-3}$  |
| h . Q                   | (m)               | 1,16                    | 0,86                 |
| h <sup>2</sup> . Q      | (m <sup>2</sup> ) | $9,28 \cdot 10^{-3}$    | $5,63 \cdot 10^{-3}$ |
| Signal/Rauschverhältnis |                   | 245                     | 137                  |

Die Gegenüberstellung bezieht sich auf Stäbe von 10 mm  $\phi$  x 200 mm bei einer Frequenz von 1 MHz.

Zur Verringerung von Wirbelstromverlusten haben die Antennenstäbe aus FXC 3D3 Längsschlitze. Infolge der damit verbundenen Querschnittsverringeringung ist die Festigkeit der Stäbe aus FXC 3D3 etwas geringer als bei Stäben aus FXC 4B1. Die Stäbe aus FXC 3D3 sollen daher in jedem Fall an 2 Stellen mittels elastischer Zwischenlage befestigt werden.

Der Temperaturkoeffizient  $TK_L$  von Antennenstäben aus FXC 3D3 liegt bei ca. + 100 bis + 150  $\cdot 10^{-6}/\text{grd}$  und ist damit nur halb so groß wie bei FXC 4B1. Diese Angaben sind auf eine Stablänge von 200 mm und den üblichen einlagigen Spulenaufbau bezogen.

Antennenstäbe aus FXC 3D3 und FXC 4B1 eignen sich für Frequenzen bis etwa 1,6 MHz, darüber nehmen die Verluste stärker zu. Für höhere Frequenzen sind Stäbe aus FXC 4C3 lieferbar, die bis etwa 20 MHz eingesetzt werden können.



Werkstoff: FXC 4B1

| Typ       | Form  | Durchmesser d<br>(mm) | Länge L +)<br>(mm) |
|-----------|-------|-----------------------|--------------------|
| VK 206 21 | rund  | 8 - 0,4               | 130 ±2             |
| VK 206 06 | "     | 8 - 0,4               | 140 ±2             |
| VK 206 12 | "     | 10 - 0,4              | 140 ±2             |
| VK 206 10 | "     | 10 - 0,4              | 170 ±2             |
| VK 206 11 | "     | 10 - 0,4              | 200 ±3             |
| VK 206 20 | "     | 10 - 0,4              | 240 ±4             |
| K5 120 15 | flach | (s. Zeichnung)        | 75 -3              |

Der Richtwert des Temperaturkoeffizienten  $TK_L$  beträgt in normalen Spulen 150 bis 300 · 10<sup>-6</sup>/grd.

+ ) Längentoleranzen auch nach DIN 41 291 Blatt 1 lieferbar.



Bild 1

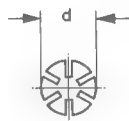
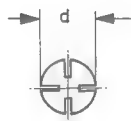


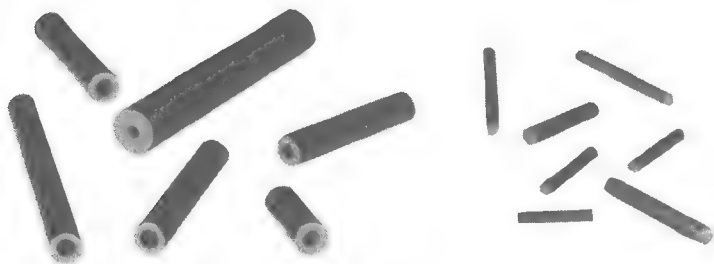
Bild 2



Werkstoff FXC 3D3

| Typ       | Durchmesser d<br>(mm) | Länge L <sup>+</sup><br>(mm) | Anzahl der<br>Längsrillen | Bild |
|-----------|-----------------------|------------------------------|---------------------------|------|
| FC 712 32 | 8 - 0,4               | 140 ±2                       | 4                         | 2    |
| FC 712 33 | 10 - 0,4              | 140 ±2                       | 6                         | 1    |
| FC 712 34 | 10 - 0,4              | 160 ±2                       | 6                         | 1    |
| FC 712 35 | 10 - 0,4              | 170 ±2                       | 6                         | 1    |
| FC 712 36 | 10 - 0,4              | 200 ±3                       | 6                         | 1    |
| FC 712 37 | 10 - 0,4              | 240 ±4                       | 6                         | 1    |

<sup>+</sup>) Längentoleranzen auch nach DIN 41 291 Blatt 1 lieferbar.



FERROXCUBE-Rohr- und Stiftkerne werden vorwiegend aus dem Material FXC 3D3 hergestellt. Sie ermöglichen die Fertigung von HF-Spulen mit hoher Güte, kleinem Aufbau und großem Abgleichbereich. Wegen ihrer Permeabilität und Güte sind sie als Kernmaterial für Variometer im Rundfunkwellenbereich besonders geeignet.

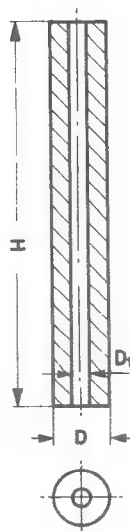
Die Toleranz der wirksamen Permeabilität  $\mu_w = \frac{L}{L_0}$  beträgt für alle Typen  $\pm 3$  oder  $\pm 5$  % in vorgegebener Meßspule. Für die Güte können bei einer festgelegten Frequenz ebenfalls Garantiewerte gegeben werden.

FERROXCUBE-Rohrkern aus 3B und 4B1 werden in zunehmendem Maße für Dämpfungszwecke verwendet. Sie bewirken - über den Leiter geschoben - infolge des starken Anstiegs der Restverluste mit der Frequenz eine Breitbanddämpfung im Bereich von 10 MHz bis zu einigen 100 MHz (s. auch Dämpfungs-Perlen).

Außer den angegebenen Typen fertigen wir auf Wunsch auch andere Abmessungen aus allen FERROXCUBE-Sorten bei Bestellung entsprechender Stückzahlen.

## Rohrkerne

| D        | D <sub>1</sub><br>mm | H       | Typ       |
|----------|----------------------|---------|-----------|
| 4,1 +0,1 | 2 +0,2               | 7 ±0,2  | VK 212 00 |
| 4,1 +0,1 | 2 +0,2               | 11 ±0,2 | VK 212 20 |
| 4,1 +0,1 | 2 +0,2               | 15 ±0,2 | VK 210 11 |
| 4,1 +0,1 | 2 +0,2               | 20 ±0,2 | VK 210 05 |
| 4,1 +0,1 | 2 +0,2               | 23 ±0,5 | VK 212 09 |
| 4,1 +0,1 | 2 +0,2               | 25 ±0,5 | VK 212 03 |
| 4,1 +0,3 | 2 +0,2               | 30 ±0,5 | VK 210 38 |
| 4,1 +0,2 | 2 +0,2               | 40 ±0,5 | VK 210 04 |
| 4,1 +0,2 | 2 +0,2               | 50 ±1,0 | VK 210 24 |
| 6,0 -1,0 | 1,5 +0,3             | 30 ±1   | VK 211 08 |
| 6,0 ±0,1 | 1,5 ±0,3             | 38 ±1   | VK 211 04 |
| 6,0 -0,1 | 1,3 +0,3             | 46 ±0,5 | VK 211 11 |



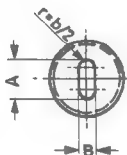
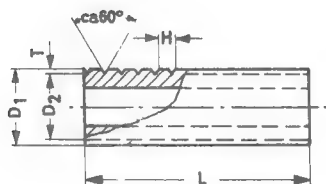
## Stiftkerne

| D<br>mm   | H       | Typ           | bevorzugte<br>Anwendung                                   |
|-----------|---------|---------------|---|
| 1,6 +0,05 | 9 ±0,2  | VK 207 05/3D3 | in AM-<br>Bandfiltern<br>und<br>Mittelwell-<br>lenkreisen |
| 1,6 +0,05 | 12 ±0,2 | VK 207 06/3D3 |   |
| 2,3 -0,05 | 12 ±0,5 | VK 207 14/3D3 |   |
| 2,3 -0,05 | 18 ±0,5 | VK 207 41/3D3 |   |
| 3,5 -0,05 | 13 ±0,5 | VK 205 23/3B  |   |
| 1,55 +0,2 | 14 ±0,2 | VK 205 07/3B  | für Kopp-<br>lungs- und<br>Abschirm-<br>zwecke            |
| 1,55 +0,2 | 17 ±0,5 | VK 205 27/3B  |   |
| 1,55 +0,2 | 20 ±0,2 | VK 205 28/3B  |   |
| 1,55 +0,2 | 23 ±1,0 | VK 205 02/3B  |   |
| 1,55 +0,2 | 30 ±0,5 | VK 205 10/3B  |   |





## Schraubkerne aus FXC 3 D 3 mit Führungsgewinde



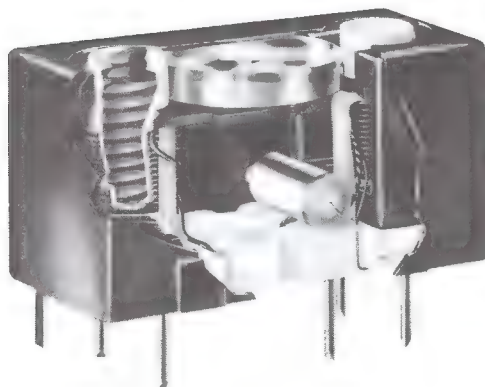
FXC-Schraubkerne sind für den Güteabgleich in Filtern und abstimmbaren HF-Spulen bestimmt. Ihre Verwendung ergibt eine überdurchschnittliche Einstellgenauigkeit und infolge ihrer hohen Permeabilität einen großen Abgleichbereich. Die Permeabilitätstoleranz beträgt für listenmäßige Schraubkerne  $\pm 3\%$  oder  $\pm 5\%$  der wirksamen Permeabilität.

Die Gewindedurchmesser entsprechen DIN 41 286, Ausgabe März 59, Ausführung B. Das Gewinde wird in die gesinterten Kerne eingeschliffen.

Die Abmessungen der Schraubkerne sind für die Verwendung einer Kernbremse (elastische Einlage aus Schaumstoff, Gummi oder Kunststoff-Folie) zwischen Muttergewinde und Schraubkern bemessen.

| Passend für<br>Muttergewinde<br>nach DIN 13,<br>517, 518, 519 | Typ       | $D_1$      | $D_2$ | $L$<br>mm    | A        | B        |
|---|-----------|------------|-------|--------------|----------|----------|
| M4 x 0,5  | VK 221 37 | 3,65 +0,05 | <3,25 | 12 $\pm$ 0,3 | 1,5 +0,2 | 0,6 +0,2 |
| M5 x 0,75   | VK 221 38 | 4,55 +0,05 | <3,9  | 12 $\pm$ 0,3 | 2,0 +0,3 | 0,7 +0,2 |
| M6 x 0,75   | VK 221 39 | 5,55 +0,05 | <4,9  | 13 $\pm$ 0,3 | 2,5 +0,3 | 1,0 +0,2 |
| M6 x 0,75   | VK 221 40 | 5,55 +0,05 | <4,9  | 25 $\pm$ 0,5 | 2,5 +0,3 | 1,0 +0,2 |
| M7 x 1  | VK 221 41 | 6,45 +0,05 | <5,55 | 12 $\pm$ 0,3 | 3,0 +0,3 | 1,2 +0,2 |
| M7 x 1  | VK 221 42 | 6,45 +0,05 | <5,55 | 18 $\pm$ 0,5 | 3,0 +0,3 | 1,2 +0,2 |
| M8 x 0,75   | VK 221 43 | 7,55 +0,05 | <6,9  | 16 $\pm$ 0,5 | 3,5 +0,3 | 1,2 +0,2 |
| M8 x 1,25   | VK 221 44 | 7,35 +0,05 | <6,2  | 16 $\pm$ 0,5 | 3,5 +0,3 | 1,2 +0,2 |
| M8 x 1,25   | VK 221 45 | 7,35 +0,05 | <6,2  | 25 $\pm$ 0,5 | 3,5 +0,3 | 1,2 +0,2 |

Bei Abnahme großer Stückzahlen können Kerne mit anderen Längen, Außendurchmessern und Steigungen gefertigt werden. Die Außendurchmessertoleranz beträgt in jedem Falle +0,05 mm.



Bei der Entwicklung dieser Bausätze wurde außer auf gute elektrische Eigenschaften besonders auf einfachen Aufbau und damit rationelle Verarbeitung Wert gelegt. Diese Einzelkreise und Bandfilter bestehen aus den gleichen Grundelementen, nämlich:

- Rahmenkern
- Gewindekern
- Spulenkörper
- Gehäuse

Sie sind für die Verwendung in gedruckten Schaltungen vorgesehen. Die Anschlußstifte sind im Rastermaß angeordnet. Aufgrund der geringen Abmessungen von nur 13 x 13 x 15 mm der Einzelkreise und 13 x 25 x 15 mm der Bandfilter eignen sich diese Bauteile besonders für den Einbau in Transistorgeräte.

Der wesentliche Vorteil der Bandfilter besteht darin, daß die Kopplung eines bereits fertigmontierten Filters durch Verdrehen (Schraubenziehereinstellung) des Koppelstiftes in bestimmten Grenzen variiert werden kann.



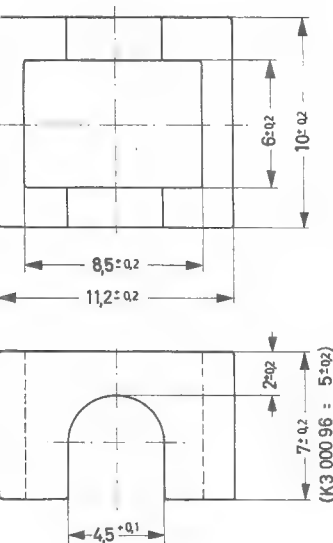


# Einzelkreise und ZF-Bandfilter Rahmenkerne, Gewindekerne

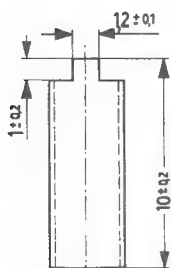
Rahmen- und Gewindekern bestehen je nach Frequenzbereich aus verschiedenen FERROXCUBE-Sorten.

Folgende Typen stehen zur Verfügung:

## Rahmenkerne



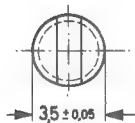
| Typ       | Material | Frequenzbereich | Kennfarbe  |
|-----------|----------|-----------------|------------|
| K3 000 93 | FXC 3B   | bis 600 kHz     | farblos    |
| K3 000 94 | FXC 4B1  | bis 2 MHz       | dunkelgrün |
| K3 000 95 | FXC 4D1  | bis 12 MHz      | hellblau   |
| K3 000 96 | FXC 4D1  | bis 12 MHz      | hellblau   |



## Gewindekerne

| Typ       | Material | Frequenzbereich |
|-----------|----------|-----------------|
| K5 120 00 | FXC 3B   | bis 600 kHz     |
| K5 120 01 | FXC 4B1  | bis 2 MHz       |
| K5 120 02 | FXC 4D1  | bis 12 MHz      |

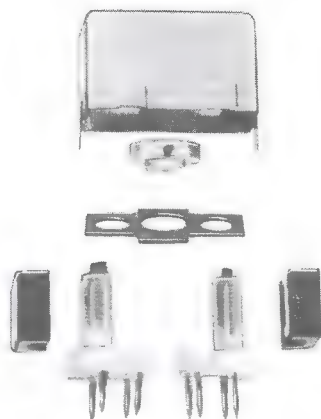
## Gewindekerne mit beidseitigen Abgleichstegen



| Typ            | Material | Frequenzbereich |
|----------------|----------|-----------------|
| 4322 020 32250 | FXC 3B   | bis 600 kHz     |
| 4322 020 32260 | FXC 4D1  | bis 12 MHz      |



Einzelkreis



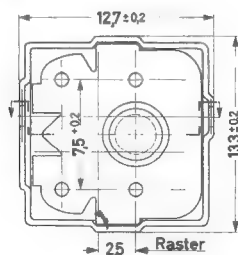
Bandfilter

Aus den unter „Zusammenstellung aller Zubehöerteile“ aufgeführten Teilen lassen sich die nachfolgend beschriebenen Bausätze, entsprechend den jeweiligen Erfordernissen, zusammenstellen.

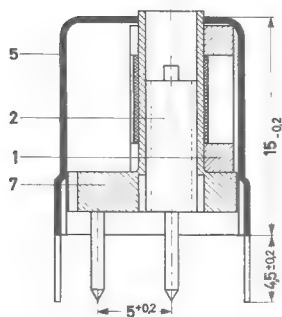
Der Spulenkörper mit Wicklung und Gewindekern steckt in einer Aussparung des Rahmenkernes, der den Spulenkörper umschließt. Der Zusammenbau erfolgt durch einfaches Ineinanderstecken der Einzelteile, die durch die übergeschobene Gehäusekappe zusammengehalten werden (s. obiges Foto). Die Kappe wird durch Umbörteln an zwei bzw. vier Punkten mit dem Spulenkörper verbunden. In dem Gehäuse ist Platz für einen bzw. zwei Kleinkondensatoren von 4 mm  $\varnothing$  x 10 mm. Die FXC-Teile sind auch ohne Zubehör lieferbar.

### Zusammenstellung aller Zubehöerteile

| Teil | Typ             | Bezeichnung                            | Werkstoff       |
|------|-----------------|--|-----------------|
| 1    | s. Rahmenkerne  | Rahmenkern                             | s. Rahmenkerne  |
| 2    | s. Gewindekerne | Gewindekern                            | s. Gewindekerne |
| 3    | 56 680 49       | Koppelstift 1,55 $\varnothing$ x 10 mm | FXC 3B          |
| 4    | P5 533 69       | Halterung für Koppelstift              | Kunststoff      |
| 5    | A3 094 13       | Gehäuse für Einzelkreis                | Kupfer          |
| 6    | A3 822 26       | Gehäuse für Bandfilter                 | Kupfer          |
| 7    | A3 960 43       | Spulenkörper 4 Lötstifte               | Kunststoff      |
| 8    | A3 532 07       | Abstandsplatte                         | Hartpapier      |
| 9    | P5 533 86       | Block                                  | Kunststoff      |



Einzelkreis mit Rahmenkern  
und Halterung



Die Gütekurven - Güte  $Q$  in Abhängigkeit von der Frequenz bzw. von der Induktivität - für die Einzelkreis-Bausätze sind auf den folgenden Seiten dargestellt. Mit HF-Litze (CuLS bzw. CuL) von 0,03 mm  $\varnothing$  pro Einzelader werden durchweg höhere Gütewerte erreicht als mit HF-Litze von 0,04 mm  $\varnothing$  pro Einzelader. Diesem Vorteil steht allerdings die schwierigere Verarbeitbarkeit der Litze von 0,03 mm  $\varnothing$  pro Einzelader entgegen.

Die Gütemessungen erfolgten bei Gewindekernstellungen, die einen Abgleichbereich der Induktivität von  $\pm 20\%$  ermöglichen.

Die Induktion im Kern der Spule ist gering, so daß Verzerrungen auch bei den HF-Spannungen im letzten ZF-Kreis vernachlässigbar klein bleiben.

Die Wickelkurven - Induktivität  $L$  in Abhängigkeit von der Windungszahl  $N$  - sind für Einzelkreise und Bandfilter identisch. Sie sind im Anschluß an die Gütekurven bei den ZF-Bandfiltern angegeben.

Bausatz EZ für Frequenzen bis 600 kHz,

z. B. als AM-ZF-Kreis und LW-Vor- und Oszillatorkreis

| Teil | Typ       | Bezeichnung              | Material   | Anzahl |
|------|-----------|--------------------------|------------|--------|
| 1    | K3 000 93 | Rahmenkern               | FXC 3B     | 1      |
| 2    | K5 120 00 | Gewindekern              | FXC 3B     | 1      |
| 5    | A3 094 13 | Gehäuse f. Einzelkreis   | Kupfer     | 1      |
| 7    | A3 960 43 | Spulenkörper 4 Lötstifte | Kunststoff | 1      |

Bausatz EO für Frequenzen bis 2 MHz,

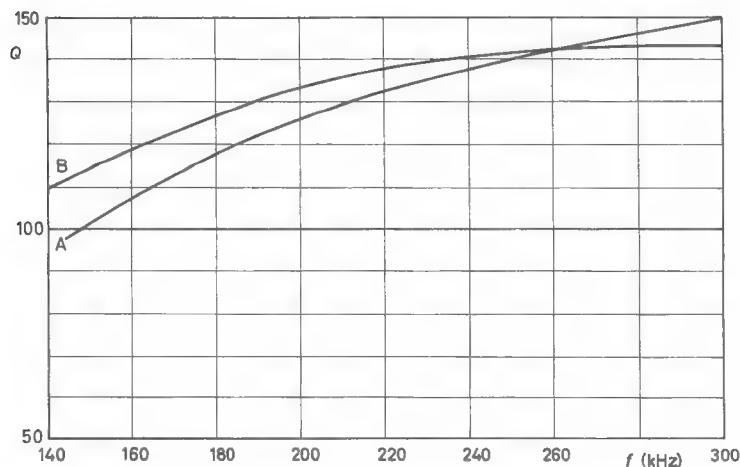
z. B. als MW-Vor- und Oszillatorkreis

| Teil | Typ       | Bezeichnung              | Material   | Anzahl |
|------|-----------|--------------------------|------------|--------|
| 1    | K3 000 94 | Rahmenkern               | FXC 4B1    | 1      |
| 2    | K5 120 01 | Gewindekern              | FXC 4B1    | 1      |
| 5    | A3 094 13 | Gehäuse f. Einzelkreis   | Kupfer     | 1      |
| 7    | A3 960 43 | Spulenkörper 4 Lötstifte | Kunststoff | 1      |

Bausatz EU für Frequenzen bis 12 MHz,

z. B. als FM-ZF-Kreis und KW-Vor- und Oszillatorkreis

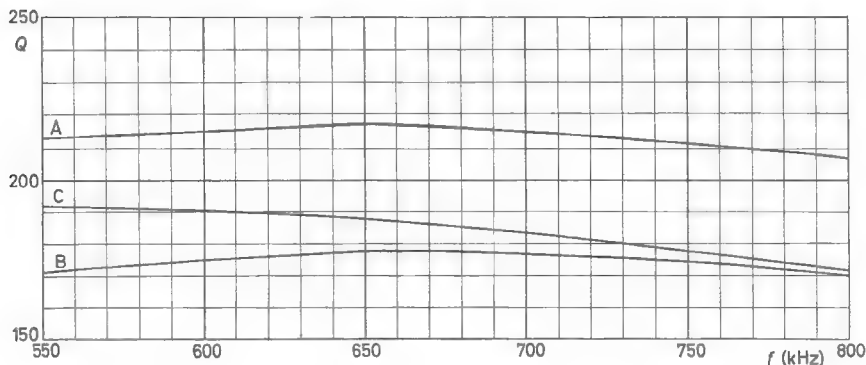
| Teil | Typ       | Bezeichnung              | Material   | Anzahl |
|------|-----------|--------------------------|------------|--------|
| 1    | K3 000 95 | Rahmenkern               | FXC 4D1    | 1      |
| 2    | K5 120 02 | Gewindekern              | FXC 4D1    | 1      |
| 5    | A3 094 13 | Gehäuse f. Einzelkreis   | Kupfer     | 1      |
| 7    | A3 960 43 | Spulenkörper 4 Lötstifte | Kunststoff | 1      |



Einzelkreis für LW-Vorkreis

Rahmen- und Gewindekern aus FXC 3B

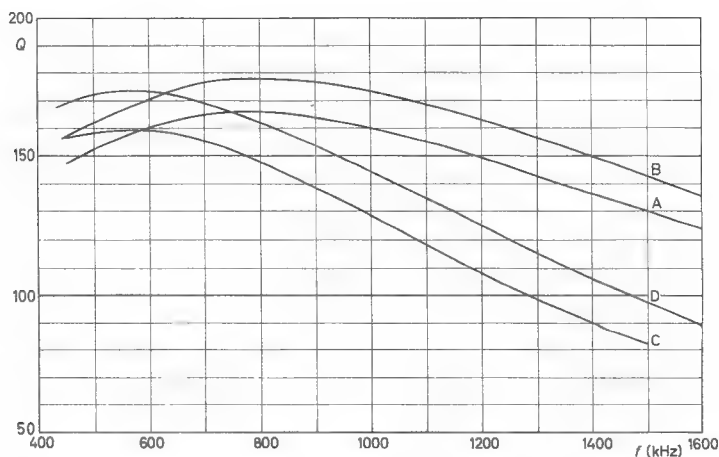
Kreuz-Wicklung      A :  $L = 4,44 \text{ mH}$ , 450 Wdgn.  $5 \times 0,03 \text{ CuLS}$   
                              B :  $L = 5,24 \text{ mH}$ , 500 Wdgn.  $5 \times 0,04 \text{ CuL}$



Einzelkreis für LW-Oszillatorkreis

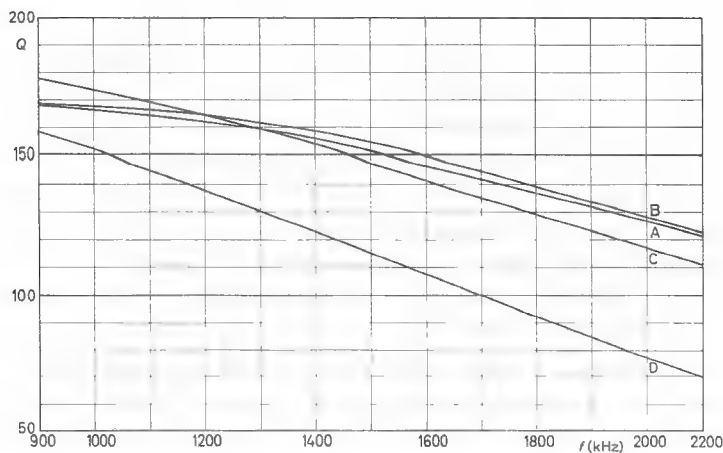
Rahmen- und Gewindekern aus FXC 3B

Kreuz-Wicklung      A :  $L = 321 \text{ } \mu\text{H}$ , 120 Wdgn.  $24 \times 0,03 \text{ CuLS}$   
                              B :  $L = 652 \text{ } \mu\text{H}$ , 170 Wdgn.  $10 \times 0,03 \text{ CuLS}$   
                              C :  $L = 490 \text{ } \mu\text{H}$ , 150 Wdgn.  $12 \times 0,04 \text{ CuLS}$



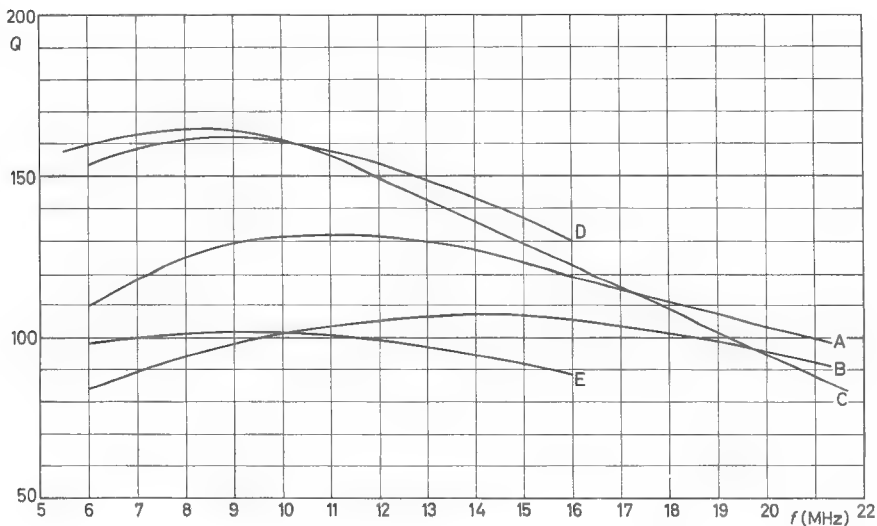
Einzelkreis für MW-Vorkreis; Rahmen- und Gewindekern aus FXC 4B1

|                |     |                  |           |                |
|----------------|-----|------------------|-----------|----------------|
| Kreuz-Wicklung | A : | L = 252 $\mu$ H, | 110 Wdgn. | 12 x 0,04 CuLS |
|                | B : | L = 264 $\mu$ H, | 110 Wdgn. | 24 x 0,03 CuLS |
|                | C : | L = 480 $\mu$ H, | 150 Wdgn. | 12 x 0,04 CuLS |
|                | D : | L = 560 $\mu$ H, | 160 Wdgn. | 24 x 0,03 CuLS |



Einzelkreis für MW-Oszillatorkreis; Rahmen- und Gewindekern aus FXC 4B

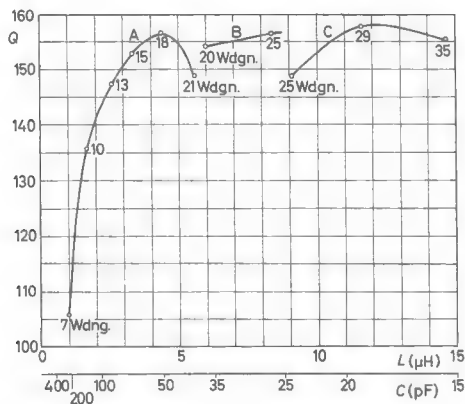
|                |     |                  |           |                |
|----------------|-----|------------------|-----------|----------------|
| Kreuz-Wicklung | A : | L = 142 $\mu$ H, | 80 Wdgn.  | 16 x 0,04 CuLS |
|                | B : | L = 143 $\mu$ H, | 80 Wdgn.  | 24 x 0,03 CuLS |
|                | C : | L = 222 $\mu$ H, | 100 Wdgn. | 24 x 0,03 CuLS |
|                | D : | L = 358 $\mu$ H, | 130 Wdgn. | 12 x 0,04 CuLS |



Einzelkreis für KW- Vor- und Oszillatorkreis

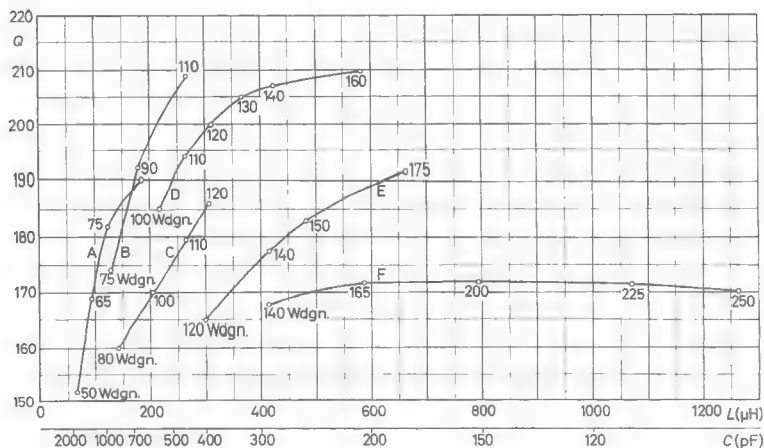
Rahmen- und Gewindekern aus FXC 4D 1

|                       |     |                   |          |                |
|-----------------------|-----|-------------------|----------|----------------|
| Enge Einlagenwicklung | A : | L = 3,55 $\mu$ H, | 15 Wdgn. | 8 x 0,04 CuLS  |
|                       | B : | L = 3,56 $\mu$ H, | 15 Wdgn. | 0,12 CuLS      |
|                       | C : | L = 4,40 $\mu$ H, | 18 Wdgn. | 24 x 0,03 CuLS |
|                       | D : | L = 8,56 $\mu$ H, | 25 Wdgn. | 10 x 0,03 CuLS |
|                       | E : | L = 9,60 $\mu$ H, | 25 Wdgn. | 0,08 CuL       |



FM-Einzelkreis für 10,7 MHz; Rahmen- und Gewindekern aus FXC 4D1

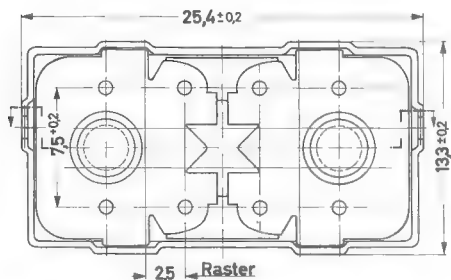
Enge Einlagenwicklung  
 A : 24 x 0,03 CuLS  
 B : 10 x 0,03 CuLS  
 C : 5 x 0,03 CuLS



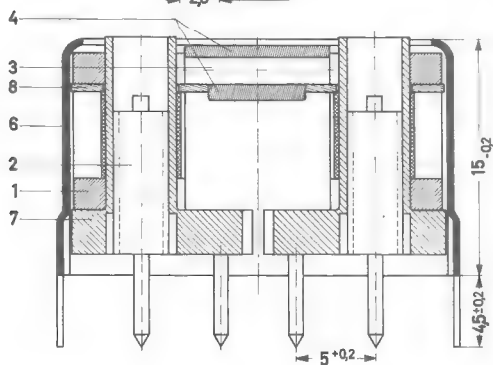
AM-Einzelkreis für 460 kHz; Rahmen- und Gewindekern aus FXC 3B

Kreuz-Wicklung  
 A : 24 x 0,04 CuLS  
 B : 36 x 0,03 CuLS  
 C : 16 x 0,04 CuLS  
 D : 24 x 0,03 CuLS  
 E : 18 x 0,04 CuLS  
 F : 8 x 0,04 CuL





ZF-Bandfilter mit Halterung  
und einstellbarer Kopplung



Die Gütekurven von Bandfiltern für die Zwischenfrequenzen befinden sich auf der übernächsten Seite.

Für die ZF-Kreise wird die Güte in Abhängigkeit von der Induktivität  $L$  aufgetragen. Die zugehörige Kreiskapazität ist gleichfalls aufgetragen. Die in jeder Kurve angegebenen größten Windungszahlen stellen das Maximum an Windungszahlen für die betreffende Litze bei dem verfügbaren Wickelraum dar. So können auf einem Spulenkörper bei dem AM-Bandfilter z.B. höchstens 175 Windungen  $12 \times 0,04$  CuLS untergebracht werden.

Für weitere Anwendungsfälle sind Rahmen- und Gewindekerne aus anderen FERROXCUBE-Sorten auf Anfrage lieferbar.

Bausatz BZ für Frequenzen bis 600 kHz, z.B. in AM-ZF-Kreisen

| Teil | Typ       | Bezeichnung              | Material   | Anzahl |
|------|-----------|--------------------------|------------|--------|
| 1    | K3 000 93 | Rahmenkern               | FXC 3B     | 2      |
| 2    | K5 120 00 | Gewindekern              | FXC 3B     | 2      |
| 3    | 56 680 49 | Koppelstift              | FXC 3B     | 1      |
| 4    | P5 533 69 | Halterung f. Koppelstift | Kunststoff | 1      |
| 6    | A3 822 26 | Gehäuse f. Bandfilter    | Kupfer     | 1      |
| 7    | A3 960 43 | Spulenkörper 4 Lötstifte | Kunststoff | 2      |
| 8    | A3 532 07 | Abstandsplatte           | Hartpapier | 1      |

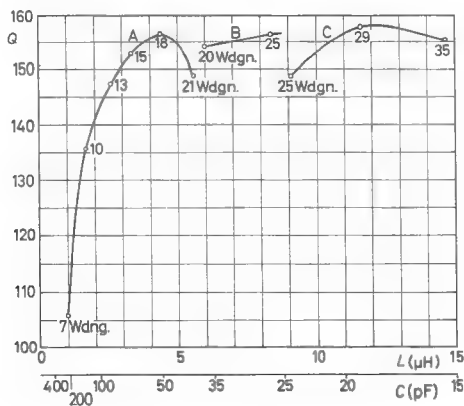
Bausatz BU für Frequenzen bis 12 MHz, z.B. in FM-ZF-Kreisen

| Teil | Typ       | Bezeichnung              | Material   | Anzahl |
|------|-----------|--------------------------|------------|--------|
| 1    | K3 000 95 | Rahmenkern               | FXC 4D1    | 2      |
| 2    | K5 120 02 | Gewindekern              | FXC 4D1    | 2      |
| 3    | 56 680 49 | Koppelstift              | FXC 3B     | 1      |
| 4    | P5 533 69 | Halterung f. Koppelstift | Kunststoff | 1      |
| 6    | A3 822 26 | Gehäuse f. Bandfilter    | Kupfer     | 1      |
| 7    | A3 960 43 | Spulenkörper 4 Lötstifte | Kunststoff | 2      |
| 8    | A3 532 07 | Abstandsplatte           | Hartpapier | 1      |



## ZF-Bandfilter-Bausätze

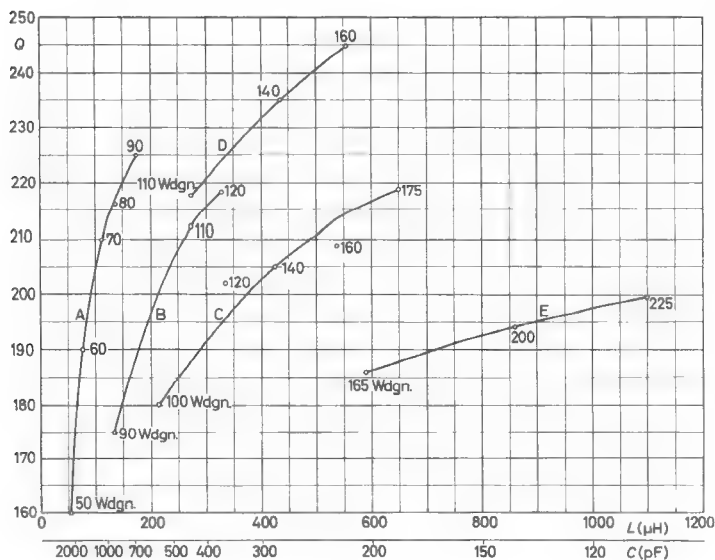
### Gütekurven



FM-ZF-Bandfilter für 10,7 MHz; Rahmen- und Gewindekern aus FXC 4D1

Enge Einlagenwicklung A : 24 x 0,03 CuLS C : 5 x 0,03 CuLS

B : 10 x 0,03 CuLS



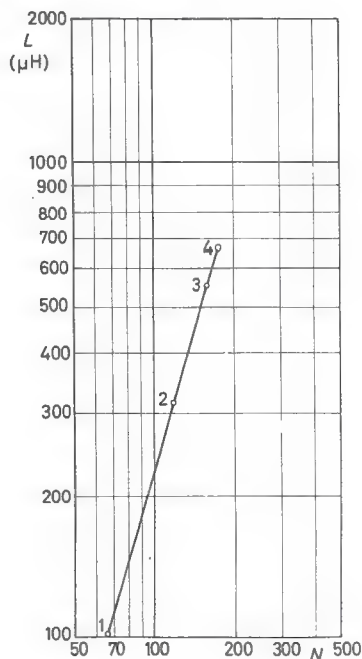
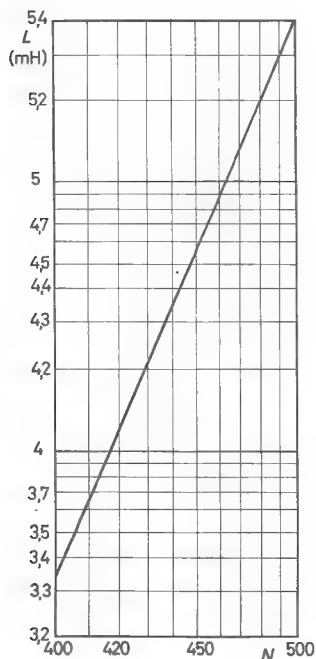
AM-Bandfilter für 460 kHz; Rahmen- und Gewindekern aus FXC 3B

Kreuz-Wicklung

A : 24 x 0,04 CuLS D : 24 x 0,03 CuLS

B : 16 x 0,04 CuLS E : 8 x 0,04 CuLS

C : 12 x 0,04 CuLS



Einzelkreis für LW-Vorkreis

MW-Vor- und Oszillatorkreis und  
LW-Oszillatorkreis

Wickelkurve für Kreuz-Wicklung

Wickelkurve für Kreuz-Wicklung

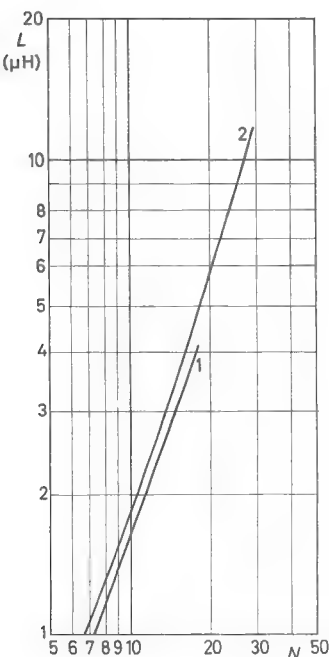
5 x 0,04 CuLS  
und 4 x 0,04 CuLS

1 - 2: 16 x 0,04 CuLS  
1 - 3: 24 x 0,03 CuLS  
1 - 4: 12 x 0,04 CuLS



# ZF-Bandfilter-Bausätze

## Wickelkurven

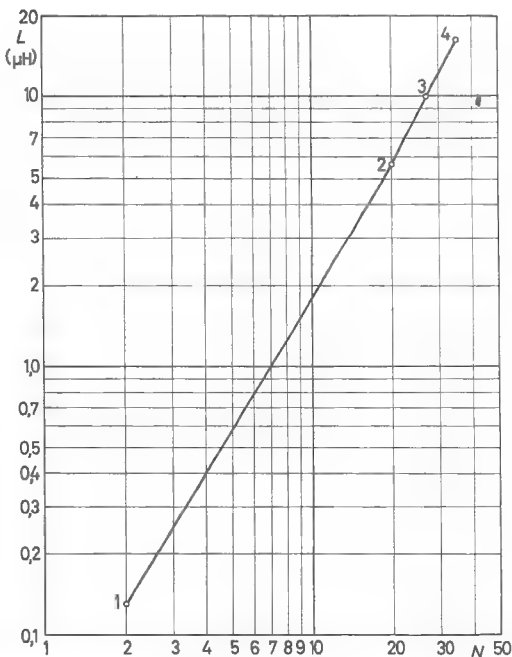


Einzelkreis für KW-Vor- und  
Oszillatorkreis

Wickelkurven f. Einlagenwicklung

Kurve 1: 24 x 0,04 CuLS

Kurve 2: 5 x 0,04 CuLS



FM-Einzelkreis und FM-ZF-Bandfilter

$f = 10,7 \text{ MHz}$

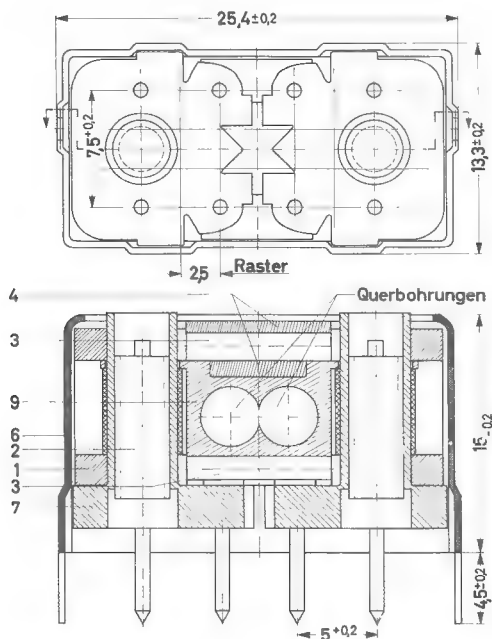
Wickelkurve f. Einlagenwicklung

1 - 2: 24 x 0,03 CuLS

2 - 3: 10 x 0,03 CuLS

3 - 4: 5 x 0,03 CuLS

Außer den vorgenannten Bausätzen ist ein Ratio-Filter-Bausatz lieferbar. Die bei diesem Filter erforderliche höhere Kopplung wird durch Verwendung von zwei Koppelstiften erreicht. Der zweite Koppelstift wird in die unten befindliche Längsnut des Blockes (P5 533 86) eingeklebt, er ist also nicht einstellbar. Zwei Querbohrungen dienen zur Aufnahme der Parallelkapazitäten (s. Maßbild).

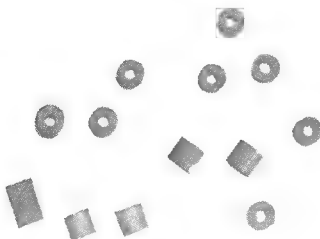
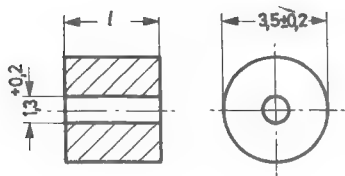


Ratio-Filter mit  
Halterung und ein-  
stellbarer Kopplung

## Bausatz RF

für Frequenzen bis  
12 MHz, z.B. als  
Ratio-Detektor

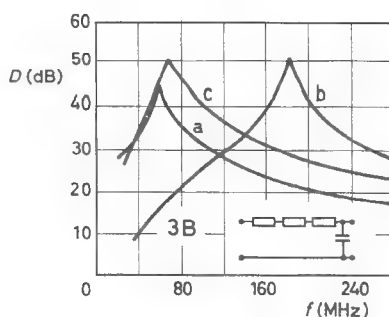
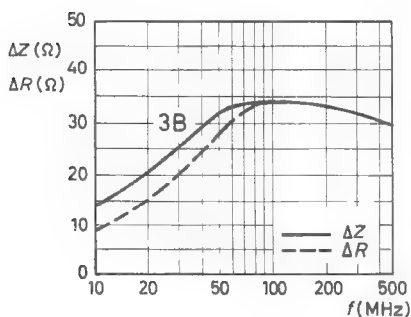
| Teil | Typ       | Bezeichnung              | Material   | Anzahl |
|------|-----------|--------------------------|------------|--------|
| 1    | K3 000 96 | Rahmenkern               | FXC 4D1    | 2      |
| 2    | K5 120 02 | Gewindekern              | FXC 4D1    | 2      |
| 3    | 56 680 49 | Koppelstift              | FXC 3B     | 2      |
| 4    | P5 533 69 | Halterung f. Koppelstift | Kunststoff | 1      |
| 6    | A3 822 26 | Gehäuse f. Bandfilter    | Kupfer     | 1      |
| 7    | A3 960 43 | Spulenkörper 4 Lötstifte | Kunststoff | 2      |
| 9    | P5 533 86 | Block                    | Kunststoff | 1      |



FERROXCUBE-Dämpfungsperlen sind geeignet für den Frequenzbereich von Kurzwellen bis über den Fernsehbereich hinaus.

Die Perlen werden über den Leiter geschoben; der Dämpfungsanstieg wächst linear mit der Anzahl der Perlen.

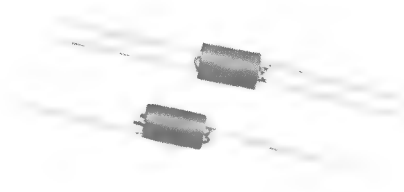
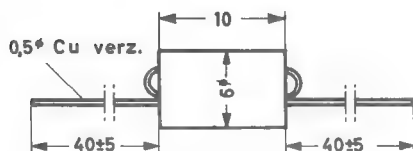
| Typ       | Länge l (mm) | Material      |
|-----------|--------------|---------------|
| VK 210 28 | 3            | FERROXCUBE 3B |
| VK 210 29 | 5            | FERROXCUBE 3B |



Schein- und Wirkwiderstandserhöhung, Perle VK 210 28 über einem Leiter.

Dämpfungsverlauf bei 3 FXC-Perlen VK 210 28 und zusätzlichem keramischen Kondensator.

- a. C = 1500 pF Rohrcondensator
- b. C = 190 pF Rohrcondensator
- c. C = 1500 pF Scheibencondens.

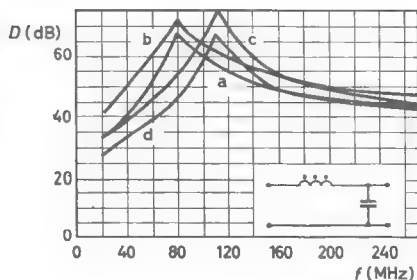
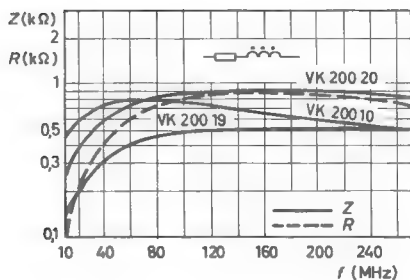


Breitband-Drosselspulen werden aus FERROXCUBE 3 bzw. FERROXCUBE 4 hergestellt und sind mit sechs axialen Löchern versehen, durch die 1,5; 2,5 oder 2x 1,5 Windungen aus verzinnem Kupferdraht gezogen sind.

Sie finden Verwendung zur Störstrahlungsverminderung von UKW-Rundfunk- und Fernsehempfängern, Motoren, Zerkhackern, Zündanlagen u.ä., sowie zur Vermeidung von unerwünschten Kopplungen in UKW-Schaltungen.

| Typ       | Material | Windungs-<br>zahl | $Z_{\max}$<br>$\pm 20 \%$<br>k $\Omega$ | $f_{Z \max}$<br>MHz | Scheinwiderstandsab-<br>fall |                      |
|-----------|----------|-------------------|---|---------------------|------------------------------|----------------------|
|           |          |                   |   |                     | MHz                          | dB                   |
| VK 200 09 | FXC 3B   | 1,5               | 0,35                                    | ~120                | 10...300                     | $\leq 7$             |
| VK 200 19 | FXC 4B1  | 1,5               | 0,45                                    | ~250                | 80...300                     | $\leq 3$             |
| VK 200 10 | FXC 3B   | 2,5               | 0,75                                    | 50                  | 10...220<br>30...100         | $\leq 7$<br>$\leq 3$ |
| VK 200 20 | FXC 4B1  | 2,5               | 0,85                                    | 180                 | 50...300<br>80...220         | $\leq 6$<br>$\leq 3$ |
| VK 200 11 | FXC 3B   | 2x 1,5            | 0,9                                     | 50                  | 10...220<br>30...100         | $\leq 7$<br>$\leq 3$ |
| VK 200 21 | FXC 4B1  | 2x 1,5            | 1                                       | 110                 | 50...300<br>80...220         | $\leq 7$<br>$\leq 3$ |

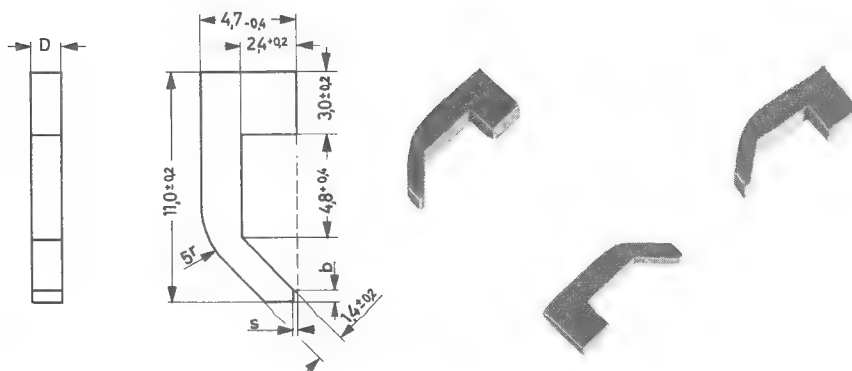




Schein- und Wirkwiderstandsverlauf von FXC-Breitband-Drosselspulen

Dämpfungsverlauf bei einer FXC-Breitband-Drosselspule und zusätzlichem keramischen Scheibenkondensator

- a. VK 200 19,  $C = 1500 \text{ pF}$
- b. VK 200 20,  $C = 1500 \text{ pF}$
- c. VK 200 20,  $C = 550 \text{ pF}$
- d. VK 200 19,  $C = 550 \text{ pF}$



FERROXCUBE-Magnettonkerne werden für Löschköpfe in Tonbandgeräten und für Trommelspeicher in elektronischen Rechenmaschinen verwendet.

Sie zeichnen sich besonders durch hohe Abriebfestigkeit und geringe Kernverluste aus.

Magnettonkerne werden aus FERROXCUBE 3C1 hergestellt. Die Eigenschaften von 3C1 entsprechen den unter „Allgemeines“ angegebenen Daten für 3C2.

| Typ       | D                     | s           | b              |
|-----------|-----------------------|-------------|----------------|
| K5 500 15 | 1,3 $\pm 0,1$         | 0 $\pm 0,2$ | 0,5 $\pm 0,1$  |
| 56 907 27 | 1,5 $\pm 0,2$         | 0           | 0,5 $\pm 0,1$  |
| 56 907 97 | 3,3 $\pm 0,2$<br>-0,1 | 0           | 0,55 $\pm 0,1$ |
| 56 907 73 | 7 $\pm 0,2$           | 0           | 0,5 $\pm 0,1$  |

Bei Abnahme großer Stückzahlen sind auch Kerne mit anderen Abmessungen lieferbar. Magnettonkerne aus FXC 8 sowie glasverklebte Magnettonköpfe, bestehend aus je zwei Magnettonkernen, mit Luftspalten von 2 bis 100  $\mu$  auf Anfrage.



Ferroxcube-U-Kerne eignen sich für Leistungstransformatoren bis zu einigen hundert kHz sowie für Impulstransformatoren. Infolge geringer Wirbelstromverluste wird die zulässige Maximal-Induktion nur durch die Sättigung bzw. die Hystereseverluste bestimmt.

Nuten an den Außenseiten der Schenkel ermöglichen die Montage des Kernpaares mit Schrauben oder Spanndrähten, die innerhalb des Spulenkörpers durchgeführt werden, wo sie im Hinblick auf die Hochspannung am wenigsten stören.

Die Ferroxcubesorten 3C4 und 3C6 wurden speziell für U-Kerne in Zeilentransformatoren von Fernsehgeräten entwickelt.

Ferroxcube 3C4 hat neben ausreichender Sättigung bei 85 °C einen Temperaturgang der Verluste, der schwach positiv sein kann, oft aber bei Null liegt.

Ferroxcube 3C5 wird nicht mehr gefertigt und ist durch Ferroxcube 3C6 ersetzt worden. Einige Meßdaten von Ferroxcube 3C5 sind zu Vergleichszwecken noch in Tabellen und graphischen Darstellungen enthalten.

Ferroxcube 3C6 zeichnet sich gegenüber 3C5 durch höhere Sättigung, um ca. 20 % niedrigere Kernverluste und günstigeres Temperaturverhalten aus. Dadurch eignen sich U-Kerne aus 3C6 auch für transistorisierte Fernsehgeräte mit niedrigeren Gerätetemperaturen.

## U-Kerne für Zeilentransformatoren

Für die hier angegebenen U-Kerne empfehlen wir bei der Dimensionierung von Zeilentransformatoren die folgenden Maximalwerte der Induktion einzusetzen:

| FXC-Sorte | $\Delta B$<br>( $10^{-8}$ Vs/cm <sup>2</sup> ) | $B_{-} + \frac{\Delta B}{2}$<br>( $10^{-8}$ Vs/cm <sup>2</sup> ) |
|-----------|--|--|
| 3C4       | $\leq 2400$                                    | $\leq 2200$  |
| ( 3C5     | $\leq 2800$                                    | $\leq 2500$ )  |
| 3C6       | $\leq 3000$                                    | $\leq 2600$  |

Hierin ist  $\Delta B$  die Wechselinduktion (Scheitel-Scheitel) und  $B_{-}$  die durch Gleichstromdurchflutung erzeugte Vormagnetisierung.

Die Werte gelten für das Fernsehsystem mit 625 Zeilen.

Die Prüfung der U-Kerne auf magnetische Eigenschaften erfolgt bei uns nach 2 verschiedenen Methoden. Bei 3C4 ( 3C5 ) wird neben den Verlusten die Wechselfeldpermeabilität bei vorgegebener Induktion und  $f = 16$  kHz gemessen. Hier gelten folgende Garantiewerte:

| Temperatur      | Induktion<br>$\hat{B}$<br>( $10^{-8}$ Vs/cm <sup>2</sup> ) | Wechselfeld-<br>Permeabilität $\mu_{-}$ |     | Verluste<br>(mW/cm <sup>3</sup> ) |     |
|-----------------|--|---|-----|-----------------------------------|-----|
|                 |  | 3C4                                     | 3C5 | 3C4                               | 3C5 |
| 25°             | 1000   | $\geq 2000$                             |     | -                                 |     |
| 85° (für 3C4)   | 2000   | $\geq 1500$                             |     | $\leq 230$                        |     |
| (100° (für 3C5) |  | $\geq 3000$                             |     | $\leq 170$                        |     |

Hierin ist  $\hat{B}$  der Scheitelwert der Induktion ( $= \frac{1}{2} \Delta B$ ).

U-Kerne aus 3C6 werden neben der Verlustmessung auf Minimalinduktion bei gegebener Koerzitivfeldstärke geprüft. Laboruntersuchungen haben ergeben, daß diese Methode dem Verhalten im Zeilentrafo besser entspricht, wenn

man die Meßfeldstärke mit  $\hat{H} = 2,5 \text{ A/cm}$  einsetzt. Außerdem ergibt diese Messung auch noch bei 50 Hz brauchbare Resultate. Für 3C6 gelten folgende Garantiewerte (bei 16 kHz):

| FXC-Sorte | Temperatur | Induktion $\hat{B}$<br>( $10^{-8} \text{ Vs/cm}^2$ ) bei<br>$\hat{H} = 2,5 \text{ A/cm}$ | Verluste ( $\text{mW/cm}^3$ )<br>bei $\hat{B} = 2000$<br>( $10^{-8} \text{ Vs/cm}^2$ ) |
|-----------|------------|--|--|
| 3C6       | 25 °C      | -  | $\leq 170$   |
|           | 100 °C     | $\geq 2900$  | $\leq 140$   |

Hierin ist  $\hat{H}$  der Scheitelwert der magnetischen Feldstärke ( $= \frac{1}{2} \Delta H$ ).

Alle angegebenen Garantiewerte gelten für U-Kerne die - abweichend von den Serienlieferungen - an den Trennflächen mit einem Feinschliff versehen sind.

Die Schenkel der U-Kerne können sich beim Sintern geringfügig nach innen oder nach außen verziehen. Dadurch ergeben sich für das Maß des Schenkelabstandes (gemessen von Nut zu Nut) Verschiebungen in die Plus- oder Minustoleranz. Diese Toleranzgruppen werden in der Weise gekennzeichnet, daß bei den in der Plus-toleranz liegenden Kernen der Stempel in roter und bei den in der Minustoleranz liegenden Kernen in weißer Farbe angebracht ist.

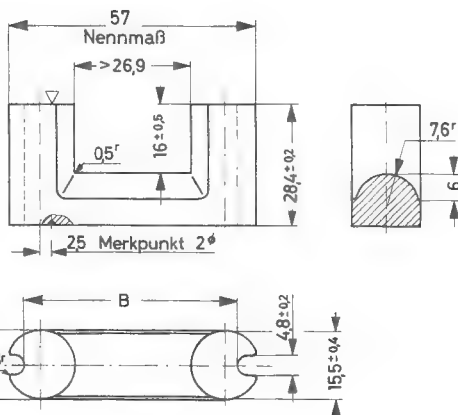
Wir behalten uns vor, Bestellungen nach unseren Möglichkeiten mit diesen beiden Gruppen auszuführen. In einer Verpackungseinheit befinden sich jedoch stets nur Kerne einer Stempelfarbe.

Die jetzt lieferbaren U-Kerne haben die folgenden Typ-Nummern:

|       | 3C4       | 3C6        | Bemerkungen               |
|-------|-----------|------------|---------------------------|
| U 57  | VK 235 40 | VK 235 60  | entspr. DIN 41 296, Bl. 2 |
| U 64  | VK 235 44 | VK 235 64  | entspr. DIN 41 296, Bl. 1 |
| U 70  | -         | VK 235 66  | entspr. DIN 41 296, Bl. 1 |
| U 52  | -         | VK 235 86  |                           |
| UI 58 | -         | (VK 235 61 | U-Kern                    |
|       |           | (VK 253 01 | I-Kern                    |

# U-Kerne mit rundem Querschnitt

| B                    | Stempel |
|----------------------|---------|
| 49,8 <sup>+0,8</sup> | rot     |
| 49,8 <sup>-0,8</sup> | weiß    |



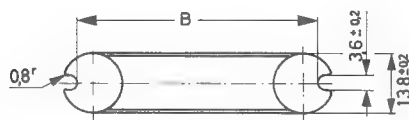
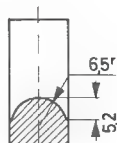
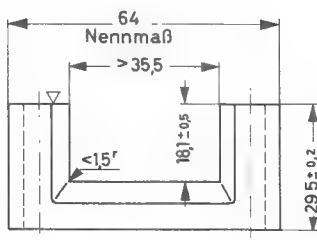
| Typ       | Material |
|-----------|----------|
| VK 235 40 | FXC 3C4  |
| VK 235 60 | FXC 3C6  |

Typ U 57, DIN 41 296, Blatt 2

## Magnetische Daten

|                        |       |      |                 |
|------------------------|-------|------|-----------------|
| Mittl. Kernlänge       | $l_e$ | 16,3 | cm              |
| Mittl. Kernquerschnitt | $A_e$ | 1,71 | cm <sup>2</sup> |
| Kernvolumen            | $V_e$ | 27,6 | cm <sup>3</sup> |
| Gewicht                |       | 70   | g               |

| B                  | Stempel |
|--------------------|---------|
| 56,7 <sup>+1</sup> | rot     |
| 56,7 <sub>-1</sub> | weiß    |



| Typ       | Material |
|-----------|----------|
| VK 235 44 | FXC 3C4  |
| VK 235 64 | FXC 3C6  |

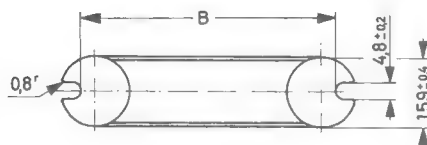
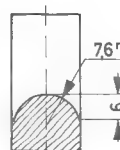
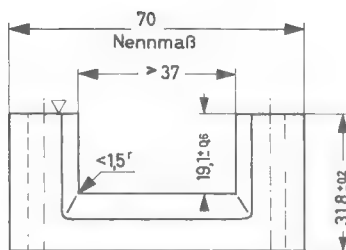
Typ U 64, DIN 41 296, Blatt 1

## Magnetische Daten

|                        |       |      |                 |
|------------------------|-------|------|-----------------|
| Mittl. Kernlänge       | $l_e$ | 18,5 | cm              |
| Mittl. Kernquerschnitt | $A_e$ | 1,38 | cm <sup>2</sup> |
| Kernvolumen            | $V_e$ | 25,3 | cm <sup>3</sup> |
| Gewicht                |       | 65   | g               |

# U-Kerne mit rundem Querschnitt

| B           | Stempel |
|-------------|---------|
| $60,3^{+1}$ | rot     |
| $60,3_{-1}$ | weiß    |



| Typ       | Material |
|-----------|----------|
| VK 235 66 | FXC 3C6  |

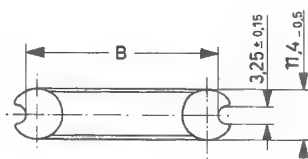
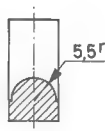
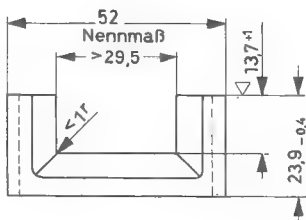
Typ U 70, DIN 41 296, Blatt 1

## Magnetische Daten

|                        |       |      |                 |
|------------------------|-------|------|-----------------|
| Mittl. Kernlänge       | $l_e$ | 19,7 | cm              |
| Mittl. Kernquerschnitt | $A_e$ | 1,77 | cm <sup>2</sup> |
| Kernvolumen            | $V_e$ | 34,5 | cm <sup>3</sup> |
| Gewicht                |       | 87   | g               |



| B                    | Stempel |
|----------------------|---------|
| 46,1 <sup>+0,8</sup> | rot     |
| 46,1 <sub>-0,8</sub> | weiß    |



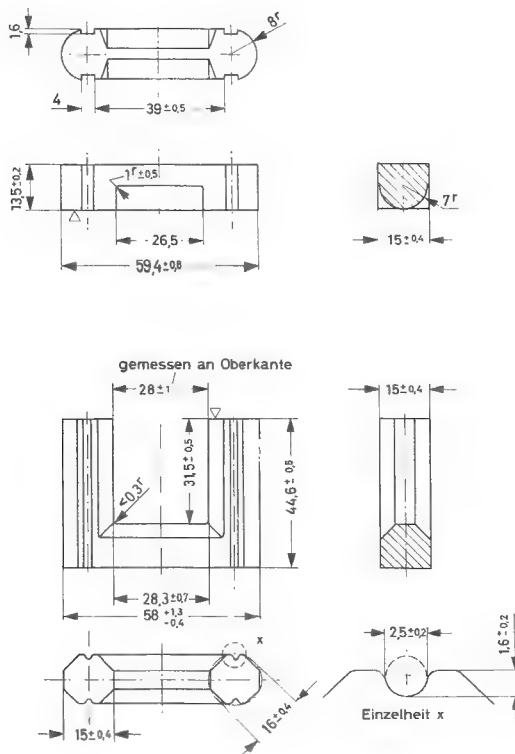
| Typ       | Material |
|-----------|----------|
| VK 235 86 | FXC 3C6  |

Typ U 52

## Magnetische Daten

|                        |       |      |                 |
|------------------------|-------|------|-----------------|
| Mittl. Kernlänge       | $l_e$ | 14,5 | cm              |
| Mittl. Kernquerschnitt | $A_e$ | 0,93 | cm <sup>2</sup> |
| Kernvolumen            | $V_e$ | 13,8 | cm <sup>3</sup> |
| Gewicht                |       | 53   | g               |

# UI-Kerne mit achteckigem Querschnitt



| Typ                | Material |
|--------------------|----------|
| VK 235 61 (U-Kern) | FXC 3C6  |
| VK 253 01 (I-Kern) | FXC 3C6  |

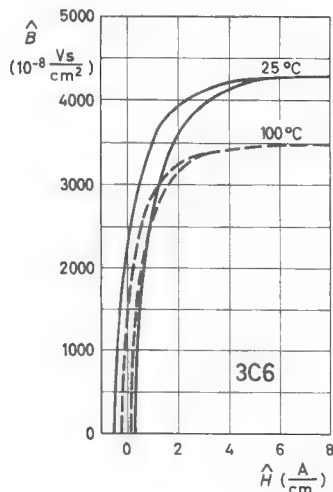
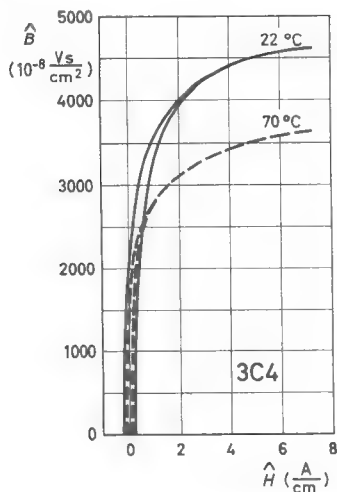
Typ UI 58

## Magnetische Daten

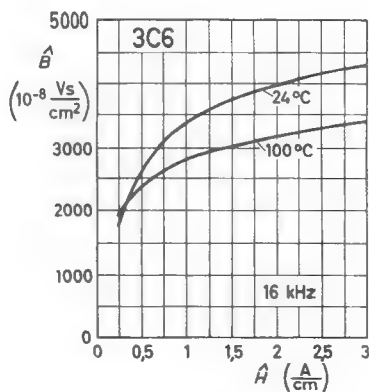
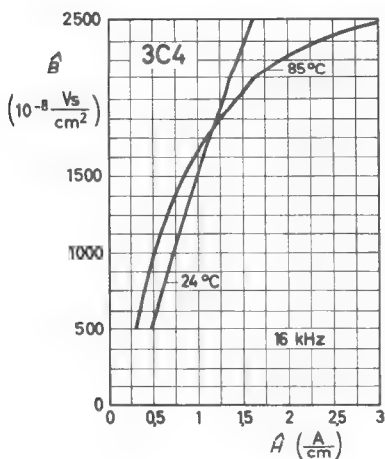
|                        |        |      |                 |
|------------------------|--------|------|-----------------|
| Mittl. Kernlänge       | $l_e$  | 16,4 | cm              |
| Mittl. Kernquerschnitt | $A_e$  | 1,75 | cm <sup>2</sup> |
| Kernvolumen            | $V_e$  | 28,8 | cm <sup>3</sup> |
| Gewicht                | U-Kern | 93   | g               |
|                        | I-Kern | 53   | g               |

Die angegebenen magnetischen Daten gelten für den zusammengesetzten UI-Kern. U- und I-Kern sind getrennt verpackt. Sie können beliebig zusammengesetzt werden.

Nachstehend sind die magnetischen Eigenschaften der 2 genannten Ferroxcube-sorten aufgeführt.



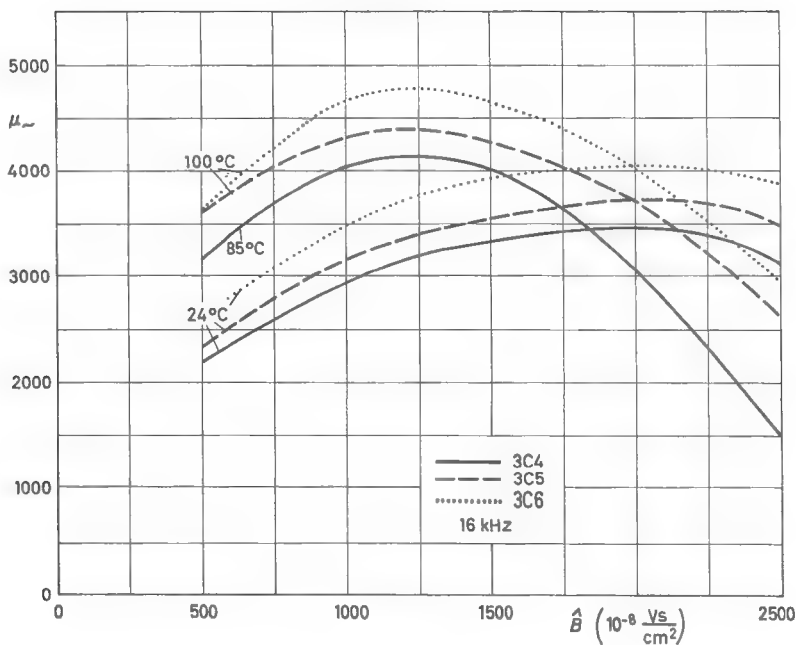
Hystereseschleifen statisch gemessen am U-Kern-Paar U 57



$\hat{B}$  als Funktion von  $\hat{H}$  gemessen am U-Kern-Paar U 57

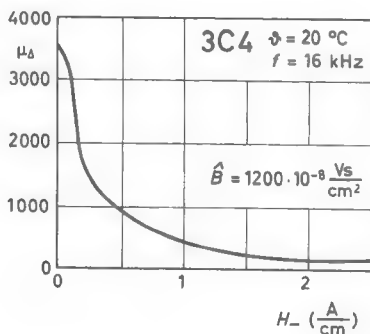
$\mu_{\sim}$  bei Betrieb ohne Vormagnetisierung

gemessen am U-Kern-Paar U 57

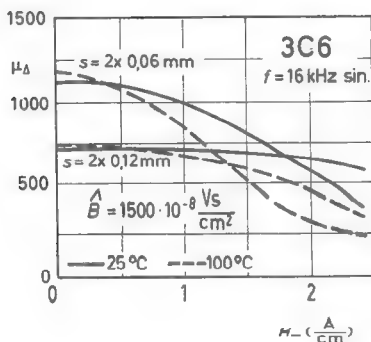


$\mu_{\Delta}$  bei Betrieb mit Vormagnetisierung <sup>+</sup>)

gemessen am U-Kern-Paar U 57  
ohne Luftspalt

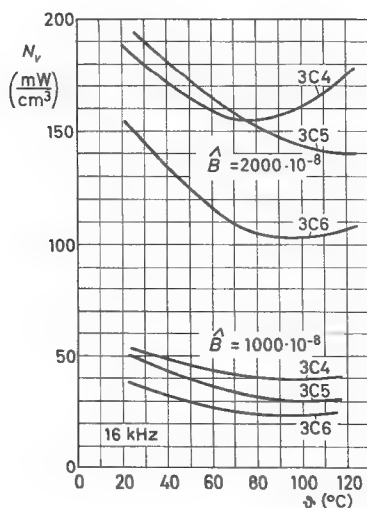


gemessen am U-Kern-Paar U 64  
bei zwei verschiedenen Luftspalten s

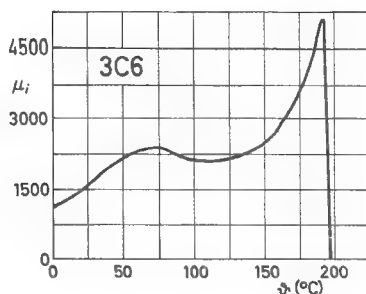
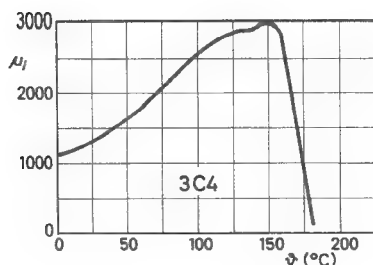


<sup>+</sup>) Die Permeabilität ist hier definiert durch die Steigung der Geraden, welche die Spitzen der Hystereseschleife verbindet. Diese Gerade läuft nicht durch den Koordinatenanfangspunkt. Die Aussteuerung ist sinusförmig.

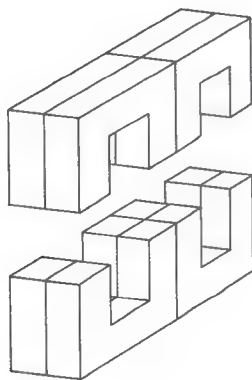
Verlustleistung in Abhängigkeit  
von der Kerntemperatur  
gemessen am Kern U 57



Temperaturabhängigkeit der Anfangspermeabilität, Curie-Temperatur



Die Temperaturabhängigkeit der Permeabilität verläuft im allgemeinen bei höheren Aussteuerungen anders als bei kleinen. Die hier dargestellten Kurven der Anfangspermeabilität lassen daher keine Rückschlüsse zu auf das Verhalten der U-Kerne in Zeilentransformatoren.



M-Transformerkern, aufgebaut aus 8 U-Kernen mit rechteckigem Querschnitt.

Infolge der geringen Verluste in Ferroxcubematerialien lassen sich Hochleistungstransformatoren für den oberen Tonfrequenz- und Ultraschallbereich in vielen Fällen erheblich kleiner auslegen als mit Blechkernen.

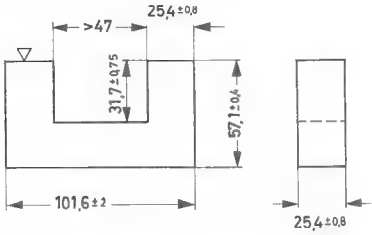
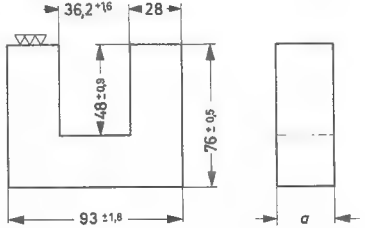
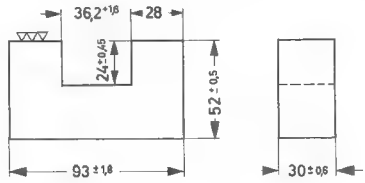
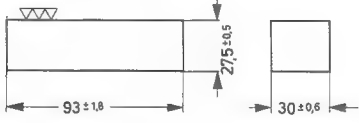
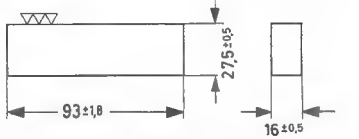
U-Kerne mit rechteckigem Querschnitt werden nur aus der bei jedem Typ angegebenen Ferroxcubesorte hergestellt.

Ferroxcube-U-Kerne mit rechteckigem Querschnitt bieten die Möglichkeit, durch Zusammenbau mehrerer Kerne gleicher Abmessungen, größere Transformatorkerne nach dem Baukastenprinzip aufzubauen.

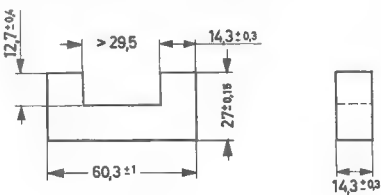
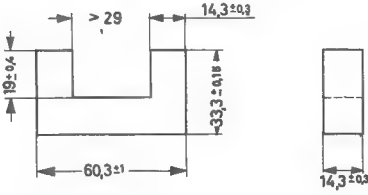
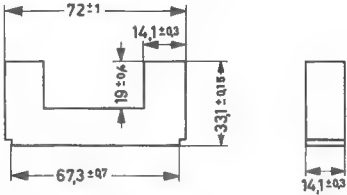
Außer dem im obigen Bild gezeigten M-Kern können auch UI, EI oder andere Ausführungen zusammengesetzt werden.

Bei hoher Belastung der U-Kerne empfiehlt es sich, zwischen den Aufbaukernen parallel zum magnetischen Fluß einen Luftspalt zur besseren Wärmeabfuhr anzuordnen.

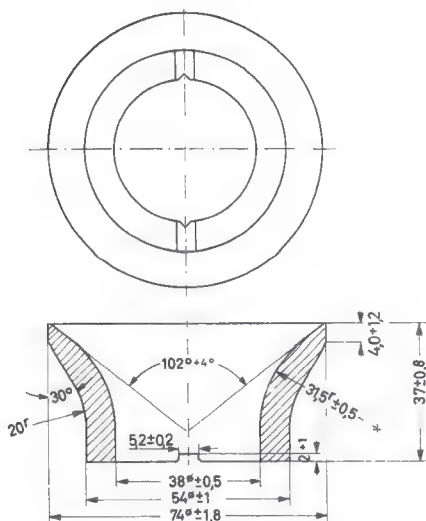
Typenübersicht

|   |   |
|---|---|
| <p>Typ U 100/57/25<br/>Ferroxcube 3C6</p>   |    |
| <p>Typ U 93/76/30<br/>Ferroxcube 3C6<br/><math>a = 30 \pm 0,6</math></p> <p>Typ U 93/76/16<br/>Ferroxcube 3C6<br/><math>a = 16 \pm 0,5</math></p> |    |
| <p>Typ U 93/52/30<br/>Ferroxcube 3C6</p>  |   |
| <p>Typ I 93/27/30<br/>Ferroxcube 3C6</p>  |  |
| <p>Typ I 93/27/16<br/>Ferroxcube 3C6</p>  |  |



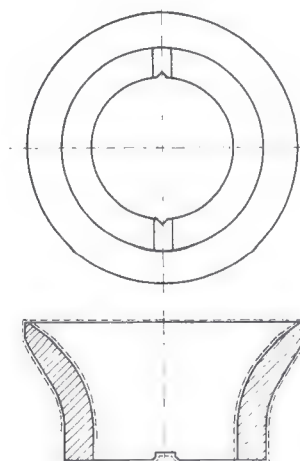
|   |   |
|---|---|
| <p>Typ K5 450 80<br/>Ferroxcube 3C4</p> |  |
| <p>Typ K5 451 00<br/>Ferroxcube 3C4</p> |  |
| <p>Typ VK 235 14<br/>Ferroxcube 3C6</p> |  |

| Typ                     | Mittl. magn.<br>Weglänge<br>$l_e$ (cm) | Mittl. magn.<br>Querschnitt<br>$A_e$ (cm <sup>2</sup> ) | magn. Werkst.<br>Volumen<br>$V_e$ (cm <sup>3</sup> ) |
|-------------------------|--|---|--|
| 2x U 100/57/25          | 31                                     | 6,5   | 210  |
| 2x U 93/76/30           | 35,5                                   | 8,2   | 290  |
| 2x U 93/76/16           | 35,5                                   | 4,4   | 155  |
| 2x U 93/52/30           | 25,8                                   | 8,2   | 215  |
| U 93/76/30 + I 93/27/30 | 25,8                                   | 8,2   | 215  |
| U 93/76/16 + I 93/27/16 | 25,8                                   | 4,4   | 114  |
| U 93/52/30 + I 93/27/30 | 21,0                                   | 8,2   | 172  |
| 2x K5 450 80            | 16,0                                   | 2,0   | 34   |
| 2x K5 451 00            | 18,5                                   | 2,0   | 39   |
| 2x VK 235 14            | 18,6                                   | 2,0   | 42   |



Typ K5 280 70

In der Toleranz von  $\pm 1,8$  mm für den Kelchaußendurchmesser ist die zulässige Rundheitstoleranz enthalten.



Typ 4322 020 31500

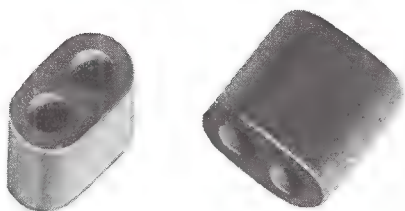
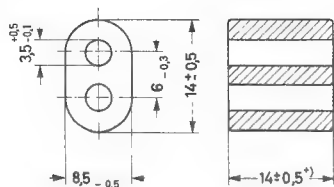
Abmessungen wie Typ K5 280 70, Kanten jedoch gerundet und Ring durch Lacküberzug isoliert.

Ferroxcube-Jochringe werden in Ablenkeinheiten für Fernsehbildröhren für den magnetischen Schluß der Horizontal- und Vertikalablenkspulen verwendet. Die Herstellung erfolgt ausschließlich aus Werkstoff FXC.3C2.

Es sind zwei Standardtypen nach DIN 41 297, Blatt 2 für  $110^{\circ}$ -Ablenkung lieferbar.

Jochringe werden an den diametral gegenüberliegenden Einkerbungen ohne Materialverlust gesprengt. Die Hälften werden paarweise verpackt geliefert.

Andere Ausführungen von Jochringen für  $90^{\circ}$ - und  $110^{\circ}$ -Ablenkung auf Anfrage.



Ferroxcube-Symmetrier-Übertrager dienen zur Symmetrierung und Anpassung im Eingang von UKW- und Fernsehempfängern.

Es werden zwei Typen geliefert:

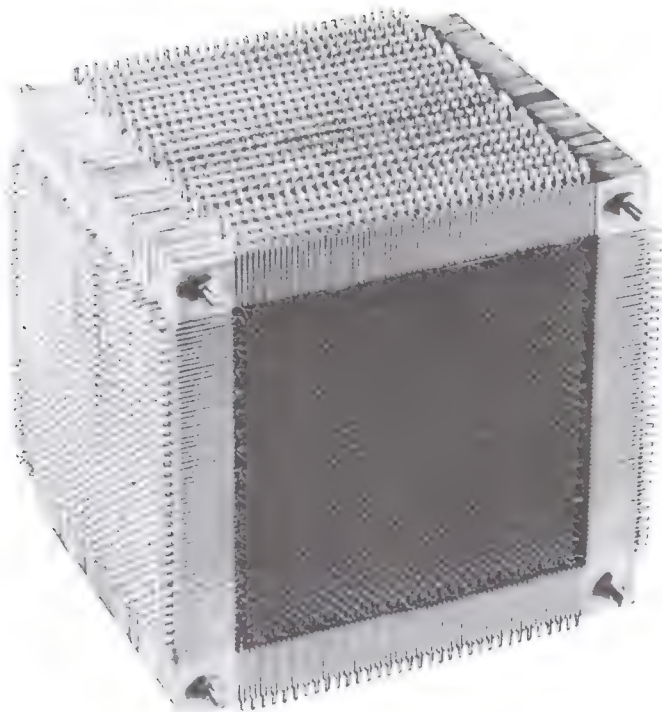
| Typ                    | Material                   |   |
|------------------------|----------------------------|---|
| VK 211 13<br>K5 050 06 | FXC 4B<br>Ferroxplana 1 Z2 | nähere Werkstoffangaben<br>auf Anfrage. |

<sup>\*)</sup> in Ferroxplana 1Z3 mit einer Höhe von 7 mm lieferbar





## **Speicherkerne, Speichermatrizen und Speicherblöcke aus Ferroxcube 6**





Ringkerne für Speicher- und Schaltzwecke werden aus dem Ferritwerkstoff Ferroxcube 6 hergestellt. Sie besitzen eine nahezu rechteckige Hystereseschleife und werden aufgrund dieser Eigenschaft in Speichermatrizen und magnetischen Schaltkreisen eingesetzt.

Die verschiedenen Ferroxcube 6-Sorten unterscheiden sich im wesentlichen hinsichtlich des erforderlichen Umschaltstromes und der Schaltzeit, wobei im allgemeinen ein kleiner Umschaltstrom eine große Schaltzeit bedingt und umgekehrt. Die verschiedenen Ringkerne haben Außendurchmesser von 0,5 bis 26 mm. Kleinere Kerne (Außendurchmesser  $\leq 3,8$  mm) eignen sich als Speicherkkerne, größere Kerne (Außendurchmesser  $\geq 3,8$  mm) finden hauptsächlich für Schaltzwecke Verwendung. Die Auswahl der Sorte wird sich nach dem Verwendungszweck, den zur Verfügung stehenden Stromquellen, der gewünschten Schaltzeit und der erforderlichen Ausgangsspannung richten.

## Typenübersicht

| Typ                         | FXC-Sorte | Außen-durchmesser<br>(mm) | Umschaltstrom<br>bei 40 °C<br>(Betriebswerte)<br>$I_n$ (mA) | Schaltzeit<br>bei 40 °C<br>(Betriebswerte)<br>$t_s$ ( $\mu$ s) | Kern-tempe-ratur<br>°C |
|-----------------------------|-----------|---------------------------|---|--|------------------------|
| KE 326 11                   | 6H1       | 0,55                      | 835   | 0,17   | 40                     |
| K5 282 35                   | 6F2       | 0,80                      | 655   | 0,4  |                        |
| K5 281 10                   | 6D5       | 1,27                      | 365   | 1,3  |                        |
| K5 281 45                   | 6C1       | 1,27                      | 500   | 0,9  |                        |
| K5 281 01                   | 6B2       | 1,95                      | 450   | 1,8  |                        |
| 56 591 40/6E1 <sup>1)</sup> | 6E1       | 3,8                       | 340   | 9'   |                        |
| K5 281 46                   | 6C2       | 1,27                      | 755   | 1,0  | 0...+65                |
| K5 282 36                   | 6F3       | 0,82                      | 740   | 0,5  | +10...<br>+70          |

<sup>1)</sup> Dieser Kern findet auch als Schaltkern Verwendung



Sämtliche Ringkerne werden einzeln einer zweimaligen strengen Prüfung unterworfen. Die Prüfung der Kerne erfolgt durch ein Impulsprogramm, das auf ihre spätere Verwendung in Koinzidenzschaltungen ausgerichtet ist. Der Impulsanstieg verläuft weitgehend linear (Ausnahmen sind in den Datenblättern angegeben).

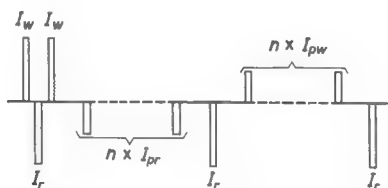


Bild 1 zeigt die Impulsfolge für das Prüfprogramm. Im einzelnen bedeuten:

$I_w$  = Voller Schreibimpuls

$I_r$  = Voller Leseimpuls

$I_{pw}$  = Teil-Schreibimpuls (Störimpuls)

$I_{pr}$  = Teil-Leseimpuls (Störimpuls)

Die üblichen Koinzidenz-Speicherschaltungen sind meist so ausgelegt, daß

$$I_w = -I_r = 2 I_{pw} = -2 I_{pr} = I_n$$

ist, wobei  $I_n$  den Nennwert des Umschaltstromes für die Ringkerne bedeutet. Man arbeitet also mit einem „Störverhältnis“ von  $I_{pw}/I_w = I_{pr}/I_r = 0,5$ .

Im praktischen Betrieb etwa auftretende Abweichungen der Impulse von ihren Nennwerten machen sich ungünstig bemerkbar, wenn bei einem Umschaltvorgang die Impulse  $I_r$  oder  $I_w$  kleiner als  $I_n$  oder bei einem Störvorgang die Impulse  $I_{pr}$  oder  $I_{pw}$  größer als  $I_n/2$  sind. Um noch für eine zehnprozentige Abweichung in beiden Fällen die einwandfreie Arbeitsweise der Kerne im Speicher zu gewährleisten, werden diese bei uns im allgemeinen mit Impulsen der Größe

$$I_w = -I_r = 0,9 I_n \text{ und } I_{pw} = -I_{pr} = 0,55 I_n$$

geprüft. Das entspricht einem Störverhältnis von 0,61.



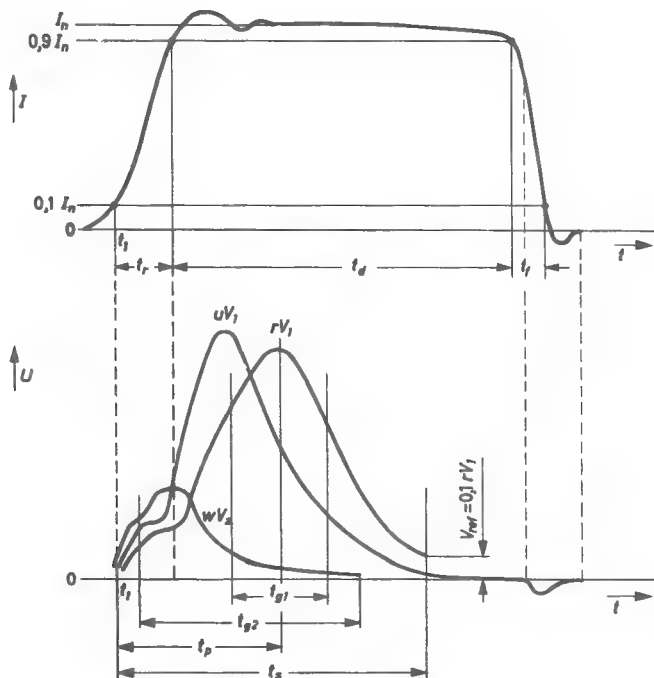


Bild 2 Form des Prüfimpulses  $I_n$  und der Ausgangsimpulse  $uV_1$ ,  $rV_1$  und  $wV_2$

Die wichtigsten Größen zur Kennzeichnung der Prüfimpulse sind (s. Bild 2, oberer Teil):

$I_n$  Nennwert des Umschaltstromes

Er ist durch die maximale Amplitude des Impulses  $I$  gegeben, wobei Überschwinger unberücksichtigt bleibt.

$t_1$  Bezugszeitpunkt, in dem der Impuls  $I$  durch die Treiberdrähte während seines Anstiegs den Wert  $0,1 I_n$  erreicht. Dieser Zeitpunkt dient auch als Bezugszeit für die Ausgangsimpulse, insbesondere bei der Definition von Spitzen- und Schaltzeit.



- $t_r$  Anstiegszeit, in der der Impuls von  $0,1 I_N$  (Bezugszeit  $t_1$ ) auf  $0,9 I_N$  ansteigt (linearer Anstieg).
- $t_d$  Impulsdauer;  
die Impulsdauer beginnt, wenn der Impuls  $I$  zum ersten Mal  $0,9 I_N$  erreicht und endet, wenn er diesen Wert zum letzten Mal annimmt.
- $t_f$  Abfallzeit;  
Zeitintervall, in dem der Impuls  $I$  von  $0,9 I_N$  auf  $0,1 I_N$  abfällt.

Die Prüfung wird bei einer Temperatur von  $40^\circ\text{C}$  ausgeführt. Der Kern ist sekundärseitig mit einem  $100\ \Omega$ -Widerstand belastet, an dem die Ausgangsimpulse abgenommen werden. Die Form dieser Impulse wird als Kriterium für die Qualität der Kerne benutzt. Im Prinzip ergibt sich der in Bild 2 (unterer Teil) gezeigte Spannungsverlauf. In Bild 3 ist schematisch dargestellt, nach welchen Stromimpulsen die Ausgangsimpulse  $uV_1$ ,  $rV_1$  und  $wV_z$

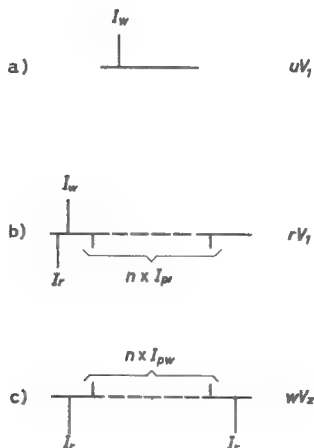


Bild 3 Stromimpulsfolge für die verschiedenen Ausgangsimpulse



auftreten. Die wichtigsten Größen zur Kennzeichnung der Ausgangsimpulse sind ( s. Bild 2, unterer Teil):

$uV_1$  Spitzenwert der Ausgangsspannung (des Ausgangsimpulses) beim Ablesen einer ungestörten Eins, verursacht durch den ersten Leseimpuls  $I_r$  des Prüfprogramms (Bild 3 a).

$rV_1$  Spitzenwert der Ausgangsspannung beim Ablesen einer mehrmals mit  $I_{pr}$  gestörten Eins, verursacht durch den zweiten Leseimpuls  $I_r$  (Bild 3 b).

$wV_z$  Spitzenwert der Ausgangsspannung beim Ablesen einer mehrmals mit  $I_{pw}$  gestörten Null, verursacht durch den dritten Leseimpuls  $I_r$  (Bild 3 c).

$V_{ref}$  Bezugsspannung. Diese Spannung wird im allgemeinen als das 0,1 fache von  $rV_1$  definiert.

$t_s$  Schaltzeit, gemessen zwischen dem Bezugspunkt  $t_1$  auf der Vorderflanke des Stromimpulses  $I$  und demjenigen Punkt auf der Rückflanke des Ausgangsimpulses, in dem  $rV_1$  auf ein Zehntel abgesunken ist ( $V_{ref}$ ).

$t_p$  Spitzenzeit, gemessen zwischen dem Bezugspunkt  $t_1$  und dem Spitzenwert  $rV_1$ .

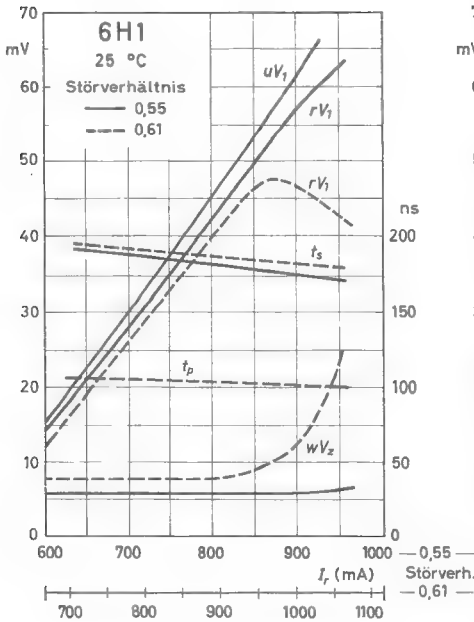
$t_{g1}$ ,  $t_{g2}$  Torzeit,  
in der  $rV_1$  bzw.  $wV_z$  gemessen wird. Die Torzeit beginnt bei  $t_a$  und endet bei  $t_e$ , beide Werte gemessen nach dem Bezugspunkt  $t_1$ .

Bei der Prüfung der Kerne wird untersucht, ob das minimal zulässige  $rV_1$  nicht unterschritten und das maximal zulässige  $wV_z$  nicht überschritten wird. Außerdem dürfen die garantierten Werte für die Schalt- und Spitzenzeit nicht über- bzw. unterschritten werden.

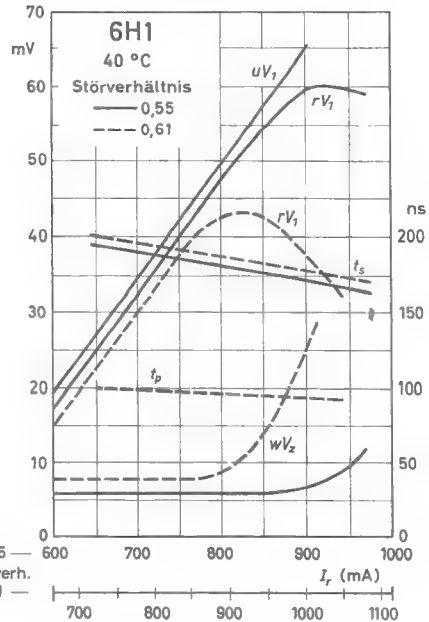
Auf den folgenden Seiten sind die Daten und Kurven der einzelnen Speicherkerne angegeben. Beim Vergleich der Garantiewerte mit den graphischen Darstellungen ist zu beachten, daß die unter Garantiewerte angegebenen Daten sich auf das Störverhältnis 0,61 beziehen und somit für den Strom  $I_w = -I_r$  gelten, der 10 % niedriger liegt als der Umschaltstrom  $I_n$ .



| Abmessungen                           |             |    |
|---------------------------------------|-------------|----|
| Außendurchmesser                      | 0,55        | mm |
| Innendurchmesser                      | 0,35        | mm |
| Höhe                                  | 0,10        | mm |
| Betriebswerte bei 40 °C               |             |    |
| Umschaltstrom $I_n$                   | 835         | mA |
| $rV_1$                                | 54          | mV |
| $wV_z$                                | 6           | mV |
| Schaltzeit $t_s$                      | 0,17        | µs |
| Garantiewerte                         |             |    |
| $rV_1$                                | $\geq 30$   | mV |
| $wV_z$                                | $\leq 10$   | mV |
| Spitzenzeit $t_p$                     |             | µs |
| Schaltzeit $t_s$                      | $\leq 0,20$ | µs |
| Prüfbedingungen für die Garantiewerte |             |    |
| $-I_r = I_w$                          | 750         | mA |
| $-I_{pr} = I_{pw}$                    | 457         | mA |
| Anstiegszeit $t_r$                    | 0,050       | µs |
| Impulsdauer $t_d$                     |             | µs |
| Anzahl der Störimpulse                | 32          |    |
| Kerntemperatur                        | 40          | °C |



Meßtemperatur 25 °C



Meßtemperatur 40 °C

Abhängigkeit der Ausgangsimpulse  $uV_1$ ,  $rV_1$  und  $wV_z$  sowie der Schaltzeit  $t_s$  und der Spitzenzeit  $t_p$  vom Umschaltstrom bei FXC 6H1.

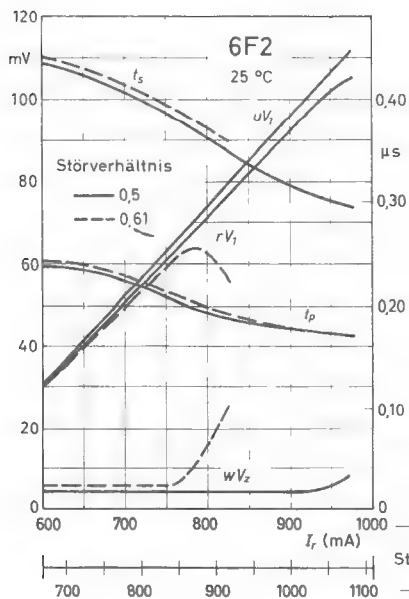


| Abmessungen                           |                           |    |
|---------------------------------------|---------------------------|----|
| Außendurchmesser                      | $0,81 \pm 0,04$           | mm |
| Innendurchmesser                      | $0,50 \pm 0,02$           | mm |
| Höhe                                  | $0,165 \pm 0,01$          | mm |
| Betriebswerte bei 40 °C               |                           |    |
| Umschaltstrom $I_n$                   | 655                       | mA |
| $rV_1$                                | 60                        | mV |
| $wV_z$                                | 8                         | mV |
| Schaltzeit $t_s$                      | 0,4                       | µs |
| Garantiewerte                         |                           |    |
| $rV_1$                                | $\geq 35$                 | mV |
| $wV_z$                                | $\leq 9$                  | mV |
| Spitzenzeit $t_p$                     | $0,19 \leq t_p \leq 0,25$ | µs |
| Schaltzeit $t_s$                      | $0,35 \leq t_s \leq 0,45$ | µs |
| Prüfbedingungen für die Garantiewerte |                           |    |
| $-I_r = I_w$                          | 590                       | mA |
| $-I_{pr} = I_{pw}$                    | 360                       | mA |
| Anstiegszeit $t_r$ (linear)           | 0,1                       | µs |
| Impulsdauer $t_d$                     | 1,5                       | µs |
| Anzahl der Störimpulse                | 32                        |    |
| Bezugsspannung $V_{ref}$              | 3,5                       | mV |
| Kerntemperatur                        | 40                        | °C |

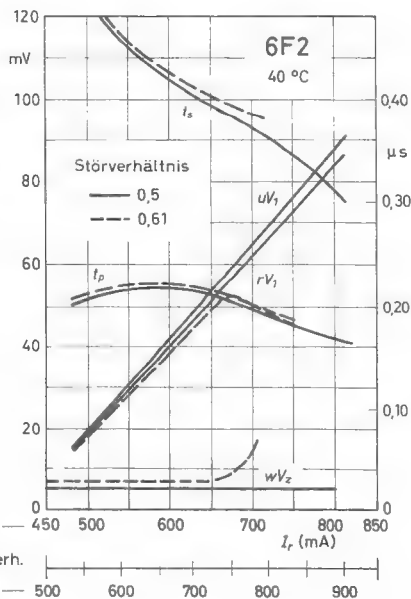


# Speicherkern aus FXC 6 F 2

K5 282 35



Meßtemperatur 25 °C



Meßtemperatur 40 °C

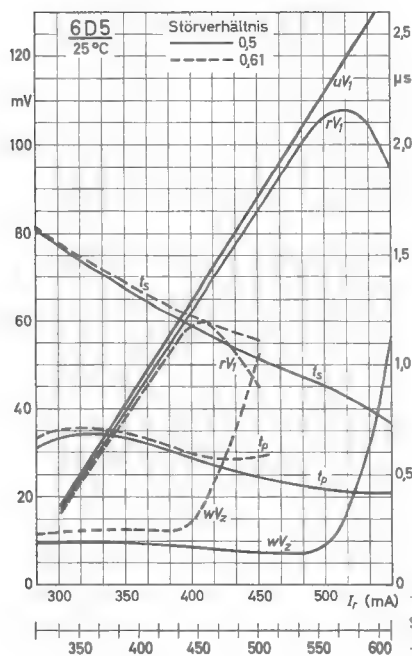
Abhängigkeit der Ausgangsimpulse  $uV_1$ ,  $rV_1$  und  $wV_z$  sowie der Schaltzeit  $t_s$  und der Spitzenzeit  $t_p$  vom Umschaltstrom bei FXC 6 F 2.

Die Anstiegsflanke der Prüfimpulse ist linear.

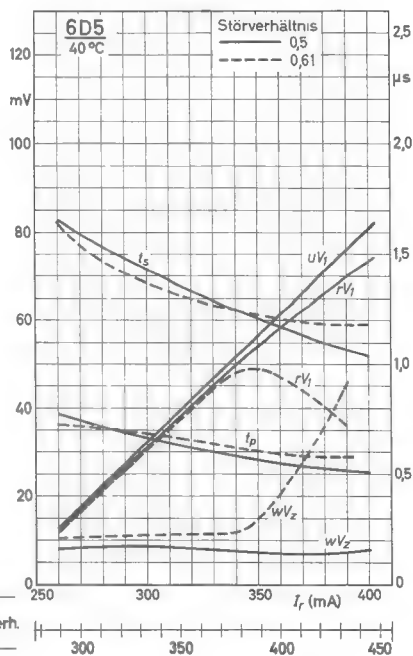


| Abmessungen                           |                           |    |
|---------------------------------------|---------------------------|----|
| Außendurchmesser                      | $1,27 \pm 0,05$           | mm |
| Innendurchmesser                      | $0,80 \pm 0,05$           | mm |
| Höhe                                  | $0,38 \pm 0,03$           | mm |
| Betriebswerte bei 40 °C               |                           |    |
| Umschaltstrom $I_n$                   | 365                       | mA |
| $rV_1$                                | 57                        | mV |
| $wV_z$                                | 10                        | mV |
| Schaltzeit $t_s$                      | 1,3                       | µs |
| Garantiewerte                         |                           |    |
| $rV_1$                                | $\geq 42$                 | mV |
| $wV_z$                                | $\leq 14$                 | mV |
| Spitzenzeit $t_p$                     | $0,55 \leq t_p \leq 0,70$ | µs |
| Schaltzeit $t_s$                      | $\leq 1,60$               | µs |
| Prüfbedingungen für die Garantiewerte |                           |    |
| $-I_r = I_w$                          | 330                       | mA |
| $-I_{pr} = I_{pw}$                    | 200                       | mA |
| Anstiegszeit $t_r$ (linear)           | 0,2                       | µs |
| Impulsdauer $t_d$                     | $\geq 4,0$                | µs |
| Anzahl der Störimpulse                | 32                        |    |
| Bezugsspannung $V_{ref}$              | 4,5                       | mV |
| Kerntemperatur                        | 40                        | °C |





Meßtemperatur 25 °C



Meßtemperatur 40 °C

Abhängigkeit der Ausgangsimpulse  $uV_1$ ,  $rV_1$  und  $wV_z$  sowie der Schaltzeit  $t_s$  und der Spitzenzeit  $t_p$  vom Umschaltstrom bei FXC 6 D 5.

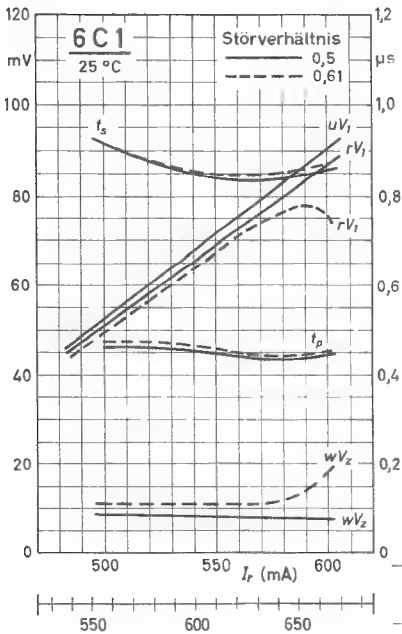
Die Anstiegsflanke der Prüfimpulse ist linear.



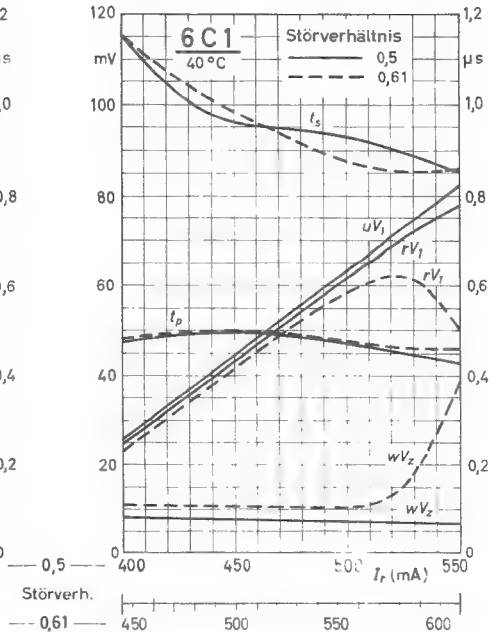
| Abmessungen                           |                           |    |
|---------------------------------------|---------------------------|----|
| Außendurchmesser                      | $1,27 \pm 0,05$           | mm |
| Innendurchmesser                      | $0,76 \pm 0,05$           | mm |
| Höhe                                  | $0,30 \pm 0,03$           | mm |
| Betriebswerte bei 40 °C               |                           |    |
| Umschaltstrom $I_n$                   | 500                       | mA |
| $rV_1$                                | 60                        | mV |
| $wV_z$                                | 11                        | mV |
| Schaltzeit $t_s$                      | 0,90                      | µs |
| Garantiewerte                         |                           |    |
| $rV_1$                                | $\geq 36$                 | mV |
| $wV_z$                                | $\leq 12$                 | mV |
| Spitzenzeit $t_p$                     | $0,41 \leq t_p \leq 0,57$ | µs |
| Schaltzeit $t_s$                      | $0,80 \leq t_s \leq 1,05$ | µs |
| Prüfbedingungen für die Garantiewerte |                           |    |
| $-I_r = I_w$                          | 450                       | mA |
| $-I_{pr} = I_{pw}$                    | 275                       | mA |
| Anstiegszeit $t_r$ (linear)           | 0,2                       | µs |
| Impulsdauer $t_d$                     | $\geq 2,0$                | µs |
| Anzahl der Störimpulse                | 32                        |    |
| Bezugsspannung $V_{ref}$              | 3,6                       | mV |
| Kerntemperatur                        | 40                        | °C |



# Speicherkerne aus FXC 6 C 1 K5 281 45



Meßtemperatur 25 °C



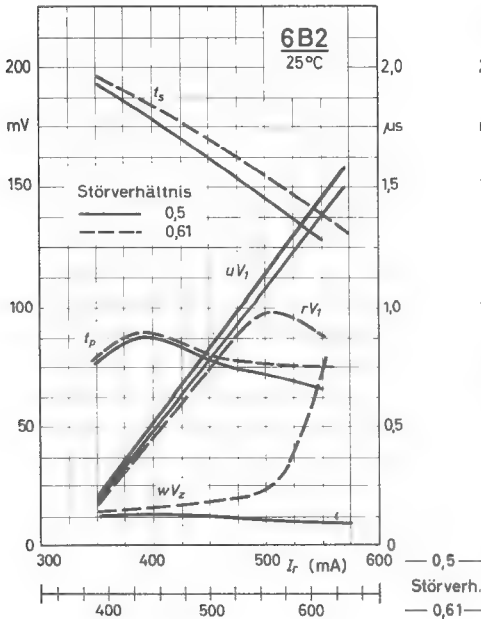
Meßtemperatur 40 °C

Abhängigkeit der Ausgangsimpulse  $uV_1$ ,  $rV_1$  und  $wV_z$  sowie der Schaltzeit  $t_s$  und der Spitzenzeit  $t_p$  vom Umschaltstrom bei FXC 6 C 1.

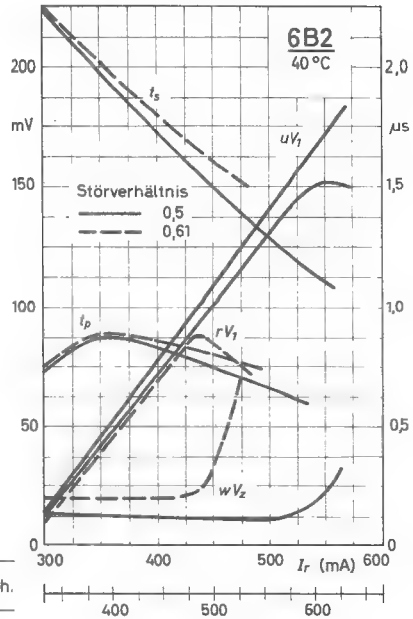
Die Anstiegsflanke der Prüfimpulse ist linear.



| Abmessungen                           |                          |    |
|---------------------------------------|--------------------------|----|
| Außendurchmesser                      | $1,95 \pm 0,10$          | mm |
| Innendurchmesser                      | $1,30 \pm 0,07$          | mm |
| Höhe                                  | $0,58 \pm 0,07$          | mm |
| Betriebswerte bei 40 °C               |                          |    |
| Umschaltstrom $I_n$                   | 450                      | mA |
| $rV_1$                                | 100                      | mV |
| $wV_z$                                | 20                       | mV |
| Schaltzeit $t_s$                      | 1,8                      | µs |
| Garantiewerte                         |                          |    |
| $rV_1$                                | $\geq 72$                | mV |
| $wV_z$                                | $\leq 24$                | mV |
| Spitzenzeit $t_p$                     | $0,75 \leq t_p \leq 1,0$ | µs |
| Schaltzeit $t_s$                      | $\leq 2,1$               | µs |
| Prüfbedingungen für die Garantiewerte |                          |    |
| $-I_r = I_w$                          | 405                      | mA |
| $-I_{pr} = I_{pw}$                    | 247                      | mA |
| Anstiegszeit $t_r$ (linear)           | 0,3                      | µs |
| Impulsdauer $t_d$                     | 5                        | µs |
| Anzahl der Störimpulse                | 32                       |    |
| Bezugsspannung $V_{ref}$              | 7,0                      | mV |
| Kerntemperatur                        | 40                       | °C |



Meßtemperatur 25 °C



Meßtemperatur 40 °C

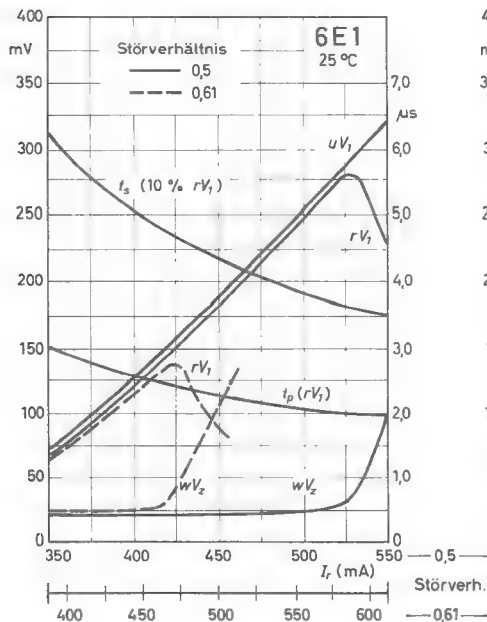
Abhängigkeit der Ausgangsimpulse  $uV_1$ ,  $rV_1$  und  $wV_z$  sowie der Schaltzeit  $t_s$  und der Spitzenzeit  $t_p$  vom Umschaltstrom bei FXC 6B2.

Die Anstiegsflanke der Prüfimpulse ist linear.

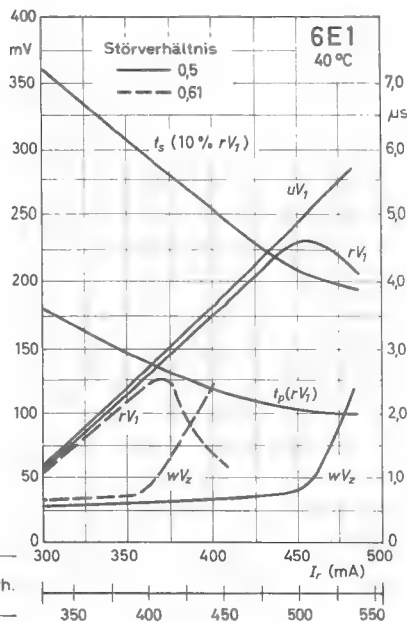


Dieser Kern kann auch als Schaltkern verwendet werden

| Abmessungen                          |   |    |
|--------------------------------------|---|----|
| Außendurchmesser                     | $3,8 \pm 0,1$   | mm |
| Innendurchmesser                     | $2,2 \pm 0,1$   | mm |
| Höhe                                 | $1,5 \pm 0,1$   | mm |
| Betriebswerte bei 40 °C              |   |    |
| Umschaltstrom $I_n$                  | 340   | mA |
| Schaltzeit $t_s$                     | 9   | µs |
| Garantiewerte                        |   |    |
| $rV_1$                               | $\geq 45$<br>(zwischen $t_a = 2,6 \mu s$<br>und $t_e = 4,4 \mu s$ ) | mV |
| $wV_z$                               | $\leq 6$<br>(nach $t_a = 2,3 \mu s$ )                               | mV |
| Schaltzeit $t_s$                     | $\leq 10,5$   | µs |
| Prübedingungen für die Garantiewerte |   |    |
| $-I_r = I_w$                         | 308   | mA |
| $-I_{pr} = I_{pw}$                   | 189   | mA |
| Anstiegszeit $t_r$ (linear)          | 0,8   | µs |
| Impulsdauer $t_d$                    | 25  | µs |
| Anzahl der Störimpulse               | 32  |    |
| Bezugsspannung $V_{ref}$             | 5   | mV |
| Kerntemperatur                       | 40  | °C |



Meßtemperatur 25 °C



Meßtemperatur 40 °C

Abhängigkeit der Ausgangsimpulse  $u_{V_1}$ ,  $r_{V_1}$  und  $w_{V_z}$  sowie der Schaltzeit  $t_s$  und der Spitzenzeit  $t_p$  vom Umschaltstrom bei FXC 6E1.

Die Anstiegsflanke der Prüfimpulse ist linear.

$t_s$  Schaltzeit, gemessen zwischen dem Bezugspunkt  $t_1$  auf der Vorderflanke des Stromimpulses I und demjenigen Punkt auf der Rückflanke des Ausgangsimpulses, in dem  $r_{V_1}$  auf ein Zehntel abgesunken ist ( $V_{ref}$ ).



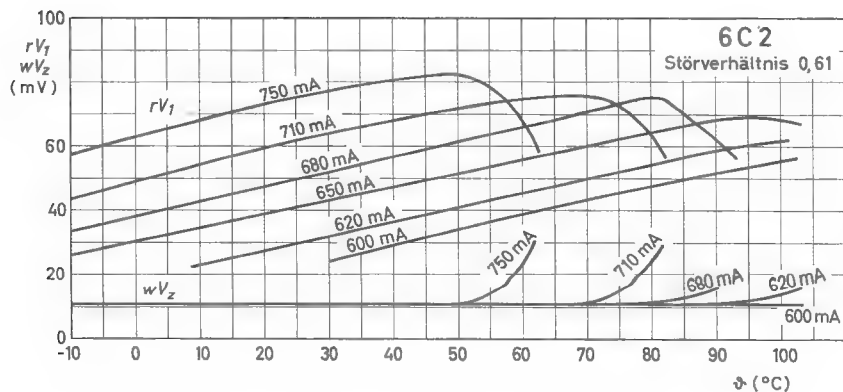
| Abmessungen                           |                           |    |
|---------------------------------------|---------------------------|----|
| Außendurchmesser                      | 1,27                      | mm |
| Innendurchmesser                      | 0,80                      | mm |
| Höhe                                  | 0,38                      | mm |
| Betriebswerte bei 0...65 °C           |                           |    |
| Umschaltstrom $I_N$                   | 755                       | mA |
| $rV_1$                                | 56                        | mV |
| $wV_Z$                                | 8                         | mV |
| Schaltzeit $t_s$                      | 1,05                      | µs |
| Garantiewerte                         |                           |    |
| $rV_1$                                | $\geq 33$                 | mV |
| $wV_Z$                                | $\leq 11$                 | mV |
| Spitzenzeit $t_p$                     | $0,44 \leq t_p \leq 0,61$ | µs |
| Schaltzeit $t_s$                      | $\leq 1,15$               | µs |
| Prüfbedingungen für die Garantiewerte |                           |    |
| $-I_R = I_w$                          | 680                       | mA |
| $-I_{pr} = I_{pw}$                    | 415                       | mA |
| Anstiegszeit $t_r$ (linear)           | 0,25                      | µs |
| Impulsdauer $t_d$                     | 2,5                       | µs |
| Anzahl der Störimpulse                | 32                        |    |
| Kerntemperatur                        | 0 ... +65                 | °C |



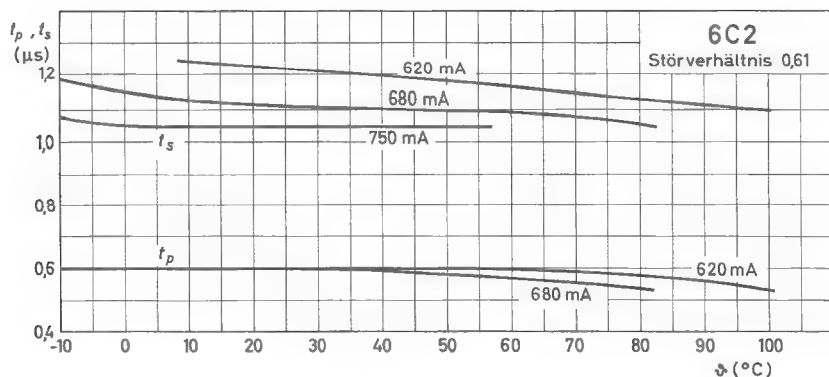


# Speicherkern aus FXC 6 C 2

K 5 281 46



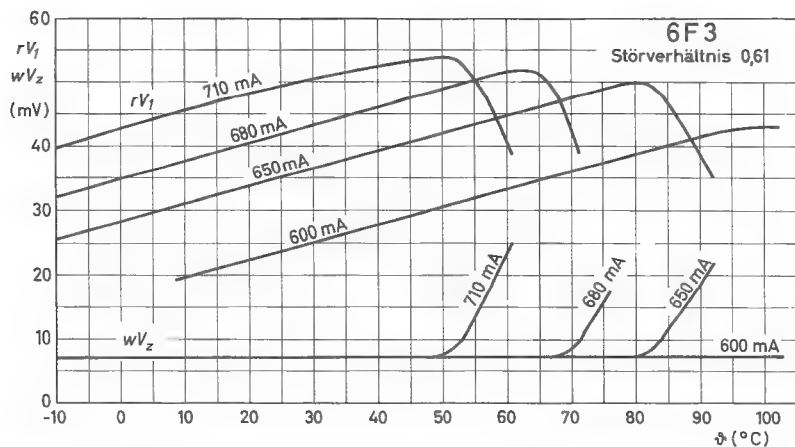
Abhängigkeit der Ausgangsimpulse  $rV_1$  und  $wV_z$  von der Temperatur bei FXC 6C2



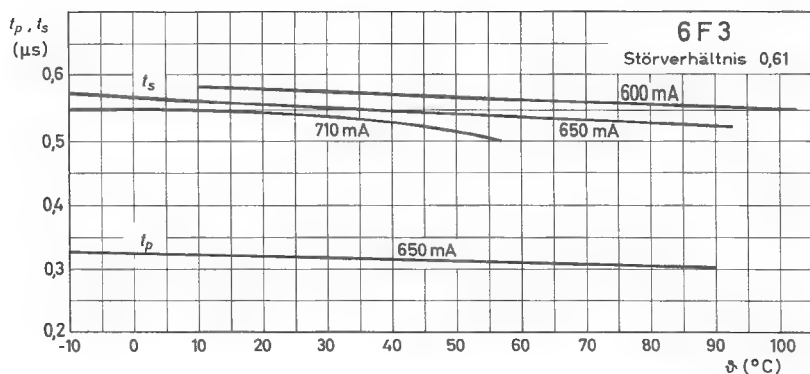
Abhängigkeit der Schaltzeit  $t_s$  und der Spitzenzeit  $t_p$  von der Temperatur bei FXC 6C2



| Abmessungen                           |                           |    |
|---------------------------------------|---------------------------|----|
| Außendurchmesser                      | 0,82                      | mm |
| Innendurchmesser                      | 0,49                      | mm |
| Höhe                                  | 0,21                      | mm |
| Betriebswerte bei +10...+70 °C        |                           |    |
| Umschaltstrom $I_n$                   | 740                       | mA |
| $rV_1$                                | 52                        | mV |
| $wV_z$                                | 6                         | mV |
| Schaltzeit $t_s$                      | 0,5                       | µs |
| Garantiewerte                         |                           |    |
| $rV_1$                                | $\geq 30$                 | mV |
| $wV_z$                                | $\leq 8$                  | mV |
| Spitzenzeit $t_p$                     | $0,22 \leq t_p \leq 0,31$ | µs |
| Schaltzeit $t_s$                      | $\leq 0,55$               | µs |
| Prüfbedingungen für die Garantiewerte |                           |    |
| $-I_r = I_w$                          | 665                       | mA |
| $-I_{pr} = I_{pw}$                    | 405                       | mA |
| Anstiegszeit $t_r$ (linear)           | 0,15                      | µs |
| Impulsdauer $t_d$                     |                           | µs |
| Anzahl der Störimpulse                | 32                        |    |
| Kerntemperatur                        | +10...+70                 | °C |



Abhängigkeit der Ausgangsimpulse  $rV_1$  und  $wV_z$  von der Temperatur bei FXC 6F3



Abhängigkeit der Schaltzeit  $t_s$  und der Spitzenzeit  $t_p$  von der Temperatur bei FXC 6F3



Kerne für Schaltzwecke werden aus Ferroxcube 6D und 6E1 hergestellt. Kerne aus Ferroxcube 6D sind magnetisch härter (größere Koerzitivfeldstärke) als solche aus Ferroxcube 6E1, die für niedrige Schaltströme geeignet sind.

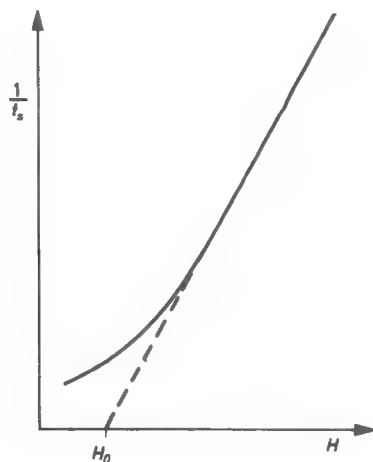


Bild 4 Zur Definition der Schwellenfeldstärke  $H_0$

Trägt man die reziproke Schaltzeit  $1/t_s$  gegen die Feldstärke  $H$  auf (Bild 4), so erhält man für Feldstärken, die bei Ferroxcube 6E1 etwa 0,5 A/cm und bei Ferroxcube 6D etwa 1 A/cm übersteigen, nahezu eine Gerade. Der extrapolierte Schnittpunkt dieser Geraden mit der  $H$ -Achse ergibt die Schwellenfeldstärke  $H_0$ , die in derselben Größenordnung liegt wie die Koerzitivfeldstärke  $H_c$ . Das Produkt  $t_s (H-H_0)$  (reziproke Steigung der Geraden) wird als Schaltkoeffizient bezeichnet

$$S = t_s (H-H_0) .$$

Dieser Kern eignet sich sowohl für Speicher- als auch für Schaltzwecke. Die nachstehenden Daten und grafischen Darstellungen sind bei Verwendung als Schaltkern von Wichtigkeit.

Bild 5 gibt den Reziprokwert der Schaltzeit  $t_s$  und die Ausgangsspannung pro Windung  $uV_1$  in Abhängigkeit von der Feldstärke an. Die Schwellenfeldstärke beträgt  $H_0 = 0,24 \text{ A/cm}$  und der Schaltkoeffizient  $S = t_s (H - H_0) = 0,80 \mu\text{s} \cdot \text{A/cm}$ . Bild 6 zeigt die Maximalinduktion  $B_m$  und die Remanenz  $B_r$  sowie das Verhältnis dieser Größen (relative Remanenz) als Funktion der Feldstärke.

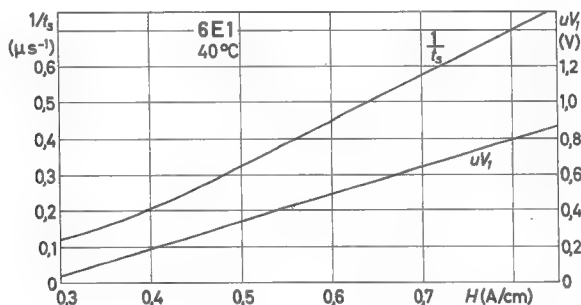


Bild 5

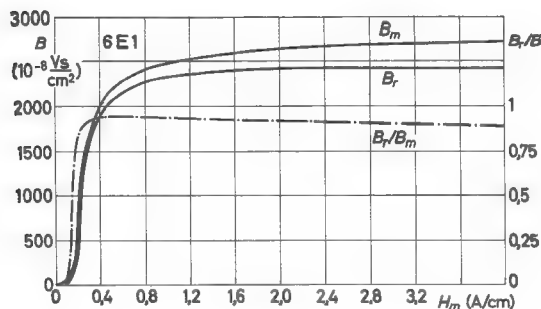


Bild 6



## Abmessungen

|                  |               |    |
|------------------|---------------|----|
| Außendurchmesser | $3,8 \pm 0,1$ | mm |
| Innendurchmesser | $2,2 \pm 0,1$ | mm |
| Höhe             | $1,5 \pm 0,1$ | mm |

## Nennwerte bei 40 °C

|           |      |       |      |                           |
|-----------|------|-------|------|---------------------------|
| $H_m$     | 0,30 | 0,395 | 0,64 | A/cm                      |
| $B_m$     | 1650 | 1980  | 2320 | $10^{-8} \text{ Vs/cm}^2$ |
| $B_r/B_m$ | 0,91 | 0,93  | 0,94 |                           |
| $t_s$     | 8    | 5     | 2    | µs                        |

Die Kerne eignen sich hauptsächlich für Schaltaufgaben. Bild 7 zeigt den Verlauf der Hystereseschleife für verschiedene Maximalfeldstärken  $H_m$ . Die Prüfung der Kerne erfolgt bei zwei unterschiedlichen  $H_m$ -Werten. Die Schwellenfeldstärke beträgt  $H_0 = 0,50 \text{ A/cm}$  und der Schaltkoeffizient  $S = t_s (H - H_0) = 0,96 \mu\text{s} \cdot \text{A/cm}$ . In der Tabelle sind die für alle Kerne aus Ferroxcube 6D bei  $40^\circ\text{C}$  geltenden Nennwerte angegeben. Die Curie-Temperatur liegt oberhalb  $300^\circ\text{C}$ . Die Koerzitivfeldstärke nimmt um etwa  $0,2\text{ \%/grd}$  ab. Rechteckigkeitsverhältnis und maximale Induktion sind nahezu konstant für Temperaturen bis  $100^\circ\text{C}$ .

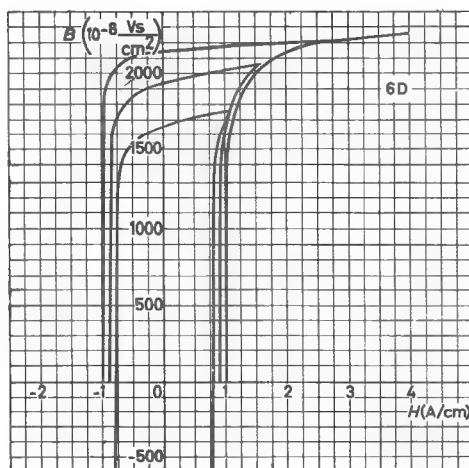


Bild 7





| Abmessungen |                               |                               |              |
|-------------|-------------------------------|-------------------------------|--------------|
| Typ         | Außen-<br>durchmesser<br>(mm) | Innen-<br>durchmesser<br>(mm) | Höhe<br>(mm) |
| K5 280 50   | 5,0 ± 0,2                     | 3,0 ± 0,2                     | 1,0 ± 0,1    |
| K5 280 45   | 8,0 ± 0,2                     | 6,0 ± 0,2                     | 2,0 ± 0,1    |
| K5 280 55   | 13,4 ± 0,4                    | 8,71 ± 0,3                    | 5,6 ± 0,3    |
| K5 280 60   | 26,0 ± 0,8                    | 20,3 ± 0,6                    | 7,2 ± 0,3    |

| Nennwerte bei 40 °C |      |      |                           |
|---------------------|------|------|---------------------------|
| $H_m$               | 1,1  | 2,2  | A/cm                      |
| $H_c$               | 0,68 | 0,91 | A/cm                      |
| $B_m$               | 1700 | 2100 | $10^{-8} \text{ Vs/cm}^2$ |
| $B_r/B_m$           | >0,9 | >0,9 |                           |
| $t_s$               | <2,0 | <1,0 | µs                        |

Speicherkerne aus Ferroxcube 6 sind fertig verdrahtet in vollständigen Speichermatrizen und -blöcken lieferbar. Hiervon stehen mehrere Standardtypen zur Verfügung, die sich in der Art und Anzahl der Speicherkerne sowie in der Verdrahtungsart unterscheiden. Auf Wunsch sind auch Spezialanfertigungen mit anderer Speicherkernzahl und Verdrahtung möglich.

Die Verdrahtung der Standardmatrizen besteht aus den Treiberdrähten (X- und Y-Drähten), dem Lesedraht und dem Inhibitdraht (Blockierdraht). Im Hinblick auf die verschiedenen Treiberstufen können die Matrizen sowohl mit einem als auch mit zwei X- und Y-Drähten pro Reihe und Spalte gelie-

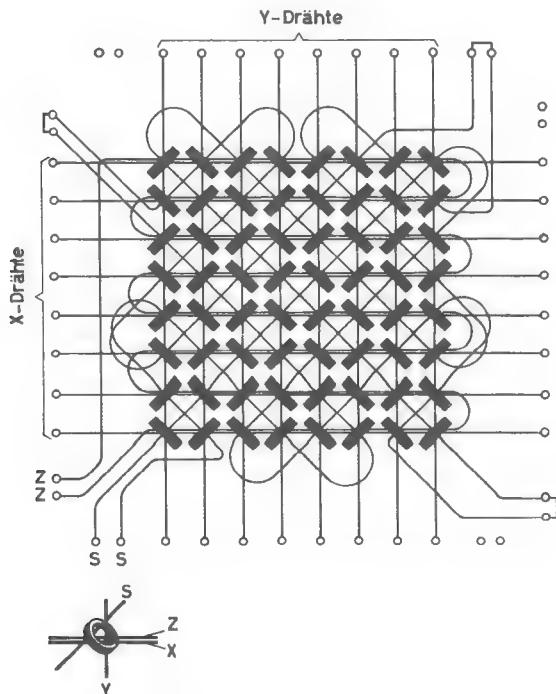


Bild 8 zeigt die Verdrahtung einer Matrix mit je einem X- und Y-Draht pro Reihe und Spalte.

fert werden. Durch jeden Kern in der Matrix laufen somit 4 bzw. 6 Drähte. Der Lesedraht wird diagonal durch die Matrix geführt; der Inhibitdraht verläuft parallel zu den X-Drähten.

Jede Matrix ist in einem Rahmen untergebracht, der zur Halterung der Drähte sowie zur mechanischen Befestigung der Lötstifte dient. In einem Rahmen, d.h. in einer Ebene, können auch mehrere Matrizen, z.B. vier,

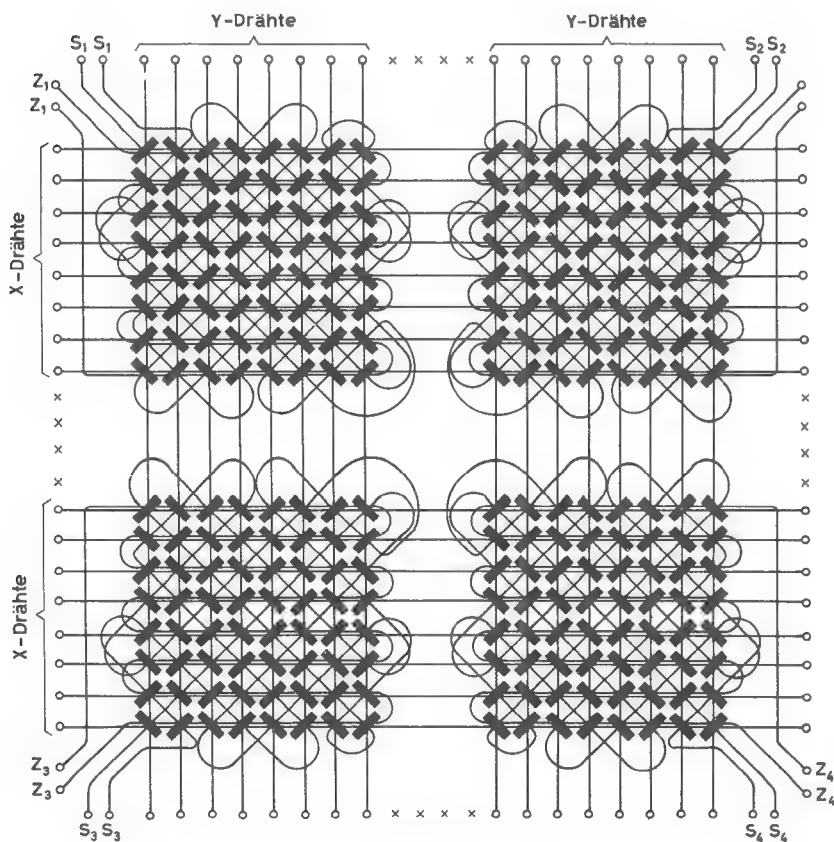


Bild 9 Vier Matrizen in einer Ebene

## Speichermatrizen und -blöcke mit Ringkernen aus FXC 6



angeordnet werden (Bild 9). In diesem Fall sind die X- und Y-Drähte je zweier Matrizen in Reihe geschaltet, jedoch hat jede Matrix einen eigenen Lese- und Blockierdraht.

Die Lötstifte an den Rahmen der Matrizen sind gegeneinander versetzt in zwei Ebenen angeordnet, um Montage und Verdrahtung der Speichermatrizen zu Speicherblöcken zu erleichtern. Ist z.B. der erste X-Draht von links an einem tiefgesetzten Lötstift befestigt, so liegt der zweite X-Draht von links an einem hochgesetzten Lötstift. Der erste Y-Draht von links ist dann an einem hochgesetzten Lötstift befestigt, der zweite an einem tiefgesetzten usw.

Alle Matrix-Standardtypen sind in den Ausführungsformen I und II lieferbar, die sich nur durch eine Drehung des Rahmens um  $90^\circ$  unterscheiden und somit eine spiegelbildlich gleiche Anordnung der Lötstifte besitzen. Dadurch können aufeinandergestapelte Matrizen bei abwechselnder Verwendung der beiden Ausführungsformen in einfacher Weise hintereinandergeschaltet werden (Inhibitdraht im Speicherblock bei jeder Ebene parallel zum X-Draht laufend).

Wird der Speicherblock durch Versetzung von Speicherebenen gleichen Typs um  $90^\circ$  aufgebaut, so läuft der Inhibitdraht im Speicherblock abwechselnd parallel zum X-Draht und zum Y-Draht.

Die in den Tabellen jeweils für die gleiche Zeile angegebenen beiden Typennummern beziehen sich auf die beiden Ausführungsformen der Matrizen.

## Übersicht der Rahmensysteme

| Rahmensystem     | Rastermaß<br>mm | Höhe<br>mm   | Material          |
|------------------|-----------------|--------------|-------------------|
| für 1,3 mm-Kerne | 1,27            | 4,9          | Hartgewebe        |
| für 2 mm-Kerne   | 2,03            | 7,2 bzw. 8,5 | Preßstoff         |
| für 0,8 mm-Kerne | 1,003           | 3,2          | Glasgewebe-Epoxyd |

3,8 mm-Kerne (Ferroxcube 6E1) lassen sich in den Rahmen für 1,3 mm-Kerne unterbringen (maximal 42 x 42). In diesem Fall wird nur jeder dritte Lötstift an einen Treiberdraht angeschlossen.

2 mm-Kerne können ebenfalls in den Rahmen für 1,3 mm-Kerne verdrahtet werden (maximal 64 x 64). Hier wird nur jeder zweite Lötstift an einen Treiberdraht angeschlossen.

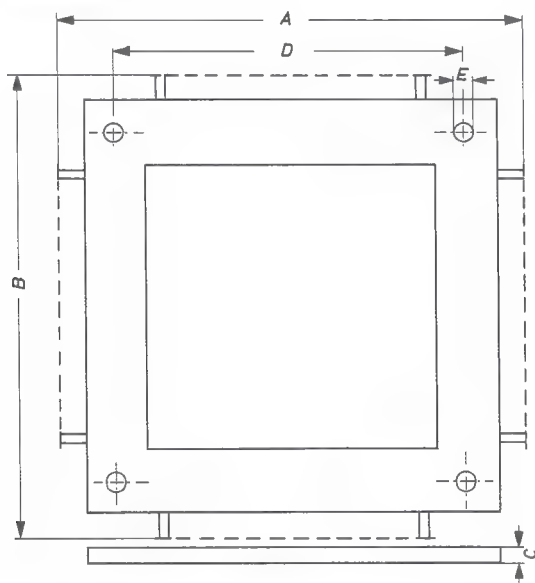
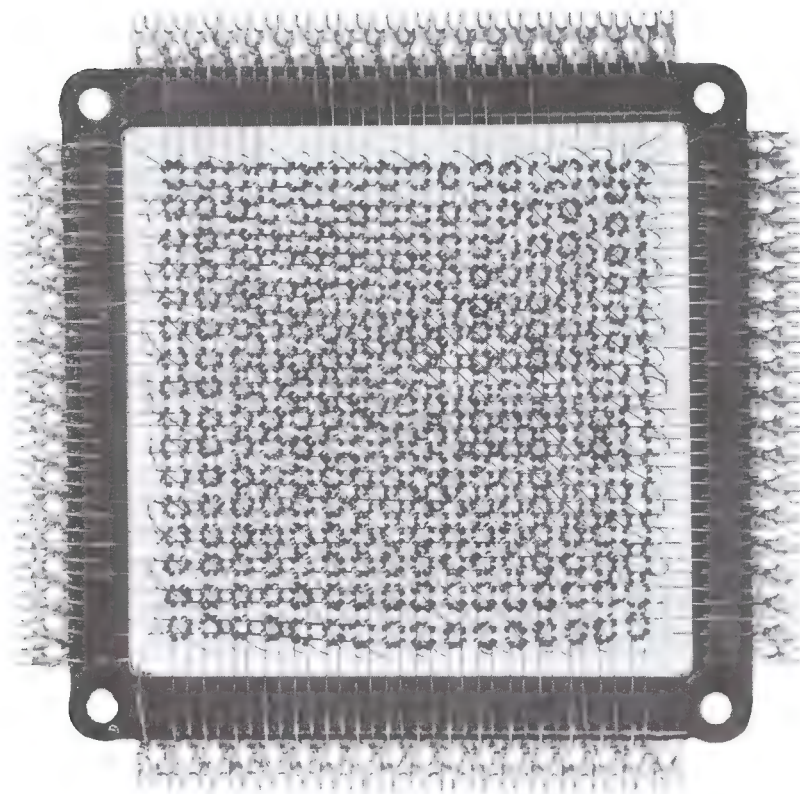


Bild 10 Abmessungen der Matrizen zu den folgenden Tabellen über 2 mm- und 1,3 mm-Kerne. (Die Ecken der Preßstoffrahmen für 2 mm-Kerne sind abgerundet).

## Speichermatrizen mit 2 mm-Kernen

Nicht für Neuentwicklung



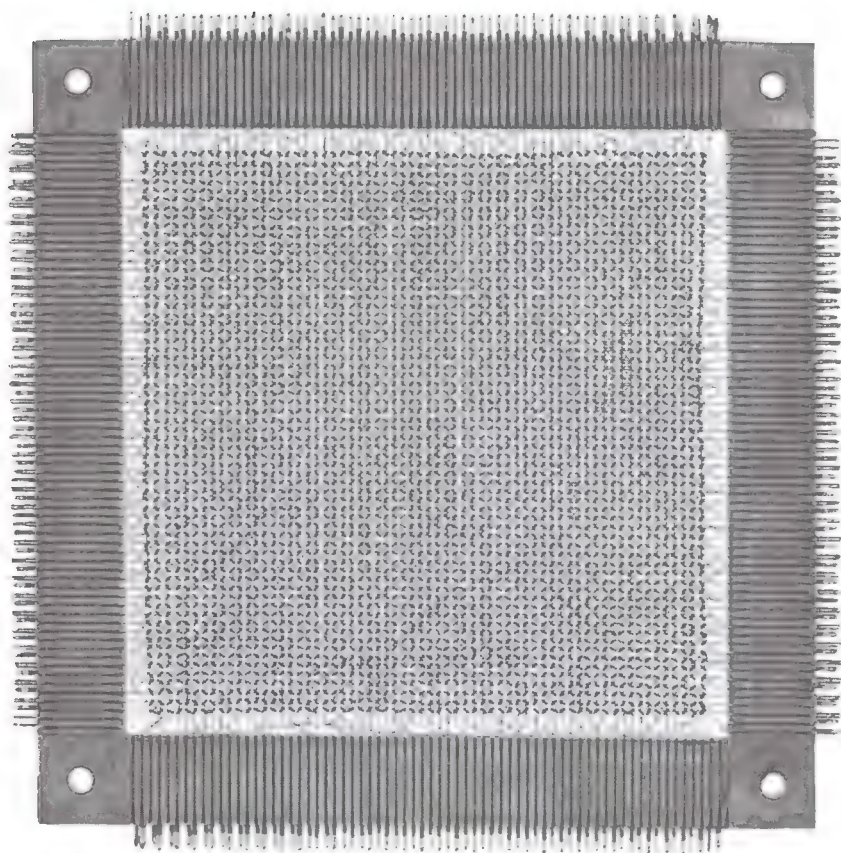
Matrix aus 2 mm-Kernen im Preßstoffrahmen

Die Rahmen für 2 mm-Kerne (Ferroxcube 6B2) bestehen aus hochwertigem Preßstoff (s. Foto und Bild 10) und werden in nur zwei Größen angefertigt, nämlich für maximal 32 x 32 oder maximal 64 x 64 Kerne. Die äußeren Abmessungen einschließlich der Lötanschlüsse betragen 104 mm x 104 mm x 7,2 mm bzw. 202 mm x 202 mm x 8,5 mm.

| Typ                    | Matrizen-<br>ausführung | Anzahl<br>der<br>Kerne | Verdrahtung <sup>*)</sup> | Abmessungen (s. Bild 10)<br>(mm) |           |             |            |             | Abstand der<br>Zeilen und<br>Spalten (mm) | Induktivität<br>(µH) |                |           | Widerstand<br>(Ω) |                |           |
|------------------------|-------------------------|------------------------|---------------------------|----------------------------------|-----------|-------------|------------|-------------|---|----------------------|----------------|-----------|-------------------|----------------|-----------|
|                        |                         |                        |                           | A                                | B         | C           | D          | E           |   | Treiberdraht         | Inhibitorbraht | Lesedraht | Treiberdraht      | Inhibitorbraht | Lesedraht |
| B1 669 26<br>B1 669 27 | I<br>II                 | 64 x 64                | 1X, 1Y                    | 202                              | 202       | 8,5         | 170        | 5,3         | 2   | 0,6                  | 30             | 35        | 0,15              | 5,5            | 6,7       |
| B1 669 13<br>B1 669 14 | I<br>II                 | 32 x 32                | 1X, 1Y                    | 104<br>±1                        | 104<br>±1 | 7,2<br>±0,1 | 80<br>±0,2 | 4,3<br>±0,1 | 2   | 0,3                  | 8              | 9         | 0,1               | 1,3            | 1,8       |
| B1 669 21<br>B1 669 22 | I<br>II                 | 32 x 32                | 2X, 2Y                    | 202                              | 202       | 8,5         | 170        | 5,3         | 4   | 0,4                  | 10             | 12        | 0,15              | 2,8            | 3,5       |
| B1 669 24<br>B1 669 25 | I<br>II                 | 16 x 16                | 2X, 2Y                    | 104<br>±1                        | 104<br>±1 | 7,2<br>±0,1 | 80<br>±0,2 | 4,3<br>±0,1 | 4   | 0,2                  | 4              | 5         | 0,1               | 0,7            | 1,0       |
| B1 669 16<br>B1 669 17 | I<br>II                 | 4x10x10                | 1X, 1Y                    | 104<br>±1                        | 104<br>±1 | 7,2<br>±0,1 | 80<br>±0,2 | 4,3<br>±0,1 | 2   |                      |                |           |                   |                |           |
| B1 669 28<br>B1 669 29 | I<br>II                 | 4x16x16                | 1X, 1Y                    | 104<br>±1                        | 104<br>±1 | 7,2<br>±0,1 | 80<br>±0,2 | 4,3<br>±0,1 | 2   |                      |                |           |                   |                |           |

\*) Alle Speichermatrizen enthalten außer den angegeb. Treiberdrähten einen Lese- und einen Inhibitorbraht

## Rahmen für 1,3 mm-Kerne



Matrix aus 1,3 mm-Kernen im hochisolierenden Hartgeweberahmen

Die Rahmen für 1,3 mm-Kerne (Ferroxcube 6C1, 6D5, 6C2) sind aus hochisolierendem Hartgewebe hergestellt (s. Foto). Jede Seite des rechteckigen Rahmens besteht aus zwei zusammengeklebten Leisten. Dieses Rahmensystem ermöglicht die Herstellung des für den jeweiligen Fall optimalen Rahmengröße (maximale Rahmengröße für 128 x 128 Kerne). Der Abstand der Lötstifte (von Mitte zu Mitte eines Stiftes) beträgt 1,27 mm; an jeder Seite des





Rahmens sind neben den Lötstiften für die Treiberdrähte noch zwei weitere für den Lese- und Inhibitdraht eingesetzt. Für die Rahmen einschließlich der Lötanschlüsse werden weitere 34,1 mm benötigt. Die Höhe der Rahmen beträgt einheitlich 4,9 mm, so daß die äußeren Abmessungen der Matrix einschließlich der Lötanschlüsse durch

$$\left[ (p + 4) \cdot 1,27 + 34,1 \right] \times \left[ (q + 4) \cdot 1,27 + 34,1 \right] \times 4,9 \text{ mm}$$

(p = Zahl der Spalten, q = Zahl der Reihen) gegeben sind. Die Lötstifte benachbarter Ebenen liegen bei abwechselnder Verwendung der beiden Ausführungsformen so dicht beieinander, daß sie ohne weitere Drähte durch Tauchlöten verbunden werden können. Soll der Speicherblock eine ungerade Anzahl von Ebenen enthalten, so muß eine gerade Anzahl der Ausführungsform I verwendet werden. Ein Speicherblock kann auch unter Verwendung nur einer Rahmenausführungsform durch Drehung jeder zweiten Ebene um 90° aufgebaut werden (s. Tabelle: Speichermatrizen mit 1,3 mm-Kernen).

### Typennummernschlüssel

Typ      B8      620      ..      /      .      ..

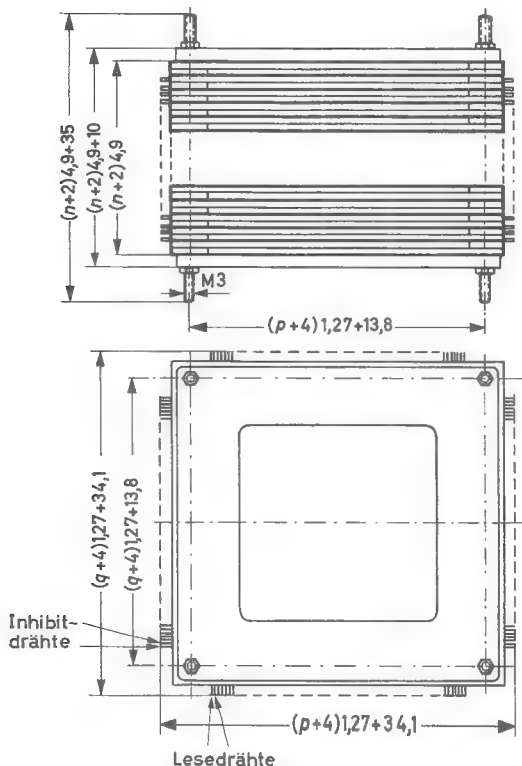
|   |
|---|
| Speichermatrizen mit 1,3 mm-Kernen  |
| Kennziffer f. Anz. d. Kerne p. Matrize  |
| Kernmaterial: C = 6C1; D = 6D5  |
| Matrizenausführung: I = 12; II = 13   |
| Bei Matrizen mit gelochten Lötstiften, die in Speicherblöcken die erste bzw. letzte Ebene bilden: |
| Ausführung I = 14; II = 11  |

# Speichermatrizen mit 1,3 mm-Kernen



| mit Ringkernen<br>aus FXC 6C1<br>K5 281 45 |                | mit Ringkernen<br>aus FXC 6D5<br>K5 281 10 |        | Anzahl<br>der<br>Kerne | Verdrahtung <sup>†)</sup> | Abmessungen (s. Bild 10)<br>(mm) |        |     |   |   |
|--|----------------|--|--------|------------------------|---------------------------|----------------------------------|--------|-----|---|---|
| Typ  |                |  |        |                        |                           | A                                | B      | C   | D | E |
| B8 620 01/C 12                             | B8 620 01/D 12 | 16 x 16                                    | 1X, 1Y | 60                     | 60                        | 4,9                              | 40     | 3,2 |   |   |
| B8 620 01/C 13                             | B8 620 01/D 13 |  |        |                        |                           |                                  |        |     |   |   |
| B8 620 02/C 12                             | B8 620 02/D 12 | 32 x 32                                    | 1X, 1Y | 80                     | 80                        | 4,9                              | 60     | 3,2 |   |   |
| B8 620 02/C 13                             | B8 620 02/D 13 |  |        |                        |                           |                                  |        |     |   |   |
| B8 620 03/C 12                             | B8 620 03/D 12 | 64 x 64                                    | 1X, 1Y | 120                    | 120                       | 4,9                              | 100    | 3,2 |   |   |
| B8 620 03/C 13                             | B8 620 03/D 13 |  |        |                        |                           |                                  |        |     |   |   |
| B8 620 04/C 12                             | B8 620 04/D 12 | 16 x 32                                    | 1X, 1Y | 80                     | 60                        | 4,9                              | 60/40  | 3,2 |   |   |
| B8 620 04/C 13                             | B8 620 04/D 13 |  |        |                        |                           |                                  |        |     |   |   |
| B8 620 05/C 12                             | B8 620 05/D 12 | 32 x 64                                    | 1X, 1Y | 120                    | 80                        | 4,9                              | 100/60 | 3,2 |   |   |
| B8 620 05/C 13                             | B8 620 05/D 13 |  |        |                        |                           |                                  |        |     |   |   |
| B8 620 06/C 12                             | B8 620 06/D 12 | 4x16x16                                    | 1X, 1Y | 85                     | 85                        | 4,9                              | 65     | 3,2 |   |   |
| B8 620 06/C 13                             | B8 620 06/D 13 |  |        |                        |                           |                                  |        |     |   |   |
| B8 620 07/C 12                             | B8 620 07/D 12 | 4x32x32                                    | 1X, 1Y | 125                    | 125                       | 4,9                              | 105    | 3,2 |   |   |
| B8 620 07/C 13                             | B8 620 07/D 13 |  |        |                        |                           |                                  |        |     |   |   |
| B8 620 12/C 12                             | B8 620 12/D 12 | 8 x 8                                      | 2X, 2Y | 60                     | 60                        | 4,9                              | 40     | 3,2 |   |   |
| B8 620 12/C 13                             | B8 620 12/D 13 |  |        |                        |                           |                                  |        |     |   |   |
| B8 620 13/C 12                             | B8 620 13/D 12 | 16 x 16                                    | 2X, 2Y | 80                     | 80                        | 4,9                              | 60     | 3,2 |   |   |
| B8 620 13/C 13                             | B8 620 13/D 13 |  |        |                        |                           |                                  |        |     |   |   |
| B8 620 14/C 12                             | B8 620 14/D 12 | 32 x 32                                    | 2X, 2Y | 120                    | 120                       | 4,9                              | 100    | 3,2 |   |   |
| B8 620 14/C 13                             | B8 620 14/D 13 |  |        |                        |                           |                                  |        |     |   |   |
| B8 620 17/C 12                             | B8 620 17/D 12 | 4x8x8                                      | 2X, 2Y | 85                     | 85                        | 4,9                              | 65     | 3,2 |   |   |
| B8 620 17/C 13                             | B8 620 17/D 13 |  |        |                        |                           |                                  |        |     |   |   |
| B8 620 18/C 12                             | B8 620 18/D 12 | 4x16x16                                    | 2X, 2Y | 125                    | 125                       | 4,9                              | 105    | 3,2 |   |   |
| B8 620 18/C 13                             | B8 620 18/D 13 |  |        |                        |                           |                                  |        |     |   |   |

<sup>+</sup>) Alle Speichermatrizen enthalten außer den angegebenen Treiberdrähten einen Lese- und Inhibitdraht



**Bild 11** Abmessungen des Speicherblocks  
mit Rahmen für 1,3 mm-Kerne

Fertig verdrahtete Speicherblöcke bestehen aus einer Anzahl von aufeinander-gestapelten Matrizen oder Ebenen, wobei entweder die oben erwähnten Aus-führungsformen der Matrizen abwechselnd verwendet sind, oder bei Verwendung nur einer Ausführung jede 2. Ebene um 90° versetzt ist. Um den Speicher-block vor mechanischen Beschädigungen zu schützen, sind oben und unten am Speicher je ein Leerrahmen und eine Aluminiumplatte angebracht. Die gesamte Anordnung wird mittels Messingbolzen durch die Löcher in den Rahmenecken zusammengebaut. Bild 11 zeigt die geometrischen Abmessungen eines Speicherblocks.

## Typennummernschlüssel

Typ B8 749 .. / . ..

|   |
|---|
| Speicherblöcke<br>mit Rahmen für 1,3 mm-Kerne |
| Kennziffer f. Anz. d. Kerne p. Matrize        |
| Kernmaterial C = 6C1; D = 6D5                 |
| Anzahl der Matrizen pro Speicherblock         |

| Typ                  |                      | Anzahl der Kerne<br>pro Matrize | Verdrahtung <sup>*)</sup> | Abmessungen (mm) s. Bild 11 |        |                         |  |
|----------------------|----------------------|---------------------------------|---------------------------|-----------------------------|--------|-------------------------|--|
| FXC 6C1<br>K5 281 45 | FXC 6D5<br>K5 281 10 |                                 |                           | Länge                       | Breite | Höhe des Speicherblocks | Höhe des Speicherblocks einschließlich einschließlicher Bolzen |
| B8 749 01/C ..       | B8 749 01/D ..       | 16 x 16                         | 1X, 1Y                    | 60                          | 60     | (n+2) · 4,9 + 10        | (n+2) · 4,9 + 35   |
| B8 749 02/C ..       | B8 749 02/D ..       | 32 x 32                         | 1X, 1Y                    | 80                          | 80     |                         |  |
| B8 749 03/C ..       | B8 749 03/D ..       | 64 x 64                         | 1X, 1Y                    | 120                         | 120    |                         |  |
| B8 749 06/C ..       | B8 749 06/D ..       | 4x16x16                         | 1X, 1Y                    | 85                          | 85     |                         |  |
| B8 749 07/C ..       | B8 749 07/D ..       | 4x32x32                         | 1X, 1Y                    | 125                         | 125    |                         |  |
| B8 749 13/C ..       | B8 749 13/D ..       | 16 x 16                         | 2X, 2Y                    | 80                          | 80     | (n+2) · 4,9 + 10        | (n+2) · 4,9 + 35   |
| B8 749 14/C ..       | B8 749 14/D ..       | 32 x 32                         | 2X, 2Y                    | 120                         | 120    |                         |  |

Speicherblöcke mit Rahmen für 0,8 mm-Kerne auf Anfrage.

<sup>\*)</sup> Alle aufgeführten Speichermatrizen und -blöcke enthalten außer den angegebenen Treiberdrähten einen Lese- und einen Blockierdraht.



## **Piezomagnetische Leistungswandler aus Ferroxcube 7**





Piezomagnetische Ultraschallschwinger werden aus dem Ferritwerkstoff Ferroxcube 7 hergestellt. Sie besitzen eine hohe negative Magnetostraktion und behalten ihre piezomagnetische Aktivität bis zu Temperaturen über 350 °C. Infolge ihres hohen spezifischen Widerstandes treten praktisch keine Wirbelströme auf; eine Lamellierung wie bei metallischen Schwingern ist daher nicht erforderlich.

Die Ultraschallschwinger sind in den Sorten Ferroxcube 7A1, 7A2 und 7B lieferbar.

Schwinger aus Ferroxcube 7A1 und 7A2 dienen zur Abstrahlung hoher Leistungen und werden vor allem für die Ultraschalloberflächenreinigung verwendet.

Ferroxcube 7A2 hat eine geringe Temperaturabhängigkeit des piezomagnetischen Kopplungskoeffizienten (Erklärung s. folgende Seite), während der Kopplungskoeffizient von Ferroxcube 7A1 im Bereich der Zimmertemperatur größer ist als bei Ferroxcube 7A2. Schwinger aus Ferroxcube 7B finden in elektrischen und mechanischen Bandfiltern Verwendung. Sie besitzen gegenüber Schwingern aus Ferroxcube 7A1 und 7A2 eine geringere maximale Bandbreite, aber eine höhere Stabilität sowie eine höhere mechanische Güte.

#### Erläuterung der magnetostriktiven Grundbegriffe

In der Tabelle sind die wichtigsten Eigenschaften unserer Ferroxcube 7-Sorten aufgeführt. Die Magnetostraktion  $\lambda$  als Funktion der magnetischen Polarisation  $J$  ist in Bild 1 dargestellt; die Porosität  $p$  (Porenvolumen/Gesamtvolumen) ist bei Ferroxcube 7 sehr niedrig. Die mechanische Güte  $Q_E^H$  (der obere Index gibt diejenige Größe an, die gleich Null oder konstant gesetzt ist) des frei schwingenden Kernes mit offener Spule erreicht infolge der vernachlässigbaren Wirbelstromverluste hohe Werte. Die Definition von  $Q_E^H$  erfolgt durch die Gleichung

$$E^H = E^{H'} \left( 1 + \frac{1}{Q_E^H} \right),$$

wo  $E^H$  der Elastizitätsmodul des frei schwingenden Kernes mit offener Spule und  $E^{H'}$  der entsprechende Realteil ist.



| Ferroxcube-Sorte | Sättigungs-Magnetostraktion<br>$\lambda_{\text{sat}}$ | Porosität<br>p | Curie Temperatur<br>$T_C$ | Spezif. elektr. Widerstand<br>$\rho_{el}$ | Mechanische Güte des völlig freischwingenden Kernes mit offener Spule<br>$Q_E^H$ | Piezomagnetischer Koeffizient $k'_{\text{opt}}$ (optimale Vormagnetisierung $B_{\text{opt}}=0,7 B_{\text{sat}}$ ) | Für maximales $k'$ erforderliche Vormagnetisierung<br>$H_{\text{opt}}$ |
|------------------|---|----------------|---------------------------|---|--|---|--|
|                  |   |                |                           |   |  |   |  |
|                  | $10^{-6}$   | %              | °C                        | $\Omega \text{ cm}$                       |  |   | A/cm   |
| Ferroxcube 7A1   | -28   | 1 - 4          | 530                       | $10^2 - 10^3$                             | $\geq 2000$  | 0,25 - 0,32   | 12 - 20  |
| Ferroxcube 7A2   | -28   | 1 - 4          | 530                       | $10^2 - 10^3$                             | $\geq 2500$  | 0,20 - 0,26   | 9 - 14   |
| Ferroxcube 7B    | -27   | ca. 10         | 590                       | $> 10^4$                                  | $\geq 4000$  | 0,19 - 0,22   | 25 - 50  |



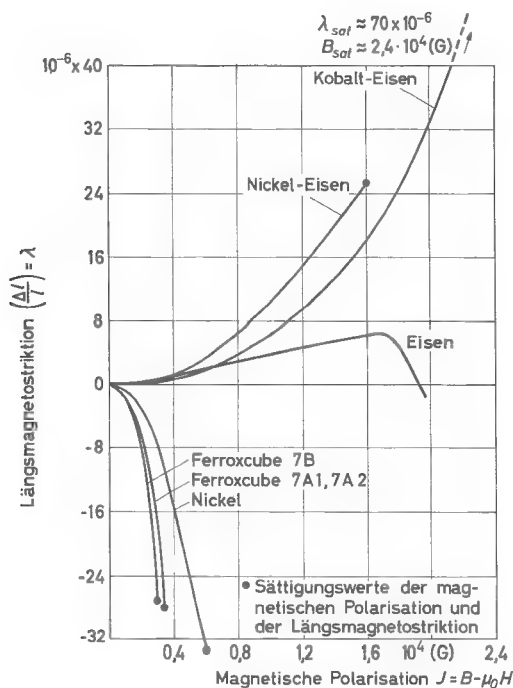


Bild 1 Magnetostraktion als Funktion der Polarisation (Neukurven).

Der piezomagnetische Kopplungskoeffizient  $k$  ist definiert durch die Gleichung

$$k^2 = \frac{\mu^{\sigma} - \mu^{\lambda}}{\mu^{\sigma}}$$

Hierin bedeutet  $\mu^{\sigma}$  die reversible Permeabilität, wenn keine Zugspannung  $\sigma$  vorhanden ist, während  $\mu^{\lambda}$  die reversible Permeabilität bei konstanter Länge ( $\lambda = 0$ ) darstellt. Da  $\mu^{\sigma}$  und  $\mu^{\lambda}$  komplexe Größen sind, ist auch  $k$  eine komplexe Größe. Der Realteil hiervon ( $k'$ ) besitzt ein Maximum ( $k'_{\text{opt}}$ ), wenn  $B_{\text{opt}} \sim 0,7 B_{\text{sat}}$  ist. Die hierfür erforderliche Vormagnetisierung

$H_{opt}$  ist in der letzten Spalte der Tabelle angegeben. Der Wert  $k'$  ist ein Maß für die Umwandlung gespeicherter magnetischer Energie in mechanische (elastische) Energie bei Frequenzen weit unterhalb der mechanischen Resonanzfrequenz.

Der elektroakustische Wirkungsgrad  $\eta_{ea}$  (abgestrahlte akustische Leistung/zugeführte elektrische Leistung) ist infolge der hohen Güte der Ferroxcube 7-Schwinger sehr hoch. In Bild 2 ist  $\eta_{ea}$  für verschiedene Schallwandler angegeben, die bei ihrer charakteristischen Frequenz  $f_{max}$ , d.h. bei höchstem Wirkungsgrad betrieben werden.

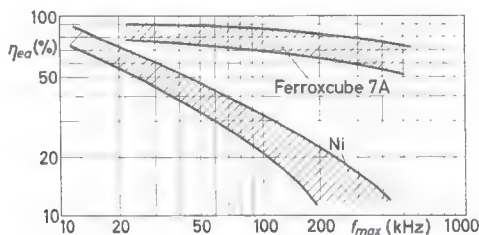


Bild 2 Abhängigkeit des elektroakustischen Wirkungsgrades  $\eta_{ea}$  massiver Ferritschwinger und lamellierter Nickelschwinger von der charakteristischen Frequenz  $f_{max}$

Die Resonanzfrequenzen  $f^H$  und  $f^B$  sind die Frequenzen freier Schwingungen eines vormagnetisierten Kernes mit offener Wicklung (Wechselfeld  $H = 0$ ) bzw. kurzgeschlossener Wicklung (Wechselinduktion  $B = 0$ ). Die Frequenz  $f^B$  ist identisch mit der charakteristischen Frequenz  $f_{max}$ , die bei Leistungsabstrahlung den höchsten Wirkungsgrad ergibt. Gleichzeitig sind  $f^H$  und  $f^B$  auch die Frequenzen, bei denen die elektrische Impedanz des freien Übertragers einen Maximal- und Minimalwert besitzt (Bild 3).

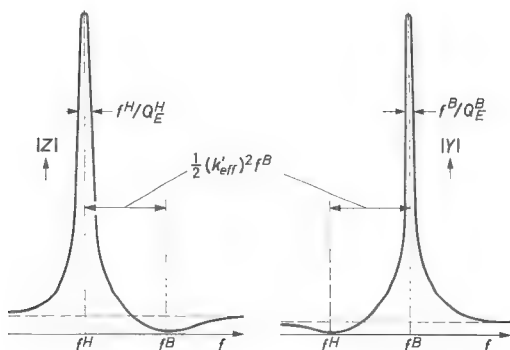


Bild 3 Frequenzabhängigkeit der absoluten Impedanz- und Admittanzwerte von akustisch unbelasteten piezomagnetischen Wandlern. Schematische Darstellung.

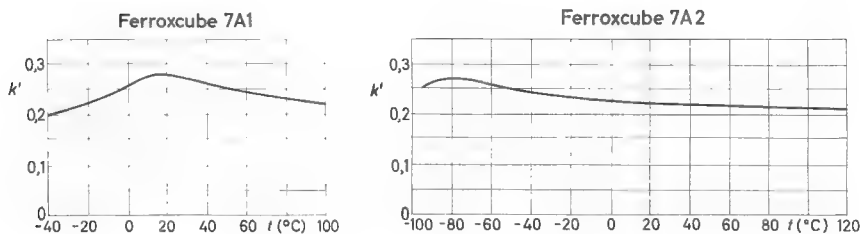
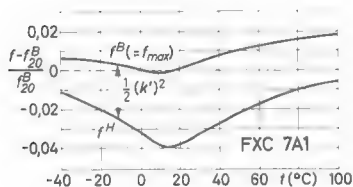
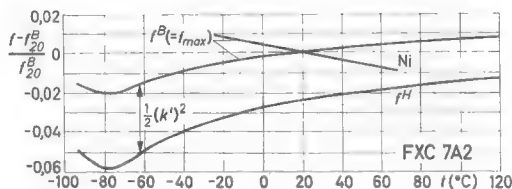


Bild 4 Temperaturabhängigkeit des Kopplungskoeffizienten von Ferroxcube 7A1 und 7A2.

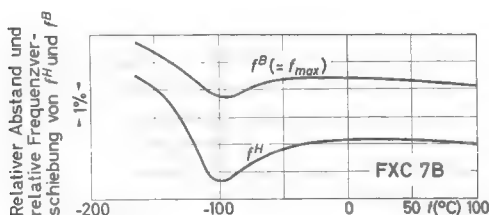
Bild 4 zeigt die Abhängigkeit des piezomagnetischen Kopplungskoeffizienten von der Temperatur für Ferroxcube 7A1 und 7A2. In Bild 5 ist die Temperaturabhängigkeit der Resonanzfrequenzen  $f^H$  und  $f^B$  für Ferroxcube 7A1, 7A2 und 7B dargestellt. Der Abstand zwischen  $f^H$  und  $f^B$  beträgt  $\frac{1}{2} k'^2 f^B$ .



a)



b)



c)

Bild 5 Temperaturabhängigkeit der mechanischen Eigenfrequenzen  $f^B$  und  $f^H$  von Ferroxcube 7A1 (a), 7A2 (b) und 7B (c).

Zur Amplitudenbegrenzung ist es oft zweckmäßig, ein piezoelektrisches Plättchen am Ultraschallswinger anzubringen, das eine Rückkopplungsspannung erzeugt und mit dieser den Generator gegenphasig steuert. Die Rückkopplungsspannung kann auch zur Selbsterregung des Generators verwendet werden; in diesem Fall arbeitet der Generator unabhängig von der Belastung stets in der Nähe der Frequenz, bei der der Wirkungsgrad am höchsten ist.

Die piezoelektrischen Plättchen sind aus Bleizirkonat hergestellt. Ihr Durchmesser beträgt 16 mm, ihre Dicke 1 mm. Weitere Daten werden auf Anfrage mitgeteilt.

## Erläuterungen zu den Datenblättern

$\phi H_{opt}$  ds gibt die Amperewindungszahl an, die zur Erzielung von  $k'_{opt}$  erforderlich ist.  $N_{max}$  ist, die maximal zulässige HF-Dauer-Eingangsleistung. Die sog. kritische HF-Eingangsleistung, die unter keinen Umständen überschritten werden darf, liegt noch um etwa 15 - 30 % höher. Die Werte für  $N_{max}$  gelten für in Wasser untergetauchte Schwinger. Für in Luft arbeitende, einseitig belastete Schwinger, müssen die  $N_{max}$ -Werte der untergetauchten, einseitig belasteten Schwinger etwa halbiert werden. Wird der Schwinger mit  $N_{max}$  betrieben, so tritt an den strahlenden Flächen die akustische Intensität  $I_{akust}$  ( $\text{Watt/cm}^2$ ) auf. Die Größen  $2\pi f_{max} L_{par}$  und  $R_{par}$  bedeuten den Parallelblindwiderstand bzw. den Parallelwirkwiderstand des äquivalenten elektrischen Kreises für ein- und doppelseitig belastete, in Wasser untergetauchte Schwinger bei  $f_{max}$  ( $n = \text{Windungszahl}$ ). Die Werte des Parallelwiderstandes und der mechanischen Güten  $Q_w$  (mit Last) hängen in hohem Maße von dem akustischen Reflexions- und Absorptionsvermögen der im Strahlungsfeld befindlichen Gegenstände und von der Menge der in der Reinigungsflüssigkeit gelösten Gase ab.

Die Tabelle auf der folgenden Seite gibt eine Übersicht über die wichtigsten Daten der Ultraschallschwinger. Daten von Ferroxcube 7A1 und 7B auf Anfrage.

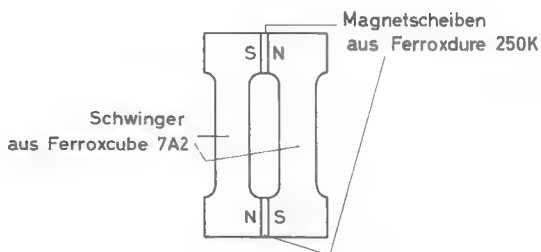


Bild 6 Vollständiger Schwinger

Ein Doppelschwinger besteht aus zwei Einzelschwingern, die in der in Bild 6 gezeigten Weise zusammengesetzt werden. Zur Vormagnetisierung ist es zweckmäßig, zwei rechteckige Scheiben aus dem Dauermagnetwerkstoff Ferro-

Typenübersicht

| Typ       | Schwingerform   | Höhe | Breite            | Tiefe | $f^B = f_{\max}$<br>kHz | $k'_{\text{opt}}$ | $\eta_{\text{ea}}$<br>vollständig<br>untergetaucht | $\eta_{\text{ea}}$<br>ein Ende<br>eingetaucht |
|-----------|-----------------|------|-------------------|-------|-------------------------|-------------------|--|---|
| K5 550 05 | Rahmen          | 96   | 33,2              | 30    | 25,6-26,0               | 0,18-0,23         | $\geq 0,70$  | $\geq 0,80$                                   |
| K5 550 11 | Rahmen          | 58   | 24,6              | 30    | 41,0-41,8               | 0,18-0,23         | $\geq 0,70$  | $\geq 0,80$                                   |
| K5 550 16 | Schwinger       | 96   | 18,2 <sup>+</sup> | 40    | 22,3-22,7               | 0,18-0,23         | $\geq 0,70$  | $\geq 0,80$                                   |
| K5 550 21 | Schwinger       | 50,4 | 14,0 <sup>+</sup> | 30    | 41,8-42,4               | 0,18-0,23         | $\geq 0,70$  | $\geq 0,80$                                   |
| K3 040 00 | Doppelschwinger | 96   | 45,3              | 41    | 22,0-22,7               | 0,17-0,23         | $\geq 0,70$  | $\geq 0,80$                                   |
| K3 040 05 | Doppelschwinger | 50,4 | 31,3              | 31    | 41,2-42,2               | 0,17-0,23         | $\geq 0,70$  | $\geq 0,80$                                   |

<sup>+</sup>) Ein Schwinger, oben oder unten gemessen



ture 250 K zwischen die Schwinger zu schieben. Die Vormagnetisierung kann auch durch einen Gleichstromteil in der Erregerwicklung bewirkt werden. Die Scheiben haben die Flächen 30 mm x 9 mm (K6 176 00, magnetisiert) und 40 mm x 16,6 mm (K6 100 00, magnetisiert); die Magnetisierung ist senkrecht zu diesen Flächen. Sie entmagnetisieren sich infolge ihrer sehr hohen Koerzitivfeldstärke auch außerhalb des magnetischen Kreises nicht. Beim Zusammenbau des Doppelschwingers muß die Magnetisierungsrichtung der Scheiben beachtet werden.

### Hinweise für die Verklebung unserer Ferroxcube 7 -Ultraschallschwinger mit Glas- oder Nichteisenblechbehältern

Eine Ultraschallanlage besteht oftmals aus einem Ferroxcube-Schwinger, auf den ein Flüssigkeitsbehälter geklebt ist. Dieser kann aus Glas oder Metall (z.B. rostfreiem Stahl) gefertigt sein. Der Behälterboden oder die Behälterwand soll die akustische Energie vom Schwinger in die Flüssigkeit übertragen. An den Kleber müssen folgende Anforderungen gestellt werden:

Er darf auch während der Ultraschallbestrahlung nicht abreißen.

Er muß genügend hart sein, um die akustische Energie ohne übermäßige Dämpfung übertragen zu können.

Er muß genügend dehnbar sein, um einen Bruch des Materials infolge mechanischer Spannungen (z.B. durch unterschiedliche thermische Ausdehnungskoeffizienten von Ferroxcube 7A und der Wand) bis zu einer bestimmten Temperatur (z.B. 100 °C) zu vermeiden.

Folgende Mischung hat sich bei uns bewährt:

|           |               |         |
|-----------|---------------|---------|
| 100 Teile | Araldit       | Nr. 714 |
| 100 Teile | Härter        | Nr. 905 |
| 15 Teile  | Weichmacher   | Nr. 905 |
| 1 Teil    | Beschleuniger | Nr. 905 |

} Hersteller  
Ciba A.G.  
Wehr/Baden



Der gebrauchsfertige Kleber muß bei 20 °C in etwa 20 Stunden (Topfzeit) verarbeitet werden. Da jedoch eine Mischung aus den ersten drei Bestandteilen eine Topfzeit von ca. 2 Monaten besitzt, kann man eine entsprechende Menge hiervon vorrätig halten und den Beschleuniger erst unmittelbar vor Gebrauch des Klebers hinzufügen.

Besteht die Wand aus Glas oder keramischem Material, so genügen eine Entfettung mit Trichloräthylen und anschließende Trocknung bei 80 °C.

Die Oberflächen des Schwingers sowie die Metallwände sollten mittels eines Sandstrahlgebläses oder durch Ätzung gereinigt werden. Vor der Ätzung entfettet man sie vier Minuten in einer Mischung aus 60 cm<sup>3</sup> konzentrierter Salpetersäure, 60 cm<sup>3</sup> konzentrierter Schwefelsäure und 480 cm<sup>3</sup> Wasser. Nach gründlicher Spülung mit Wasser wird die Oberfläche zwei Minuten in eine Mischung aus 300 cm<sup>3</sup> konzentrierter Salzsäure, 10 cm<sup>3</sup> 30-prozentigem Wasserstoffsuperoxyd und 190 cm<sup>3</sup> Wasser getaucht. Anschließend spült man wiederholt mit Wasser und läßt die Fläche trocknen. Nach der Reinigung sollten die zu verklebenden Oberflächen nicht mehr berührt und innerhalb von 24 Stunden miteinander verklebt werden.

Die zu verklebenden Flächen werden sorgfältig mit einer dünnen und homogenen Schicht des Klebers bestrichen und sodann leicht zusammengedrückt. Die Verbindung läßt man etwa fünf Stunden bei ca. 100 °C aushärten und schließlich langsam abkühlen.

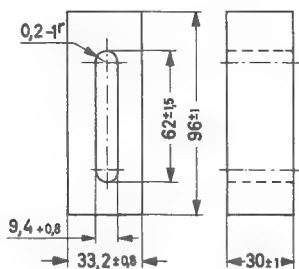
Für Verklebungen nach diesen Hinweisen können wir keine Gewähr übernehmen. Die beschriebene Methode wurde lediglich als die beste einer größeren Anzahl von Versuchen in unserem Labor ermittelt.

Außer piezomagnetischen Leistungswandlern aus Ferroxcube 7 sind auch piezoelektrische Wandler aus „Piezoxyde“ in unserem Fertigungsprogramm vorgesehen. Nähere Einzelheiten auf Anfrage.

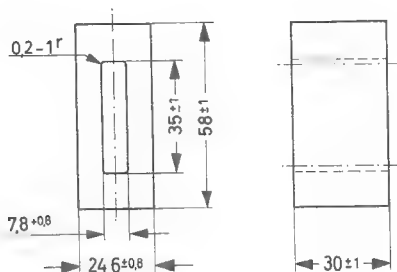




# Ultraschallswinger aus FXC 7 A 2 K5 550 05



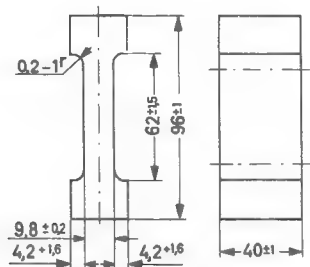
|  |  |                      |
|--|--|----------------------|
| $f^H$  | 25,0 bis 25,5                          | kHz                  |
| $f^B = f_{\max}$   | 25,6 bis 26,0                          | kHz                  |
| $k'_{\text{opt}}$  | 0,18 bis 0,23                          |                      |
| $\phi H_{\text{opt ds}}$   | 150 bis 230                            | Aw                   |
| $\eta_{\text{ea}}$<br>vollständig untergetaucht<br>ein Ende eingetaucht                                | $\geq 0,70$<br>$\geq 0,80$             |                      |
| $N_{\max}$<br>Schwinger untergetaucht in Wasser<br>Belastung einseitig<br>doppelseitig                 | 40 bis 45<br>70 bis 75                 | W<br>W               |
| $I_{\text{akust}}$   | 3,0 bis 3,5                            | W/cm <sup>2</sup>    |
| $2\pi f_{\max} L_{\text{par}}$<br>Schwinger untergetaucht in Wasser<br>Belastung ein- und doppelseitig | $n^2 \cdot 0,009$                      | $\Omega$             |
| $R_{\text{par}}$<br>Schwinger untergetaucht in Wasser<br>Belastung einseitig<br>doppelseitig           | $n^2 \cdot 0,006$<br>$n^2 \cdot 0,009$ | $\Omega$<br>$\Omega$ |
| $Q_W$<br>Schwinger untergetaucht in Wasser<br>Belastung einseitig<br>doppelseitig                      | 20 bis 45<br>12 bis 25                 |                      |
| $Q_V$<br>ein Ende in Wasser getaucht   | 40 bis 70                              |                      |
| Gewicht  | ca. 410                                | g                    |



|  |  |                      |
|--|--|----------------------|
| $f^H$  | 40,0 bis 41,0                          | kHz                  |
| $f^B = f_{\max}$   | 41,0 bis 41,8                          | kHz                  |
| $k'_{\text{opt}}$  | 0,18 bis 0,23                          |                      |
| $\phi_{H_{\text{opt}} \text{ ds}}$   | 100 bis 150                            | Aw                   |
| $\eta_{\text{ea}}$<br>vollständig untergetaucht<br>ein Ende eingetaucht                                | $\geq 0,70$<br>$\geq 0,80$             |                      |
| $N_{\max}$<br>Schwinger untergetaucht in Wasser<br>Belastung einseitig<br>Belastung doppelseitig       | 30 bis 35<br>55 bis 60                 | W<br>W               |
| $I_{\text{akust}}$   | 3,0 bis 3,5                            | W/cm <sup>2</sup>    |
| $2\pi f_{\max} L_{\text{par}}$<br>Schwinger untergetaucht in Wasser<br>Belastung ein- und doppelseitig | $n^2 \cdot 0,022$                      | $\Omega$             |
| $R_{\text{par}}$<br>Schwinger untergetaucht in Wasser<br>Belastung einseitig<br>Belastung doppelseitig | $n^2 \cdot 0,015$<br>$n^2 \cdot 0,020$ | $\Omega$<br>$\Omega$ |
| $Q_W$<br>Schwinger untergetaucht in Wasser<br>Belastung einseitig<br>Belastung doppelseitig            | 20 bis 45<br>12 bis 25                 |                      |
| $Q_V$<br>ein Ende in Wasser getaucht   | 40 bis 70                              |                      |
| Gewicht  | 185                                    | g                    |



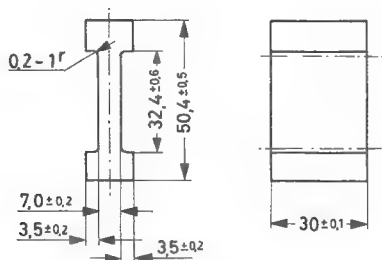
# Ultraschallschwinger aus FXC 7 A 2 K5 550 16



|  |  |                      |
|--|--|----------------------|
| $f^H$  | 21,8 bis 22,3                          | kHz                  |
| $f^B = f_{\max}$   | 22,3 bis 22,7                          | kHz                  |
| $k'_{\text{opt}}$  | 0,18 bis 0,23                          |                      |
| $\phi_{H_{\text{opt ds}}}$   | 150 bis 230                            | Aw                   |
| $\eta_{\text{ea}}$<br>vollständig untergetaucht<br>ein Ende eingetaucht                                | $\geq 0,70$<br>$\geq 0,80$             |                      |
| $N_{\max}$<br>Schwinger untergetaucht in Wasser<br>Belastung einseitig<br>doppelseitig                 | 50 bis 55<br>85 bis 90                 | W<br>W               |
| $I_{\text{akust}}$   | 2,4 bis 2,8                            | W/cm <sup>2</sup>    |
| $2\pi f_{\max} L_{\text{par}}$<br>Schwinger untergetaucht in Wasser<br>Belastung ein- und doppelseitig | $n^2 \cdot 0,011$                      | $\Omega$             |
| $R_{\text{par}}$<br>Schwinger untergetaucht in Wasser<br>Belastung einseitig<br>doppelseitig           | $n^2 \cdot 0,008$<br>$n^2 \cdot 0,014$ | $\Omega$<br>$\Omega$ |
| $Q_W$<br>Schwinger untergetaucht in Wasser<br>Belastung einseitig<br>doppelseitig                      | 16 bis 35<br>9 bis 20                  |                      |
| $Q_V$<br>ein Ende in Wasser getaucht   | 25 bis 50                              |                      |
| Gewicht  | ca. 260                                | g                    |

## Rechteckige Scheibe aus FXD 250K

| Abmessungen            | Typ                     |
|------------------------|-------------------------|
| 40 mm x 16,6 mm x 2 mm | K6 100 00, magnetisiert |



|  |                            |                   |
|--|----------------------------|-------------------|
| $f^H$  | 40,9 bis 41,7              | kHz               |
| $f^B = f_{\max}$   | 41,8 bis 42,4              | kHz               |
| $k'_{\text{opt}}$  | 0,18 bis 0,23              |                   |
| $\Phi H_{\text{opt ds}}$   | 80 bis 125                 | Aw                |
| $\eta_{\text{ea}}$<br>vollständig untergetaucht<br>ein Ende eingetaucht                                | $\geq 0,70$<br>$\geq 0,80$ |                   |
| $N_{\max}$<br>Schwinger untergetaucht in Wasser<br>Belastung einseitig                                 | 30 bis 35                  | W                 |
| doppelseitig   | 55 bis 60                  | W                 |
| $I_{\text{akust}}$   | 2,7 bis 3,2                | W/cm <sup>2</sup> |
| $2\pi f_{\max} L_{\text{par}}$<br>Schwinger untergetaucht in Wasser<br>Belastung ein- und doppelseitig | $n^2 \cdot 0,021$          | $\Omega$          |
| $R_{\text{par}}$<br>Schwinger untergetaucht in Wasser<br>Belastung einseitig                           | $n^2 \cdot 0,014$          | $\Omega$          |
| doppelseitig   | $n^2 \cdot 0,018$          | $\Omega$          |
| $Q_W$<br>Schwinger untergetaucht in Wasser<br>Belastung einseitig                                      | 16 bis 35                  |                   |
| doppelseitig   | 9 bis 20                   |                   |
| $Q_V$<br>ein Ende in Wasser getaucht   | 25 bis 50                  |                   |
| Gewicht  | ca. 80                     | g                 |

## Rechteckige Scheibe aus FXD 250K

| Abmessungen         | Typ                     |
|---------------------|-------------------------|
| 30 mm x 9 mm x 2 mm | K6 176 00, magnetisiert |



## Ultraschallswinger aus FXC 7 A 2

Doppelschwinger  
K3 040 00, K3 040 05

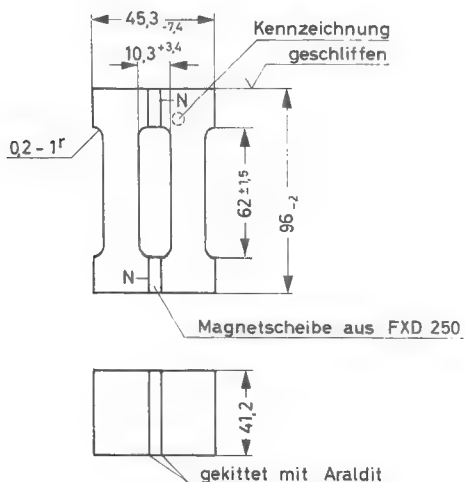
Sollen mehrere Einzel-Ultraschallswinger von einem Generator gespeist werden, so muß die Resonanzfrequenz dieser Swinger möglichst übereinstimmen, damit eine gleichmäßige Energieaufteilung auf alle Einzelschwinger gewährleistet ist.

Es muß also bei Verwendung mehrerer Swinger eine Ermittlung der Resonanzfrequenz der einzelnen Swinger durchgeführt werden, um jeweils die Swinger mit gleicher Resonanzfrequenz für den Zusammenbau zu sortieren. Um Schwierigkeiten bei der Verklebung zu vermeiden und um reproduzierbare Eigenschaften zu gewährleisten, werden jetzt geklebte und auf Resonanz geprüfte Doppelschwinger geliefert.

Für den größeren Typ der Doppelschwinger K3 040 00 (bestehend aus den Einzelswingern K5 550 16) liegt der Bereich der Resonanzfrequenz zwischen 22,0 und 22,7 kHz, für den kleineren Typ K3 040 05 (bestehend aus den Einzelswingern K5 550 21) zwischen 41,2 und 42,2 kHz.

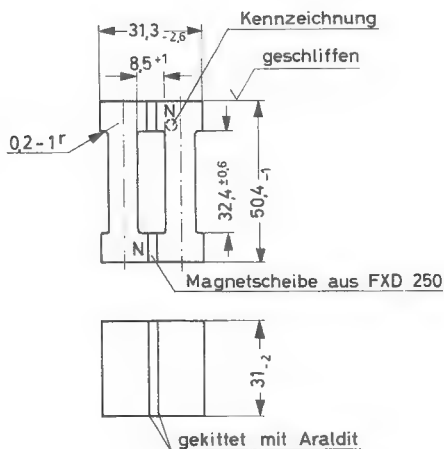
Alle Doppelschwinger, die in die gleiche Resonanzgruppe fallen, sind durch Buchstaben von a bis e gekennzeichnet. Die Polarität der Vormagnetisierung ist durch den Buchstaben „N“ neben dem Nordpol einer Magnetplatte gekennzeichnet.

Weitere Angaben der Doppelschwinger sind den nachfolgenden Datenblättern zu entnehmen.



|   | Resonanzgruppe  | Kennzeichnung<br>(rechts von einem Nordpol) |
|---|-----------------|---|
| $f^B$                                   | 22,0...22,1 kHz | a   |
|   | 22,1...22,2 kHz | b   |
|   | 22,2...22,3 kHz | c   |
|   | 22,3...22,4 kHz | d   |
|   | 22,4...22,5 kHz | e   |
|   | 22,5...22,6 kHz | f   |
|   | 22,6...22,7 kHz | g   |
| $k'_{opt}$                              | 0,17 bis 0,23   |   |
| Gewicht                                 | ca. 530 g       |   |
| Mechanischer Qualitätsfaktor $Q_{mech}$ | $\geq 1000$     |   |

Weitere technische Angaben können dem Datenblatt der Einzelschwinger K5 550 16 entnommen werden.



|   | Resonanzgruppe  | Kennzeichnung<br>(rechts von einem Nordpol) |
|---|-----------------|---|
| $f^B$                                   | 41,2...41,4 kHz | a   |
|   | 41,4...41,6 kHz | b   |
|   | 41,6...41,8 kHz | c   |
|   | 41,8...42,0 kHz | d   |
|   | 42,0...42,2 kHz | e   |
| $k'_{opt}$                              | 0,17 bis 0,23   |   |
| Gewicht                                 | ca. 160 g       |   |
| Mechanischer Qualitätsfaktor $Q_{mech}$ | $\geq 1000$     |   |

Weitere technische Angaben können dem Datenblatt der Einzelschwinger K5 550 21 entnommen werden.







**Permanentmagnete**

**ALLGEMEINES**

**Ferroxdure-Magnete**



Das VALVO-Lieferprogramm für Permanentmagnete umfaßt drei Gruppen unter folgenden Namen:

1. RECO                   isotrope AlNiCo-Werkstoffe
2. TICONAL            anisotrope AlNiCo-Werkstoffe
3. FERROXDURE       isotroper Bariumferrit-Werkstoff  
                          anisotrope Bariumferrit-Werkstoffe

Nachfolgend sind die zum Verständnis notwendigen Begriffe der Permanentmagnetentechnik erklärt. Die magnetischen Größen werden in Einheiten des praktisch-technischen Maßsystems (V, A, s, cm) oder im Gaußschen Maßsystem (G, Oe) angegeben.

### Hystereseschleife

Sie stellt die Beziehung zwischen Induktion B und Feldstärke H im geschlossenen magnetischen Kreis dar, wenn man die Schleife durchläuft, wie im untenstehenden Bild angegeben.

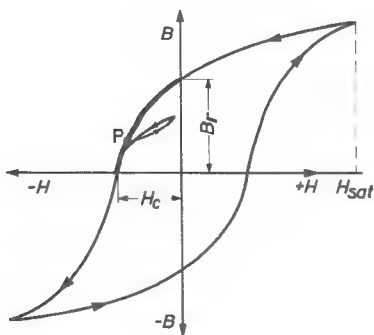


Bild 1 Hystereseschleife eines  
Permanentmagnetwerkstoffes

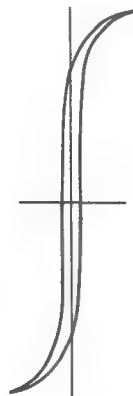


Bild 2 Hystereseschleife  
für weichmagnetischen  
Werkstoff



Dauermagnete haben breite Schleifen mit hoher Koerzitivfeldstärke  $H_c$ , magnetisch weiche Werkstoffe zeichnen sich dagegen durch schmale Schleifen aus.

## Entmagnetisierungskurve

Dauermagnete werden im allgemeinen nur im zweiten Quadranten der Hystereseschleife betrieben (im Bild stark ausgezogen). Dieser Teil ist die Entmagnetisierungskurve.

## Remanenz $B_r$

Dieses ist die in einem magnetisch geschlossenem Kreis verbleibende Induktion eines Magneten, wenn nach Durchlaufen des Sättigungszustandes die Feldstärke auf Null zurückgeht.

Die Maßeinheiten für die Induktion sind  $Vs/cm^2$  oder Gauß.

$$\begin{aligned} 1 \text{ Vs/cm}^2 &= 10^8 \text{ Gauß} \\ 1 \text{ Gauß} &= 10^{-8} \text{ Vs/cm}^2 \end{aligned}$$

## Koerzitivfeldstärke $H_c$

Dieses ist die magnetische Feldstärke, bei der die Induktion eines Magneten, der vorher bis zur Sättigung magnetisiert war, Null wird.

Die Maßeinheiten für die Feldstärke sind A/cm oder Oersted

$$\begin{aligned} 1 \text{ A/cm} &= 1,26 \text{ Oersted} \\ 1 \text{ Oersted} &= 0,8 \text{ A/cm} \end{aligned}$$

## Gütezahl $(B \cdot H)_{\max}$

Dieses ist der maximale Energieinhalt des magnetischen Feldes pro Volumeneinheit im Bereich der Entmagnetisierungskurve.

Der magnetische Energieinhalt ändert sich hier in Abhängigkeit von der Feldstärke von Null über einen Höchstwert wieder auf Null

Die Einheiten für die Gütezahl sind  $mWs/cm^3$  oder Gauß·Oersted.

$$\begin{aligned} 1 \text{ mWs/cm}^3 &= 1,26 \cdot 10^5 \text{ Gauß} \cdot \text{Oersted} \\ 1 \text{ Gauß} \cdot \text{Oersted} &= 8 \cdot 10^{-6} \text{ mWs/cm}^3 \end{aligned}$$

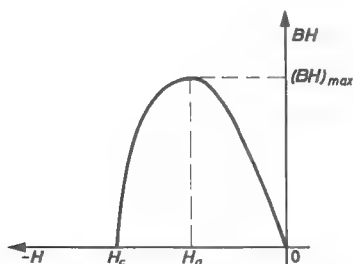


Bild 3 Magnetische Energie ( $B \cdot H$ ) in Abhängigkeit von der Feldstärke im Bereich der Entmagnetisierungskurve

#### Sättigungsfeldstärke $H_{sat}$

Diese ist die Mindestfeldstärke, die aufgebracht werden muß, um in das Gebiet der Sättigung zu kommen.

Hier gilt

$$\frac{1}{\mu_0} \frac{dB}{dH} = 1 \quad \text{für } H \geq H_{sat}$$

#### Sättigungsinduktion $B_{sat}$

Diese ist der zu  $H_{sat}$  gehörige Induktionswert.

#### Permanenz

Wird die Hystereseschleife bei der Magnetisierung nicht bis zur Sättigungsfeldstärke  $H_{sat}$  ausgefahren, so bleibt bei der Feldstärke Null eine Permanenz (Abschn. auf der B-Achse, Bild 1) zurück, die kleiner ist als  $B_r$ .

#### Permeabilität

Absolute Permeabilität des leeren Raumes (Induktionskonstante):

$$\mu_0 = 0,4 \pi \cdot 10^{-8} \text{ Vs/A cm}$$

$$\text{Relative Permeabilität: } \mu_r = \frac{1}{\mu_0} \frac{B}{H}$$

Reversible Permeabilität:

Bei wiederholten sehr kleinen Feldstärkeänderungen äußert sich die Hysterese nur durch das Erscheinen sehr kleiner flacher Schleifen. Hin-



und Rückgang werden reversibel. Man bezeichnet deshalb als reversible Permeabilität.

$$\mu_{\text{rev}} = \frac{1}{\mu_0} \frac{\Delta B}{\Delta H} \quad (\Delta H \rightarrow 0)$$

## Temperaturkoeffizient

Zur Kennzeichnung des Temperaturverhaltens eines Dauermagnetwerkstoffes wird der Temperaturkoeffizient der Remanenz bzw. der Koerzitivfeldstärke in Prozent pro Grad angegeben.

$$\text{TK}_{B_r} = \frac{1}{B_r} \frac{dB_r}{dt} \cdot 100 \%$$

$$\text{TK}_{H_c} = \frac{1}{H_c} \frac{dH_c}{dt} \cdot 100 \%$$

## Curie- und Umwandlungstemperatur

Bei der Curietemperatur wird das Material praktisch völlig unmagnetisch und kann nur durch erneutes Magnetisieren wieder magnetisch werden. Bei der Umwandlungstemperatur ändert sich das Kristallgefüge (z.B. Ausscheidung von Mischkristallen), was ebenfalls zu irreversiblen Änderungen der Magnetisierung führt, die jedoch auch durch erneutes Magnetisieren nicht wieder aufgehoben werden können. Die Grenze für den praktischen Einsatz der Dauermagnetwerkstoffe ist durch die jeweils niedrigere dieser beiden Temperaturen gegeben.

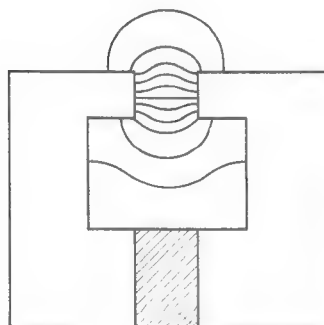
## Streuung, Streufaktor

Der Gesamtfluß  $\Phi_G$  in einem magnetischen Kreis setzt sich aus dem Nutzfluß  $\Phi_N$  und dem Streufluß  $\Phi_S$  zusammen. Eine gewisse Streuung läßt sich nie ganz vermeiden, sie wird besonders beim magnetischen Kreis mit großem Luftspalt recht beachtlich. Die Streuung wird bei der Berechnung eines Magneten durch den Streufaktor

$$\sigma = \frac{\Phi_G}{\Phi_N} = \frac{\Phi_N + \Phi_S}{\Phi_N}$$

berücksichtigt. \*)

\*) siehe VALVO-Bericht Band VII, Heft 5, Seite 131-158, Dez. 1961  
 „Berechnung von Dauermagneten unter besonderer Berücksichtigung des Streufaktors“ von J. Koch



Magnet

Bild 4 Streuung in einem einfachen Magnetsystem

### Arbeitspunkt, Arbeitsgerade

Liegen die Abmessungen eines Magneten und seines Luftspaltes vor, so ist damit der Arbeitspunkt auf der Entmagnetisierungskennlinie festgelegt. Die Verbindungslinie vom Nullpunkt zum Arbeitspunkt  $P_1$  im  $B=f(H)$ -Diagramm (Bild 5) wird als Arbeitsgerade (I) bezeichnet. Sie ist durch die Gleichung

$$B_1 = -\mu_0 H_1 \cot \alpha$$

gegeben. Bei Änderung der Magnet- oder Luftspaltabmessungen ändert sich ihr Neigungswinkel  $\alpha$ . Das Magnetmaterial wird optimal ausgenutzt, wenn der Arbeitspunkt im  $(BH)_{\max}$ -Punkt liegt.

### Veränderlicher Arbeitspunkt

Durch Veränderung der Luftspaltabmessungen oder durch das Auftreten zusätzlicher magnetischer Felder wandert der Arbeitspunkt auf der Entmagnetisierungskennlinie, z.B. von  $P_1$  nach  $P_2$ . Das bedeutet eine Änderung der Neigung (II) bzw. eine Parallelverschiebung (III) der Arbeitsgeraden.

Wird die Änderung wieder rückgängig gemacht, so geht der Arbeitspunkt nicht auf der ursprünglichen Entmagnetisierungskurve zurück, sondern auf einer tiefer verlaufenden Linie; der neue Arbeitspunkt liegt dann auf dem Schnittpunkt  $P_3$  dieser Linie mit der alten Arbeitsgeraden. So lange die







Auch durch Temperaturänderungen unterhalb der Curie- und Umwandlungstemperatur treten Induktionsänderungen auf, die durch den Temperaturkoeffizienten gegeben sind. Diese Änderung der Induktion mit der Temperatur ist nur in einem mehr oder weniger kleinen Bereich reversibel. Auch hier ist es deshalb oft zweckmäßig, die Lage der Arbeitsgeraden nicht durch den  $(BH)_{\max}$ -Punkt zu legen, d.h. den Winkel  $\alpha$  nicht zu groß zu wählen.

### Prüfung

Die Prüfung eines Magneten erfolgt am besten durch Messung der Eigenschaften unter den gleichen Bedingungen wie im praktischen Einsatz. Die Prüfbedingungen sollten in einer Übereinkunft zwischen dem Hersteller und dem Abnehmer festgelegt werden. Häufig genügt es, zur Messung von Fluß, Anzugskraft usw. ein dem magnetischen Kreis angeglichenes vereinfachtes Modell zu benutzen.





FERROXDURE-Magnete aus dem isotropen Werkstoff FERROXDURE 100 können wegen des großen gradlinigen Bereiches ihrer Entmagnetisierungskurve noch bis in das Gebiet um  $B = 0$  entmagnetisiert werden, ohne daß nach Wiederaufhebung des entmagnetisierenden Einflusses eine merkliche Verschiebung des Arbeitspunktes zu beobachten ist.

Magnete aus FERROXDURE 100 können deshalb stets außerhalb ihres Systems magnetisiert werden. Sie können die verschiedenartigsten Magnetisierungen erhalten. Zur eindeutigen Kennzeichnung der Magnetisierungsart können die nachfolgenden Skizzen und Bezeichnungen verwendet werden.

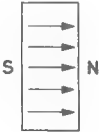
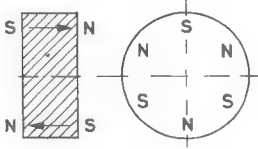
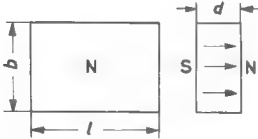
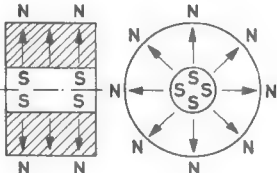
In Sonderfällen werden zur Kennzeichnung der Pole Farbtupfen angebracht:

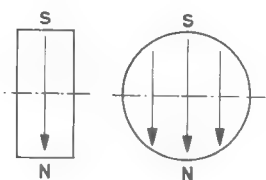
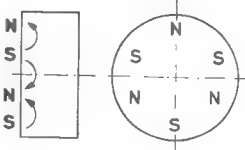
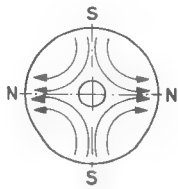
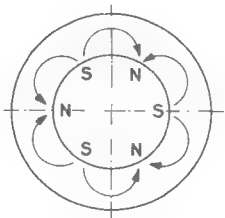
|                |      |
|----------------|------|
| Südpol         | gelb |
| Nordpol        | rot  |
| Neutrale Seite | weiß |

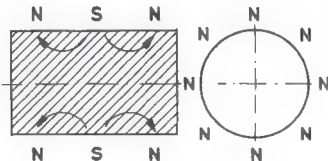
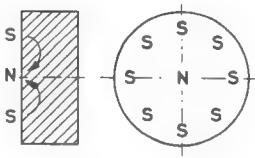
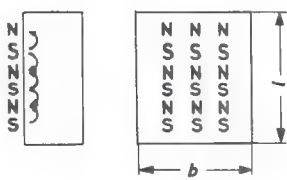
Reicht die durch Farbtupfen erreichbare Genauigkeit der Kennzeichnung der Pollage nicht aus, so kann eine Kerbe mit eingepreßt werden.

Magnete aus den anisotropen Werkstoffen FERROXDURE 250 K und FERROXDURE 300 R werden im allgemeinen erst nach ihrem Einbau in das Magnetsystem magnetisiert, da sie infolge des kürzeren gradlinigen Bereiches ihrer Entmagnetisierungskurve nicht so weitgehend entmagnetisiert werden dürfen wie Magnete aus FERROXDURE 100. Im gradlinigen Bereich sind sie jedoch gegen entmagnetisierende Felder unempfindlicher als die meisten Stahlmagnete.

Für sämtliche FERROXDURE-Magnete beträgt die Feldstärke für die Sättigungsmagnetisierung etwa 11200 A/cm (14000 Oe); mit 8800 A/cm (11000 Oe) erreicht man etwa 98 % der Remanenz.

| Skizze mit Polanordnung   | Kennzeichnung            |
|---|--------------------------|
|    | axial                    |
|    | 6-polig<br>axial         |
|   | ⊥ auf Fläche<br>l · b    |
|  | radial<br>(Südpol innen) |

| Skizze mit Polanordnung   | Kennzeichnung  |
|---|--|
|    | <p>diametral</p>                                       |
|    | <p>6-polig lateral<br/>auf einer Stirn-<br/>fläche</p> |
|    | <p>4-polig lateral<br/>auf dem Umfang</p>              |
|  | <p>6-polig<br/>innen-lateral</p>                       |

| Skizze mit Polanordnung  | Kennzeichnung  |
|--|--|
|   | <p>3-polig lateral<br/>auf dem Umfang<br/>mit ringförmigen<br/>Polen</p>   |
|   | <p>2-polig lateral<br/>auf einer Stirn-<br/>seite mit ring-<br/>förmigen Polen</p>   |
|  | <p>6-polig lateral<br/>auf Fläche <math>l \cdot b</math><br/>(Trennungslinie<br/>zwischen den Polen<br/>parallel zur Seite <math>b</math>)</p> |

#### RECO und TICONAL

Stahllegierungsmagnete werden im allgemeinen unmagnetisiert geliefert. Zur Magnetisierung werden Feldstärken bis etwa 2400 A/cm (3000 Oe) benötigt.

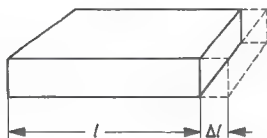
Ferrite werden bei ihrer Herstellung unter hohem Druck in Matrizen gepreßt (Trockenpreßverfahren) oder aus Düsen gedrückt (Strangpreßverfahren) und anschließend gesintert. Bedingt durch diese Arbeitsgänge sollte man einfachen Bauformen den Vorzug geben, denn die Formabweichungen, bedingt durch die Sinterschwindung sind hierbei am geringsten. Keramische Bauteile können außer linearen Maßabweichungen z.B. auch schwach durchgebogene oder verwundene Flächen haben. Ferner haben Ovalität, Exzentrizität und Konizität Durchmesser- und Wandstärkeabweichungen zur Folge. Ringe mit geschliffenem Außendurchmesser können infolge Winkelabweichungen den sogenannten Winkelschlag aufweisen. Für alle diese Maßabweichungen empfiehlt ISO nachstehende Symbole:

|      |  |
|------|--|
| —    | Toleranz der Durchbiegung oder Krümmung  |
| ▭    | Toleranz der Ebenheit  |
| ○    | Toleranz der Rundheit  |
| ⊘    | Toleranz der Zylindrizität   |
| ∩    | Toleranz der Profilgenauigkeit   |
| △    | Toleranz der Oberflächengenauigkeit  |
| //   | Toleranz der Parallelität  |
| ⊥    | Toleranz der Rechtwinkligkeit  |
| <    | Toleranz der Winkligkeit   |
| ⊕    | Toleranz der Lage  |
| ⊙    | Toleranz der Konzentrizität  |
| ≡    | Toleranz der Symmetrie   |
| 80/√ | Oberflächenrauheit in $r_u$ ( $\frac{r_u}{40} = \mu$ ; $\frac{80}{\sqrt{\quad}} = 2 \mu$ ) |

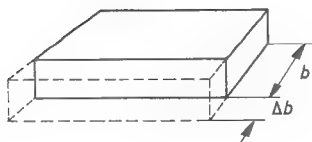
Hier wird unterschieden:

keramisch roh  
normal geschliffen  
fein geschliffen

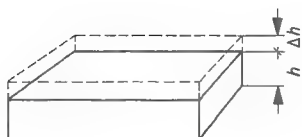
In der folgenden Aufstellung sind einige durch Formgebung, Sinterschwindung und mechanische Bearbeitung auftretenden Form- und Maßabweichungen aufgeführt. Im Interesse einer rationellen und preisgünstigen Fertigung ist es erstrebenswert, die Toleranzen so wenig wie möglich einzuengen und damit zusätzliche Arbeitsgänge zu vermeiden.



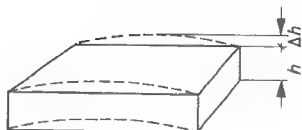
$\Delta l$   
Längentoleranz



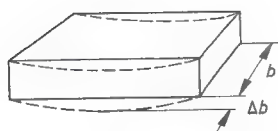
$\Delta b$   
Breitentoleranz



$\Delta h$   
Höhentoleranz



$\Delta h$   
Krümmung

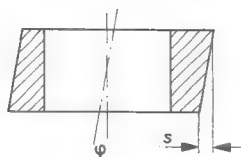


$\Delta b$   
Krümmung

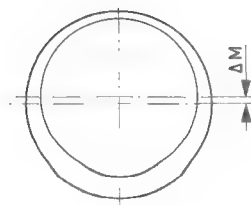




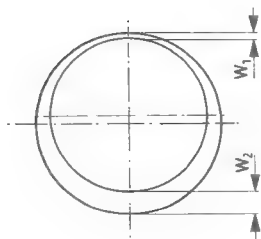
$\varphi$   
 Verwindung bei langen Stäben



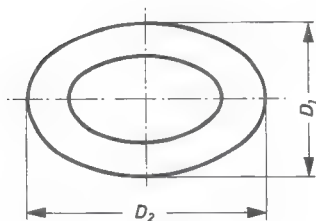
Winkelschlag durch Winkelabweichung bei geschliffenem Außendurchmesser



$\Delta M$   
 Exzentrizität bei geschliffenem Außendurchmesser

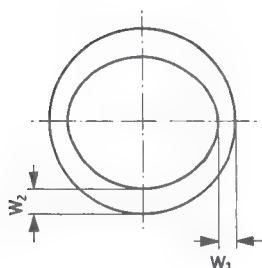


$\Delta W = W_2 - W_1$   
 Wandstärkenunterschied bei Exzentrizität und geschliffenem Außendurchmesser



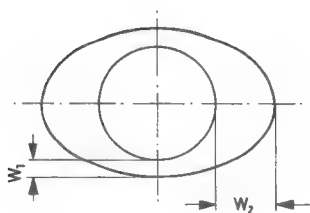
$$\Delta D = \frac{D_2 - D_1}{2}$$

Durchmesserabweichung durch  
Ovalität



$$\Delta W = W_2 - W_1$$

Wandstärkenunterschied bei  
Ovalität und bei geschliffe-  
nem Außendurchmesser



$$\Delta W = W_2 - W_1$$

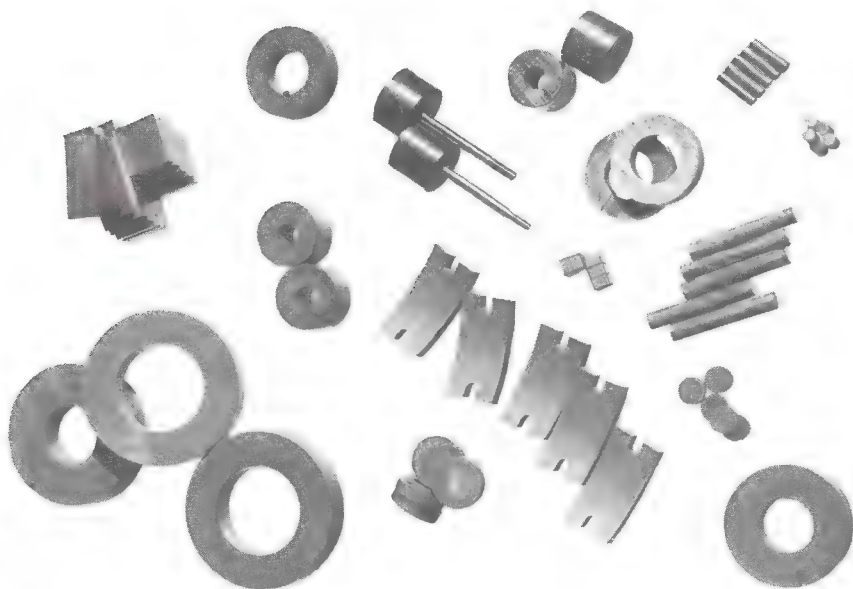
Wandstärkenunterschied bei  
Ovalität und bei geschliffe-  
nem Innendurchmesser



### RECO und TICONAL

Die Formgebung bei Stahlmagnetlegierungen ist durch die Gießtechnik bestimmt; die hier maßgeblichen Gesichtspunkte können als bekannt vorausgesetzt werden.

Erwähnt sei jedoch, daß Stahllegierungsmagnete schwach durchgebogene oder verwundene Flächen, leicht exzentrische oder konische Bohrungen aufweisen können und nicht völlig rechtwinklig ausfallen. Spezielle Anforderungen hinsichtlich der Formtreue müssen daher besonders vereinbart werden.



Oxydmagnete werden aus feingemahlenem Eisenoxyd und Bariumoxyd durch Pressen mit Druckkräften von mehreren Tonnen und anschließendem Sintern bei 1200 bis 1300 °C hergestellt.

FERROXDURE wird beispielsweise für Kleinmotoren, Fahrraddynamos, Haftmagnete, permanentmagnetische Kupplungen, magnetische Filter und Spielzeug eingesetzt. FERROXDURE 300 verwendet man besonders für Lautsprecher- und Schwungradzündermagnete.

Unter der Voraussetzung, daß die Fertigung in großen Stückzahlen erfolgt, lassen sich die Preise trotz des evtl. größeren Magnetvolumens günstig gestalten, da Oxydmagnete keine seltenen Metalle wie Kobalt oder Nickel, sondern nur billige Rohstoffe enthalten.



## Ferroxdure-Permanentmagnete Eigenschaften

Der keramische Magnetwerkstoff FERROXDURE ist in fünf Qualitäten lieferbar:

### FERROXDURE 100

Bei diesem Werkstoff sind die einzelnen Kristalle regellos angeordnet. FERROXDURE 100 besitzt keine magnetische Vorzugsrichtung, der Werkstoff ist magnetisch isotrop.

### FERROXDURE 250 K, 300 R, 330 K und 360 R

Bei diesen Werkstoffen werden die Kristalle vor dem Sintern in einem starken Magnetfeld ausgerichtet; alle hexagonalen Kristallachsen zeigen in eine Richtung und bilden so eine magnetische Vorzugsrichtung; die Werkstoffe sind magnetisch anisotrop. In der Vorzugsrichtung werden erheblich verbesserte Eigenschaften erreicht.

FERROXDURE 250 K hat eine besonders hohe Koerzitivfeldstärke, während FERROXDURE 300 R eine für keramische Werkstoffe hohe Remanenz aufweist.

Diese Werkstoffe werden von den neueren Werkstoffen FERROXDURE 330 K und 360 R im  $(BH)_{\max}$ -Wert übertroffen, wie auch in  $B_r$  und  $H_c$  des entsprechenden Werkstoffes.

FERROXDURE mit seiner hohen Koerzitivfeldstärke und relativ niedrigen Remanenz führt bei geeigneter Wahl des Arbeitspunktes im allgemeinen zu Konstruktionen kleinerer Länge und größerem Querschnitt als bei Metallmagneten.

Infolge der kleinen Magnetlänge und der Unempfindlichkeit gegen entmagnetisierende Felder ist FERROXDURE 100 auch für mehrpolige Magnete gut geeignet. Magnete aus FERROXDURE 100 kann man vor dem endgültigen Einbau magnetisieren.

Aufgrund ihres sehr hohen elektrischen Widerstandes ( $10^{12}$  mal größer als bei Stahlmagneten) ist der Einsatz der FERROXDUREmagnete auch in hochfrequenten Feldern möglich. Der Temperaturkoeffizient der Induktion ist etwa 10 mal so groß wie bei den Stahllegierungen. Dementsprechend ist eine TK-Kompensation wesentlich schwieriger. FERROXDUREmagnete können aber bis zu Temperaturen von 400 °C eingesetzt werden, ohne daß die magnetischen Werte auch bei lang andauernder Erwärmung einer zeitlichen Alterung unterworfen sind.



### Temperaturverhalten

Bei FERROXDURE 100 ist der Temperatureinfluß praktisch reversibel, solange die Temperatur unterhalb des Curiepunktes bleibt. Die Daten des Arbeitspunktes werden also nach zeitweiliger Erwärmung oder Abkühlung bis auf Abweichungen von 1-2 % wieder erreicht, ohne daß eine Wiederaufmagnetisierung erforderlich wäre.

Für FERROXDURE 250 K, 300 R, 330 K und 360 R gilt das gleiche, solange der Arbeitspunkt bei einer etwaigen Abkühlung, die infolge der Zunahme an Remanenz und der Abnahme an Koerzitivfeldstärke eine Verschiebung des Knies der Entmagnetisierungskurve bewirkt, nicht unter diesen neuen Knick kommt. Andernfalls stellt sich ein niedrigerer Arbeitspunkt nach der Wiedererwärmung auf die Ausgangstemperatur ein.

### Verkleben von FERROXDURE-Magneten

Um sehr große Magnete herzustellen, kann man einzelne FERROXDURE-Teile miteinander verkitten. FERROXDURE-Teile können auch mit Metallarmaturen verklebt werden. Dabei ist zu beachten, daß keramische Materialien einen beträchtlich kleineren thermischen Ausdehnungskoeffizienten haben als die meisten Metalle.

Der Ausdehnungskoeffizient beträgt bei

|            |                                      |
|------------|--------------------------------------|
| FERROXDURE | $8,5 \cdot 10^{-6}/\text{grd}$       |
| Stahl      | 11 bis $20 \cdot 10^{-6}/\text{grd}$ |
| Messing    | $18 \cdot 10^{-6}/\text{grd}$        |

Bei einer sehr starren Verbindung können die unvermeidlich auftretenden Wärmespannungen sehr leicht das FERROXDURE-Kristallgefüge beschädigen und u.U. einen Bruch verursachen. Besonders bei Verklebungen mit einigen Epoxydharzen wurde Rißbildung beobachtet.

Im allgemeinen genügt eine weniger starre, mäßig feste, dafür aber elastische Klebverbindung. Sie wird häufig unterstützt durch die magnetischen Haftkräfte. Gute Erfahrungen liegen mit Klebern auf Neoprenbasis vor.



### Mechanische und elektrische Eigenschaften

In seinen mechanischen Eigenschaften ist Ferroxdure anderen keramischen Werkstoffen ähnlich, es ist hart und spröde und kann nur durch Schleifen mit geeigneten Siliziumcarbid- oder Diamantscheiben bearbeitet werden. Beim Schleifen sollte man auf reichlichen Kühlmittelzufluß achten, um Sprünge durch lokale Überhitzung zu vermeiden.

Ferroxdure ist als keramischer Werkstoff chemisch sehr beständig. Seine Widerstandsfähigkeit gegen den Angriff verschiedener Chemikalien wird durch nachfolgende Aufstellung gekennzeichnet:

Ferroxdure wird nicht angegriffen durch

- 30 % Kochsalzlösung
- 50 % Benzol-Trichloräthylen-Gemisch
- Benzin
- Salpetersäure
- 50 % verdünnte Salpetersäure
- Essigsäure
- Kresol
- Phenolische Lösungen
- Natriumsulfatlösung

wird wenig angegriffen durch

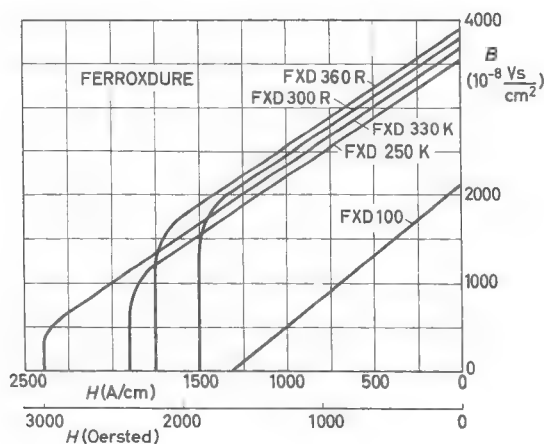
- Verdünnte Schwefelsäure
- 50 % verdünnte Salzsäure

wird ziemlich stark angegriffen durch

- konzentrierte Salzsäure

|   |                                     |
|---|-------------------------------------|
| Spezifisches Gewicht  | 4,8 bis 5 g/cm <sup>3</sup>         |
| Elastizitätsmodul   | 15000 kp/mm <sup>2</sup>            |
| Zugfestigkeit   | 5 kp/mm <sup>2</sup>                |
| Druckfestigkeit   | 70 kp/mm <sup>2</sup>               |
| Mohshärte   | 6 - 7                               |
| Thermische Leitfähigkeit                                    | 14 · 10 <sup>-3</sup> cal/(s cm °C) |
| Linearer Ausdehnungskoeffizient<br>(zwischen 20 und 300 °C) | 8,5 · 10 <sup>-6</sup> /°C          |

Die hier angegebenen Werte gelten für FERROXDURE 100; FERROXDURE 250 K, 300 R, 330 K und 360 R unterscheiden sich nur geringfügig davon.



Entmagnetisierungskurven des isotropen keramischen Magnetwerkstoffes FERROXDURE 100 und der anisotropen keramischen Materialien FERROXDURE 250 K, 300 R, 330 K und 360 R, letztere in Vorzugsrichtung gemessen..

| Typ   |  | FERROXDURE 100<br>isotrop                | FERROXDURE 250 K<br>anisotrop            |
|---|--|--|--|
| Remanenz $B_r$                                  | Gauß oder<br>$10^{-8} \text{ Vs/cm}^2$ | min. 2000<br>i. Mittel 2100              | min. 3400 <sup>+</sup><br>i. Mittel 3550 |
| Koerzitivfeldstärke $H_c$                       | Oersted                                | min. 1600<br>i. Mittel 1650              | min. 2200 <sup>+</sup><br>i. Mittel 2300 |
|   | A/cm                                   | min. 1200<br>i. Mittel 1360 <sup>+</sup> | min. 1760<br>i. Mittel 1920              |
| $(BH)_{\max}$                                   | $10^6 \text{ Goe}$                     | min. 0,85<br>i. Mittel 0,9               | min. 2,5<br>i. Mittel 3,0                |
|   | mWs/cm <sup>3</sup>                    | min. 6,4<br>i. Mittel 7,2                | min. 20<br>i. Mittel 21,6                |
| Reversible Permeabilität $\mu_{\text{rev}}$     |  | ~1,2                                     | ~1                                       |
| $B_{\text{sat}}^{++}$                           | Gauß                                   | ~16000                                   | ~18500                                   |
| $H_{\text{sat}}$                                | Oersted                                | ~12000                                   | ~14000                                   |
| Spezifischer elektr. Widerstand                 | $\Omega \cdot \text{cm}$               | $>10^6$                                  | $\sim 10^8$                              |
| Curiepunkt                                      | grd                                    | ~450                                     | ~450                                     |
| Temperaturkoeffizient der<br>Remanenz $TK_{Br}$ | $10^{-2}/\text{grd}$                   | ~0,2                                     | ~0,2                                     |





# Ferroxdure-Permanentmagnete

## Eigenschaften

| Typ   |                                     | FERROXDURE 300 R<br>anisotrop            | FERROXDURE 330 K<br>anisotrop | FERROXDURE 360 R<br>anisotrop |
|---|-------------------------------------|--|-------------------------------|-------------------------------|
| Remanenz $B_r$                                | Gauß oder $10^{-8} \text{ Vs/cm}^2$ | min. 3700 <sup>+</sup><br>i. Mittel 3850 | min. 3600<br>i. Mittel 3700   | min. 3800<br>i. Mittel 3900   |
|   | Oersted                             | min. 1600 <sup>+</sup><br>i. Mittel 1900 | min. 2800<br>i. Mittel 3000   | min. 2000<br>i. Mittel 2200   |
| Koerzitivfeldstärke $H_c$                     | A/cm                                | min. 1280<br>i. Mittel 1520              | min. 2220<br>i. Mittel 2480   | min. 1590<br>i. Mittel 1750   |
|   | $10^6 \text{ Goe}$                  | min. 3<br>i. Mittel 3,2                  | i. Mittel 3,3                 | i. Mittel 3,6                 |
| $(BH)_{\max}$                                 | $\text{mWb/cm}^3$                   | min. 24<br>i. Mittel 25,6                | i. Mittel 26,4                | i. Mittel 28,8                |
|   |                                     | ~1                                       | ~1                            | ~1                            |
| Reversible Permeabilität $\mu_{\text{rev}}$   |                                     |  |                               |                               |
| $B_{\text{sat}}$ <sup>++</sup>                | Gauß                                | ~18500                                   | ~18500                        | ~18500                        |
| $H_{\text{sat}}$                              | Oersted                             | ~14000                                   | ~14000                        | ~14000                        |
| Spezifischer elektr. Widerstand               | $\Omega \cdot \text{cm}$            | $\sim 10^8$                              | $\sim 10^8$                   | $\sim 10^8$                   |
| Curiepunkt                                    | grd                                 | ~450                                     | ~450                          | ~450                          |
| Temperaturkoeffizient der Remanenz $TK_{B_r}$ | $10^{-2}/\text{grd}$                | -0,2                                     | -0,2                          | -0,2                          |

Die angegebenen Werte gelten bei Raumtemperatur (20 °C)

<sup>+</sup>) Die Streuungen der magnetischen Werte liegen im allgemeinen so, daß ein Magnet mit relativ hoher Remanenz eine relativ niedrige Koerzitivfeldstärke und umgekehrt hat.

<sup>++</sup>) Extremwerte; mit  $H_{\text{sat}} = 8800 \text{ A/cm}$  (11000 Oe) erreicht man etwa 98 % der Remanenz.

Runde Stäbe



| D<br>mm   | A<br>mm  | Magnetisierung | Typ       |
|-----------|----------|----------------|-----------|
| 4 ± 0,1   | 5 ± 0,2  | diametral      | VK 300 18 |
| 4 ± 0,1   | 10 ± 0,2 | diametral      | VK 300 13 |
| 4 ± 0,1   | 20 ± 0,2 | diametral      | VK 300 14 |
| 4 ± 0,1   | 30 ± 0,2 | diametral      | VK 300 15 |
| 5 ± 0,3   | 10 ± 0,5 | axial          | VK 300 03 |
| 5 ± 0,5   | 15 ± 0,5 | axial          | VK 300 19 |
| 5 ± 0,2   | 20 ± 0,5 | axial          | VK 300 00 |
| 5 ± 0,3   | 30 ± 0,8 | axial          | VK 300 02 |
| 5 ± 0,3   | 35 ± 0,8 | axial          | VK 300 12 |
| 5 - 0,4   | 39 - 1   | axial          | VK 300 25 |
| 9,5 ± 0,3 | 12 ± 0,3 | diametral      | VK 300 07 |

Rechteckige Stäbe



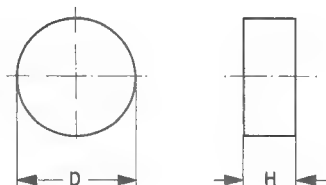
| A<br>mm    | B<br>mm   | H<br>mm   | Magnetisierung         | Typ       |
|------------|-----------|-----------|------------------------|-----------|
| 18 ± 1     | 7 ± 1     | 6 ± 1     | 2-pol. lat. auf 18 x 6 | VK 303 01 |
| 41,3 ± 0,5 | 4,1 ± 0,1 | 4,1 ± 0,1 | ⊥ 41,3 x 4,1           | VK 303 03 |
| 100 ± 2    | 4,1 ± 0,2 | 4,1 ± 0,2 | ⊥ 100 x 4,1            | VK 303 05 |
| 140 ± 2    | 4,1 ± 0,2 | 4,1 ± 0,2 | ⊥ 140 x 4,1            | VK 303 04 |

## Rohre



| $D_1$<br>mm | $D_2$<br>mm | A<br>mm  | Magnetisierung  | Typ       |
|-------------|-------------|----------|---|-----------|
| 4,35 - 0,1  | 1 + 0,3     | 30 ± 0,5 | 3-polig lateral auf dem Umfang mit ringförmigen Polen, Nordpol in der Mitte | VK 330 00 |
| 4,35 - 0,1  | 1 + 0,3     | 15 ± 0,3 |   | VK 330 02 |

## Runde Scheiben



| D<br>mm    | H<br>mm   | Magnetisierung                       | Typ       |
|------------|-----------|--------------------------------------|-----------|
| 4 ± 0,2    | 3,5 ± 0,2 | axial                                | VK 310 07 |
| 5,5 ± 0,3  | 5 ± 0,3   | axial                                | VK 310 09 |
| 8 ± 0,3    | 3 ± 0,3   | axial                                | VK 310 11 |
| 8 ± 0,5    | 5 ± 0,5   | axial                                | VK 310 06 |
| 10 ± 0,3   | 2,5 ± 0,3 | axial                                | VK 310 05 |
| 10 ± 0,5   | 5 ± 0,5   | axial                                | VK 310 08 |
| 11 ± 1     | 2,8 ± 0,3 | 2-pol. lateral auf einer Stirnfläche | VK 310 02 |
| 12,5 ± 0,3 | 6 ± 0,3   | axial                                | VK 310 10 |
| 14 ± 0,5   | 4 ± 0,5   | axial                                | VK 310 12 |
| 14 ± 0,5   | 5 ± 0,3   | axial                                | VK 310 13 |
| 14 ± 0,3   | 6 ± 0,5   | axial                                | VK 310 04 |

# Vorzugsbauformen für Magnete aus FXD 100

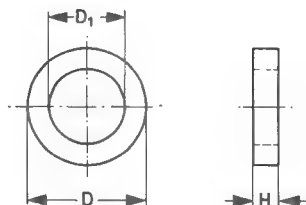
| D<br>mm                 | H<br>mm      | Magnetisierung             | Typ       |
|-------------------------|--------------|----------------------------|-----------|
| 14 $\pm 0,3$            | 10 $\pm 0,5$ | axial                      | VK 310 27 |
| 20 $\pm 0,35$           | 5 $\pm 0,3$  | axial                      | VK 310 17 |
| 25 $\pm 0,5$            | 5 $\pm 0,4$  | axial                      | VK 310 18 |
| 30 $\pm 0,2$<br>$- 0,7$ | 5 $\pm 0,3$  | axial                      | VK 310 26 |
| 32 - 1                  | 5 $\pm 0,3$  | 4-pol. lat. auf 1 Stirnfl. | VK 310 35 |

## Rechteckige Scheiben



| A<br>mm        | B<br>mm         | H<br>mm       | Magnetisierung          | Typ       |
|----------------|-----------------|---------------|-------------------------|-----------|
| 8 $\pm 0,5$    | 8 $\pm 0,5$     | 5 $\pm 0,5$   | $\perp$ 8 x 8           | VK 312 11 |
| 10 $\pm 0,5$   | 5 $\pm 0,5$     | 3 $\pm 0,5$   | $\perp$ 10 x 5          | VK 312 12 |
| 13,5 $\pm 0,5$ | 4,75 $\pm 0,25$ | 7,5 $\pm 0,5$ | unmagnetisiert          | VK 312 09 |
| 15 $\pm 0,3$   | 5 $\pm 0,3$     | 3 $\pm 0,3$   | $\perp$ 15 x 15         | VK 312 16 |
| 15 $\pm 0,5$   | 15 $\pm 0,5$    | 5 $\pm 0,3$   | $\perp$ 15 x 15         | VK 312 08 |
| 20 $\pm 0,35$  | 10 $\pm 0,25$   | 4 $\pm 0,25$  | 2-pol. lat. auf 20 x 10 | VK 312 14 |
| 28 - 0,5       | 13 - 0,5        | 3,5 $\pm 0,5$ | $\perp$ 28 x 13         | VK 312 13 |
| 36 - 1,2       | 15 $\pm 0,3$    | 4,5 $\pm 0,4$ | 4-pol. lat. auf 36 x 15 | VK 312 19 |
| 40 $\pm 1$     | 25 $\pm 0,75$   | 10 $\pm 0,1$  | $\perp$ 40 x 25         | VK 312 10 |
| 40 $\pm 1$     | 17 $\pm 0,4$    | 4 $\pm 0,1$   | $\perp$ 40 x 17         | VK 312 04 |
| 50 $\pm 0,7$   | 10 $\pm 0,4$    | 3 $\pm 0,8$   | 6-pol. lat. auf 50 x 10 | VK 312 22 |
| 50 $\pm 0,7$   | 15 $\pm 0,4$    | 6 $\pm 0,4$   | 4-pol. lat. auf 50 x 15 | VK 303 07 |
| 50 $\pm 1,25$  | 22 $\pm 0,55$   | 5 $\pm 0,1$   | $\perp$ 50 x 22         | VK 312 02 |
| 50 $\pm 1,25$  | 43 $\pm 1,1$    | 11 $\pm 0,28$ | $\perp$ 50 x 43         | VK 312 05 |
| 75 $\pm 1,5$   | 15 $\pm 0,4$    | 4 $\pm 0,05$  | 8-pol. lat. auf 75 x 15 | VK 303 02 |
| 75 $\pm 1,5$   | 15 $\pm 0,4$    | 5 $\pm 0,3$   | 8-pol. lat. auf 75 x 15 | VK 303 06 |
| 75 $\pm 1,8$   | 31,5 $\pm 0,8$  | 8 $\pm 0,2$   | $\perp$ 75 x 31,5       | VK 313 00 |

## Ringe

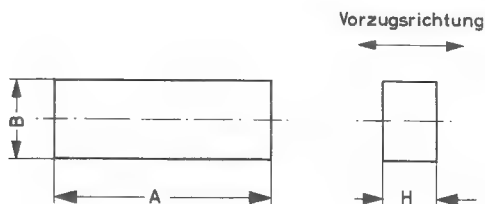


| D<br>mm      | D <sub>1</sub><br>mm   | H<br>mm     | Magnetisierung                    | Typ       |
|--------------|------------------------|-------------|-----------------------------------|-----------|
|              | mit Vierkant-Innenloch |             |                                   |           |
| 12 + 0,5     | 3,2 ± 0,5<br>3,2 ± 0,5 | 12 ± 0,5    | diametral                         | VK 320 07 |
| 13 ± 0,3     | 5,3 ± 0,2              | 8 ± 0,3     | radial (N aussen)                 | VK 320 13 |
| 13 ± 0,35    | 6 ± 0,3                | 4 ± 0,2     | unmagnetisiert                    | VK 320 25 |
| 14 ± 0,5     | 1,5 ± 0,5              | 5 ± 0,5     | axial                             | VK 320 18 |
| 14 ± 0,5     | 4 ± 0,25               | 4 ± 0,25    | axial                             | VK 320 18 |
| 14 ± 0,4     | 5 ± 0,2                | 5 ± 0,3     | 4-pol. lat. auf einer Stirnfläche | VK 320 09 |
| 14 ± 0,5     | 9 ± 0,5                | 3 ± 0,5     | axial                             | VK 320 24 |
| 15,6 ± 0,3   | 6,25 ± 0,2             | 3 - 0,1     | axial                             | VK 320 03 |
| 18 ± 0,45    | 5 ± 0,2                | 5 ± 0,3     | 4-pol. lat. auf einer Stirnfläche | VK 320 08 |
| 19,8 + 0,05  | 9 ± 0,5                | 3 ± 0,1     | unmagnetisiert                    | VK 320 20 |
| 19,8 + 0,05  | 9 ± 0,5                | 5 ± 0,05    | unmagnetisiert                    | VK 320 23 |
| 19,8 + 0,05  | 14,5 ± 0,5             | 5 ± 0,05    | unmagnetisiert                    | VK 320 40 |
| 19,8 + 0,05  | 9 ± 0,5                | 6 ± 0,05    | unmagnetisiert                    | VK 320 29 |
| 20 + 0,05    | 13,85 - 0,1            | 10 ± 0,2    | unmagnetisiert                    | VK 320 38 |
| 20 + 0,05    | 13,85 + 0,1            | 11,3 ± 0,2  | unmagnetisiert                    | VK 320 36 |
| 20 + 0,05    | 13,85 - 0,1            | 16,3 ± 0,2  | unmagnetisiert                    | VK 320 37 |
| 21,5 ± 0,05  | 12 ± 0,3               | 5,5 ± 0,3   | 8-pol. lat. auf dem Umfang        | VK 321 21 |
| 21,55 ± 0,35 | 16,15 ± 0,3            | 13,2 ± 0,35 | 2-pol. innen lateral              | VK 321 11 |
| 22 - 0,1     | 15,3 + 0,1             | 13 ± 0,5    | 2-pol. innen lat.                 | VK 321 31 |

| D<br>mm      | D <sub>1</sub><br>mm | H<br>mm      | Magnetisierung                    | Typ       |
|--------------|----------------------|--------------|-----------------------------------|-----------|
| 22,2 ± 0,35  | 15,6 ± 0,3           | 13,2 ± 0,35  | 2-pol. innen lateral              | VK 321 14 |
| 23,9 ± 0,3   | 17,9 ± 0,3           | 16 ± 0,4     | unmagnetisiert                    | VK 321 22 |
| 24 ± 0,5     | 17 ± 0,5             | 3 ± 0,5      | axial                             | VK 321 07 |
| 23,9 - 0,05  | 10 ± 0,5             | 21,25 ± 0,45 | unmagnetisiert                    | VK 375 10 |
| 24 - 0,04    | 12 ± 0,3             | 12 ± 0,4     | 16-pol. lat. auf dem Umfang       | VK 321 30 |
| 25,5 ± 0,4   | 19,9 ± 0,3           | 10 ± 0,3     | 2-pol. innen lateral              | VK 321 12 |
| 29,2 ± 0,8   | 18,1 ± 0,6           | 20 ± 0,1     | 2-pol. innen lateral              | VK 321 29 |
| 29,9 - 0,05  | 10 ± 0,3             | 5 - 0,1      | 4-pol. axial                      | VK 321 10 |
| 29,9 - 0,05  | 10 ± 0,5             | 16 ± 0,3     | unmagnetisiert                    | VK 375 05 |
| 29,9 - 0,05  | 10 ± 0,5             | 18,2 ± 0,4   | unmagnetisiert                    | VK 375 03 |
| 30,4 ± 0,6   | 10 ± 0,3             | 5 ± 0,3      | 4-pol. lat. auf einer Stirnfläche | VK 321 04 |
| 31,9 ± 0,1   | 10 ± 0,5             | 9 + 0,2      | axial                             | VK 321 26 |
| 36 - 0,1     | 10 ± 0,2             | 5 - 0,1      | 4-pol. axial                      | VK 321 18 |
| 37 ± 0,8     | 25 ± 0,5             | 3,5 ± 0,5    | axial                             | VK 321 06 |
| 37,95 + 0,05 | 31 ± 0,7             | 7 - 0,3      | unmagnetisiert                    | VK 321 08 |
| 48 ± 0,05    | 30 ± 0,05            | 12 ± 0,1     | 14-pol. lat. auf dem Umfang       | VK 321 24 |
| 55 ± 0,05    | 15 ± 0,5             | 13 ± 0,1     | 12-pol. innen lateral             | VK 322 09 |
| 72 ± 0,05    | 52 ± 0,05            | 12 + 0,1     | 14-pol. innen lateral             | VK 322 07 |
| 78 ± 1,5     | 45 ± 1               | 14 ± 0,1     | axial                             | VK 322 05 |
| 78 ± 1,5     | 58 ± 0,05            | 13 ± 0,1     | 12-pol. innen lateral             | VK 322 08 |
| 86 + 0,2     | 32 ± ± 0,5           | 23 ± 0,1     | 8-pol. aussen lateral             | VK 322 10 |
| 120 ± 0,5    | 96 - 0,2             | 23 ± 0,1     | 8-pol. innen lateral              | VK 323 00 |

# Vorzugsbauformen für Magnete aus FXD 250 K und FXD 300 R

## Rechteckige Scheiben



Werkstoff FXD 250 K

| A<br>mm  | B<br>mm    | H<br>mm    | Ausführung     | Typ       |
|----------|------------|------------|----------------|-----------|
| 30 ± 0,8 | 9 ± 0,2    | 2 ± 0,1    | unmagnetisiert | K6 176 00 |
| 40 ± 1   | 16,6 ± 0,3 | 2 ± 0,1    | unmagnetisiert | K6 100 00 |
| 50 ± 1,3 | 19 ± 0,5   | 4,9 - 0,25 | unmagnetisiert | K6 175 30 |
| 50 ± 1,3 | 19 ± 0,5   | 4,9 - 0,25 | magnetisiert   | K6 175 50 |
| 50 ± 1,3 | 19 ± 0,5   | 6,1 ± 0,1  | unmagnetisiert | K6 175 70 |
| 50 ± 1,3 | 19 ± 0,5   | 6,1 ± 0,1  | magnetisiert   | K6 175 80 |

Werkstoff FXD 300 R

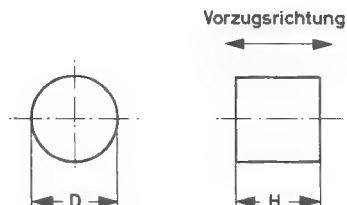
| A<br>mm    | B<br>mm    | H<br>mm     | Ausführung     | Typ       |
|------------|------------|-------------|----------------|-----------|
| 5 ± 0,2    | 5 ± 0,2    | 4 - 0,2     | magnetisiert   | K6 175 90 |
| 25,4 ± 0,4 | 8,9 ± 0,25 | 6,35 ± 0,35 | unmagnetisiert | K6 175 60 |

# Vorzugsbauformen

für Magnete aus FXD 250 K und FXD 300 R



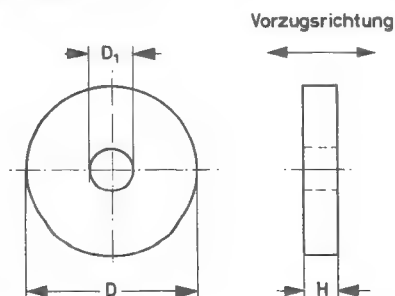
## Runde Scheiben



Werkstoff FXD 250 K

| D<br>mm      | H<br>mm      | Ausführung     | Typ       |
|--------------|--------------|----------------|-----------|
| 10 $\pm$ 0,5 | 10 $\pm$ 0,2 | magnetisiert   | K6 038 00 |
| 10 $\pm$ 0,5 | 12 $\pm$ 0,2 | magnetisiert   | K6 038 10 |
| 40,6 $\pm$ 1 | 9 $\pm$ 0,1  | unmagnetisiert | K6 112 65 |
| 45 $\pm$ 1,1 | 9 $\pm$ 0,1  | unmagnetisiert | K6 075 00 |

## Ringe



Werkstoff FXD 250 K

| D<br>mm      | D <sub>1</sub><br>mm | H<br>mm         | Ausführung     | Typ       |
|--------------|----------------------|-----------------|----------------|-----------|
| 30 $\pm$ 0,6 | 12,7 $\pm$ 0,5       | 6,35 $\pm$ 0,05 | unmagnetisiert | K6 152 20 |
| 42 $\pm$ 2,3 | 10 - 0,5             | 8 + 1,6         | unmagnetisiert | K6 152 30 |

Werkstoff FXD 300 R

| D<br>mm      | D <sub>1</sub><br>mm | H<br>mm     | Ausführung     | Typ       |
|--------------|----------------------|-------------|----------------|-----------|
| 20 $\pm$ 0,2 | 5,15 $\pm$ 0,15      | 4 $\pm$ 0,1 | unmagnetisiert | K6 153 81 |





Die als Rotoren bezeichneten FERROXDURE-Bauteile finden Verwendung in

Fahrraddynamos  
Synchronmotoren für Uhren  
und Spielzeug

FERROXDURE-Rotoren können

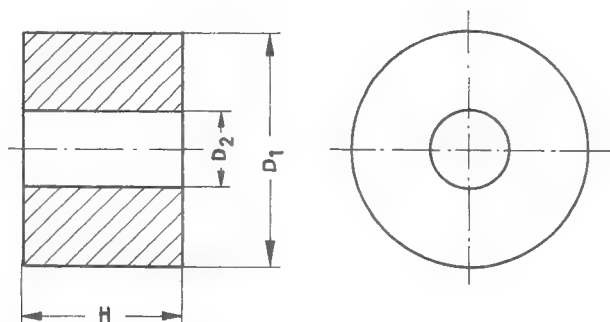
unmagnetisiert  
axial magnetisiert  
mehrpoleig am Umfang magnetisiert  
(nur bei FERROXDURE 100)

geliefert werden.

Mehrpoleige Magnetisierung am Umfang des Rotors ermöglicht Polabstände bis herunter zu 3 bis 5 mm. Für kleinere Polabstände verwendet man auch axial magnetisierte Rotoren in Verbindung mit zahnradartigen Polschuhen.

Bei Bestellungen werden genaue Angaben über die Verwendung der Rotoren benötigt, damit die Abnahmebedingungen den späteren Arbeitsbedingungen angepaßt werden können.

Vor der Lieferung von Rotoren werden verbindliche Musterstücke mit den noch zulässigen Grenzeigenschaften ausgetauscht.



| $D_1$<br>mm             | $D_2$<br>mm    | H<br>mm        | Magnetisier.                 | Typ       |
|-------------------------|----------------|----------------|------------------------------|-----------|
| 18 $\pm 0,45$           | 5 $\pm 0,2$    | 5 $\pm 0,3$    |                              | VK 320 12 |
| 19 $+ 0,02$<br>$- 0,06$ | 5 $\pm 0,2$    | 9,7 $\pm 0,05$ | diametral                    | VK 320 30 |
| 19,6 $- 0,05$           | 8 $\pm 0,3$    | 22 $\pm 0,5$   | unmagnetis.                  | VK 320 11 |
| 19,8 $+ 0,05$           | 9 $\pm 0,5$    | 6 $\pm 0,05$   | unmagnetis.                  | VK 320 29 |
| 19,8 $+ 0,05$           | 9 $\pm 0,5$    | 5 $\pm 0,05$   | unmagnetis.                  | VK 320 23 |
| 19,8 $+ 0,05$           | 9 $\pm 0,5$    | 3,1 $- 0,2$    | unmagnetis.                  | VK 320 20 |
| 19,8 $+ 0,05$           | 9 $\pm 0,5$    | 3,1 $- 0,2$    | 24-pol. lat.<br>a. d. Umfang | VK 320 21 |
| 19,8 $+ 0,05$           | 14,5 $\pm 0,5$ | 5 $\pm 0,05$   | unmagnetis.                  | VK 320 40 |
| 21,5 $\pm 0,05$         | 12 $\pm 0,3$   | 5,5 $\pm 0,3$  | 8-pol. lat.<br>a. d. Umfang  | VK 321 21 |
| 24 $- 0,04$             | 12 $\pm 0,3$   | 12 $\pm 0,4$   | 16-pol. lat.<br>a. d. Umfang | VK 321 30 |
| 25 $- 0,05$             | 8 $\pm 0,5$    | 17 $\pm 0,2$   | 6-pol. lat.<br>a. d. Umfang  | VK 321 19 |
| 37,95 $+ 0,05$          | 31 $\pm 0,7$   | 7 $- 0,3$      | unmagnetis.                  | VK 321 08 |
| 37,95 $+ 0,05$          | 31 $\pm 0,7$   | 7 $- 0,3$      | 24-pol. lat.<br>a. d. Umfang | VK 321 33 |
| 47,55 $+ 0,05$          | 31,6 $\pm 0,8$ | 8 $- 0,3$      | unmagnetis.                  | VK 321 05 |
| 48 $\pm 0,05$           | 30 $\pm 0,05$  | 12 $\pm 0,1$   | 14-pol. lat.<br>a. d. Umfang | VK 321 24 |

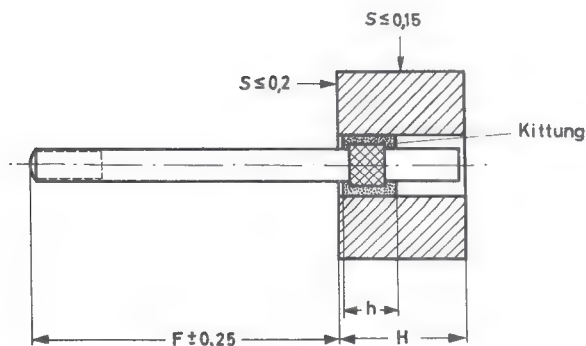
**Rotoren für Fahrraddynamos**

|               |              |                  |             |           |
|---------------|--------------|------------------|-------------|-----------|
| 23,9 $- 0,05$ | 10 $\pm 0,5$ | 21,25 $\pm 0,45$ | unmagnetis. | VK 375 10 |
| 29,9 $- 0,05$ | 10 $\pm 0,5$ | 16 $\pm 0,3$     | unmagnetis. | VK 375 05 |
| 29,9 $- 0,05$ | 10 $\pm 0,5$ | 18,2 $\pm 0,4$   | unmagnetis. | VK 375 03 |

## Hinweise zur Befestigung von Wellen an FERROXDURE-Rotoren für Fahrraddy-namos

Bei der Befestigung von Stahlwellen in FERROXDURE-Rotoren sind besondere Maßnahmen erforderlich, um Wärmespannungen aufgrund der unterschiedlichen Ausdehnungskoeffizienten der beiden Werkstoffe zu vermeiden.

Das Bild zeigt einen Querschnitt durch die fertige Anordnung.



Um eine völlig sichere Einkittung zu gewährleisten, soll die Welle mit einer Rändelung versehen sein. Diese Rändelung darf aber nur auf dem Teil der Welle angebracht werden, der durch die Maße  $F_{\max} + 1 \text{ mm}$  und  $F_{\min} + 0,4 H_{\min}$  begrenzt wird, wobei  $h \geq 4 \text{ mm}$  sein soll.

Die Größe  $S$  gibt den nach dem Einkitten maximalen Schlag beim Rotieren an. Der Durchmesser der Welle beträgt im allgemeinen  $5 \text{ mm}$ .

FERROXDURE-Synchronkupplungen werden als Stirnkupplungen (Bild 1a und 1b) oder als Zentralkupplungen (Bild 2) ausgeführt. Sie können Kräfte ohne Verwendung von Dichtungen oder Stopfbuchsen durch Wände hindurch übertragen. Es ist möglich, viele Magnetpole dicht nebeneinander anzuordnen, ohne daß, im Gegensatz zu Stahl, eine irreversible Entmagnetisierung auftritt. Gegenüber den mit Stahlmagneten ausgeführten Kupplungen bieten sie den Vorteil erheblich geringerer Kosten bei gesteigerter Leistungsfähigkeit.

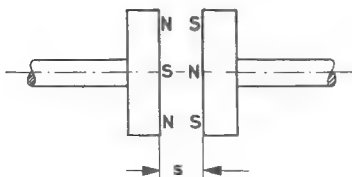


Bild 1a Prinzip der Stirnkupplung

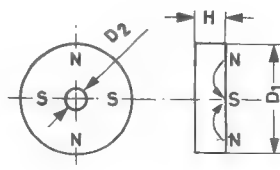


Bild 1b Magnetisierung der Stirnkupplung

Bild 1 zeigt eine derartige Synchronkupplung im Prinzip. Die beiden Ringmagnete sind, wie Bild 1b zeigt, n-polig lateral an der einen Fläche magnetisiert.

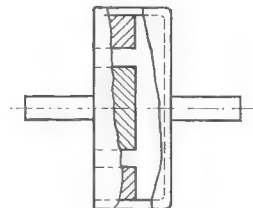
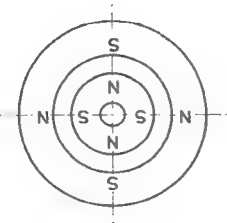


Bild 2 Prinzip der Zentralkupplung

(Der Außenring ist mehrpolig am inneren Umfang, der Innenring mehrpolig am äußeren Umfang magnetisiert).

Die Wirkung der Synchronkupplungen beruht auf der Anziehungskraft ungleichnamiger Magnetpole in tangentialer Richtung. Synchronkupplungen sind starre Kupplungen, d.h., die beiden Kupplungshälften besitzen gleiche Umdrehungszahl. Eine Verdrehung zwischen beiden Wellen ist abhängig von der Belastung und der Polzahl, sie ist auf einen bestimmten Winkel beschränkt.

Die Synchronkupplung kuppelt nur bei stehenden Wellen oder im Synchronlauf ein.

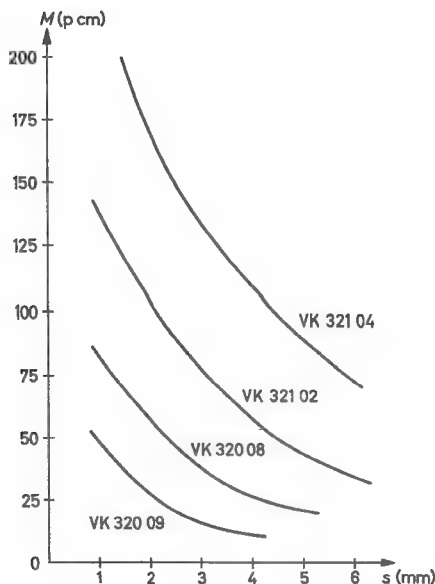


Bild 3

Bild 3 zeigt das maximal übertragbare Drehmoment  $M$  in Abhängigkeit vom Luftspalt  $s$  (s. Bild 1a) für vier verschiedene Vorzugstypen. Die Magnetringe sind 4-polig lateral an einer Stirnseite (s. Bild 1b) magnetisiert. – Die Werte sind als Richtwerte aufzufassen. – Bei den angegebenen Typen bringt die 2- oder 6-polige Magnetisierung bei gleichen Luftspalten geringere übertragbare Drehmomente. Nur wenn der Luftspalt  $s$  sehr klein ist, ist die 6-polige Magnetisierung günstiger.

Es muß beachtet werden, daß bei Einfügung eines Materials in den Luftspalt das maximal übertragbare Drehmoment dann geringer wird, wenn in diesem Material Wirbelströme bei Drehung der Kupplungshälften auftreten können. Man vermeide daher elektrisch gut leitende Werkstoffe.

Vorzugstypen für Stirnkupplungen aus FXD 100

| Typ       | $D_1$<br>mm    | $D_2$<br>mm  | $H$<br>mm   | Magnetisierung                              |
|-----------|----------------|--------------|-------------|---|
| VK 321 04 | $30,4 \pm 0,6$ | $10 \pm 0,3$ | $5 \pm 0,3$ | 4-polig lateral<br>an einer Stirn-<br>seite |
| VK 320 08 | $18 \pm 0,45$  | $5 \pm 0,2$  | $5 \pm 0,3$ |   |
| VK 320 09 | $14 \pm 0,4$   | $5 \pm 0,2$  | $5 \pm 0,3$ |   |

Magnetisierte Scheiben- bzw. Ringmagnete für Kupplungen mit größerem Drehmoment sind auf Anfrage nach technischer Klärung lieferbar.

Ein Lautsprechermagnetsystem mit einem Ringmagneten aus dem Werkstoff FERROXDURE ist schematisch in Bild 1 dargestellt.

Dieses System besteht aus einem FERROXDURE-Ringmagneten R, zwei Polplatten P und einem Kern K.

Für Lautsprechermagnetsysteme gilt DIN 45 578.

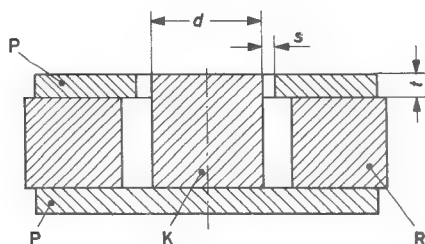


Bild 1

- d Polkerndurchmesser
- s Luftspaltweite
- t Luftspalttiefe

Die Größen d, t und s ( $B_L$  = Luftspaltinduktion) werden zu einem Kurzzeichen zusammengezogen.

Beispiel: Magnetsystem 16/4/75 - 0,8

bedeutet d = 16 mm, t = 4 mm,  $B_L$  = 7500 G, s = 0,8 mm

Ein Maß für den magnetischen Leitwert des Luftspaltes eines Lautsprechersystems gibt die Größe

$$\Lambda'_L = \frac{\pi d t}{s}$$

Der magnetische Luftspaltfluß  $\Phi_L$  ist außer von  $\Lambda'_L$  noch von den Abmessungen des Ringmagneten abhängig. Abb. 2 zeigt den experimentell ermittelten Zusammenhang zwischen  $\Phi_L$  und  $\Lambda'_L$  für die verschiedenen FERROXDURE-Lautsprecherringe. Man kann der Darstellung entnehmen, daß z.B. das Lautsprechersystem 16/4-0,8 mit  $\Lambda'_L$  = 251 mm bei Verwendung eines Ferroxdure-Ringes mit 45 mm Durchmesser einen Luftspaltfluß von etwa  $14 \cdot 10^{-5}$  Vs aufweist, d.h. die Luftspaltinduktion  $B_L$  beträgt ungefähr

$$\frac{\Phi_L}{F_L} = \frac{14 \cdot 10^{-5} \text{ Vs}}{201 \text{ mm}^2} \approx 7000 \cdot 10^{-8} \frac{\text{Vs}}{\text{cm}^2}$$

wobei  $F_L = \pi d t$  die Luftspaltfläche ist.

Bei Verwendung von FERROXDURE-Ringen mit größerem Durchmesser ergeben sich entsprechend größere Luftspaltinduktionen.

In Bild 2 ist die magnetische Energie im Luftspalt,  $W_L$ , aufgetragen. Es besteht die Beziehung:

$$W_L = \frac{\Phi_L^2}{2 \mu_0 \Lambda'_L} = 0,399 \cdot 10^{12} \frac{\Phi_L^2 / (Vs)^2}{\Lambda'_L / \text{mm}} \text{ mWs}$$

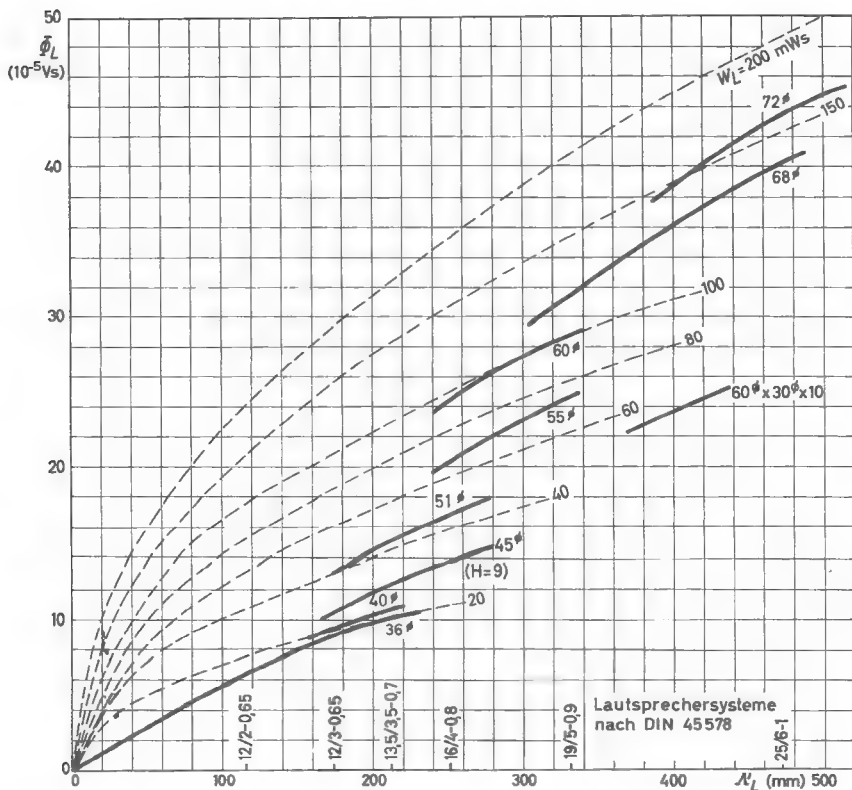
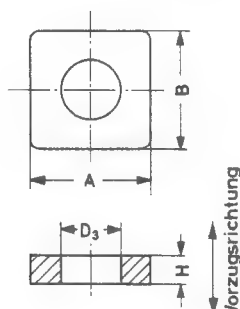
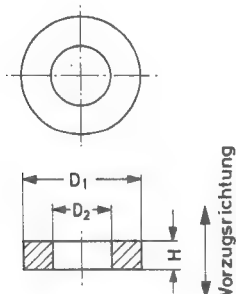


Bild 2 Magnetischer Fluß im Luftspalt von Lautsprechersystemen für verschiedene FERROXDURE-Ringmagnete.





## Magnete für Lautsprechersysteme aus FXD 300 R unmagnetisiert



### Ring

| Typ       | D <sub>1</sub><br>mm | D <sub>2</sub><br>mm | H<br>mm    |
|-----------|----------------------|----------------------|------------|
| K6 150 71 | 36 ± 0,8             | 18 ± 0,5             | 8 ± 0,1    |
| K6 152 11 | 40 ± 0,9             | 22 ± 0,6             | 9 ± 0,1    |
| K6 152 41 | 45 ± 1               | 22 ± 0,6             | 9 ± 0,1    |
| K6 150 51 | 45 ± 1               | 22 ± 0,6             | 10,5 ± 0,1 |
| K6 154 21 | 45 ± 1               | 24 ± 0,6             | 9 ± 0,1    |
| K6 151 21 | 51 ± 1,2             | 24 ± 0,6             | 9 ± 0,1    |
| K6 152 01 | 55 ± 1,2             | 24 ± 0,6             | 12 ± 0,1   |
| K6 150 61 | 60 ± 1,5             | 24 ± 0,6             | 13 ± 0,1   |
| K6 152 71 | 60 ± 1,5             | 30 ± 0,7             | 10 ± 0,1   |
| K6 152 91 | 60 ± 1,5             | 30 ± 0,7             | 13 ± 0,1   |
| K6 151 51 | 68 ± 1,5             | 32 ± 0,7             | 13 ± 0,1   |
| K6 151 11 | 72 ± 1,5             | 32 ± 0,7             | 15 ± 0,1   |
| K6 152 81 | 84 ± 2               | 32 ± 1               | 15 ± 0,1   |
| K6 153 51 | 134 ± 4              | 57 ± 1,7             | 14 ± 0,2   |
| K6 153 41 | 184 ± 5,5            | 73 ± 2,2             | 18,5 ± 0,2 |

### Viereck

| Typ       | A<br>mm    | B<br>mm    | D <sub>3</sub><br>mm | H<br>mm |
|-----------|------------|------------|----------------------|---------|
| K6 137 52 | 30,6 ± 0,8 | 30,6 ± 0,8 | 12,4 ± 0,4           | 5 ± 0,1 |
| K6 176 51 | 32 ± 0,8   | 26 ± 0,6   | 15,5 ± 0,8           | 8 - 0,1 |
| K6 137 61 | max. 42    | max. 42    | 15,5 ± 0,8           | 8 ± 0,1 |





## **Stahllegierungs-Permanentmagnete**

**ALLGEMEINES** s. die Seiten 347 ff.





## Stahllegierungs-Permanentmagnete Eigenschaften

VALVO-Stahllegierungsmagnete werden im Gießverfahren (Sandguß oder Spezialguß) hergestellt. Ihr Gefüge besteht bei höheren Temperaturen aus ferritischen Mischkristallen. Durch Abkühlen mit einer bestimmten Geschwindigkeit, in manchen Fällen gefolgt von einer Wärmebehandlung bei 500 bis 600 °C, erfolgt Entmischung. Auf diese Weise entsteht ein Gefüge, das die magnetische Härte erzeugt. Dieses Gefüge ist sehr stabil, so daß keine nennenswerten zeitlichen Änderungen der magnetischen Eigenschaften auftreten.

Diese Magnete finden Verwendung für:

Scheibenwischermotoren, Kleinmotoren, Generatoren  
Haftmagnete, Türverschlüsse, Magnetische Filter  
Meßgeräte, Tonabnehmer, Mikrofone und Lautsprecher

Die VALVO-Stahllegierungsmagnetwerkstoffe tragen die Bezeichnungen

RECO und TICONAL

Zu den einzelnen Typenbezeichnungen sind jeweils Zahlen gesetzt, die den Gütwert nach DIN 17 410 kennzeichnen. RECO-Werkstoffe sind preiswerte, isotrope Magnetlegierungen. Die einzelnen Sorten dieser Gruppen unterscheiden sich, entsprechend ihrem Kobalt- bzw. Titangehalt, durch ihre Gütwerte. RECO 170 ist auf hohe Koerzitivfeldstärke gezüchtet.

TICONAL-Legierungen sind anisotrope hochlegierte Stähle mit besonders hohen magnetischen Werten in der Vorzugsrichtung.

Die Werkstoffe

TICONAL 360 TICONAL 400 TICONAL 500

mit annähernd gleichen Legierungsbestandteilen haben recht hohe Gütwerte. Die Sorten 400 und besonders 500 erreichen infolge sorgfältiger Spezialbehandlung weitere Qualitätsverbesserungen.

### TICONAL 450

ist durch hohe Kobalt- und Titanzusätze auf eine besonders hohe Koerzitivfeldstärke gezüchtet worden.

Die Vorzugsrichtung, die durch Abkühlung des Werkstoffes in einem Magnetfeld entsteht, läßt sich am besten axial ausbilden. Bei kompliziert geformten oder mehrpoligen Magneten ist das Herstellen einer Vorzugsrichtung u.U. sehr umständlich und kostspielig.

### TICONAL 600, 650, 750

Durch gerichtete Abkühlung wird bei diesem Werkstoff eine Kristallorientierung und damit eine weitere Ausprägung der Vorzugsrichtung mit besonders ausgezeichneten magnetischen Eigenschaften erreicht.

Bei kristallorientierten Magneten ist es günstig, wenn die Abmessungen senkrecht zur Vorzugsrichtung größer sind als in der Vorzugsrichtung, weil sonst die Kristallorientierung gestört wird.

Zusammensetzung der RECO- und TICONAL-Legierungen (in %):

| Werkstoff   | Ni   | Al  | Co | Cu  | Ti  | Fe   |
|-------------|------|-----|----|-----|-----|------|
| RECO 100    | 24   | 14  | -  | -   | -   | Rest |
| RECO 120    | 26   | 13  | 4  | 3   | 1   | Rest |
| RECO 140    | 24   | 10  | 5  | 7   | 0,8 | Rest |
| RECO 160    | 18,5 | 10  | 13 | 7,5 | 1,9 | Rest |
| RECO 170    | 24   | 9,5 | 10 | 6   | 5   | Rest |
| RECO 220    | 15   | 7   | 26 | 5   | 7   | Rest |
| TICONAL 190 | 21   | 12  | 14 | 3   | -   | Rest |
| TICONAL 360 | 15   | 8,5 | 24 | 3   | 1,5 | Rest |
| TICONAL 400 | 14   | 8,5 | 24 | 3   | 0,8 | Rest |
| TICONAL 500 | 14   | 8,5 | 24 | 3   | -   | Rest |
| TICONAL 600 |      |     |    |     |     |      |
| TICONAL 450 | 14,5 | 7,5 | 34 | 4,5 | 5   | Rest |



## Stahllegierungs-Permanentmagnete

### Eigenschaften

#### Mechanische und elektrische Eigenschaften

Stahllegierungsmagnete sind sehr hart und verhältnismäßig spröde und sollten deswegen bei mechanischer Belastung möglichst nur Druckbeanspruchungen ausgesetzt werden. Sie können nur durch Schleifen bearbeitet werden. Die Rohtoleranzen, besonders bei Spezialguß, lassen sich jedoch meistens so eng halten, daß nur Flächen innerhalb des magnetischen Kreises der Bearbeitung bedürfen.

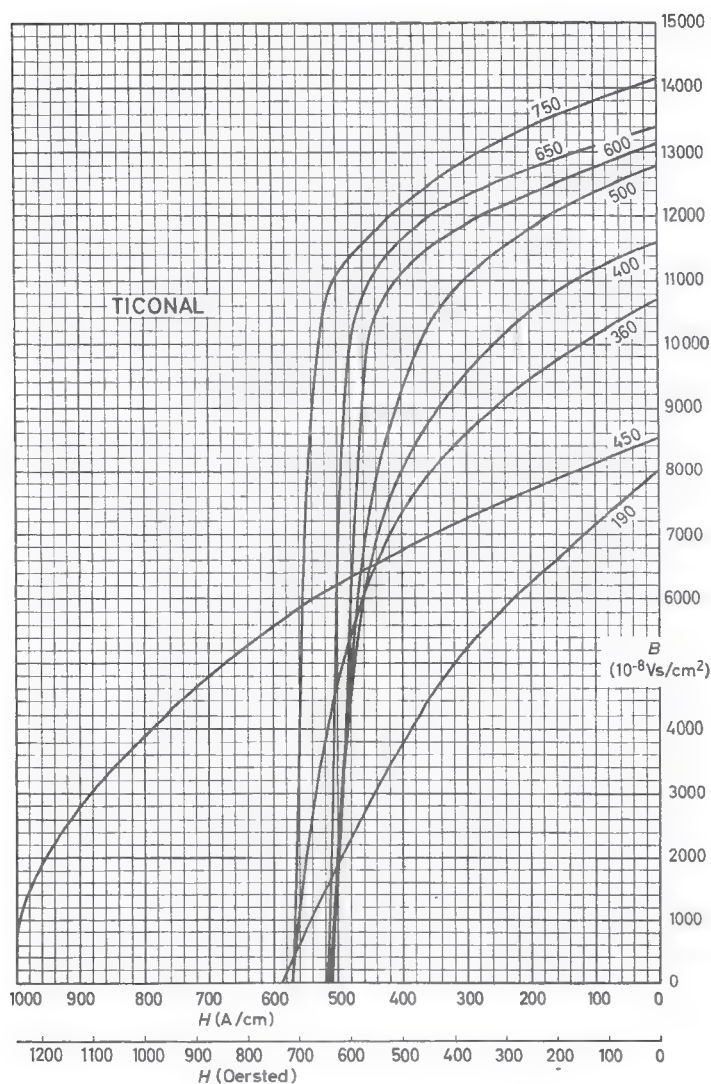
Die Befestigung der Stahllegierungsmagnete kann durch Anschrauben (parallel zu den Feldlinien nur nichtmagnetische Schrauben), Verkitten oder Weichlöten erfolgen. Hartlöten kann zu einer Verschlechterung der magnetischen Eigenschaften führen.

Der hohe Nickelgehalt der Legierungen bringt eine hohe Rost- und Säurebeständigkeit für die Magnete mit sich.

|   |                               |
|---|-------------------------------|
| Spezifisches Gewicht                              | ca. 7 g/cm <sup>3</sup>       |
| Linearer Ausdehnungskoeffizient                   | 11...14·10 <sup>-6</sup> /grd |
| Spezifischer elektrischer Widerstand<br>bei 20 °C | ca. 60·10 <sup>-6</sup> Ωcm   |

#### Magnetische Eigenschaften

Auf den folgenden Seiten sind die mittleren Entmagnetisierungskurven der verschiedenen RECO- und TICONAL-Sorten angegeben. Die Streuungen der magnetischen Werte liegen im allgemeinen so, daß ein Magnet mit relativ hoher Remanenz eine relativ niedrige Koerzitivfeldstärke und umgekehrt hat.

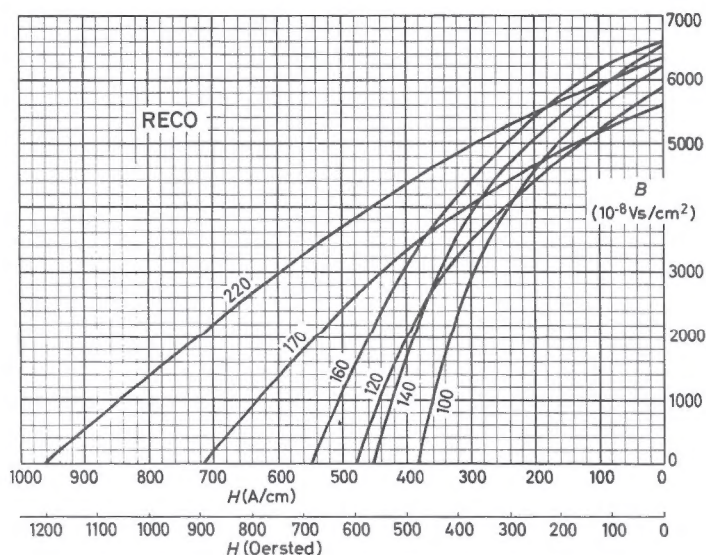


Entmagnetisierungskurven von TICONAL





# Stahllegierungs-Permanentmagnete Eigenschaften



Entmagnetisierungskurven von RECO

In der folgenden Tabelle ist der Streubereich für  $B_r$  und  $H_c$  angegeben. Für  $(BH)_{\max}$  sind die in der Fertigung erreichten Mittelwerte und in Klammern die garantierten Minimalwerte bei Raumtemperatur (20 °C) aufgeführt.

Weitere für alle Stahllegierungswerkstoffe gültigen magnetischen Werte sind:

|   |                    |                      |
|---|--------------------|----------------------|
| Reversible Permeabilität                                  | $\mu_{\text{rev}}$ | 3...6                |
| Sättigungsfeldstärke                                      | $H_{\text{sat}}$   | 2400 A/cm (3000 Oe)  |
| Temperaturkoeffizient der Remanenz                        | $TK_{B_r}$         | -0,01...-0,015 %/grd |
| Max. zul. Temperatur mit Rücksicht auf Strukturänderungen |                    | 450 °C               |

| Werkstoff    | Remanenz $B_r$<br>$10^{-8} \text{ Vs/cm}^2$<br>(Gauß) | Koerzitivfeldstärke $H_c$ |             | Gütezahl (BH) <sub>max</sub> |  |
|--------------|---|---------------------------|-------------|------------------------------|--|
|              |   | A/cm                      | Oersted     | mWs/cm <sup>3</sup>          | $10^6 \text{ Gauß} \cdot \text{Oersted}$ |
| RECO 100     | 5800...6500   | 365...410                 | 460...510   | 9,6 (≥8)                     | 1,2 (≥1,0)                               |
| RECO 120     | 5800...6500   | 400...560                 | 500...700   | 10,4 (≥8,8)                  | 1,3 (≥1,1)                               |
| RECO 140     | 6200...6800   | 420...480                 | 530...580   | 11,2 (≥10,4)                 | 1,4 (≥1,3)                               |
| RECO 160     | 6000...7000   | 480...560                 | 600...700   | 13,2 (≥12)                   | 1,85 (≥1,5)                              |
| RECO 170     | 5200...5800   | 660...740                 | 830...930   | 13,2 (≥12)                   | 1,85 (≥1,5)                              |
| RECO 220     | 5600...6800   | 875...1035                | 1100...1300 | 18,4 (≥16)                   | 2,3 (≥2,0)                               |
| TICONAL 190  | 7400...8600   | 520...640                 | 850...800   | 16,8 (≥14,4)                 | 2,1 (≥1,8)                               |
| TICONAL 360  | 10500...11000   | 540...590                 | 680...740   | 28,8 (≥25,6)                 | 3,6 (≥3,2)                               |
| TICONAL 400  | 11200...12000   | 485...535                 | 610...670   | 32 (≥30,4)                   | 4,0 (≥3,8)                               |
| TICONAL 450  | 8000...9000   | 955...1120                | 1200...1400 | 34 (≥32)                     | 4,25 (≥4,0)                              |
| TICONAL 500  | 12300...13000   | 480...510                 | 600...640   | 38,4 (≥36)                   | 4,8 (≥4,5)                               |
| *TICONAL 600 | 13000...13400   | 500...535                 | 630...670   | 46,4 (≥44)                   | 5,8 (≥5,5)                               |
| *TICONAL 650 | 12800...13400   | 510...555                 | 640...700   | 54,5 (≥52)                   | 6,8 (≥6,5)                               |
| *TICONAL 750 | 13200...14200   | 575...605                 | 720...760   | 60,0 (≥56)                   | 7,5 (≥7)                                 |

+) Diese Werte gelten nur für Magnete, deren Abmessungen für die Ausbildung der Kristallorientierung günstig sind, z.B. für  $l/D \approx 1$  ( $l$  = Länge,  $D$  = Durchmesser des Magneten) bei  $D \geq 20 \text{ mm}$ . Die magnetische Vorzugsrichtung fällt mit der Längsrichtung zusammen.



